

Institutul Politehnic "Traian Vuia"
Timișoara
Facultatea de Mecanică

ing. Octavian Cionoa

Sinteza dimensională a mecanismelor de precizie
generatoare de funcțiuni cu aplicație în con-
strucția echipamentului periferic al calcula-
toarelor electronice

Teză de doctorat

BIBLIOTECA CENTRALĂ
UNIVERSITATEA "POLITEHNICA"
TIMIȘOARA

Conducător științific

prof. dr. ing. Francisc Kovács

Timișoara 1985

INSTITUTUL POLITEHNIC TIMIȘOARA	
BIBLIOTECA CENTRALĂ	
Volumele	000
Data	189 la. G

Cuprins

pag:

<u>1.</u>	<u>Introducere</u>	3
<u>2.</u>	<u>Rolul mecanismelor generatoare de funcțiuni în construcția echipamentului periferic al calculatoarelor electronice</u>	3
2.1	Considerațiuni generale asupra funcționării mecanismelor din construcția echipamentului periferic	3
2.2	Utilizarea mecanismelor cu came în construcția perforatoarelor de cartele	6
2.2.1	Generalități	6
2.2.2	Perforatorul de cartele tip Univac 1710	6
2.2.3	Perforatorul rapid de cartele din configurația sistemului de calcul	10
2.3	Sistem pentru perforarea centralizată a cartelelor	14
<u>3.</u>	<u>Stadiul actual al cercetărilor în domeniul sintezei mecanismelor cu came</u>	17
3.1	Stabilirea ecuațiilor de mișcare pentru mecanismele cu came care funcționează la viteze ridicate	17
3.2	Criterii și procedee pentru determinarea gabariturii camelor	21
3.3	Principii de sintză dinamică a mecanismelor cu came	25
3.4	Sintza mecanismelor generatoare de funcțiuni cu palier de viteză constantă	34
3.5	Concluzii și cinematică	37
<u>4.</u>	<u>Sintza structurală în mecanismul de perforare</u>	39
4.1	Stabilirea legii de mișcare pentru mecanismul de perforare	39
4.2	Alegerea tipului constructiv al mecanismului	41
4.2.1	Generalități	41
4.2.2	Mecanismul de perforare cu tacherul în mișcare de translație	41
4.2.3	Mecanismul de perforare cu tacher oscilant	42
4.3	Analiza cinematică a mecanismului de perforare cu tacher oscilant	43
4.3.1	poziționarea mecanismului	43
4.3.2	Determinarea legii de variație a vitezei	43

	unghiulară a tachetului	44
4.3.3	Determinarea efectului sensului de rotire a camei	48
4.3.4	Corectarea profilului camei	49
5.	Sinteza analitică a profilului camei	56
5.1	Generalități	56
5.2	Procedura de proiectare a mecanismului	57
5.2.1	Acordarea profilului corectat pentru mișcarea de rotire a camei $V = A$	57
5.2.2	Acordarea profilului corectat pentru mișcarea de rotire a camei $A = V$	59
5.3	Metodele de proiectare a mecanismului	61
5.3.1	Legea de acordare polinomială	61
5.3.2	Metodele de mișcare pentru zona de accelerație	62
5.3.3	Metodele de mișcare pentru zona de decelerație	64
5.3.4	Metodele de mișcare pentru zona de accelerație și decelerație	64
5.4	Calculul analitic a razei cercului de bază pentru mecanismul de ^{came} perforare	69
6.	Analiza dinamică a mecanismului de perforare	74
6.1	Introducere	74
6.2	Stabilirea modelului matematic al mecanismului	75
6.2.1	Analiza modelului matematic cu un grad de liber- tate	75
6.2.2	Modelul matematic rigid	81
6.2.3	Modelul matematic secționat, cu elasticitatea echilibrată	84
6.3	Analiza dinamică a mecanismului cu ajutorul unui procedeu analitic a metodei planului fazelor	84
6.3.1	Prezentarea metodei	86
6.3.2	Aplicarea procedurii analitice a metodei planului fazelor	89
6.4	Sinteza dinamică a mecanismului prin metoda diferențelor finite	94
6.4.1	Integrarea numerică a ecuației diferențiale a mișcării	94
6.4.2	Integrarea ecuației de mișcare pentru a afla funcția de răspuns a sistemului la diferite funcții de intrare	96
6.5	Procedee ^{utilizate} pentru evitarea fenomenului de rupere a contactului came - tachet	98
6.5.1	Introducere	98

6.5.2	Reducerea amplitudinii oscilațiilor tacheului prin intermediul unor forțe viscoase	99
6.5.3	Amortizarea oscilațiilor tacheului prin aplicarea unei forțe de frecare uscată intermitentă	101
6.5.4	Mecanismul camă-tachet cu amortizor	105
7.	<u>Analiza și sinteza mecanismului camă-tachet ca și un sistem oscilant autoexcitat</u>	107
7.1	Considerațiuni generale	107
7.2	Algoritm de oscilație a mecanismului considerat ca un sistem fără pierderi	109
7.3	Mecanismul camă-tachet ca un sistem oscilant cu vibrații de relaxare având forța de readucere întârziată	112
7.4	Dimensionarea masei mecanismului camă-tachet considerat ca un sistem autooscilant cu vibrații de relaxare	113
8.	<u>Sinteza analitică a mecanismului de perforare</u>	115
8.1	Determinarea pe cale analitică a unor parametrii geometrici ai mecanismului	115
8.2	Analiza cinematică a mecanismului de perforare	118
8.3	Calculul forțelor și al reacțiunilor care solici-tă elementele constructive ale mecanismului	121
8.4	Abaterile funcției de ieșire a mecanismului datorate deformărilor elastice ale elementelor	123
8.4.1	Introducere	123
8.4.2	Calcularea deformărilor tacheului	123
8.4.3	Calcularea deformărilor arborelui camei	124
8.4.4	Compensarea deformărilor elastice ale elementelor mecanismului	125
8.5	Utilizarea programului pentru sinteza mecanismu-lui de perforare	128
8.5.1	Prezentarea programului	128
8.5.2	Generarea funcției de intrare	130
8.5.3	Datele obținute în urma sintezei mecanismului de perforare	135
9.	<u>Stand pentru studiul dinamic și optimizarea fun-ctiunii mecanismului de perforare</u>	142
9.1	Considerațiuni generale	142
9.2	Metodă și instalație pentru analiza dinamică experi-mentală a mecanismelor cu came	146
9.2.1	Prezentarea metodei și a instalației	146

9.2.2	realizarea instalației și prezentarea rezulta- telor experimentale	149
<u>10.</u>	<u>Concluzii generale.</u>	..
	Prezentarea contribuțiilor personale ale autorului	158
<u>11.</u>	<u>Bibliografie</u>	163

1 Introducere

Prezenta lucrare se înscrie pe coordonatele orientării generale trasate de conducerea superioară de partid și de stat, privind dezvoltarea continuă a științei și tehnicii, astfel încît pe această cale să se asigure progresul economic și industrial, care să permită țării noastre atingerea gradului de dezvoltare al țărilor puternic industrializate.

În acest context se acordă o importanță deosebită tehnicii de informatizare, astfel încît capacitatea de stocare, puterea de prelucrare și viteza de transmitere a datelor să crească continuu.

Un rol important în acest proces revine și disciplinelor mecanice în general și mecanismelor în special.

În actuala fază de dezvoltare a tehnicii de calcul, mecanismele jocă un rol important în construcția echipamentului periferic al calculatoarelor, chiar și numai în ipoteza includerii în această noțiune doar a echipamentului pentru introducerea și extragerea datelor.

Imperative economice și sociale, evidențiate pregnant în ultimul deceniu, impun introducerea tot mai largă a tehnicii de automatizare și robotizare a proceselor industriale. Roboții, sisteme de mare complexitate și precizie mecanică, destinați a executa un ansamblu de mișcări, sînt în mod inerent cuplați cu un calculator care prelucrează în timp real informațiile furnizate de proces prin senzorii cu care este dotat robotul, formînd împreună un complex, care pe lîngă prelucrarea datelor are și misiunea de a executa operațiuni mecanice complexe.

În această situație, sistemul mecanic cuplat cu sistemul de calcul, depășește cu mult în anvergură și importanță, echipamentul pentru introducerea și extragerea datelor din sistemele de calcul convenționale. Cu atît mai mult se impune în această perspectivă, ameliorarea performanțelor sistemelor mecanice mobile și implicit a mecanismelor care le formează, astfel încît precizia și viteza lor de lucru să crească corespunzător.

Lucrarea de față își propune ca și obiect de studiu sinteza mecanismelor cu came, generatoare de funcțiuni cu utilizări în

cadrul unui sistem centralizat pentru perforarea cartelelor. Trebuie precizat de la început că rezultatele obținute în urma cercetărilor teoretice și experimentale au o aplicabilitate mai largă, acestea nefiind specifice doar mecanismelor cu came din componența echipamentelor periferice ale calculatoarelor, ci sînt în general valabile pentru toate mecanismele de acest tip care lucrează la viteze ridicate.

Lucrarea este structurată pe mai multe capitole. În primul și două capitole se tratează rolul mecanismelor generatoare de funcțiuni în construcția echipamentului periferic al calculatoarelor, cu accentuarea rolului mecanismelor cu came în echipamentul pentru perforarea cartelelor și stadiul actual în sinteza acestor mecanisme.

În capitolele 4 și 5 se rezolvă probleme privind sinteza analitică a mecanismului camă cu tchetul în mișcare de oscilație, mecanism care din punct de vedere dinamic se dovedește a fi cel mai corespunzător, dar care din punct de vedere cinematic necesită un studiu pentru stabilirea unei legi de mișcare corectată și optimizată.

În capitolele 6 și 7 se face un studiu privind sinteza dinamică a mecanismului camă-tchet stabilindu-se unele criterii de proiectare care se fructifică în cadrul capitolului 8, unde aceste criterii se aplică la sinteza mecanismului de studiat. Rezultatul acestei aplicații se concretizează prin punerea la punct a unui program care poate fi utilizat la proiectarea mecanismelor cu came, oferind posibilitatea optimizării acestora.

În cadrul capitolului 9 se prezintă o instalație originală pentru studierea în regim dinamic a mecanismelor cu came, instalație care permite punerea în evidență și măsurarea timpului de rupere a contactului camă-tchet și prin aceasta optimizarea funcționării acestora astfel încît abaterile funcției de ieșire față de funcția proiectată să fie minime.

Încercările experimentale au confirmat ipoteza teoretică conform căreia mecanismul camă-tchet prezintă caracteristici constructive și funcționale similare unui sistem oscilant autoexcitat cu vibrații de relaxare.

Lucrarea se încheie cu capitolul 10 unde sînt prezentate concluziile generale și contribuțiile personale ale autorului.

Mulțumesc pe această cale tuturor celor care m-au ajutat la realizarea și prezentarea acestei lucrări și în mod special aduc mulțumiri și recunoștința mea conducătorului științific al lucrării, prof. dr. ing. Francisc Kovács.

2 Rolul mecanismelor generatoare de funcțiuni în construcția echipamentului periferic al calculatoarelor electronice

2.1 Considerațiuni generale asupra funcționării mecanismelor din construcția echipamentului periferic

În noțiunea de echipament periferic al calculatoarelor sînt cuprinse utilajele pentru introducerea datelor de prelucrat și extragerea datelor prelucrate la nivelul unității centrale de calcul. Aceste funcțiuni au generat și denumirea de echipament pentru operațiuni de intrare-ieșire. Spre deosebire de unitatea centrală, care conține numai dispozitive electronice, fără a avea în componența ei dispozitive mecanice mobile funcționale, echipamentele periferice sînt utilaje electro-mecanice care cuprind dispozitive mecanice fixe și mobile, instalații electrice și electronice.

Pentru a putea fi înglobat în configurația sistemului de calcul, echipamentul periferic trebuie să îndeplinească o serie de condiții tehnice și funcționale cum sînt:

- posibilitate de cuplare cu unitatea centrală și cu alte periferice,
- fiabilitate ridicată,
- viteză de lucru mare.

Cuplarea perifericului cu unitatea centrală și cu alte periferice se face pe cale electrică prin intermediul unui ansamblu de comenzi și mesaje codificate care se constituie în așa numita "interfață". La realizarea unei caracteristici de fiabilitate ridicată participă atât partea electrică cît și partea mecanică a perifericului. Din punct de vedere electric și electronic, densitatea de probabilitate pentru apariția unei defecțiuni este dată de numărul mare al componentelor pasive și active, din punct de vedere mecanic această probabilitate se datorează solicitărilor dinamice intense și a uzurilor mecanice mari. Solicitarea și uzura sînt o consecință evidentă a vitezelor de lucru foarte ridicate ce se impun la funcționarea mecanismelor acestor echipamente

Performanțele pe care le ating sistemele de calcul electronic sînt în directă legătură cu performanțele perifericelor cuprinse în configurația sistemului.

Cu toate că în domeniul informației se caută soluții prin care să se evite prezența perifericelor lente în configurația sistemelor, unele suporturi informaționale și implicit perifericele aferente lor cum sînt:

- imprimanta rapidă pentru listarea datelor de ieșire,
- consola de comandă,
- lectorul de cartele,
- unitatea de discuri magnetice,
- unitatea de benzi magnetice,

nu vor putea fi eliminate într-un viitor apropiat din configurația sistemelor de calcul. De aici rezultă și necesitatea de a aborda în continuare cercetări în vederea îmbunătățirii performanțelor acestora, performanțe care la ora actuală depind în cea mai mare măsură de performanțele mecanismelor din componența acestora.

Funcțiile pe care le îndeplinesc mecanismele care formează sistemele mecanice mobile ale perifericelor enumerate mai sus se pot separa în trei grupe, după cum urmează:

- a) funcții de transport, poziționare și indexare,
- b) funcții de comandă,
- c) funcții de execuție.

Aceste mecanisme se prezintă sub o mare diversitate de forme constructive. Poziționarea corespunzătoare a unor dispozitive cu rol de execuție sau a suporturilor informaționale este o operațiune pretențioasă de care depinde performanța echipamentului periferic, atât din punct de vedere calitativ cât și cantitativ. Poziționarea trebuie să fie executată rapid, corect și precis, pentru a se asigura compatibilitatea între diferite unități de același tip. La unitatea de discuri magnetice poziționarea capetelor flotante de scriere-citire se execută cu ajutorul unui mecanism cu cremalieră avînd pinionul antrenat cu ajutorul unui motor electric prevăzut cu un dispozitiv pneumatic de amortizare. Cu ajutorul unui sistem de mecanisme cu bare articulate se execută poziționarea casetei cu caractere de imprimare la mașina de scris a consolei de comandă, sau matricea pentru imprimare a dispozitivului de interpretare de la perforatoarele de cartele. În unele cazuri acțiunea de indexare este asociată cu cea de transport. La unele unități de bandă perforată transportul și indexarea benzii se realizează cu ajutorul unor mecanisme de tipul roată dințată cu clichet. Perforatorul de cartele tip Univac realizează transportul și poziționarea cartelei cu ajutorul unui mecanism camă cu tachet oscilant, care antrenează o bară cu lamele pentru împingerea cartelei.

În cadrul echipamentelor periferice funcția de comandă a mo-

canismelor se poate prezenta sub două aspecte :

- comanda mecanică,
- comanda electrică;

comenzi care se realizează prin intermediul unor mecanisme cu baro, mecanisme cu came, electromagneți, cuplaje electromagnetice, etc.

O largă întrebuințare în comanda pe cale electrică o au mecanismele cu came care acționează asupra unor microîntrerupătoare, acest tip de comandă fiind una din căile de sincronizare a funcționării între părțile mecanice și electrice ale echipamentului.

La realizarea corectă a operațiunilor de transport, indexare și sincronizare, mecanismele respective sînt asistate de o serie de dispozitive electrice și electronice corespunzătoare cum sînt:

- traductoare de deplasare,
- traductoare de rotație,
- fotocelule,
- generatoare de impulsuri cu capete magnetice etc.

În cadrul mecanismelor cu rol de execuție se pot încadra unele mecanisme care finalizează o anumită acțiune cum ar fi: mecanismele de imprimare, mecanismele de perforare, mecanismele de alimentare și extragere, mecanismele de dirijare și sortare etc.

După cum s-a arătat, pe lângă precizie în executarea funcțiilor caracteristice, acestor mecanisme li se impun viteze de lucru tot mai mari, aceasta fiind singura cale pentru ameliorarea performanțelor echipamentelor periferice.

Analizînd în general principiile constructive și funcționale ale echipamentelor periferice se constată că un rol deosebit de important în funcționarea lor revine mecanismelor cu came.

Acoste mecanisme, prezente sub diferite forme constructive, asigură îndeplinirea celor mai multe funcțiuni de comandă, poziționare și execuție, în special în construcția echipamentelor pentru perforarea cartelelor.

Mecanismele cu came prezintă avantajul de a realiza o gamă foarte largă de funcțiuni în condiții de fiabilitate ridicată și cu dimensiuni de gabarit mici.

Dezavantajul principal al acestor mecanisme este limitarea vitezei maxime de lucru, datorită apariției unor diferențe între funcția generată la elementul de ieșire, față de funcția comandată la intrarea mecanismului. În ansamblul lui acest tip de mecanism lucrează ca un sistem oscilant autoexcitat, el fiind în aceste condiții un important generator de zgomote și vibrații care au ca și efect secundar uzura profilului camei.

Metode moderne de sinteză și proiectare a mecanismelor cu came, conjugate cu posibilitățile de prelucrare oferite de nivelul în domeniul tehnologiei prelucrărilor mecanice, permit o îmbunătățire continuă a acestora.

Luând în considerare aceste aspecte, prezenta lucrare își propune rezolvarea unor probleme specifice, legate de sinteza mecanismelor cu came generatoare de funcțiuni cu aplicații în construcția perforatoarelor de cartele.

2.2 Utilizarea mecanismelor cu came în construcția perforatoarelor de cartele

2.2.1 Generalități

Pentru a ilustra modul de funcționare, rolul și problemele pe care le ridică utilizarea mecanismelor cu came în construcția perforatoarelor, se prezintă în cele ce urmează principiul de funcționare a două tipuri de perforatoare aflate în dotarea centrelor de calcul electronic din țara noastră. În continuare se propune un sistem de perforare centralizată a cartelelor, sistem care conține unele noutăți tehnice și prezintă o serie de avantaje economice. Performanțele acestui sistem sînt de asemenea condiționate de performanțele mecanismelor de comandă și perforare, mecanisme de tip camă cu tachetul în mișcare de oscilație.

2.2.2 Perforatorul de cartele tip Univac 1710

Acest perforator face parte din categoria echipamentelor pentru pregătirea datelor de intrare. Deservirea lui este asigurată de un operator. Prin eliberarea schemei cinematice de o serie de operațiuni logice și de temporizare, operațiuni preluate de instalația electrică și de schemele electronice, perforatorul tip Univac 1710 prezintă performanțe net superioare față de tipurile anterioare de perforatoare:

- numărul de cartele perforate pe minut	35 - 60
- puterea consumată	0,92 kVA
- greutatea	136 Kg
- dimensiuni de gabarit	960/813/965 mm
- capacitatea magazinelor de cartele	600 buc.

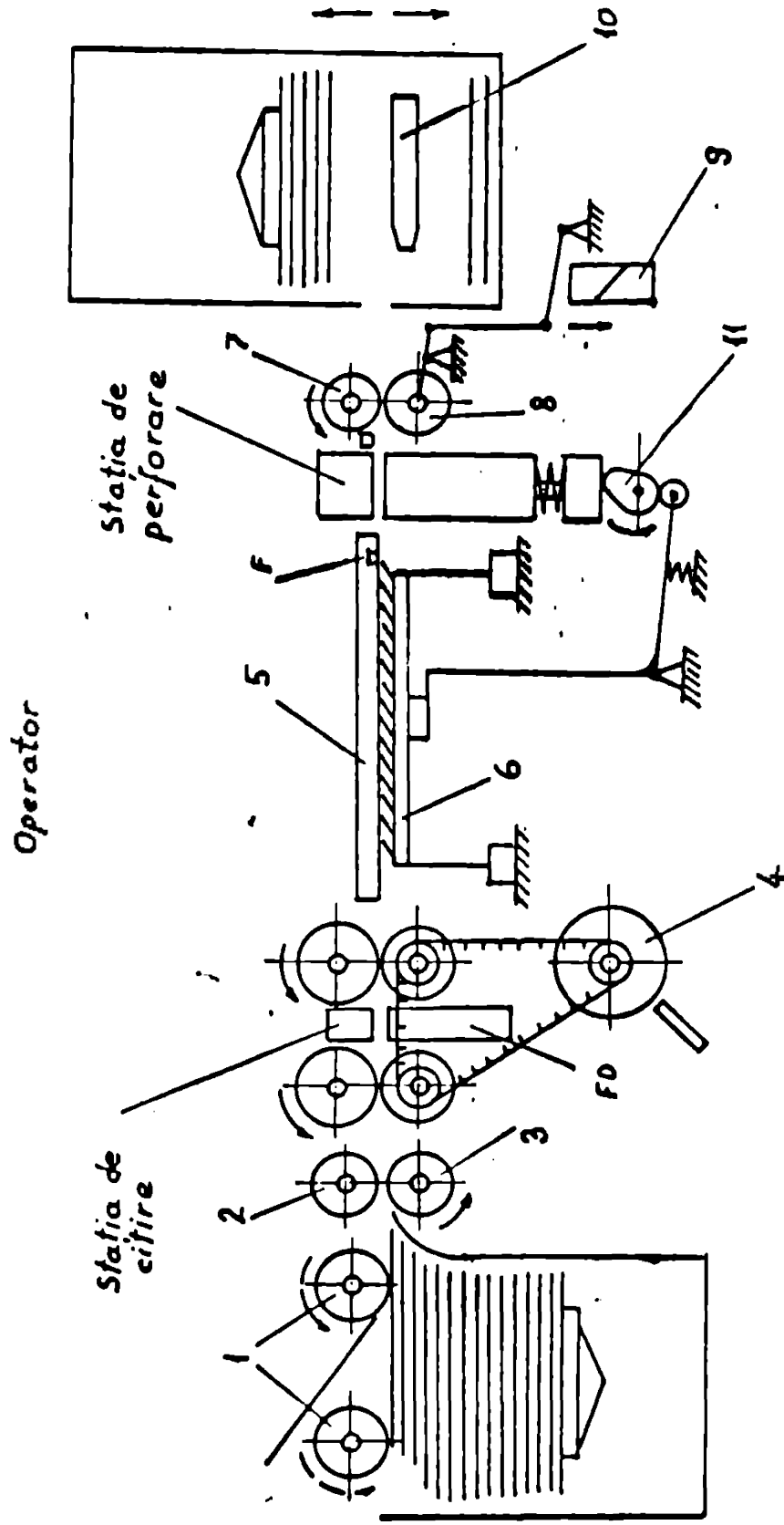


fig. 2.1 Schema cinematică de principiu a perforatorului de cartele UNIVAC 1710

Performanțele acestui echipament, care se află în dotarea stațiilor de mecanografie a unor centre de calcul din țara noastră, au depășit deja viteza de lucru a celor mai rapizi operatori. În fig. 2.1 se prezintă o schemă cinematică de principiu a acestui perforator. Datele de pe documentele primare sînt introduse prin intermediul unei tastaturi într-o memorie tampon. După completarea blocului de date, la comanda de perforare, o pereche de role din cauciuc 1, care au o mișcare de rotație temporizată, preiau o cartelă din magazia de cartele și o introduc între rolele 2 și 3 care împiedică dubla alimentare. În continuare cartela trece prin dreptul stației de citire prevăzută cu un set de fotodiode. Mișcarea sincronă a rozelor care transportă cartela prin dreptul stației de citire, este asigurată prin acționarea acestora cu o curea dințată care antrenază și discul de sincronizare 4 prevăzut cu un cap magnetic. În continuare cartela intră în stația de așteptare între placa 5 și bara cu lamele 6, unde se execută operațiunea de poziționare (codrare). Prin mișcarea alternativă a barei 6, lamelele împing treptat cartela în stația de perforare, unde se execută perforarea simultană a cîte două coloane. După consumarea ciclurilor de perforare, cartela este expediată în magazia de recepție. Rola de eliminare rapidă 7 are o mișcare de rotație continuă, iar rola pasivă 8, comandată de electromagnetul 9 apasă cartela pe rola 7 și în funcție de poziția paletelor 10, depozitarea se face în magazia principală sau secundară.

Toute rolele de transport sînt antrenate de o singură curea lată prevăzută cu un dispozitiv de întindere cu arc.

Antrenarea arborelui cu came 11, care comandă avansul cartelei la perforare și execută perforarea, se face de la un motor electric printr-o transmisie cu curea trapezoidală și prin intermediul unui cuplaj electromagnetic. Prezența cartelei pe traseul de perforare este controlată cu ajutorul unor fotodiode.

Mecanismele din componența stației de avans și perforare sînt prezentate în figura 2.2. Ciclul de perforare cuprinde două faze. În prima fază cama 1 produce prin intermediul manivelei 2 avansarea barei cu lamele 3. Lamela care vine în contact cu muchia posterioară a cartelei produce avansarea acesteia cu cîte două coloane. În acest timp se execută și pregătirea poansonelor 6 care urmează să perforoze prin introducerea unor actuatori 4 între ele și tachotul de translație 5. Poziționarea actuatorilor se face prin alimentarea unor electromagneți 7. În faza următoare cama ridică tachotul 5

stația de așteptare

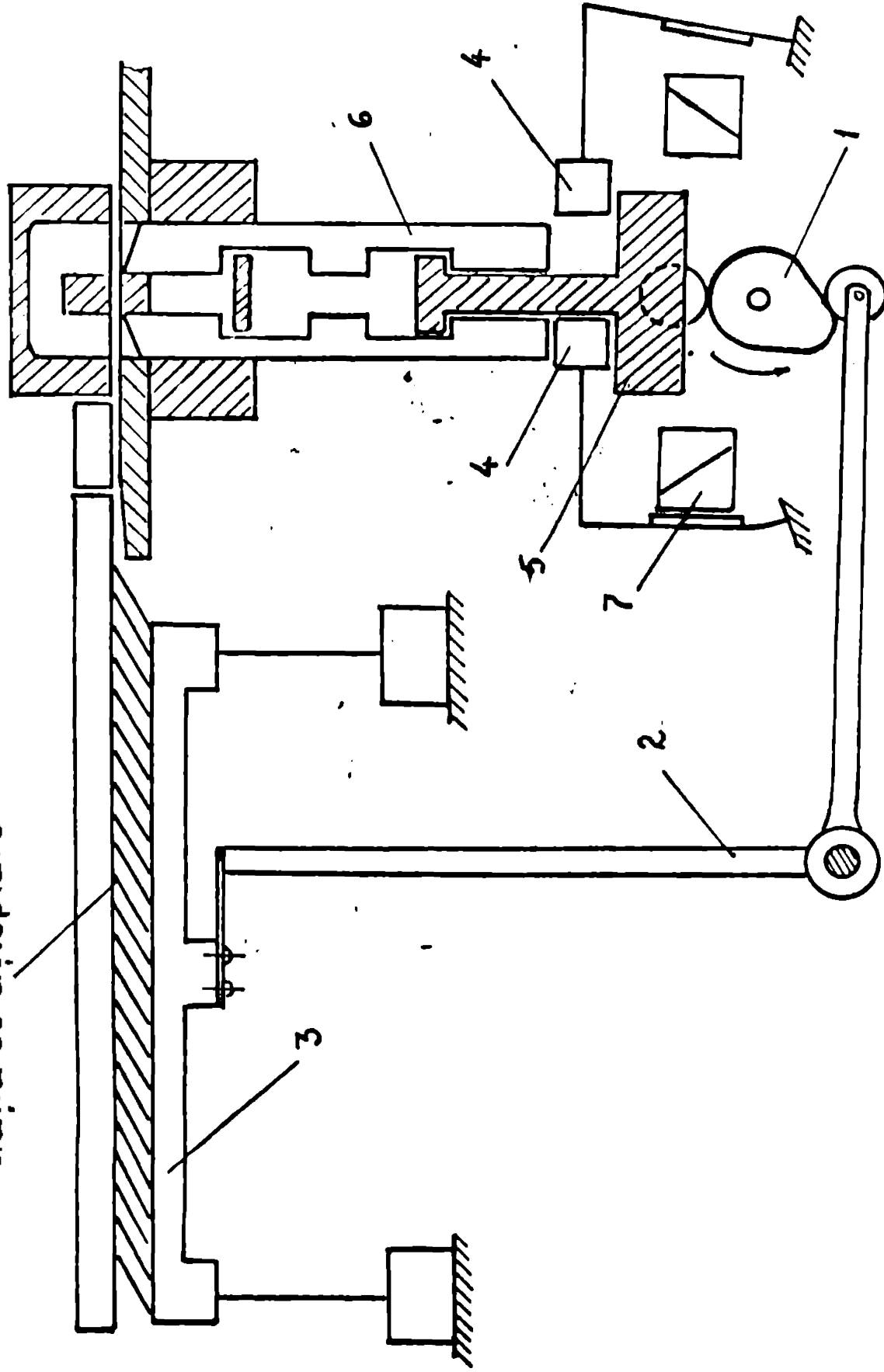


fig.2.2 Schema de principiu a mecanismelor de avans și
perforare la perforatorul de carotele M.I.VAC 1110

și prin intermediul actuatorilor activați, poansoncele perforază. După perforare actuatorii revin în poziția inițială și tacheții în urma de coborîre retrage poansoncele care au perforat.

Viteza de rotație a arborelui cu came este de 2520 rot/min și deci un ciclu de perforare durează 23,8 ms. Se remarcă la acest tip de perforator faptul că atât funcția de perforare cât și funcțiile de avans, transport și poziționare se realizează cu ajutorul unor mecanisme cu came ou tacheții în mișcare de translație, respectiv rotație.

Acest tip de perforator prezintă dezavantajul de a genera un nivel mare de zgomote și vibrații care îngreunează condițiile de lucru în stațiile de perforare pentru pregătirea datelor.

2.2.3 Perforatorul rapid de cartele din configurația sistemului de calcul

Spre deosebire de tipul de perforator prezentat anterior, perforator utilizat la pregătirea datelor de intrare, perforatorul rapid de cartele este un periferic utilizat la extragerea datelor din sistemul de calcul. Extragerea de date se face prin transpunerea acestora pe cartele perforate în vederea utilizărilor ulterioare, prin intermediul cititorului de cartele.

În configurația standard a unor sisteme de calcul electronic se găsește perforatorul rapid de cartele tip CII 72.165. Caracteristicile principale ale acestui tip de perforator sînt:

- | | |
|-------------------------|----------------------|
| - viteza de lucru | 60 - 200 cartele/min |
| - putere consumată | 1,5 kVA |
| - greutate | 250 kg |
| - dimensiuni de gabarit | 1,24 / 0,70 / 0,85 m |
| - capacitatea magaziei | 1500 cartele |

Perforarea se execută pe coloane, viteza cartelei în timpul perforării fiind de 0,221 m/s. Comenzile pentru deplasarea cartelei precum și sincronizarea între partea mecanică și partea electrică se asigură de către un arbore de programare cu came. Pe arbore sînt montate cinci came pentru comanda rozelor de antrenare, a unui cutit pentru frînarea cartelei și a cutitului de poziționare, precum și patru came care acționează o serie de contacte electrice din sche-

ma electrică generală.

Operațiunea de perforare se realizează coloană cu coloană în timpul opririi cartei. Perforarea în marș presupune că mecanismul de perforare execută o mișcare de oscilație. În prima fază a mișcării dispozitivul de perforare se deplasează cu o viteză egală cu viteza de marș a cartei, timp în care are loc și perforarea cartei. În faza a doua, după rotirea perșă poansoanelor, dispozitivul este readus cu viteză ridicată în poziția inițială, de unde începe un nou ciclu de perforare.

În timpul funcționării dispozitivului de perforare, respectiv poansoanelor și plachetele de perforare sunt montate pe un mecanism camă cu tchet oscilant.

În figura 2. se prezintă o schemă generală de funcționare a acestui tip de perforator. Cartela de perforat se extrage din stația de alimentare și după o scurtă oprire în stația de recepție unde se face poziționarea ei, este transportată spre secția de perforare. La terminarea operațiunii de perforare cartela este prelucrată de tamburul de eliminare și expediată la magazia de recepție. În timpul funcționării se prezintă schematic mecanismul de perforare. Acesta cuprinde următoarele mecanisme tip camă cu tchet oscilant:

- a) mecanismul de perforare, pe care sunt montate poansoanelor de perforare,
- b) mecanismul de percuție, care prin intermediul unor piese acționează asupra poansoanelor, a căror poziție este comandată de la placheta de perforare,
- c) mecanismul de rearzare, care readuce în poziția inițială poansoanele acționate.

Frecvența de lucru a acestor mecanisme este de aproximativ 10 cicluri pe secundă.

Acest echipament lucrează în legătură cu unitatea centrală și cu unitatea de schimb a sistemului. Aceste două unități comandă și urmăresc funcționarea perforatorului și îi transmit datele pentru perforare. Aceste date se extrag din unitatea de memorie sau de pe un alt suport informațional, cum sunt discurile sau benzile magnetice.

Întrucât un avantaj al echipamentului pentru perforarea rapidă a cartei este că indicile scânt de utilizare al acestuia în exploatarea sistemului de calcul.

Un alt avantaj este că, care asigură un nivel ridicat de utilizare a acestui echipament, este aceea în care perforatorii rapidi se utilizează în principal pentru perforarea datelor de intrare, înlocuind astfel perforatoarele individuale de tip...

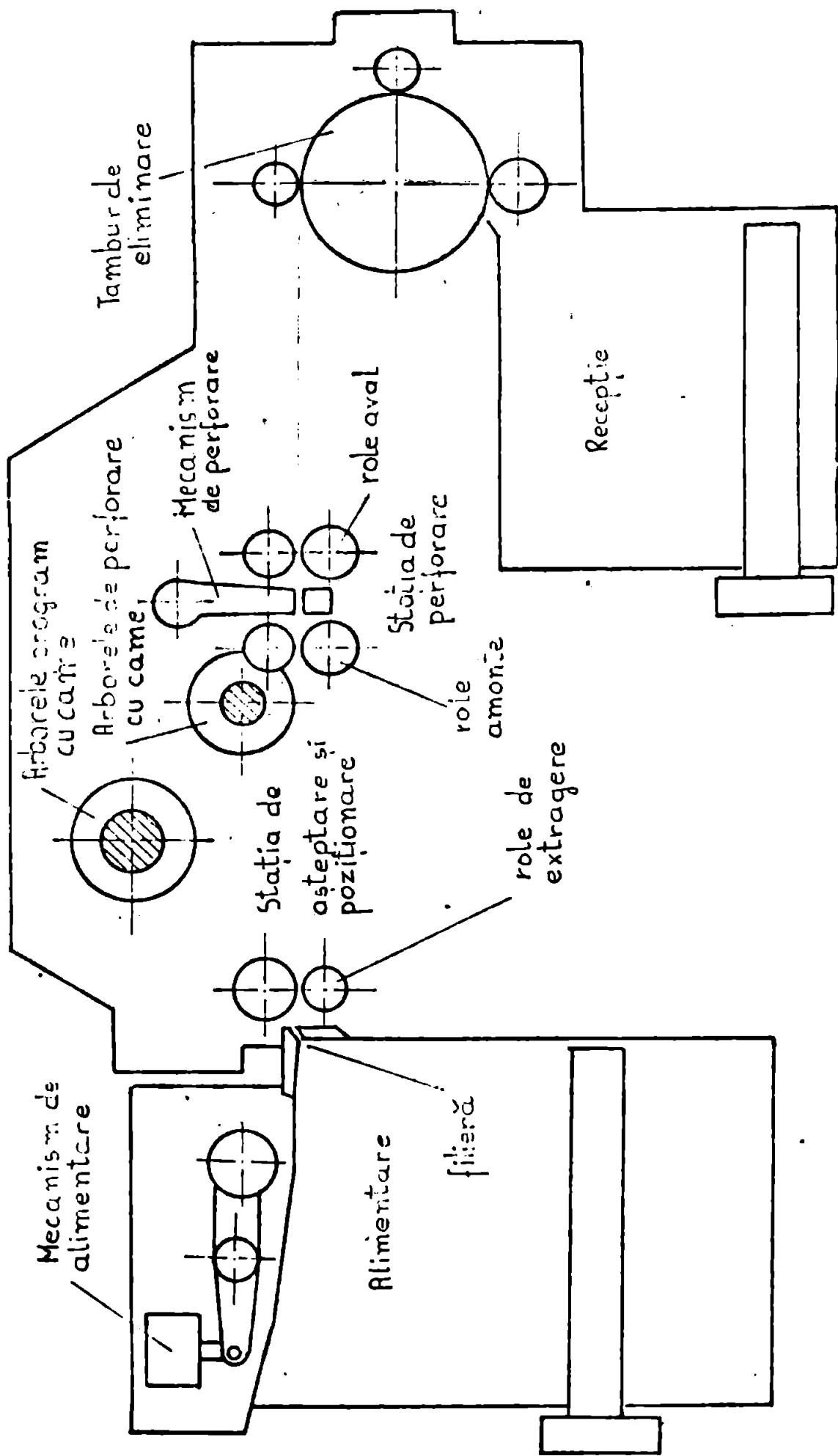


fig. 2.3 Schema de ansamblu a perforatorului C.I.I. 72165

...no, So Hiperol, Anigma sau Juki. Această funcție de perforare a ca-
...lărilor cu date de intrare nu exclude posibilitatea ca sistemul
...ntrețel să aibă acces prioritar la perforarea pe același echipa-
...nt de a unor date de ieșire. O propunere în acest sens se prezintă
...ole ca următorul.

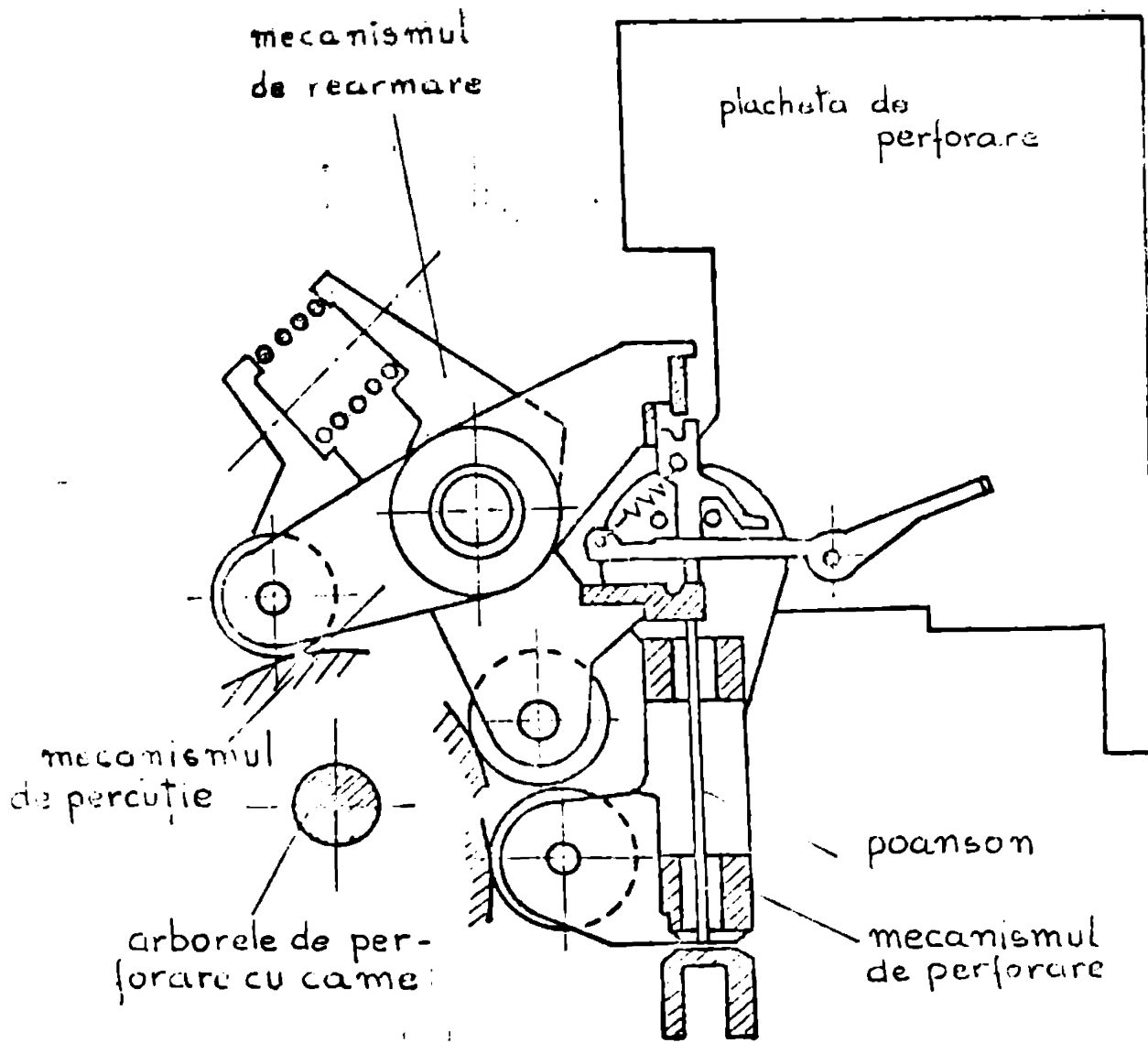


fig.2. Perforatorul C.I.I. 72615
Stația de perforare

2.3 Sistem pentru perforarea centralizată a cartelelor

În cadrul sistemului centralizat pentru perforarea cartelelor, un perforator rapid servește mai multe terminale pentru propărea datelor de intrare /20/. La nivelul terminalului informațiile primare se introduc prin intermediul unei tastaturi, într-o memorie tampon. Când blocul de date este complet, se solicită accesul la perforatorul central pentru perforarea pe o cartelă a datelor stocate. Numărul de terminale care se pot lega la o unitate centrală de perforare este în funcție de viteza de lucru a acesteia. Cererile de perforare lansate de la terminale se tratează în concordanță cu prioritatea atribuită fiecăruia, prin legarea în serie a lor față de perforatorul central, așa cum se vede și în figura 2.5.

În această situație prioritatea maximă o are terminalul nr. 1. Dacă numărul de terminale la care se lucrează simultan este în concordanță cu viteza de lucru a perforatorului și cu gradul de umplere a cartelelor cu date, atunci printr-o interfață adecvată se poate asigura un efect "ON-line" pentru toate terminalele. Prin efectul "ON-line" se definește situația în care terminalele nu se stînjenesc reciproc, iar operatorul are impresia că lucrează singur cu unitatea centrală, fără a sesiza un interval de timp de așteptare pentru cererea de perforare lansată. În figura 2.6 se dă o schemă principială a perforatorului central, unde s-au făcut următoarele notații:

- 1 magazia de alimentare cu cartele
- 2 tambur cu vid pentru alimentare
- 3 stația de poziționare
- 4 stația de perforare
- 5 stația de citire și semnalizare a intrării cartelei
pe trasoul de înmagazinare
- 6 tambur de recepție
- 7 role de transport
- 8 clapetă pentru dirijarea cartelei în magazia de recepție
- 9 magazie pentru fiecare terminal plus magazia de rezervă

Pentru a avea posibilitatea ca ^{de} la fiecare ^{terminal} să se poată introduce date de la lucrări independente, fiecărui terminal i se atribuie o magazie de recepție. Acest mod de lucru impune ca unitatea centra-

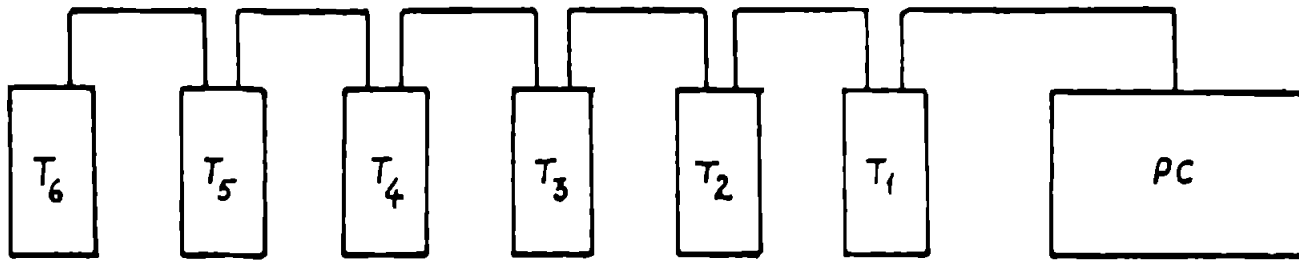


fig. 2.5 Schema de legare a terminalelor

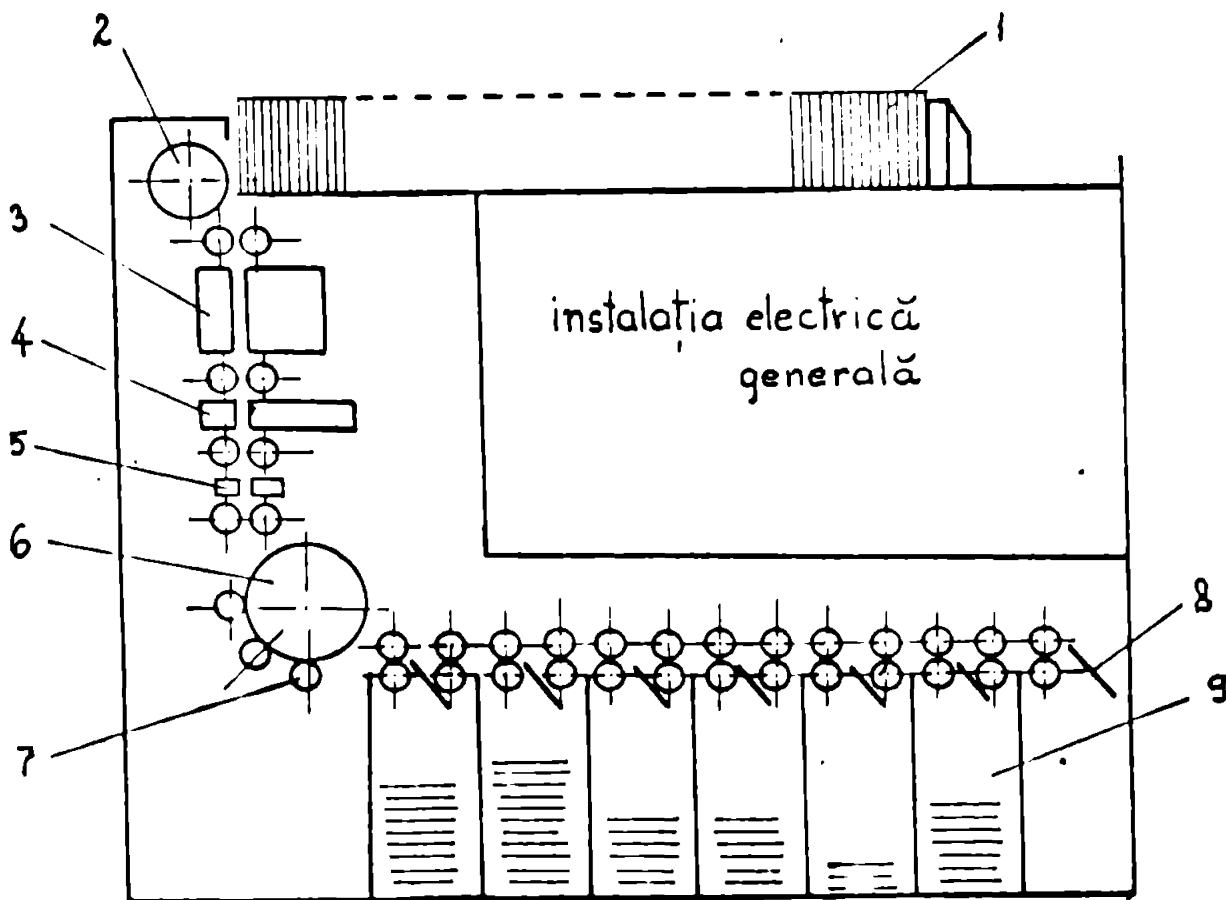


fig. 2.6 Schema de principiu a perforatorului central

lă să rebunoască terminalul și să efectueze o înmagazinare selectivă a cartelelor. Prin niște linii de întârziere adecvate se pot comanda clapetole de dirijare B, astfel încît în funcție de viteza carteloi pe traseul de înmagazinare și de distanța pe care trebuie să o parcurgă de la stația de perforare și pînă la magazia aferentă, recepția cartelei să se poată face corect chiar și în situația în care pe traseu se găsesc mai multe cartole perforate, cu date provenind de la terminale diferite.

Realizarea și utilizarea unui astfel de sistem de perforare prezintă o serie de avantaje tehnico-economice cum sînt:

- 1) eliminarea din exploatare a perforatoarelor lente,
- 2) asigurarea unui grad mare de utilizare a perforatoarelor rapide din configurația sistemului de calcul,
- 3) îmbunătățirea condițiilor de lucru pentru personalul de exploatare, prin izolarea perforatorului de încăperea unde sînt instalate terminalele,
- 4) realizarea unei economii importante de materiale și energie, ținînd cont de faptul că un perforator rapid care are o greutate și un consum de energie de aproximativ 1,5-2 ori mai mari decît un perforator lent, poate înlocui pînă la 15 asemenea perforatoare.

Soluția propusă de autor în acest sens a fost brevetată la OSIM.

Rentabilitatea sistemului este cu atît mai mare cu cît viteza de lucru a perforatorului este mai mare în general, dar în special trebuie pus accent pe viteza de lucru a dispozitivului de perforare.

Deoarece partea electronică poate lucra la viteze mult superioare față de performanțele subansamblelor funcționale mecanice, direcția principală pentru ameliorarea performanțelor sistemului este aceea de a perfecționa continuu mecanismele din construcția perforatorului central.

Intre mecanismele dispozitivului de perforare, cea mai importantă funcție o îndeplinește mecanismul de perforare, care asigură posibilitatea ca ocaastă operațiune să se poată desfășura în timpul deplasării cartelei.

În acest scop trebuie sintetizate mecanisme corespunzătoare, care pot lucra corect la frecvențe ce depășesc loc cicluri pe secundă, cu nivele de zgomote, vibrații și uzură cît mai scăzute.

497000
189

Stadiul actual al cercetărilor în domeniul
sintezei mecanismelor cu came

3.1 Stabilirea ecuațiilor de mișcare pentru mecanismele cu
came care funcționează la viteze ridicate

Ridicarea continuă a vitezei de funcționare a mecanismelor cu came a impus studierea unor metode noi de sinteză, astfel încât să se realizeze mecanisme corespunzătoare din punct de vedere cinematic și dinamic.

Această acțiune se desfășoară în două etape principale:

- a) stabilirea unei legi de mișcare care să elimine șocurile vitezei, accelerației și chiar a accelerațiilor de ordin superior;
- b) sinteza mecanismului în baza legii de mișcare stabilită anterior, astfel încât să se evite noaterile funcției de ieșire față de funcția de intrare, în afara unor limite impuse.

Diferența între funcția de intrare, materializată pe camă și funcția de ieșire generată la nivelul tachetului sau a altui element final de ieșire, se datorează în special solicitărilor dinamice manifestate prin deformări elastice ale elementelor din care se compune mecanismul și prin vibrații care în anumite condiții, corelate cu unele aspecte cinematice ale mișcării, pot duce la desprinderi ale cuplei cinematice superioare a mecanismului.

La ora actuală cele mai uzuale procedee de sinteză a mecanismelor cu came constau în materializarea pe camă a legii de mișcare stabilită conform cu condițiile arătate în punctul a.

Prelucrarea mecanică prin copiere a impus și a menținut procedeele grafo-analitice, drept principalele procedee de sinteză a acestor mecanisme. Aceste metode sînt tratate într-o serie de lucrări de specialitate /39, 38, 41, 53, 51, 2 /. Metodele grafo-analitice prezintă o serie de avantaje cum sînt:

- permit obținerea rapidă a unei soluții pentru mecanismul de proiectat,
- se pot soluționa probleme de sinteză care pe cale analitică sînt mai greu de abordat.

Precizia scăzută a procedeeilor grafo-analitice este însă o deficiență importantă, care impune tot mai insistent soluționarea problemelor de sinteză a mecanismelor pe cale pur analitică. Sinteza analitică, asistată cu programe corespunzătoare pentru prelucrarea cu ajutorul calculatorului a datelor de proiectare, garantează obținerea unor rezultate mult îmbunătățite atât din punct de vedere cantitativ cât și calitativ. Din aceste motive procedeele de sinteză analitică sunt studiate în tot mai multe lucrări de specialitate / 29, 36, 41, 51, 60, 76, 78, 90, 91, 106, etc./ . În aceste lucrări se acordă o importanță deosebită mijloacelor teoretice pentru analiza mecanismelor cu came, analiză care înglobează totalitatea procedeeilor și instrumentelor matematice și de laborator pentru investigarea caracteristicilor și a performanțelor acestora și permite luarea unor decizii asupra acțiunii de sinteză și directivarea ei în vederea obținerii rezultatelor dorite. Astfel analiza și sinteza sînt două laturi complementare ale procesului de proiectare a mecanismelor cu came, proces care implică o serie de cicluri: sinteză-analiză-sinteză. În multitudinea de

funcții pe care le generează mecanismele cu came, un loc aparte îl ocupă funcția treaptă. Această funcție presupune executarea unor salturi între un palier inferior unde valoarea funcției este: $s=0$ și un palier superior caracterizat prin valoarea $s=h$. Un salt pozitiv al funcției treaptă este prezentat în fig. 3.1. Funcția teoretică și ideală pe care trebuie să o execute elementul de ieșire al mecanismului s-a prezentat cu linie întreruptă: ot_0abc . Saltul negativ se execută la trecerea funcției de ieșire de la valoarea $s=h$ la $s=0$. Mecanismele care în mod ideal ar trebui să furnizeze o asemenea funcție de ieșire, au o largă întrebuințare în industrie la construcția mașinilor unelte, mașinilor textile și a motoarelor cu ardere internă. Din motive care țin de dinamica mecanismelor, o asemenea funcție care implică variații, teoretic până la valori infinite, a caracteristicii de viteză, nu poate fi realizată ca atare. Pentru a îmbunătăți dinamica mecanismului, palierul inferior se racordează cu ajutorul unor legi de mișcare corespunzătoare la

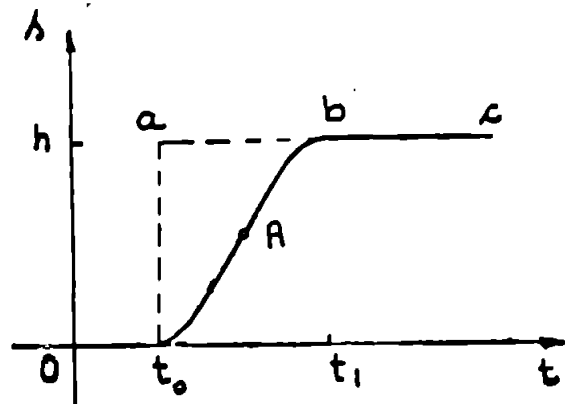


fig. 3.1

palierul superior. Funcția reală are alura: ot_0Abo , prezentată în figură cu linie continuă. Saltul se realizează în intervalul de timp $\Delta t = t_1 - t_0$.

Performanțele legilor de mișcare și a mecanismelor sintetizate corespunzător, se apreciază după lărgimea intervalului de timp Δt , interval care îi corespunde o așa numită cronosecțiune reprezentată prin suprafața triunghiului curbiliniu t_0ab . Funcțiile utilizate în mod frecvent pentru recordare sînt: parabolică, sinusoidală, cosinusoidală sau o polinomială de ordin superior. Principalele caracteristici cinematice ale acestor legi de mișcare sînt date în literatură de specialitate /51, 53/. Se demonstrează că punctul de inflexiune A al curbei de racordare trebuie ales pe diagonala t_0b a dreptunghiului t_0abt_1 /51/.

În mod uzual legea de mișcare se stabilește pornind de la legea de variație a accelerației. La trasarea diagramelor de viteză și de accelerație se folosesc mărimile reduse ale acestora. Prin integrări succesive a funcției de accelerație se obține legea de mișcare dorită. Așa cum s-a arătat mai sus cele mai uzuale legi de variație a accelerației sînt:

a) legea de mișcare parabolică cu accelerație uniformă:

$$\frac{d^2s}{d\varphi^2} = \frac{a}{l} s \quad \text{și} \quad s = \frac{a}{2} \varphi^2 + b\varphi + c$$

b) legea de mișcare cu variația cosinusoidală a accelerației:

$$\frac{d^2s}{d\varphi^2} = C \cos(A\varphi + B), \quad s = -\frac{C}{A^2} \cos(A\varphi + B) + C_1\varphi + C_2$$

c) legea de mișcare cu variația sinusoidală a accelerației:

$$\frac{d^2s}{d\varphi^2} = C \sin(A\varphi + B), \quad s = -\frac{C}{A^2} \sin(A\varphi + B) + C_1\varphi + C_2$$

d) legea de mișcare poliarmonică

$$\frac{d^2s}{d\varphi^2} = \frac{\pi^2 h}{2\varphi_1^2} \sum_{j=1}^n (-1)^{j-1} \cos \frac{j\pi}{\varphi_1} \varphi$$

$$s = \frac{h}{2} \sum_{j=1}^n (-1)^{j-1} \frac{1}{j^2} \left(1 - \cos \frac{j\pi}{\varphi_1} \varphi\right)$$

c) legile de mișcare complexă cu variația accelerației după o funcție trapezoidală simplă sau trapezoidală racordată.

În principiu diferențele între aceste legi de mișcare constau în prezența sau absența șocurilor dure sau moi, a gradului de netozire a funcției de mișcare și a valorilor ale vitezei și a accelerației. Coeficienții se determină punând condițiile limită la capetele intervalului de ridicare respectiv coborîre.

Racordarea cu unele legi, cum sînt ^{legile de} mișcare trapezoidală simplă sau racordată, permite o rectificare a curbilor de viteză și accelerație astfel încît să se obțină o poziție convenabilă pentru valorile maxime ale acestora.

Rezultatele cele mai bune în această direcție s-au obținut prin folosirea legilor de racordare polinomială /53/. Forma generală a polinomului mișcării este următoarea:

$$y = C_p x^p + C_q x^q + C_r x^r + C_s x^s + \dots \quad (3.1)$$

Dacă se pune următoarea condiție: $\frac{d^j y}{dx^j} = 0$ pt. $j = 0, 1, \dots, n$ rezultă: $C_j = 0$ pentru $j = 0, 1, \dots, n$

Dacă se pun următoarele condiții:

$$x = 0, y = 0, y' = 0, \dots, y^{(j)} = 0, y^{(j+1)} \neq 0$$

$$\text{și } x = 1, y = 1, y' = 0, \dots, y^{(j)} = 0 \quad (3.2)$$

rezultă următoarea formă pentru polinomul de mișcare:

$$y = \sum_{k=j+1}^{2j+1} C_k x^k$$

Utilizarea funcțiilor polinomiale de racordare permite exercitarea unui control local riguros a legii de mișcare. Studiul acestora în vederea alegerii unei variante optime se poate face pe cale analitică utilizînd tehnica de calcul. Pentru determinarea coeficienților C_k ai polinomului, s-au stabilit expresii analitice general valabile /53/. Formulele pentru calcularea coeficienților se determină plecînd de la expresia generală a polinomului și de la condițiile limită. Se obține astfel un sistem de ecuații generalizate sub formă:

$$\begin{cases} C_p + C_q + C_r + C_s = 1 \\ pC_p + qC_q + rC_r + sC_s = 0 \\ p(p-1)C_p + q(q-1)C_q + r(r-1)C_r + s(s-1)C_s = 0 \end{cases} \quad (3.3)$$

de unde rezultă coeficienții:

$$C_p = \frac{qrs}{(q-p)(r-p)(s-p) \dots}$$

$$C_q = \frac{prs}{(p-q)(r-q)(s-q) \dots}$$

$$C_r = \frac{pqs}{(p-r)(q-r)(s-r) \dots}$$

$$C_s = \frac{pqr}{(p-s)(q-s)(r-s) \dots}$$

(3.4)

Pentru mecanismele care în faza de ridicare sau de coborire realizează funcția de ieșire necesară, problema stabilirii unei legi de mișcare corespunzătoare este mai dificilă deoarece se impune racordarea acestei funcții la palierul inferior și superior al mișcării.

3.2 Criterii și procedee pentru determinarea gabariturii camelor

Parametrul geometric care stă la baza procedeelor pentru determinarea gabariturii minime a camelor este unghiul de presiune. La mecanismele cu camă, unghiul de presiune se definește prin unghiul care se formează între normala în punctul de contact și direcția de deplasare a tchetului. În figura 3.2 a și b s-au prezentat situațiile a două mecanisme,

cu camă, primul cu tchet în mișcare de translație, al doilea cu tchet oscilant. În ambele cazuri dreptele Bd fiind direcțiile de mișcare a tchetului, s-a notat cu δ unghiul de presiune și cu $\tau = 90^\circ - \delta$.

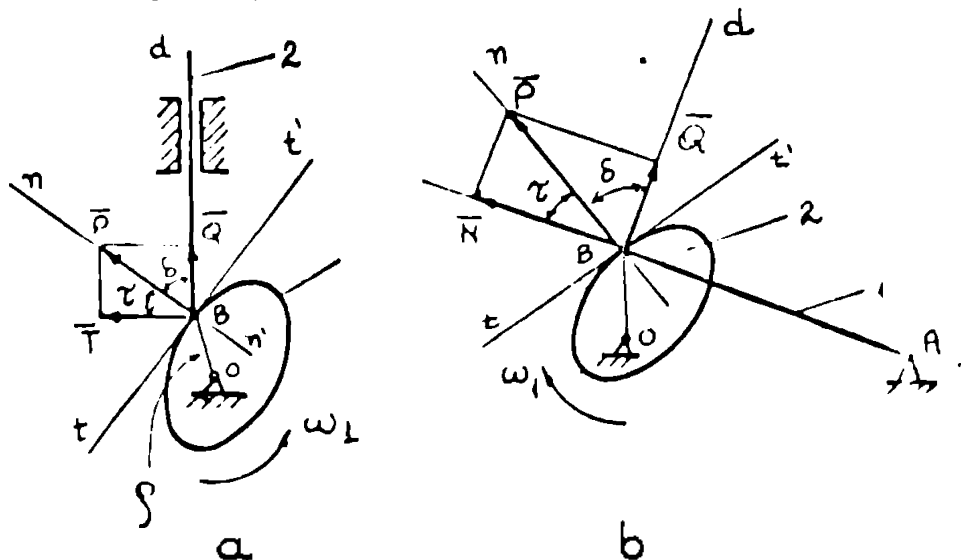


fig. 3.2

unghiul de transmitere. Reacțiunea P dintre camă și tachet se poate descompune în două componente:

- componenta utilă Q orientată pe direcția de deplasare a tachetului,
- componenta tangențială T , sau normală N , care soliciță tachetul.

Din punct de vedere al mecanismului este necesar ca unghiul de presiune δ să fie cât mai mic și deci componenta utilă a forței să fie maximă. Acest deziderat impune utilizarea unor came cu gabarit mare. Mărind unghiul de presiune pentru a micșora gabaritul camii și renunțând astfel la funcționarea mecanismului cu un randament optim, limita unghiului este dată de un gabarit minim la care apare fenomenul de autoblocare.

Valoarea unghiului de presiune se poate alege între două limite: limita minimă dictată de gabaritul maxim admis pentru camă și limita maximă necesară pentru evitarea autoblocării.

Stabilirea unor formule de legătură între unghiul de presiune și parametrii geometrici și cinematici ai mecanismului [36, 38, 51, 52],

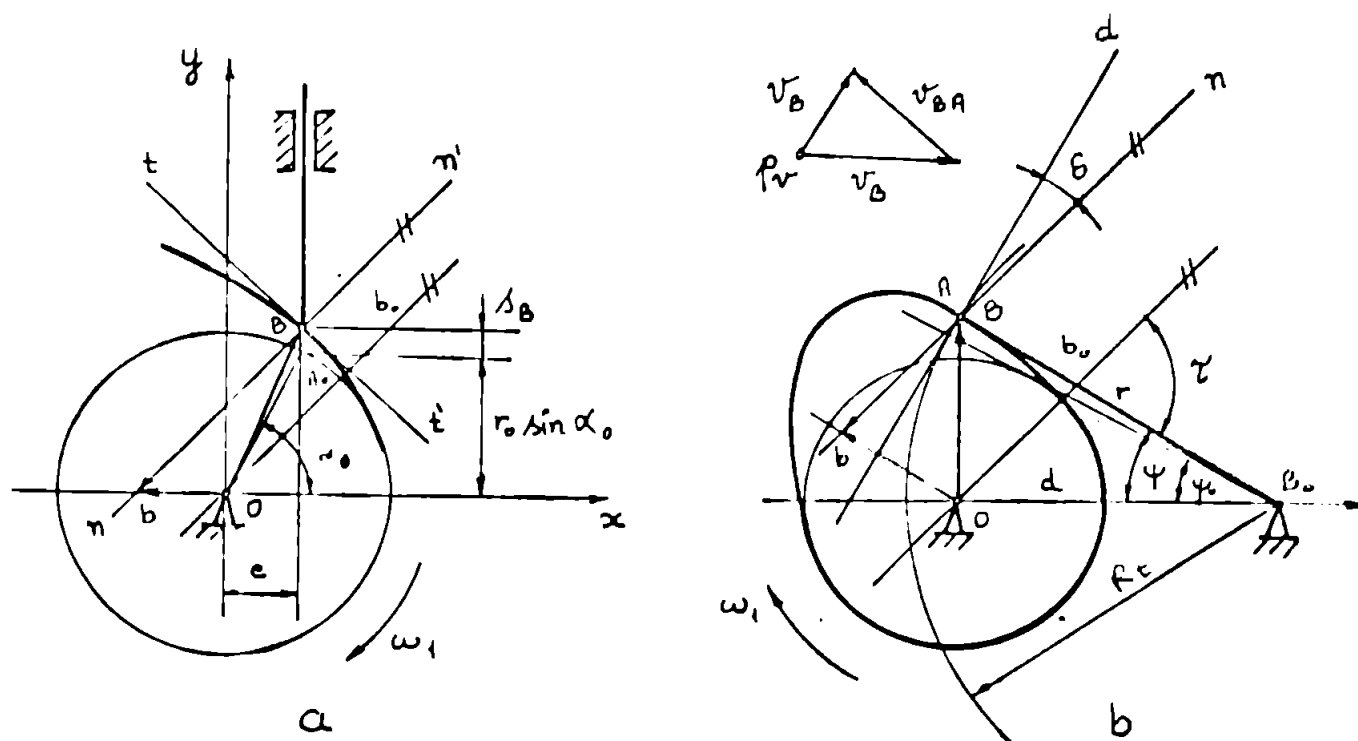


fig. 3.3

permit calcularea acestui unghi pentru diferite poziții ale mecanismului, precum și determinarea grafică sau analitică a gabaritului minim al camelor.

În fig. 3.3 se prezintă elementele necesare determinării unghiului

lui de presiune. Pentru tachetul în mișcare de translație rezultă următoarea formulă:

$$\operatorname{tg} \delta = \frac{\frac{v_B}{\omega_1} \pm 0}{s_B + r_0 \sin \alpha_0} \quad (3.5)$$

iar pentru tachetul oscilant se obține:

$$\operatorname{tg} \delta = \frac{\frac{v_B}{\omega_1} \pm (d \cdot \cos \psi - R_t)}{d \cdot \sin \psi} \quad (3.6)$$

unde $R_t = B_0 B$ lungimea tachetului
 $d = OB_0$ distanța între articulații.

Se remarcă că în ambele situații este valabilă următoarea observație: dacă poligonul vitezelor reduse se construiește la scara spațiului cu polul în punctul B și rabătut cu 90° în direcția de rotire a camei, se obține un punct b_0 ca și vîrf al vectorului vitezei reduse v_B/ω_1 și o dreaptă paralelă cu normala nn' dusă prin b_0 trece prin articulația O a camei.

Această observație permite stabilirea unei zone unde se poate plasa punctul O. Procedeu grafic este prezentat detaliat în lucrările enumerate. La proiectarea curentă a mecanismelor cu came se recomandă pentru unghiul de presiune valoarea $\delta = 45^\circ$.

Fiind determinată raza cercului de bază, notată cu r_0 se poate stabili raza rolei tachetului cu formula: $R_r = (0,4 - 0,5) r_0$ (3.7)

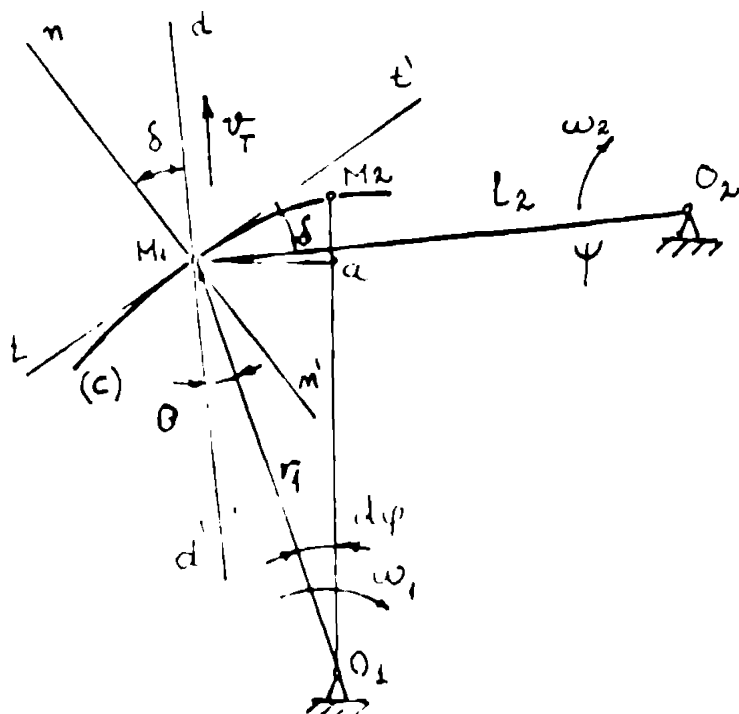


fig. 3.4

Determinarea razei cercului de bază se face și pe cale analitică atunci cînd se cunoaște viteza unghiulară maximă a tachetului /39/. În fig. 3.4 se prezintă parțial un mecanism camă cu tachet oscilant. La momentul inițial considerat, punctul caracteristic al mecanismului se găsește în poziția M_1 . Unghiul de presiune format de normala nn' cu direcția dd' de mișcare, se notează cu δ . Cu θ notăm unghiul format de direcția

dd' cu raza $r_1 = O_1M_1$ a camei. Considerînd o rotire infinit mică a camei cu unghiul $d\varphi$, punctul caracteristic se deplasează în M_2 . Se duce segmentul de dreaptă $M_1a \perp O_1M_2$ și considerăm triunghiul curbiliniu M_1aM_2 ca și un triunghi dreptunghic oarecare. Deoarece avem $dd' \perp M_1O_2$ se pot scrie următoarele relații:

$$\operatorname{tg}(\delta \pm \theta) = \frac{dr}{r_1 \cdot d\varphi} \quad (3.8)$$

unde $dr = r_2 - r_1$ se poate scrie și sub forma următoare:

$$dr = l_2 \cdot d\psi$$

unde s-a notat lungimea tachelului cu l_2 , iar unghiul lui de rotație cu $d\psi$ și deci:

$$\operatorname{tg}(\delta \pm \theta) = \frac{l_2 \cdot d\psi}{r_1 \cdot d\varphi} \quad (3.9)$$

În ultima formulă înlocuim raza r_1 cu valoarea: $r_1 = R_b + \Delta r(t)$,

unde: R_b este raza cercului de bază

$\Delta r(t)$ este variația distanței de la punctul caracteristic la axa camei, mărime care se află din legea de mișcare a tachelului.

Rezultă:

$$\operatorname{tg}(\delta \pm \theta) = \frac{l_2}{R_b + \Delta r(t)} \cdot \frac{\omega_2(t)}{\omega_1} \quad (3.10)$$

și obținem:

$$R_b = \frac{l_2}{\operatorname{tg}(\delta \pm \theta)} \cdot \frac{\omega_2(t)}{\omega_1} - \Delta r(t) \quad (3.11)$$

În expresiile de mai sus se consideră că viteza unghiulară a camei este constantă.

Dacă se consideră ^{ca} mecanismul are tachelul în mișcare de translație după direcția dd' cu viteza $v_T(t)$, raza cercului de bază pentru acest mecanism se determină cu o formulă similară:

$$R_b = \frac{l_2}{\operatorname{tg}(\delta \pm \theta)} \cdot \frac{v_T(t)}{\omega_1} - \Delta r(t) \quad (3.12)$$

Pentru calcularea efectivă a razei cercului de bază, se determină raportul maxim $\omega_2(t) / \omega_1$ respectiv $v_T(t) / \omega_1$, valoarea unghiului θ și a deplasării $\Delta r(t)$. Pentru unghiul de presiune se

alege valoarea maximă admisă.

3.3 Principii de sinteză dinamică a mecanismelor cu came

Executarea camelor prin materializarea directă a funcției de ieșire dorită, este un procedeu care nu corespunde pentru mecanismele care funcționează la viteze ridicate. În acest caz trebuie să luăm în considerare o serie de parametri cum sînt: forțele de inerție, elasticitatea elementelor componente, forma constructivă, jocurile tehnologice, forța de închidere a cuplei superioare, etc. Cu ajutorul acestor parametri se realizează un model dinamic care poate descrie cît mai fidel modul de funcționare al mecanismului real.

Din punct de vedere al rigidității, mecanismele cu came se pot împărți în două categorii / 106 /:

- a) sisteme semirigide care prezintă deformații relativ mici a pieselor componente și mase mărite corespunzător;
- b) sisteme flexibile, care prin deformații mari ale elementelor stochează energie potențială ce poate fi eliberată rapid.

Cercetările din domeniul sintezei mecanismelor cu came care lucrează la viteze mari, au dus la crearea unor modele mecanice și matematice complexe: /60, 70, 71, 93, 98, 106 /. Un asemenea model /71/ pentru realizarea căruia s-au luat în considerare vibrațiile transversale, interacțiunea dintre mecanism și agregatul de antrenare, frecarea în cupla superioară și vibrațiile torsionale, descrie mecanismul de distribuție al unui motor cu ardere internă, cu ajutorul a 20 de parametri. Acest model generalizat se poate particulariza și pentru cazuri mai simple. În lucrare se propun două criterii de bază pentru aprecierea comportării mecanismelor la viteze ridicate:

- asigurarea continuității mișcării,
- limitarea încărcărilor în cuplele superioare.

Utilizarea în practică a acestei modelări este dificilă din punct de vedere al instrumentului matematic complex pe care îl necesită.

Cu toate că ipotezele simplificatoare pe care le presupune, îl îndepărtează de situația reală considerată, modelul monomasic, cu un

singur grad de libertate, se dovedește a fi un instrument eficace în studiul mecanismelor cu came / 53, 97, 99, 106 /. În fig.3.5 se prezintă un model dinamic cu un singur grad de libertate / 60 /. Se consideră masa mecanismului concentrată la nivelul tachetului și se neglijează masa resortului de închidere.

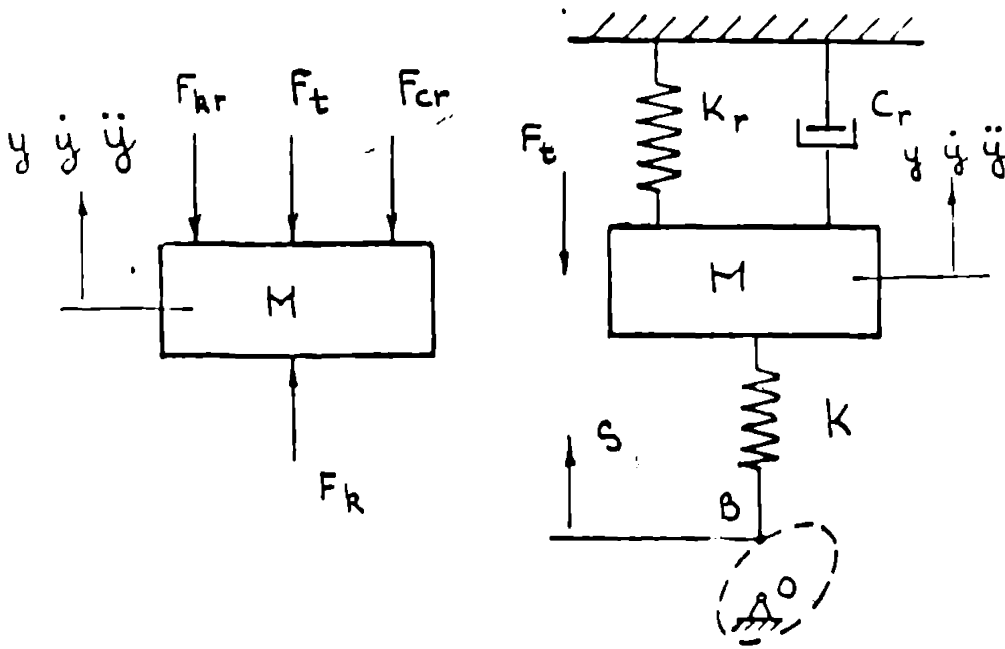


fig. 3.5

zintă un model dinamic cu un singur grad de libertate / 60 /. Se consideră masa mecanismului concentrată la nivelul tachetului și se neglijează masa resortului de închidere. În figură se prezintă și diagrama de echilibru a forțelor care acționează asupra tachetului. Semnificația notațiilor este următoarea:

- F_t forța tehnologică
- K_r constanta elastică a arcului
- M masa echivalentă
- C_r coeficient de pierderi viscoase
- K constanta elastică echivalentă a sistemului
- S funcția modelată pe camă

Forțele elastice se calculează ținând cont de forța de preîncărcare P , iar forța datorată frecărilor viscoase se consideră proporțională cu viteza și au următoarele expresii:

$$\begin{aligned} F_k &= K (S - y) + P \\ F_{kr} &= K_r y + P \\ F_{cr} &= C_r \frac{dy}{dt} \end{aligned} \quad (3.13)$$

În formulele de mai sus s-a notat cu y funcția care trebuie realizată la ieșirea mecanismului. Forța tehnologică F_t prezintă variații specifice și din acest motiv se elimină din calculele ulterioare. Ecuația de echilibru dinamic este:

$$M \frac{d^2 y}{dt^2} = F_k - F_{kr} - F_{cr} \quad (3.14)$$

Făcând înlocuirile și aranjând termenii se obține ecuația canonică a mișcării:

$$S' = \frac{M d^2 y}{K dt^2} + \frac{C_r dy}{K dt} + \frac{K + K_r}{K} y \quad (3.15)$$

Problema de sinteză care se pune este de a obține pentru o funcție $y(t)$ cerută la ieșirea mecanismului, funcția de intrare $S(t)$ care urmează să fie materializată prin μ și λ al camiei.

În continuare ecuația de mișcare se scrie sub forma de mai jos:

$$S = u_m \cdot y'' + u_c \cdot y' + u_k \cdot y \quad (3.16)$$

unde pentru coeficienții u_m , u_c , u_k se indică următoarele valori:

- coeficientul de masă $u_m = 10^{-6}$ pentru viteze joase
unde $S = y$;
 $u_m = 10^{-4}$ pt. viteze medii ;
 $u_m = 10^{-2}$ pt. viteze înalte ;

- coeficient de viscozitate

$$u_c \approx 0 ;$$

- coeficient de elasticitate

$$u_k \approx 1 \quad \text{deoarece} \quad K_r \ll K$$

În ecuația de mai sus cu y' și y'' s-a notat viteza ^{reală} respectiv accelerația, iar coeficienții pentru care s-au dat valorile de mai sus au următoarea formă:

$$u_m = \frac{M}{K} \omega_d^2 \quad ; \quad u_c = \frac{C_r}{K} \omega_d \quad ; \quad u_k = \frac{K + K_r}{K} \quad (3.17)$$

Practic se tinde la reducerea coeficientului u_m prin micșorarea masei M și prin mărirea rigidității K .

În lucrare se analizează modificarea funcției de ieșire când sistemul lucrează la altă viteză unghiulară decât cea de proiectare. Dacă se notează cu x funcția de ieșire pentru viteza unghiulară ω , cu y funcția de ieșire pentru viteza proiectată și cu $d = y - x$, se obține următoarea ecuație:

$$d'' + \frac{C_r}{M\omega} d' + \frac{K + K_r}{M\omega^2} d = [1 - (\omega_d/\omega)^2] y'' + \frac{C_r}{M\omega} [1 - (\omega_d/\omega)^2] y' \quad (3.18)$$

Soluția omogenă a ecuației are expresia :

$$d_h = e^{i\theta} [A \cos(\beta\theta) + B \sin(\beta\theta)] \quad , \quad (3.19)$$

iar soluția particulară are forma unui polinom:

$$d_p = a_0 + a_1 \cdot \theta + \dots + a_{t-1} \cdot \theta^{t-1}$$

Coordonatele soluției generale obținută prin suma $d = d_p + d_{sp}$ se calculează prin metoda coeficienților nedeterminați.

În fig. 3.6 se prezintă diagrama de variație a diferenței d în funcție de raportul ω / ω_d . În lucrare se recomandă o serie de reguli principale pentru mînteză mecanismelor cu came și se indică succesiunea principalelor operațiuni de proiectare.

Dacă coeficienții (3.7) se introduc în ecuația (3.16) se poate determina formula forței care acționează la suprafața camei.

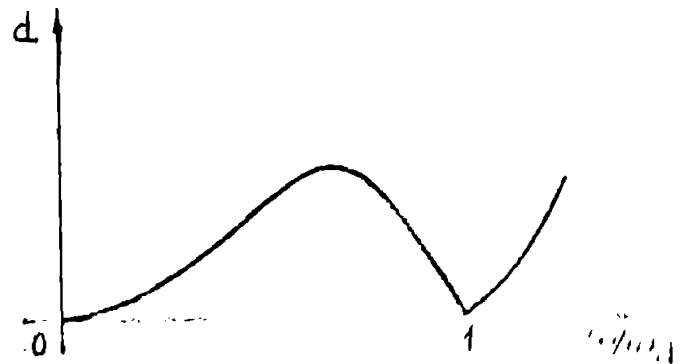


fig. 3.6

$$F_s = K(S - y) + P = M\omega_d^2 y'' + C_r \cdot \omega_d \cdot y' + K_r \cdot y + P \quad (3.20)$$

Alura de variație a acestei forțe dă indicații asupra solicitărilor de contact între camă și tachet.

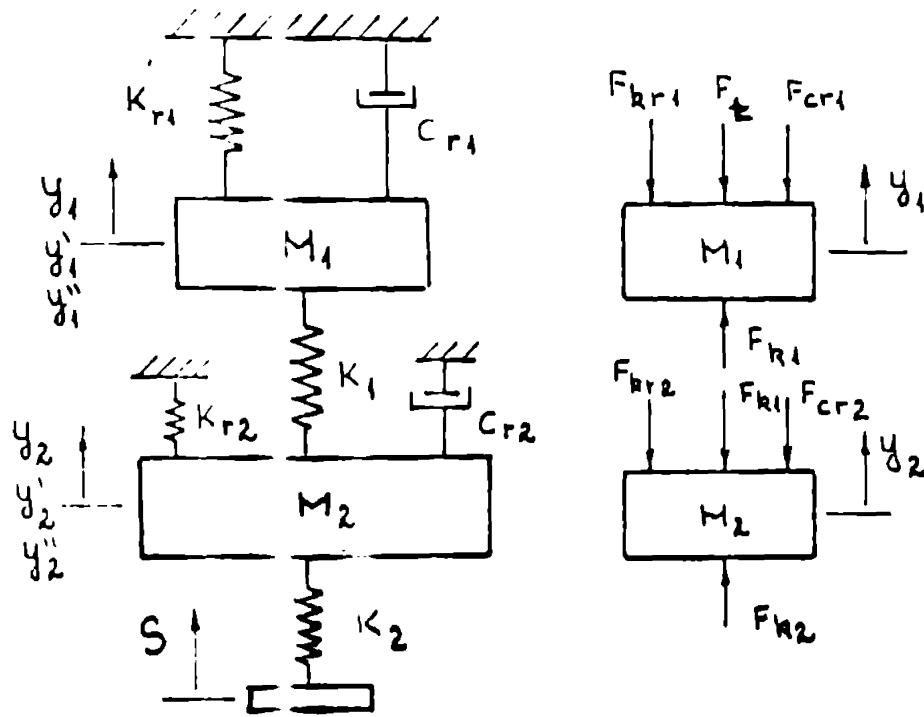
Pentru mecanismele care au mai multe elemente în lanțul cinematic, o aproximație mai convenabilă se realizează cu ajutorul unui model care are două grade de libertate. În lucrările care abordează acest model /98, 106 / se consideră masele elementelor concentrate în M_1 și M_2 așa cum se indică în fig. 3.7 unde s-au făcut următoarele notații:

- K_{r1} și K_{r2} constanta elastică a arcului,
- K_1 și K_2 constanta elastică a elementelor,
- C_{r1} și C_{r2} constante de amortizare viscoasă,
- y_1 și y_2 deplasarea maselor.

Expresiile forțelor din diagrama de echilibru sînt următoarele:

$$\begin{aligned} F_{k1} &= K_1 (y_2 - y_1) + P_1, & F_{k2} &= K_2 (S - y_2) + P_1 + P_2, \\ F_{kr1} &= K_{r1} y_1 + P_1, & F_{kr2} &= K_{r2} y_2 + P_2, \\ F_{cr1} &= C_{r1} \frac{d y_1}{dt}, & F_{cr2} &= C_{r2} \frac{d y_2}{dt}. \end{aligned}$$

Cu P_1 și P_2 s-au notat forțele de pretensionare



Cu F_t s-a notat
forța tehnologică.

Se dau mai jos ecuațiile de echilibru pentru forțele care acționează asupra celor două mase.

fig. 3.7

$$M_1 \frac{d^2 y_1}{dt^2} = F_{k1} + F_{kr1} + F_{or1} - F_t \quad (3.21)$$

$$M_2 \frac{d^2 y_2}{dt^2} = F_{k2} - F_{kr2} - F_{cr2} - F_{k1} \quad (3.22)$$

Din ecuațiile de mai sus rezultă legea de mișcare:

$$y_2 = \frac{M_1}{K_1} \omega_d^2 y_1'' + \frac{C_{r1}}{K_1} \omega_d y_1' + \frac{K_1 + K_{r1}}{K_1} y_1 + \frac{F_t}{K_1} \quad (3.23)$$

Prin derivări succesive se obține:

$$\frac{d^2 y_2}{dt^2} = K_2 (S - y_2) + F_1 + F_2 - K_1 (y_2 - y_1) - F_1 - K_{r2} y_2 - F_2 - C_{r2} \frac{dy_2}{dt} \quad (3.24)$$

Din ecuația de mai sus rezultă profilul camii:

$$S = \frac{M_2}{K_2} \omega_d^2 y_2'' + \frac{C_{r2}}{K_2} \omega_d y_2' + \frac{K_1 + K_2 + K_{r2}}{K_2} y_2 - \frac{K_1}{K_2} y_1 \quad (3.25)$$

Funcția S depinde de derivata a doua a deplasării, iar funcționarea fără șocuri a sistemului se asigură în condițiile în care această deplasare prezintă un grad cât mai mare de continuitate.

Funcția care definește profilul camii se obține prin integrarea ecuației diferențiale a mișcării. Una dintre cele mai utilizate teh-

nici de integrale este cea datorată lui Johnson, prin metoda diferențelor finite / 97 /. Dacă se presupune că deplasarea de comandă y_0 dată de camă este la un moment dat mai mare decât deplasarea x_0 a tchetului, atunci folosind trei puncte succesive 1, 0, 2 așa cum se vede în fig. 3.8, se pot scrie ecuațiile mișcării:

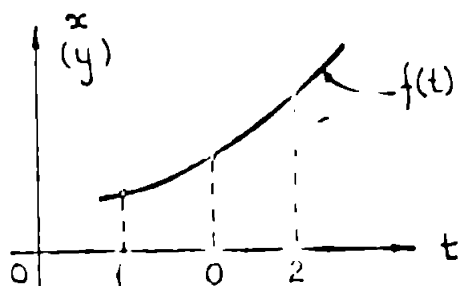


fig. 3.8

$$m\ddot{x}_0 = k_2 (y_0 - x_0) \quad (3.26)$$

$$\text{unde: } \ddot{x}_0 = (\omega / \Delta\theta)^2 (x_1 + x_2 - 2x_0) \quad (3.27)$$

Inlocuind, rezultă ecuația de mișcare sub forma de mai jos:

$$m (\omega / \Delta\theta)^2 (x_1 + x_2 + 2x_0) = k_2 (y_0 - x_0) \quad (3.28)$$

Din ecuația de mai sus rezultă valoarea lui x_2 :

$$x_2 = \frac{k_2 (y_0 - x_0)}{m (\omega / \Delta\theta)^2} + 2x_0 - x_1 \quad (3.29)$$

Pentru începutul fazei de ridicare unde deplasările x_0 și x_1 pot fi cunoscute, se poate determina x_2 și formula de mai sus se constituie ca și o formulă de recurență pentru determinarea funcției de răspuns a tchetului, atunci când funcția de intrare este dată.

Pentru a determina profilul camei se pune problema inversă și anume; cunoscând funcția de ieșire impusă să se determine funcția de intrare care trebuie materializată pe camă.

În acest scop din ecuația (3.29) se determină valoarea lui y_0 :

$$y_0 = x_0 + \frac{m}{k_2} (\omega / \Delta\theta)^2 (x_1 + x_2 - 2x_0) \quad (3.30)$$

Se cunoaște că : $y = y_0 (k_1 + k_2) / k_2$,

și înlocuind rezultă ecuația de recurență pentru determinarea funcției de intrare:

$$y = \frac{k_1 + k_2}{k_2} \left[x_0 + \frac{m}{k_2} (\omega / \Delta\theta)^2 (x_1 + x_2 - 2x_0) \right] \quad (3.31)$$

Pentru valori $\Delta\theta$ foarte mici se obțin funcții de intrare corespunzătoare din punct de vedere cinematic și dinamic.

O metodă mai precisă pentru sinteza profilului camei, având pre-

serind funcția de variație a accelerației, este metoda integralilor finite, pusă la punct de Chen F. Y. /13/. Utilizarea metodei integralilor finite la rezolvarea ecuațiilor diferențiale, presupune tratarea acestor ecuații ca niște ecuații integrale. În acest scop ecuația de integrat se împarte într-o serie de ecuații algebrice, câte o ecuație pentru fiecare punct al curbei și care aproximează cât mai bine ecuația de integrat în imediata vecinătate a acestui punct. Cu

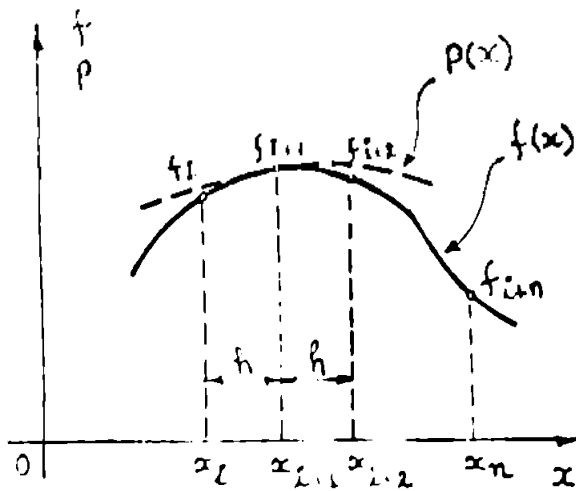


fig. 3.9

ajutorul unor matrici de integrare special formate, soluția ecuației diferențiale se reduce la rezolvarea unei ecuații matriciale cu respectarea unor condiții de limită. Ecuația obținută se poate rezolva ușor prin metode numerice. Se presupune că în fig. 3.9 s-a reprezentat funcția $f(x)$ care reprezintă variația accelerației cu un grad de netezire dorit. Graficul funcției se împarte în părți egale de lățime h prin punctele x_i . Aproximarea funcției pentru un interval de integrare $x_i - x_{i-1}$, se face cu ajutorul unui polinom de interpolare corespunzător $p(x)$, prezentat cu linie întreruptă. În acest scop se pot folosi dezvoltări în serie Taylor a funcției în punctele de divizare, sau cu ajutorul formulei de integrare prin interpolare a lui Newton. Pentru primii trei sau patru termeni din dezvoltarea serie, valoarea integralei se poate determina cu ajutorul următoarelor formule:

$$I_{13} = \frac{h}{1} (5f_1 + 8f_{1+1} - f_{1+2}) + \frac{h^4}{24} f^{(3)}(\xi) \quad (3.32)$$

unde $\xi \in (x_1, x_{1+2})$

$$I_{14} = \frac{h}{24} (9f_1 + 19f_{1+1} - 5f_{1+2} + f_{1+3}) - \frac{19}{720} h^5 f^{(4)}(\xi) \quad (3.33)$$

unde $\xi \in (x_1, x_{1+3})$

Integrarea pe o lățime de două intervale se poate realiza și cu ajutorul formulei de integrare a lui Simpson:

$$I_{23} = \frac{h}{12} (4f_{i+1} + 16f_{i+1} + 4f_{i+2}) - \frac{h^5}{90} f^{(4)}(\xi) \quad (3.34)$$

avînd $\xi \in (x_i , x_{i+2})$

Dacă se utilizează o funcție polinomială cubică pentru aproximarea funcției, integrala se determină cu formula:

$$I_{14} = \frac{h}{24} (-f_{i-1} + 13f_i + 13f_{i+1} - f_{i+2}) + \frac{11}{720} h^5 f^{(4)}(\xi) \quad (3.35)$$

pentru $\xi \in (x_{i-1} , x_{i+2})$

Du ajutorul acestor formule de interpolare și integrare succesivă a funcției de integrat se assemblează o ecuație matriceală de forma:

$$\{ \Delta A \} = [M] \cdot \{ f \} \quad (3.36)$$

Termenii formulei de mai sus au următoarea semnificație:

$$\{ \Delta A \} = | \Delta A_0, \Delta A_1, \Delta A_2, \dots, \Delta A_n |^T \quad (3.37)$$

este vectorul coloană transpus al integralelor parțiale de forma:

$$\Delta A_i = \int_{x_i}^{x_{i+1}} f(\xi) d\xi \quad i \in (0, 1, 2, \dots, n) \quad (3.38)$$

unde $\{ f \} = | f_0, f_1, f_2, \dots, f_n |^T$

este vectorul coloană transpus al valorilor funcției de integrat în punctele de divizare.

Matricea $[M]$ este o matrice pătrată de grad $(n+1)$, termenii ei fiind funcție de formulele de interpolare utilizate.

În cazuri în care funcția de integrat prezintă salturi pentru anumite momente, integrarea se face pe zone, astfel încît funcția să fie continuă pe intervalul respectiv.

În unele situații funcția de variație a accelerației este impusă de condițiile tehnologice de funcționare a mecanismului și este necesară verificarea modului în care funcția de ieșire a tachmentului corespunde din punct de vedere dinamic. O metodă eficientă pentru determinarea funcției de răspuns a tachmentului este cea a planului fazelor. Prin această metodă grafo-analitică, admitînd anumite criterii pentru desprinderea tachmentului de camă, se pun în evidență condițiile și poziția în care este posibilă apariția unor desprinderi /97/.

Studiul comportării mecanismului prin metoda planului fazelor se bazează pe raportul dintre pulsația proprie a mecanismului și viteza unghiulară a camii.

Modelul matematic al mecanismului de studiat face parte din categoria modelelor cu un grad de libertate, la care se neglijează efectul amortizării prin frecare uscată sau viscoasă. În lucrare / 97 / se enumeră principalele motive care duc la apariția desprinderilor:

- viteze mari de funcționare,
- valori scăzute pentru coeficientul de amortizare,
- existența unor elemente flexibile în structura mecanismului

și se menționează o condiție stabilită de Rothbart, astfel încât desprinderea tchetului să fie evitată. Pentru îndeplinirea acestui desiderat este necesar ca ultimele două cicluri complete ale vibrației să aibă loc în timpul accelerației pozitive a mișcării. Dacă în timpul acestei perioade există un număr mai mic de cicluri, este necesară investigația matematică a sistemului pentru a determina dacă apar sau nu desprinderi. Condiția se exprimă cu ajutorul inecuației:

$$\frac{\beta_1 \cdot K}{360} \geq 2$$

unde : β_1 unghiul perioadei de accelerație pozitivă
 $K = \omega_n / \omega$ raportul dintre pulsația proprie și viteza unghiulară

Înecomprimarea arcului care închide cupla superioară camă-tchet are un rol important în evitarea apariției acestui fenomen dăunător, care pe lângă faptul că produce erori în funcția de ieșire a mecanismului, este și cauza generării unor zgomote și vibrații care duc la uzura prematură a acestuia.

Si în alte lucrări de specialitate / 53, 71, 97 / se accentuează asupra faptului că în timpul funcționării mecanismului în anumite condiții, pot apărea desprinderi ale tchetului de camă, desprinderi care afectează precizia funcției de ieșire a sistemului. Pentru studiul analitic al fenomenului se propune un criteriu de desprindere / 97 /, dar nu se fac precizări în legătură cu modul în care se stabilește acest criteriu.

Fenomenul ruperii contactului camă-tchet implică pe de altă parte o schimbare importantă în regimul energetic la funcționare a sistemului, desprinderile relevând faptul că transferul energetic între elementele componente ale mecanismului nu se mai poate corela cu cinematica acestuia.

Modelul matematic cu un singur grad de libertate poate fi adaptat astfel încât să permită studierea mecanismului camă-tachet în regim dinamic, în condiții cât mai apropiate de problema specifică a mecanismului de perforare din componența perforatoarelor rapide cu cartele.

În cuprinsul capitolului 6 al acestei lucrări se propune un model adecvat și se stabilesc criteriile pentru aprecierea condițiilor în care apar desprinderi ale contactului camă - tachet.

3.4 Sinteza mecanismelor generatoare de funcțiuni cu palier de viteză constantă

Studierea lucrărilor de specialitate în domeniul mecanismelor cu came, relevă faptul că aceste probleme se rezolvă la un nivel ce implică un anumit grad de generalizare. Acest mod de tratare este firesc, având în vedere că prin particularizarea procedeeelor și a soluțiilor obținute, acestea pot fi aplicate la analiza și sinteza concretă a mecanismelor care realizează anumite funcțiuni.

Proiectarea unor mecanisme care generează o anumită funcție la ieșire implică și rezolvarea unor probleme specifice acestor funcțiuni și a mecanismelor care le realizează.

Mecanismele generatoare de funcțiuni care au zone de ^{mişcare cu} viteză constantă, deci zone în care spațiul se prezintă ca o funcție liniară de timp, sînt tratate în unele lucrări de specialitate / 51, 53 /, unde problemele abordate și rezolvate constituie elemente foarte utile la proiectarea unor mecanisme cu destinație concretă. În lucrarea /53 /

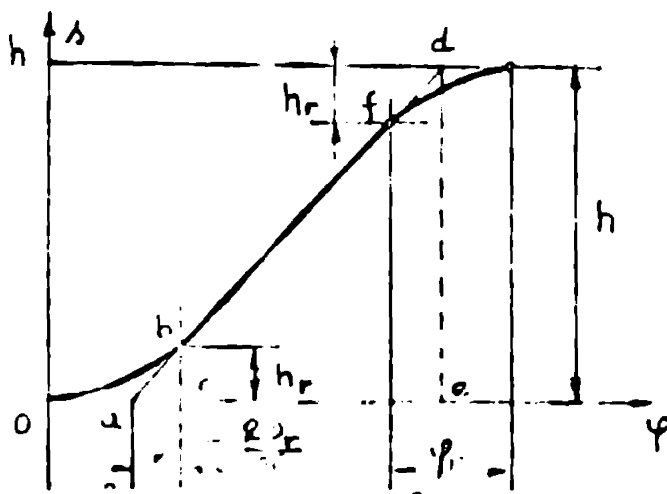


Fig. 3.10

după ce se analizează legile de mișcare parabolică, cosinusoidală și sinusoidală se utilizează aceste legi la racordarea funcției de mișcare liniară la palierul inferior și superior. În cazul racordării cosinusoidale, așa cum se prezintă în fig. 3.10, se determină accelerația maximă a tachetului

mişie de unghi de racordare / 53 /. Din asemănarea triunghiurilor $abc \sim \Delta$ adese rezultă următoarea relație:

$$\frac{h_r}{h} = \frac{ac}{ab} \quad \text{și deci} \quad \frac{h_r}{h} = \frac{2\varphi_r/\pi}{\varphi_1 - 2(\varphi_r - 2\varphi_r/\pi)}$$

și se calculează :

$$h_r = \frac{2 h \varphi_r}{\pi [\varphi_1 - 2\varphi_r(\pi-2)/\pi]}$$

cu ajutorul acestor relații se obține valoarea maximă a accelerației :

$$a_{\max} = \frac{\pi h \omega_1^2}{2 \left[\varphi_1 - \frac{2(\pi-2)}{\pi} \varphi_r \right] \varphi_r} \quad (3.39)$$

În expresia de mai sus se obține o ecuație de forma $f(\varphi_r, a_{\max}) = 0$ unde se determină φ_r funcție de a_{\max} impus.

$$\varphi_r^2 - \frac{\pi \varphi_1}{2(\pi-2)} \varphi_r + \frac{\pi^2 h \omega_1^2}{4(\pi-2) a_{\max}} = 0 \quad (3.40)$$

Soluția ecuației este următoarea :

$$\varphi_r = \frac{\pi}{2(\pi-2)} \left[\frac{\varphi_1}{2} - \sqrt{\frac{\varphi_1^2}{4} - \frac{(\pi-2) h \omega_1^2}{a_{\max}}} \right] \quad (3.41)$$

Se procedează similar și pentru profilul sinusoidal.

În lucrare se dau metode grafo-analitice pentru proiectarea mecanismelor cu came, metode care permit determinarea profilului camei, a razei de curbură și a diametrului rolei.

În lucrarea / 51 / se dau relații analitice pentru aceste legi de mișcare. Constantele funcțiilor se determină din condițiile inițiale, iar prin egalizarea pantelor curbilor de racord cu panta porțiunii liniare se obține diametrul cercului ajutător pentru construirea grafică a funcției.

Problemele tratate în aceste lucrări constituie repero pentru lucrarea de față, în cadrul căreia se analizează și probleme legate de cinematica și geometria mișcării liniare.

3. Concluzii

Prin studierea lucrărilor de specialitate se relevă o serie de probleme pe care le ridică sinteza mecanismelor cu came. O parte din aceste probleme sînt analizate mai jos:

a) Sinteza profilului camei

Sinteza profilului camei și deci a funcției de intrare, ridică probleme specifice, corespunzătoare fiecărei zone de lucru a mecanismului. Indiferent dacă funcția realizată de mecanism este o funcție de tip treaptă, sau dacă aceasta se realizează între palierele inferior și cel superior, așa cum este cazul la funcțiile cu zori de viteză constantă, geometria profilului din zona de racordare nu interesează ca atare ci doar în măsura în care asigură caracteristicile dinamice solicitate. Condițiile limită impuse la capetele zonei de racordare și valorile maxime impuse pentru funcțiile de viteză și accelerație, precum și pozițiile acestor valori sînt elemente care impun modul de rezolvare a problemei.

Se constată existența a două procedee principale de sinteză a funcției de intrare:

- pentru găsirea funcției optime se pleacă de la niște funcții cunoscute și se stabilește care din aceste funcții îndeplinește cel mai bine condițiile impuse. Acest procedeu se poate denumi în mod convențional ca și un procedeu deductiv de sinteză a profilului funcției de intrare;

- în al doilea caz se pornește de la o funcție de accelerație impusă, sau de la o anumită lege de mișcare impusă la deplasarea sistemului, lege stabilită pe baza unui model matematic și descrisă printr-o ecuație diferențială. Acest procedeu l-am putea denumi ca un procedeu inductiv de sinteză a funcției de intrare.

În ambele cazuri funcția de intrare se obține prin integrarea funcțiilor respective cu mijloace matematice adecvate.

b) Determinarea gabariturii camei

Dimensionarea camei este o problemă foarte importantă, care prezintă un aspect funcțional referitor la evitarea fenomenului de blocare, precum și un aspect constructiv referitor la dimensiunile mecanismului. Rezolvarea ei se face cu ajutorul unor procedee grafic-analitice sau cu formule adecvate. Se poate observa

că procedeul grafo-analitic implică un volum mare de muncă.

c) Calculul cinematic

Partea de calcul cinematic a mecanismului cu canci impune cunoașterea cu precizie a unor parametri geometrici ai acestuia. Trebuie cunoscute cu precizie o serie de elemente cum sînt: poziția normalei și tangentei la profil, unghiul de presiune, raza de curbură, etc. Stabilirea unora din aceste elemente pe cale grafo-analitică implică o serie de erori care nu pot fi tolerate în toate cazurile, iar stabilirea unor formule de calcul este foarte dificilă.

d) Sinteza dinamică

Prin sinteza dinamică a mecanismului se urmărește diminuarea sau anularea unor fenomene secundare, inclusiv a diferențelor de timp apar între funcția de ieșire și funcția de intrare a sistemului mecanic. În acest scop atât pentru analiza cât și pentru sinteza mecanismului se pornește de la un model matematic care simulează cât mai adecvat unele caracteristici dinamice ale acestuia. În general modelele matematice elaborate în acest scop nu permit punerea în evidență și studierea unui fenomen care este caracteristic mecanismelor cu canci și anume desprinderea cuploii cinetice superioare, desprindere care este o componentă importantă a abaterilor funcției de ieșire.

Avînd în vedere cele expuse mai sus și ținînd cont că în prezenta lucrare ne-am propus rezolvarea problemelor privind sinteza mecanismului de perforare din componența perforatoarelor rapide de cartele, se impune găsirea unor soluții adecvate pentru sinteza acestora;

1) studierea și rezolvarea unor probleme specifice pe care le pune sinteza funcției de intrare pentru mecanismele de perforare;

2) găsirea unor funcții polinomiale optime pentru racordarea zonei de viteză constantă la celelalte zone adiacente, ținînd cont de faptul că performanțele funcției de racord polinomial sînt cele mai favorabile;

3) determinarea pe cale analitică a gabariturii canci și elaborarea unui algoritm care să permită rezolvarea pe calculator a acestei probleme;

4) elaborarea unui procedeu și a unui program de calcul

ajutorul calculatorului electronic a unor parametri geometrici ai mecanismului și în special pentru determinarea razei de curbura a profilului camiei, parametrii necesari pentru rezolvarea problemelor cinematice și dinamice referitoare la mecanism;

5) elaborarea unui model matematic pentru analiza și sinteza dinamică a mecanismului de perforare, astfel încât să se pună în evidență și să se poată studia particularitățile structurale și cinematice ale acestora, în vederea îmbunătățirii procedeelor de sinteză;

6) găsirea unor posibilități de corectare a abaterilor funcției de ieșire, prin eliminarea sau compensarea acelor abateri care se datoresc elasticității elementelor;

7) completarea procedeelor experimentale existente prin punerea la punct a unui procedeu și a unui stand experimental pentru studiul dinamic al mecanismului cu camă, procedeu și stand care să permită punerea în evidență și studierea fenomenului de rupere a contactului cuplei superioare. Studiul acestui fenomen va permite perfecționarea abaterilor funcției de ieșire și va permite optimizarea funcționării lui prin luarea unor măsuri corespunzătoare.

Rezolvarea acestor probleme va permite punerea la punct a unui procedeu de sinteză specifică mecanismelor de perforare și astfel să fie posibilă mărirea vitezei de lucru a acestora.

În același timp, deoarece rezultatele acestor cercetări au și o serie de caracteristici cu valabilitate generală, se vor putea aplica și în alte domenii ale tehnicii.

În studierea acestor probleme se pleacă având la bază o serie de rezultate obținute în cadrul cercetărilor anterioare care au fost culese din documentația indicată la capitolul ce cuprinde referințele bibliografice.

* Se consideră funcție de ieșire, funcția realizată de tuitor, iar funcția materializată pe comă drept funcție de intrare.

4 Sinteza structurală a mecanismului de perforare

4.1 Stabilirea legii de mișcare pentru mecanismul de perforare

Perforarea cartelei în mișcare este procedeul cel mai bun pentru obținerea de performanțe ridicate. Acest procedeu impune ca între cartela de perforat și poanson să existe, pentru un anumit interval de timp, o viteză relativă nulă, după executarea perforării, mecanismul readuce poansonul în poziția inițială. Dacă notăm cu T perioada unui ciclu de perforare, atunci putem scrie următoarea formulă:

$T = d/v_t$ [s]

unde:

- v_t [m/s] viteza de transport a cartelei
- d [mm] distanța între coloane

Pentru a nu avea un raport prea mare între vitezele de mișcare a mecanismului, pentru cele două faze ale ciclului de perforare, intervalul T se împarte astfel:

- (2/3)·T durata fazei de perforare;
- (1/3)·T durata fazei de revenire.

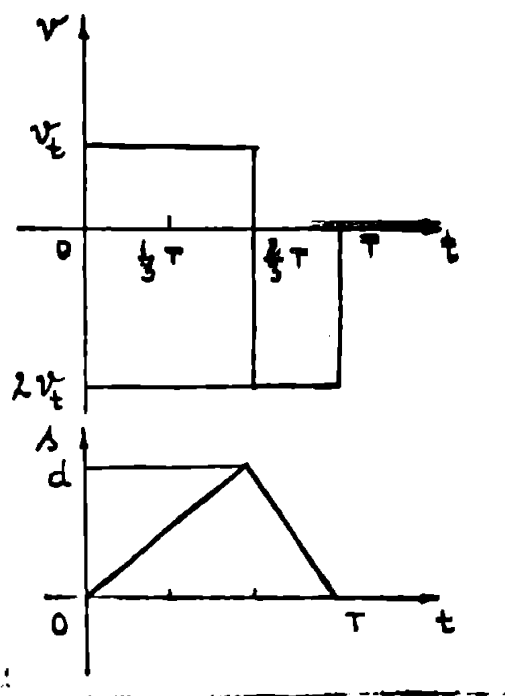


fig. 4.1

Diagramele teoretice ale vitezei și spațiului sînt prezentate în figura 4.1. Se remarcă că viteza la revenire este de două ori mai mare decât viteza de transport a cartelei v_t .

Sinteză mecanismului camă-tachet cu respectarea legii de mișcare din fig. 4.1 nu este posibilă deoarece șecurile dure nu ar permite funcționarea mecanismului la viteza dorită.

Se impune deci, modificarea diagramei de mișcare prin adoptarea unor legi de racordare corespunzătoare, astfel încît să se înlăture șecurile datorate salturilor finite de viteză, salturi care duc la valori teoretice infinite a accelerației.

Legile de racordare se vor aplica în punctele de abscisă 0, 2T/3, T, avînd drept scop și minimizarea valorilor maxime ale vitezelor și accelerațiilor.

Legile de racordare vor modifica raportul între vitezele maxime astfel încât:

$$\frac{v_{\max}^-}{v_{\max}^+} > 2$$

unde : $v_{\max}^+ = v_t$

Pentru a păstra sincronismul mișcărilor și pentru a nu crea decalaje ale perforațiilor, diagrama vitezei din fig. 4.2 trebuie să îndeplinească următoarea condiție /20/ :

$$\int_0^{T/3} v \, dt = \int_{T/3}^T v \, dt$$

Relația de mai sus impune ca spațiile parcurse în cele două faze să fie egale.

La stabilirea legii de mișcare se va asigura o lege de racordare astfel încât palierul de viteză constantă să aibă o durată suficient de mare pentru executarea perforării și retragerii poansonilor.

Deoarece funcția principală a mecanismului se realizează de-a lungul zonei de ridicare, este posibilă renunțarea la palierul inferior și superior și astfel se micșorează durata unui ciclu de perforare. Utilizarea în acest scop a unei came cvadruple de tip RC ar permite o mărire corespunzătoare a vitezei de lucru a perforatorului, fără a mai în același raport și viteza de rotație arborelui cu came, și în acest fel de-a lungul unui ciclu de rotație se vor executa mult mai multe operațiuni de perforare. Această creștere de viteză se va reflecta în mod pozitiv asupra vitezei de lucru a întregului sistem de calcul.

Mărirea zonei de viteză constantă este limitată superior, deoarece această acțiune implică și mărirea vitezei de deplasare de-a lungul porțiunii de coborire. Mărindu-se viteza maximă negativă se poate atinge un regim de funcționare cu desprinderi ale tachetului de cană. Acest fenomen apare pe porțiunea de mișcare cu valori negative ale vitezei datorită forței de inerție ce acționată asupra tachetului. În vederea combaterii acestui fenomen este necesară și o acțiune de limitare a vitezelor maxime negative.

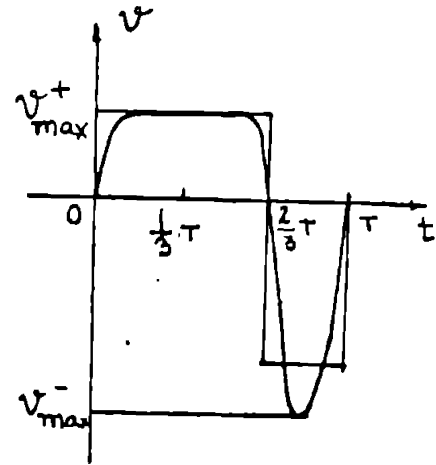


fig. 4.2

4.2 Alegerea tipului constructiv al mecanismului

4.2.1 Generalități

După cum s-a arătat anterior, pe mecanismul de perforare sînt montate pensoncelo, pentru care trebuie asigurată o viteză de mișcare egală cu viteza de deplasare a cartelei, pe intervalul de timp afectat operațiunii de perforare. Funcția de mișcare $s = s(t)$ care

urmează a se modela pe camă se prezintă în fig. 4.3. De-a lungul unei perioade de funcționare notată cu T , legea de mișcare prezintă următoarele faze:

- t_a faza de accelerare
- t_p faza de perforare
- t_d faza de decelerare
- t_c faza de coborîre

antfel încît :

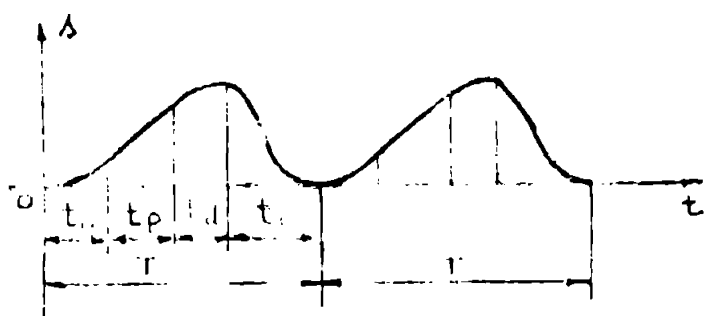


Fig. 4.3

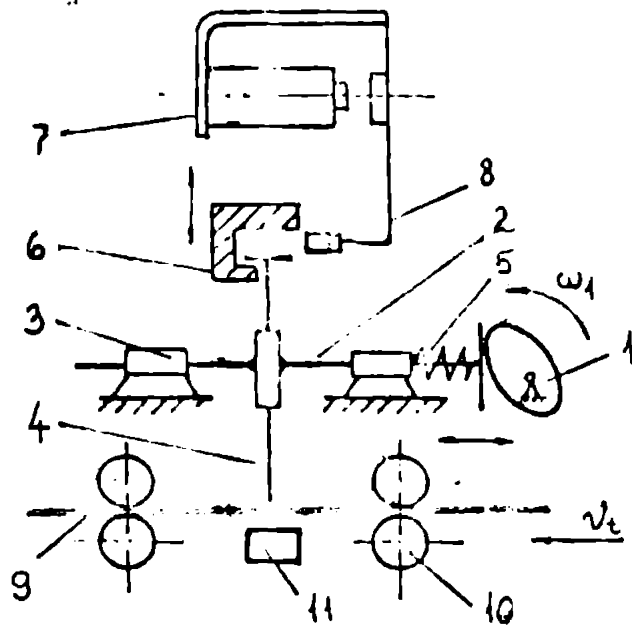
$$T = t_a + t_p + t_d + t_c$$

Pentru intervalul de timp t_p cînd are loc perforarea cartelei, se asigură parțial de viteză constantă și egală cu viteza de deplasare a cartelei.

Pentru generarea funcției solicitate se poate utiliza mecanismul cu camă și tachetul în mișcare de translație sau un mecanism cu tachet oscilant. După cum se arată în paragrafele următoare, ambele tipuri constructive prezintă o serie de avantaje și dezavantaje specifice.

4.2.2 Mecanismul de perforare cu tachetul în mișcare de translație

Pentru această variantă constructivă, direcția de deplasare a tachetului se ia paralelă cu direcția de deplasare a cartelei, așa cum se vede și în fig. 4.4 unde se prezintă schema cinematică a mecanismului cu următoarele notații:



- 1 camă
- 2 tachet
- 3 ghidaj tachet
- 4 bloc de poansoane
- 5 arc
- 6 percutor
- 7 electromagnet
- 8 actuator
- 9 cartela de perforat
- 10 roile de transport
- 11 bloc de perforare

Ghidajul blocului de poansoane se montează perpendicular pe tachetul 2 și execută o mișcare de translație comandată prin rotirea camei 1. În intervalul

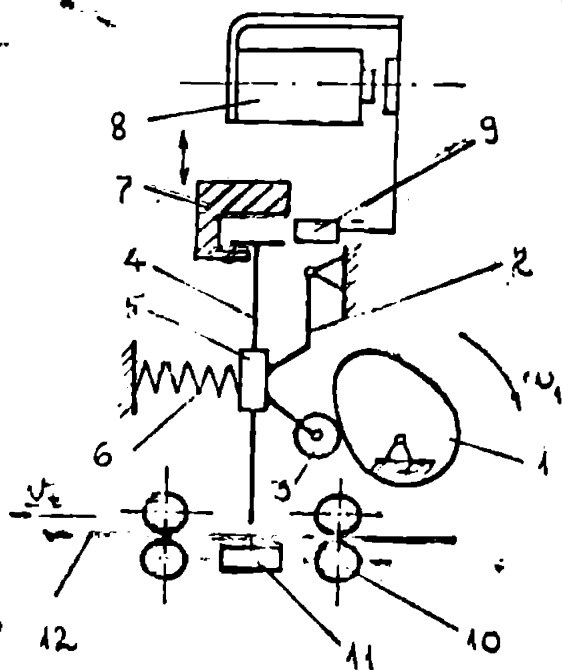
fig. 4.4

de timp t_p , pentru poansoanele care trebuie să perforeze, se alimentează electromagnetul 7 cu un impuls electric și actuatorul 8 pătrunde între percutorul 6 și poansoane. Principiul dezavantaj al acestei scheme se datorește forțelor de frecare mari care apar în cuplele de translație, frecare care poate duce la griparea mecanismului. Avantajul pe care îl prezintă acest tip de mecanism este acela, că prin modelarea pe camă a unui profil de spirală Arhimedică se asigură o mișcare cu viteză constantă pentru perioada de perforare.

4.2.3 Mecanismul de perforare cu tachet oscilant

Prin montarea poansoanelor pe un mecanism camă cu tachetul în mișcare de oscilație, se elimină parțial pericolul de gripare al mecanismului. În această variantă constructivă, prin alegerea unei poziții convenabile între articulația tachetului și partea superioară a poansoanelor se poate diminua foarte mult efectul forței de frecare dintre percutor, actuator și poansoane, micșorare care se adaugă la eliminarea frecării din cuplele cinematice de translație.

În fig. 4.5 se prezintă schema cinematică a mecanismului și a subansamblelor de perforare, schemă care conține următoarele elemente:



- 1 camă
- 2 tachet oscilant
- 3 rolă
- 4 bloc poansoane
- 5 ghidajul poansoanelor
- 6 axe
- 7 percutor
- 8 electromagnet
- 9 actuator
- 10 role transport
- 11 bloc de perforare
- 12 cartela de perforat

fig. 4.b

În această variantă constructivă, dezavantajul principal constă în aceea că prin mișcarea de oscilație a tachetului nu se

asigură o viteză constantă pentru virfurile poansoanelor, ^{profilul} atunci când

camă este o spirală arhimedică. Abaterile de viteză este cu atât mai mare cu cât crește amplitudinea oscilațiilor. Pentru amplitudini ale oscilațiilor mai mici decât $\pm 3^\circ$ aceste abateri pot fi neglijate în anumite situații. Când abaterile de viteză depășesc anumite limite impuse, atunci se impune efectuarea unor corecții, așa cum se indică în lucrare.

4.3 Analiza cinematică a mecanismului de perforare cu tachet oscilant

4.3.1 Poziționarea mecanismului

Prin poziționarea mecanismului se urmărește asigurarea unor abateri minime a vitezei poansoanelor față de viteza de transport a cartelei și egalizarea spațiilor parcurse. Situația optimă se realizează atunci când faza de perforare se desfășoară simetric față de poziția când tachetul este perpendicular pe direcția de mișcare a cartelei.

Pentru a analiza această problemă, în fig. 4.6 cama s-a substituit cu un plan înclinat, reprezentat de dreapta D
 sau cu un plan înclinat, reprezentat de dreapta D_1

care se deplasează în sus cu o viteză constantă și are față de direcția verticală o înclinare α . Presupunem că ψ_1 este unghiul pe care îl face tacherul BC față de direcția verticală la începutul cursei de viteză constantă și ψ_2 unghiul la sfârșitul acestei curse.

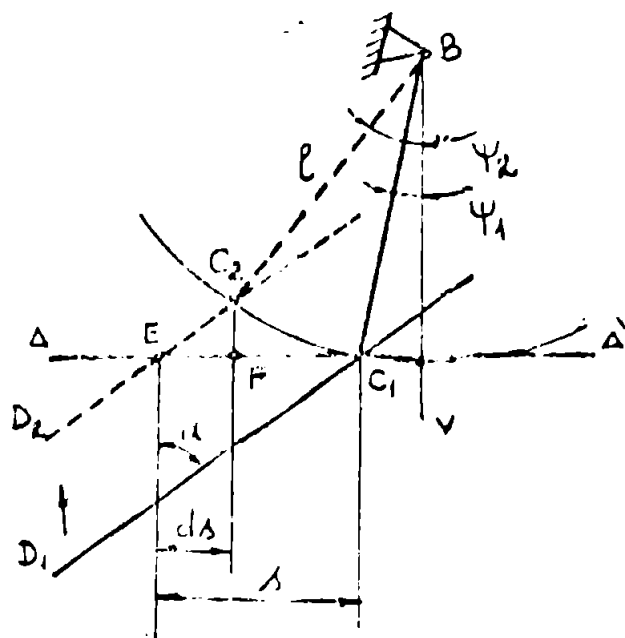


Fig. 4.6

La deplasarea dreptei D_1 din poziția inițială în poziția D_2 , punctul caracteristic al tacherului se deplasează din punctul C_1 în punctul C_2 . Dacă profilul camei ar acționa asupra unui tacher de translație, acesta ar executa o deplasare $s = C_1E$. Pentru tacherul oscilant, proiecția pe orizontală a deplasării punctului caracteristic este egală cu segmentul C_1F . Între cele două deplasări apare o diferență notată cu ds . Dacă se notează lungimea tacherului $BC = l$, atunci putem determina:

$$EF = C_2F \cdot \operatorname{tg} \alpha$$

și deci $EF = ds = l (\cos \psi_1 - \cos \psi_2) \operatorname{tg} \alpha$ (4.1).

Pentru a anula diferența ds , se anulează paranteza și rezultă: $\cos \psi_1 - \cos \psi_2 = 0$ și deci $\psi_1 = \psi_2$, egalitate care impune ca unghiurile ψ_1 și ψ_2 să fie egale și simetrice față de direcția BV . Egalizarea deplasărilor asigură deformări mici ale cartelei și în același timp o micșorare a solicitărilor dinamice ale mecanismului.

4.1.2 Determinarea legii de variație a vitezei unghiulare a tacherului

Principalul dezavantaj al mecanismului camă cu tacher oscilant este acela că viteza virfului tacherului și implicit proiecția pe direcția de deplasare a cartelei a vitezei virfurilor poansonelor nu este de fapt constantă și egală cu viteza de transport a cartelei în faza oi-

clului când are loc perforarea. În vederea corectării acestei deficiențe, vom stabili într-o primă etapă care este legea reală de variație a vitezei unghiulare redusă a tachelului. În acest scop apelăm la fig. 4.7. Tachelul oscilant se află în poziția BC_1 , înclinat sub unghiul ψ față de verticală și se rotește în poziția BC_2 printr-o deplasare infinit mică a planului înclinat D din poziția D_1 în D_2 . Considerăm triunghiul curbiliniu C_1C_2G ca un triunghi dreptunghic oarecare. Segmentul de dreaptă C_1G reprezintă proiecția pe direcția HH' a deplasării punctului C și are două componente:

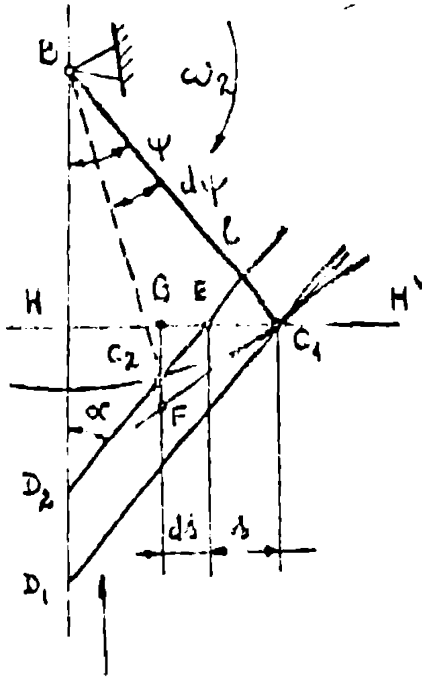


fig. 4.7

$C_1G = C_1E + EG = s + ds$ (4.2)

unde $s = C_1E = d\varphi \cdot \operatorname{tg} \alpha \cdot r_0$

α fiind unghiul de înclinare a planului înclinat,

$d\varphi$ unghiul de rotație a camesi, corespunzător deplasării infinit mici a planului înclinat, r_0 - raza cercului de bază

Segmentul de dreaptă s corespunde cu deplasarea comandată de camă, deplasare pe care ar

afectua-o un tachel de translație pe direcția HH' .

Segmentul $ds = l \cdot \operatorname{tg} \alpha \cdot d\psi \cdot \sin \psi$ (4.3)

reprezintă o deplasare suplimentară nedorită.

Din figură rezultă $C_1G = l \cdot d\psi \cdot \cos \psi$ (4.4)

și se obține: $l \cdot d\psi \cdot \cos \psi = s + ds$ (4.5)

Înlocuind pe s și ds din formulele anterioare obținem:

$l \cdot d\psi (\cos \psi - \operatorname{tg} \alpha \sin \psi) = d\psi \operatorname{tg} \alpha \cdot r_0$ (4.6)

În continuare rezultă ecuația care descrie legea de variație a vitezei unghiulare redusă a tachelului:

$$\frac{d\psi}{d\varphi} = \frac{r_0 \operatorname{tg} \alpha}{l} \frac{1}{\cos \psi - \operatorname{tg} \alpha \sin \psi} \quad (4.7)$$

Pentru un tachel cu mișcare de translație pe direcția HH' , viteza de deplasare ar fi egală cu:

$$s = r_0 \cdot d\varphi \cdot \operatorname{tg} \alpha = l \cdot d\psi \quad (4.8)$$

$$\text{deci } \frac{d\psi}{d\varphi} = \frac{r_0 \cdot \text{tg } \alpha}{l} = \text{ct.} \quad (4.9)$$

Analizând legea de variație dată de formula (4.7) rezultă că pentru:

$$\psi \neq 0 \quad \frac{d\psi}{d\varphi} > \frac{r_0 \cdot \text{tg } \alpha}{l} \quad (4.10)$$

$$\text{iar pentru } \psi = 0 \quad \frac{d\psi}{d\varphi} = \frac{r_0 \cdot \text{tg } \alpha}{l} \quad (4.11)$$

Formulele de mai sus sînt valabile pentru poziția tachetului în partea dreaptă față de verticală.

Pentru a analiza legea de mișcare a tachetului în partea stîngă față de verticală apelăm la fig. 4.6 unde considerăm că deplasarea punctului caracteristic din poziția C_1 în C_2 se datorește unei deplasări infinit mici a planului înclinat. Proiecția pe orizontală a deplasării C_1C_2 este dată de formula :

$$PC_1 = l \, d\psi \cos\psi = s - ds \quad (4.12)$$

Dacă în prima parte a mișcării viteza punctului caracteristic este mai mare decît viteza comandată, în partea a doua a mișcării viteza este mai mică decît cea comandată.

Înlocuind în formula (4.12) valorile lui s și ds calculate anterior rezultă legea de mișcare pentru partea stîngă :

$$\frac{d\psi}{d\varphi} = \frac{r_0 \cdot \text{tg } \alpha}{l} \cdot \frac{1}{\cos\psi + \text{tg } \alpha \sin\psi} \quad (4.13)$$

$$\text{unde pentru } \psi = 0 \quad \frac{d\psi}{d\varphi} = \frac{r_0 \cdot \text{tg } \alpha}{l} \quad (4.14)$$

$$\psi \neq 0 \quad \frac{d\psi}{d\varphi} < \frac{r_0 \cdot \text{tg } \alpha}{l} \quad (4.15)$$

În fig. 4.6 s-a trasat diagrama de variație a vitezei ^{unghiulare} reduse a tachetului, diagramă care prezintă o valoare minimă pentru unghiul $\psi = -\alpha$. Pentru determinarea acestui minim derivăm relația (4.13) și rezultă :

$$f' = \frac{r_0 \cdot \lg \alpha (\operatorname{tg} \alpha - \operatorname{tg} \psi)}{\ell (1 + \operatorname{tg} \alpha \operatorname{tg} \psi)} \quad (4.16)$$

Pentru a afla punctul de minim al curbei anulăm derivata și deci

$$f' = 0 \quad \operatorname{tg} \alpha - \operatorname{tg} \psi = 0 \quad \text{și deci} \quad \psi = \alpha \quad (4.17)$$

Panta curbei în punctul de abscisă

$$\psi = 0 \text{ este } f' = \frac{\operatorname{tg}^2 \alpha}{\ell} r_0 \quad (4.18)$$

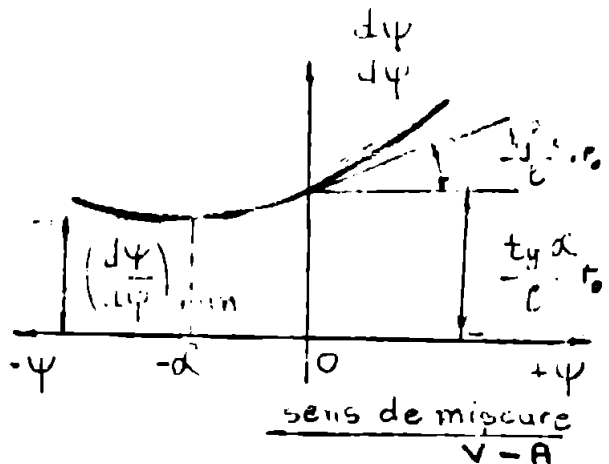


fig. 4.8

Ținând cont de asimetria diagramei de viteză se recomandă ca zona efectivă de perforare să fie decalată spre stînga, unde abaterile vitezei sînt mîi mici, iar riscul deformării cartelelor perforate este diminuat. Această decalare a acțiunii efective de perforare implică o întîrziere corespunzătoare a comenzii electrice

de activare a actuatorului de perforare și a acționării percutorului. Decalarea presupusă mai sus nu afectează simetria față de axa verticală a zonei de viteză constantă. Această simetrie este necesară, așa cum s-a arătat, la egalizarea spațiilor parcurse de cartelă și de vârful peansoanelor.

Pentru valori foarte mici ale unghiului de oscilație a tachetului, abaterile de pot fi neglijate și funcția de comandă a camii, corespunzătoare palierului de viteză constantă, rămîne o spirală arhimedică.

În unele situații, cum ar fi perforarea cartelei pe rînduri, aceste abateri de viteză nu mai pot fi acceptate și este necesară corectarea profilului, așa cum se indică la paragraful 4.3.4..

Din cele prezentate mai sus rezultă că viteza unghiulară de rotație a tachetului nu este mîi simetrică față de direcția perpendiculară pe direcția de deplasare a cartelei și nu asigură o componentă constantă a proiecției vitezei vârfului tachetului pe această direcție.

În cele ce urmează se va arăta că modul de variație a acestei viteze depinde și de sensul relativ de rotație a camii față de tachet, situație ce impune o tratare specifică a problemei.

4.3.3 Determinarea efectului sensului de rotire a camei

În cele prezentate anterior am considerat că planul inclinat care am substituit cama, are o mișcare orientată de jos în sus, aceasta implicând pentru camă un sens de rotire de la stînga la dreapta, respectiv dinspre vârful tchetului spre articulația lui. Se presupune în cele ce urmează că am schimbat sensul de rotire al camei și deci planul inclinat se deplasează într-o mișcare de translație pe verticală, orientată de sus în jos.

Pentru porțiunea de mișcare care se desfășoară în partea din dreapta a verticalei BV se constată din fig.

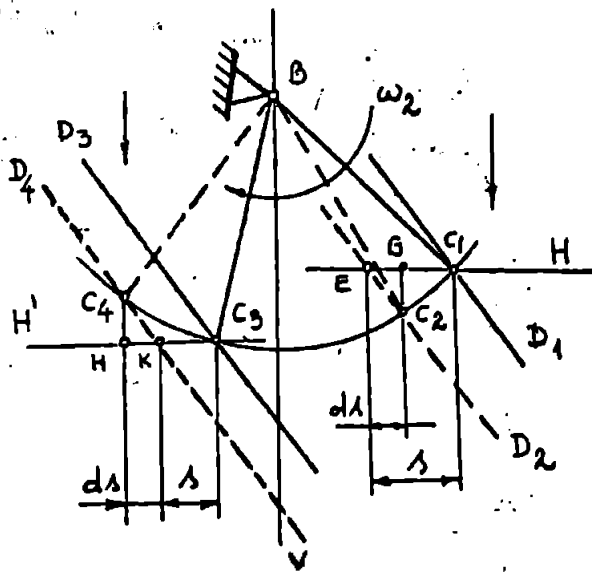


fig. 4.9

4.9, că la deplasarea planului inclinat din poziția D_1 în poziția D_2 se impune o deplasare a punctului caracteristic a tchetului egală cu segmentul de dreaptă $C_1E = s$. Proiecția pe orizontală a deplasării reale a punctului caracteristic este egală cu :

$$C_1G = s - ds$$

Rezultă că pentru această porțiune, componenta orizontală a vitezei de deplasare a punctului C este mai mică decât viteza de transport și

implicit viteza unghiulară redusă a tchetului este mai mică decât cea necesară, iar mărimea ds are valori negative.

Pentru porțiunea de mișcare ce se desfășoară în stînga verticalei BV, se constată că translația planului din poziția D_3 în poziția D_4 comandă pe direcția H o deplasare $C_3K = s$, care este mai mică decât proiecția mișcării executată de punctul caracteristic C :

$$C_3H = s + ds$$

Pentru această porțiune de mișcare diferența de deplasare ds are valori pozitive. Proiecția pe orizontală a spațiului parcurs de punctul caracteristic este mai mare și deci viteza unghiulară a tchetului este mai mare decât cea necesară.

Fără a mai repeta calculele similare celor efectuate la paragraful anterior, putem trage concluzia că diagrama vitezei unghiulare redusă a tchetului pentru acest sens de rotire are o alură corespunzătoare

celel prezentată în fig. 4.10, diagramă similară celei din fig. 4.8 rotită în jurul axei verticale. Pentru acest sens de rotire a camei, tchetul intră pe porțiunea de perforare cu o viteză mai mică, dar apropiată de viteza redusă impusă $r \cdot \operatorname{tg} \alpha / l$ și părăsește această porțiune cu o viteză mai mare, accelerația lui crescând corespunzător. Zona de perforare efectivă trebuie deplasată spre dreapta față de axa verticală.

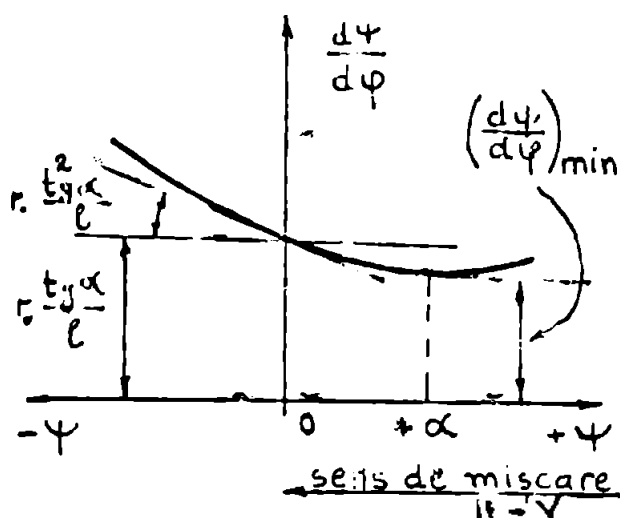


fig. 4.10

4.3.4 Corectarea profilului camei

În cazul când nu se acceptă abateri ale legii de mișcare a tchetului față de o anumită lege de mișcare, care să asigure egalizarea între viteza de transport a cartelei și proiecția pe direcția de

transport a cartelei a vitezei vârfului tchetului, se impune corectarea legii de mișcare și implicit a funcției de intrare modelată pe camă.

De considerăm o zonă de perforare având înălțimea h_p , se desfășoară simetric față de o axă perpendiculară pe direcția de deplasare a cartelei, așa cum se indică în fig. 4.11 și efectuăm următoarele notații:

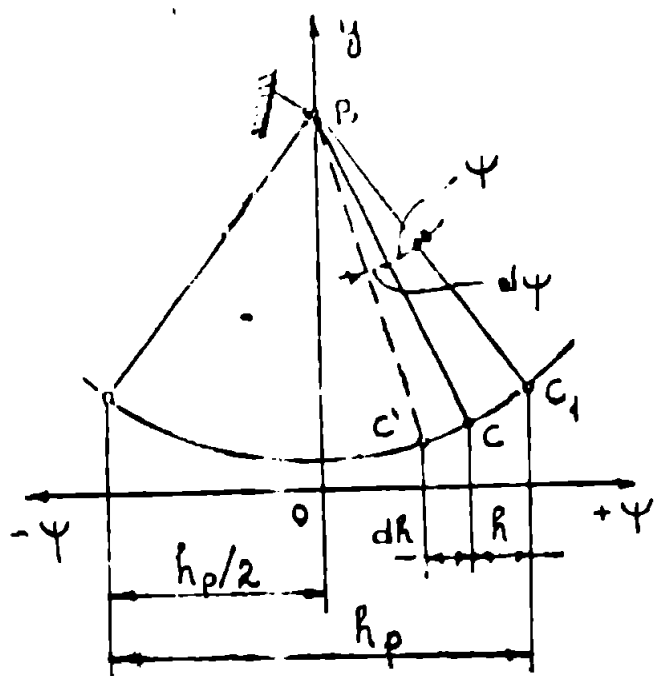


fig. 4.11

- $BC = l$ lungimea tchetului,
- ψ -- unghiul curent al tchetului față de poziția inițială BC_1 ,
- C - punctul caracteristic.

Având $d\psi$ o deplasare unghiulară infinit mică, notăm cu dh proiecția pe orizontală a deplasării CC' și impunem ca această deplasare să fie constantă:

$$dh = d\psi \cdot \operatorname{tg} \alpha \cdot r_0 = ct$$

unde s-a notat: $d\psi$ rotirea corespunzătoare a camei,
 $\operatorname{tg} \alpha$ panta zonei de perforare.

Între aceste elemente se poate scrie următoarea relație de legătură:

$$l [\sin \psi - \sin (\psi - d\psi)] = dh \quad (4.19)$$

Această ecuație poate fi pusă și sub următoarea formă:

$$l (\sin \psi - \sin \psi \cos d\psi + \sin d\psi \cos \psi) = d\psi \cdot \operatorname{tg} \alpha \cdot r_0 \quad (4.20)$$

Pentru valori ale unghiului mici se poate considera

$$\cos d\psi = 1 \quad \text{și} \quad \sin d\psi = d\psi$$

și ecuația 4.20 devine:

$$l d\psi \cos \psi = r_0 d\psi \cdot \operatorname{tg} \alpha \quad (4.21)$$

Din această ecuație rezultă legea de variație a vitezei unghiulare a tachetului:

$$\frac{d\psi}{d\varphi} = \frac{\operatorname{tg} \alpha}{l} \cdot \frac{1}{\cos \psi} \cdot r_0 \quad (4.22)$$

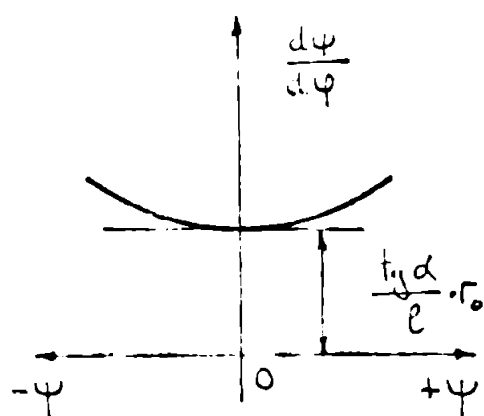


fig. 4.22

Se remarcă că această ecuație poate fi dedusă și din ecuațiile 4.7 sau 4.13 dacă se anulează termenul $r_0 \cdot \operatorname{tg} \alpha \cdot \sin \psi$.

Deci relația de mai sus se obține din ecuația 4.5 unde se efectuează:

$$ds = 0 \quad \text{și} \quad s = dh = d\psi \operatorname{tg} \alpha \cdot r_0$$

Diagrama corespunzătoare relației are un minim pentru valoarea $\psi = 0$ și este simetrică față de axa verticală așa cum se vede în fig. 4.12.

Pentru a asigura tachetului o lege de mișcare corespunzătoare relației 4.22 se impune corectarea profilului camei. Operațiunea de corectare se face în funcție de sensul rotirii relative camă-tachet.

În fig. 4.13 se prezintă procedeul de construcție grafică a profilului corectat al camei pentru sensul de rotație dinspre vârful tachetului spre articulația lui, sens notat cu $V - A$.

Mărimile l , ψ_1 , ψ_0 , și h_0 se stabilesc funcție de parametrii geometrici ai mecanismului și de performanțele dorite.

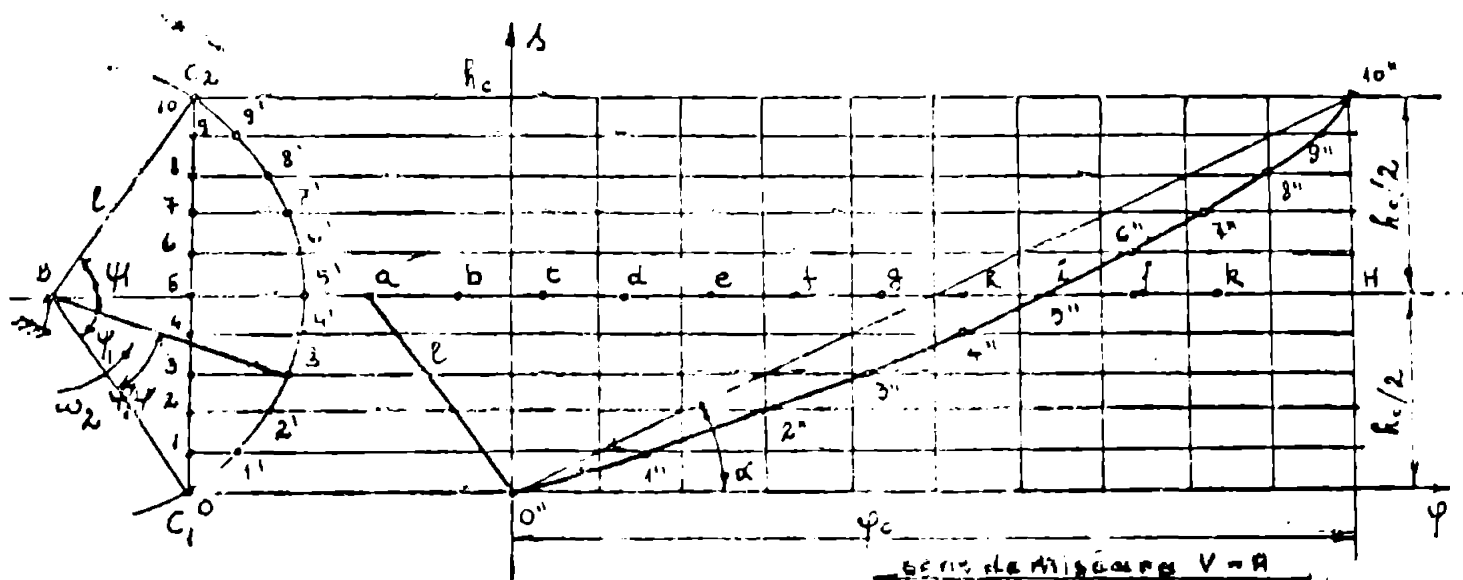


fig. 4.13

Rezultă unghiul de inclinare α al dreptei $O''10''$ care reprezintă profilul necorctat al camii. Secanta C_1C_2 , corespunzătoare rotirii tachetului cu unghiul $2\psi_1$, se împarte în 10 părți egale. În timpul rotirii tachetului, punctul caracteristic C ocupă succesiv pozițiile $1', 2', \dots, 9'$ care se găsesc la intersecția cercului de rază R cu paralelele duse prin punctele $1, 2, \dots, 9$ la direcția orizontală BH. Segmentul de dreaptă de lungime φ_0 se împarte deasemenea în zece părți egale pentru a forma un carcoiaj pe suprafața dreptunghiului $\varphi_0 \times h_c$. Cu vârful compasului în punctul O'' și cu deschiderea R se intersectează orizontala BH și se găsește punctul inițial a. Segmentul $ak = \varphi_0$ se împarte și el în 10 părți egale prin punctele b, c, \dots, j . Punând succesiv vârful compasului în punctele b, c, \dots, j și ducând arce de cerc de rază R se intersectează orizontalele duse prin punctele $1, 2, \dots, 9$ și se determină astfel poziția punctelor $1'', 2'', \dots, 9''$, puncte prin care se trasează legea de mișcare căutată. Această lege asigură tachetului o mișcare astfel încât proiecția pe orizontală (se ține cont de rotirea cu 90° a figurii) a vitezei punctului C să fie constantă.

Schimbând sensul de rotație a camii și procedând similar cazului anterior, se trasează diagrama din fig. 4.14. În figură se remarcă că s-a păstrat sensul de mișcare a camii, dar prin poziționarea inverșă a tachetului se inversează sensul de mișcare relativă camă - tachet.

În acest caz legea de mișcare corectată se găsește în partea su-

perioară a segmentului $O''10''$. Construcția grafică se execută similar cu cazul precedent.

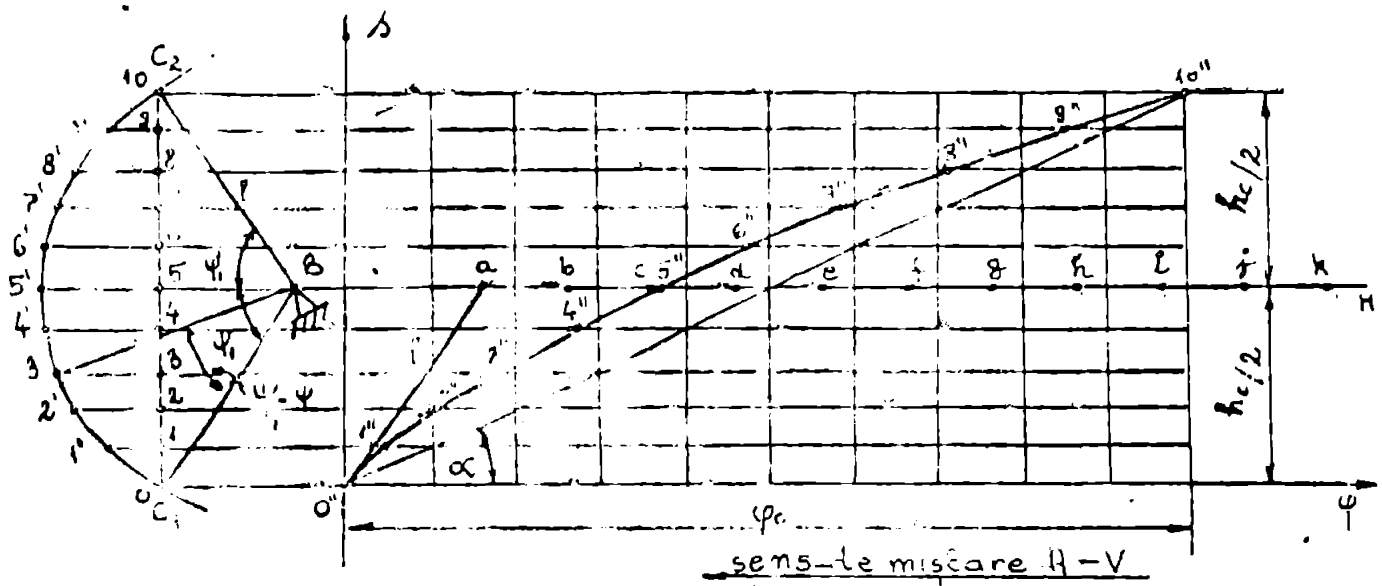


fig. 4.14

Se remarcă deci, că pentru aceeași funcție generată la ieșirea mecanismului, la intrare se utilizează funcții diferite în concordanță cu sensul de rotire relativă camă - tachet. La sinteza mecanismului se va alege sensul de rotire și legea de mișcare corespunzătoare acestui sens, funcție de o serie de considerente cinematice și dinamice ale sistemului.

Analizând construcțiile grafice din figurile de mai sus, se constată că segmentele de dreaptă $11'$, $22'$, ..., $99'$ sînt egale cu distanța dintre segmentul de dreaptă $O''10''$ și legea de mișcare corectată, pe direcțiile orizontale respective. Aceasta ne permite să transmitem funcția de intrare prin măsurarea la dreapta sau la stînga față de segmentul $O''10''$ a unor segmente de dreaptă egale cu cele menționate, capetele acestor segmente fiind puncte ce aparțin diagramei căutate. Se poate renunța astfel la punctele ajutătoare a, b, c, \dots, k și precizia construcției grafice crește.

Constatarea de mai sus ne permite să exprimăm funcția de intrare sub formă analitică, ca și o funcție $s = s(\varphi)$.

Considerînd un punct caracteristic curent notat cu C și unghiul φ corespunzător lui, putem scrie ecuațiile:

$$\begin{cases} s = l (\sin \psi_1 - \sin \psi) \\ \varphi = \frac{s}{\text{tg } \alpha} + l \cdot (\cos \psi - \cos \psi_1) \end{cases} \quad (4.23)$$

În cea de-a doua ecuație semnul + se dă pentru sensul de rotație al camii de la vârful tacheiului spre articulație $V - A$, iar semnul - pentru sensul de rotație inversă, $A - V$. Se consideră în cele ce urmează primul caz și grupând corespunzător termenii ecuațiilor se elimină parametrul ψ .

$$\begin{cases} l \cdot \sin \psi_1 - s = l \sin \psi \\ \psi - \frac{s}{l \cos \alpha} + l \cdot \cos \psi_1 = l \cos \psi \end{cases} \quad (4.24)$$

Eliminând din ecuațiile de mai sus unghiul ψ și aranjând termenii rezultă:

$$\left(\sin \psi_1 - \frac{s}{l} \right)^2 + \left(\frac{\psi}{l} - \frac{s}{l \cos \alpha} + \cos \psi_1 \right)^2 = 1 \quad (4.25)$$

Înlocuind rădăcirile la pătrat și regrupând termenii se obține o ecuație de gradul doi în s :

$$\begin{aligned} \frac{1}{l^2} \left(1 + \frac{1}{\cos^2 \alpha} \right) s^2 - \frac{2}{l} \left(\frac{\psi}{\cos \alpha} + \frac{\cos \psi_1}{\cos \alpha} + \sin \psi_1 \right) s + \\ + \frac{\psi^2}{l^2} + \frac{2\psi}{l} \cdot \cos \psi_1 = 0 \end{aligned} \quad (4.26)$$

În continuare se fac următoarele notații:

$$\begin{aligned} A &= \frac{1}{l^2} \left(1 + \frac{1}{\cos^2 \alpha} \right) \\ B &= \frac{2}{l} \left(\frac{\psi}{\cos \alpha} + \frac{\cos \psi_1}{\cos \alpha} + \sin \psi_1 \right) \\ C &= \frac{\psi^2}{l^2} + \frac{2\psi}{l} \cdot \cos \psi_1 \end{aligned} \quad (4.27)$$

și ecuația ia forma de mai jos:

$$A s^2 - B s + C = 0$$

Rădăcinile ecuației sînt:

$$s = \frac{B \pm \sqrt{B^2 - 4AC}}{2A} \quad (4.28)$$

și ambele reprezintă soluții ale legii de mișcare corectată, sub forma unor funcții $s = s(\varphi)$.

Soluția corespunzătoare se alege cu ajutorul condițiilor inițiale, după cum urmează: pentru $\varphi = 0$, $s = 0$

Deoarece în acest punct coeficientul C se anulează, soluția pentru care și funcția s se anulează este:

$$s = \frac{B - \sqrt{B^2 - 4AC}}{2A} \quad (4.29)$$

Pentru racordarea acestei legi de mișcare la porțiunile de accelerare respectiv decelerare, se determină valoarea derivatelor funcției la capetele intervalului:

$$\frac{ds}{d\varphi} = \frac{d}{d\varphi} (B^2 - 4AC)^{0,5} = \frac{2BB' - 4AC'}{(B^2 - 4AC)^{0,5}} \quad (4.30)$$

unde $B' = \frac{dB}{d\varphi} = \frac{2}{l^2 \operatorname{tg} \alpha}$

și $C' = \frac{dC}{d\varphi} = \frac{2}{l} \left(\frac{\varphi}{l} + \cos \psi_1 \right)$

În cele ce urmează se vor folosi următoarele notații pentru panta acestei funcții în diferite puncte:

- la începutul zonei de perforare pentru $\varphi = \varphi_a$
notăm panta cu $m_1 = (ds/d\varphi)$
- la sfârșitul zonei de perforare pentru $\varphi = \varphi_p$
vom nota panta cu m_2
- cu $m = h_p / \varphi_p \cdot r_0 = \operatorname{tg} \alpha$ se notează panta profilului necorectat

Pentru sensul de rotație $A - V$, când în formula pentru calcularea unghiului φ se ia semnul negativ, coeficienții ecuației de gradul doi se notează cu litere barate și au următoarea formă:

$$\begin{aligned} \bar{A} &= A = \frac{1}{l^2} \left(1 + \frac{1}{\operatorname{tg}^2 \alpha} \right) \\ \bar{B} &= \frac{2}{l} \left(\frac{\cos \psi_1}{\operatorname{tg} \alpha} - \sin \psi_1 - \frac{\varphi}{l \operatorname{tg} \alpha} \right) \\ \bar{C} &= \frac{\varphi^2}{l^2} - \frac{2\varphi}{l} \cos \psi_1 \end{aligned} \quad (4.31)$$

Ecuația profilului corectat în acest caz este următoarea:

$$\bar{A} s^2 + B s + C = 0 \quad (4.32)$$

iar soluția care îndeplinește condițiile inițiale are forma de mai jos:

$$s = \frac{-B + \sqrt{B^2 - 4\bar{A}C}}{2\bar{A}} \quad (4.33)$$

Derivata funcției $s = s(\varphi)$ are expresia de mai jos :

$$\frac{ds}{d\varphi} = \frac{d}{d\varphi} (B^2 - 4\bar{A}C)^{0,5} = \frac{2B B' - 4\bar{A} C'}{(B^2 - 4\bar{A}C)^{0,5}} \quad (4.34)$$

unde :

$$B' = \frac{dB}{d\varphi} = -\frac{2}{l^2 \operatorname{tg} \alpha}$$

$$\text{și } C' = \frac{dC}{d\varphi} = \frac{2}{l} \left(\frac{\varphi}{l} - \cos \psi_1 \right)$$

Materializând pe camă aceste legi de mișcare ca niște funcții de intrare, funcția de ieșire, respectiv proiecția pe direcția de deplasare a cartelei a vitezei vârfului tachetului, va fi constantă.

Aceste corecții permit înlăturarea principalului dezavantaj pe care îl prezintă mecanismul camă cu tachet în mișcare de oscilație.

Precum menționat însă că legile de mișcare corectate obținute mai sus se vor aplica ținând cont de poziția relativă camă - tachet și de sistemul de axe de referință.

Rezultatele obținute se vor aplica în cadrul cap. 8, unde se face sinteza analitică a mecanismului de perforare, adoptându-se o poziție relativă convenabilă între elementele componente ale acestui mecanism. Se arată în cadrul paragrafului 8.5.2 modul în care se alege o anumită porțiune din funcția corectată pentru a fi racordată la legile de mișcare aferente zonelor de accelerare și decelerare.

Se poate afirma că în toate cazurile când se impune o anumită precizie în generarea funcției de intrare și implicit și a celei de ieșire, este necesară aplicarea acestui tip de corecții dacă unghiul de oscilație al tachetului depășește o valoare de 20° .

La racordarea funcției corectate se va ține seama de schimbarea valorilor pantelor funcției de intrare în punctele de racordare.

5 Sinteza analitică a profilului camei

5.1 Generalități

În cazul mecanismului de perforare, staționarea tachetului pe palierele inferior și superior nu este funcțională și prin urmare aceste paliere nu sînt necesare, iar cama devine de tip RC. Această particularitate permite mărirea performanțelor sistemului de perforare prin efectuarea mai multor operațiuni de perforare de-a lungul unui ciclu de rotație a camei. Se pot folosi în acest scop came cvadruple, astfel încît se poate atinge performanța de 100 cicluri de perforare pe secundă pentru o viteză de rotație a camei cu 1500 rot/min. Deci un ciclu de perforare se realizează pe un unghi de 90° și conține pe lîngă zona de viteză constantă și trei zone de racordare:

- zona de racordare pentru accelerare,
- zona de racordare pentru decelerare,
- zona de racordare pentru coborîre.

Zonile a și b se găsesc în cadrul fazei de ridicare și prin aceste zone se realizează racordarea zonei de viteză constantă. Zona C ocupă în întregime faza de coborîre a tachetului.

Pentru fiecare din aceste zone trebuie stabilită ecuația de mișcare corespunzătoare.

Problema diferită ridică racordarea profilelor corectate. Pentru exemplificare se lucrează în cele ce urmează cu o lege de mișcare sinusoidală pentru zonele de racordare.

Legile de mișcare pentru cele trei zone sînt următoarele:

$$a) \quad s = s_0 + \frac{h_r}{2} \left(1 - \cos \frac{\pi}{\varphi_r} \varphi \right) \quad (5.1)$$

$$b) \quad s = s_0 + h - \frac{h_r}{2} \left[1 - \cos \frac{\pi}{\varphi_r} (\varphi_1 - \varphi) \right] \quad (5.2)$$

$$c) \quad s = s_0 + \frac{h}{2} \left[1 - \cos \frac{\pi}{\varphi_2} (\varphi_1 + \varphi_2 - \varphi) \right] \quad (5.3)$$

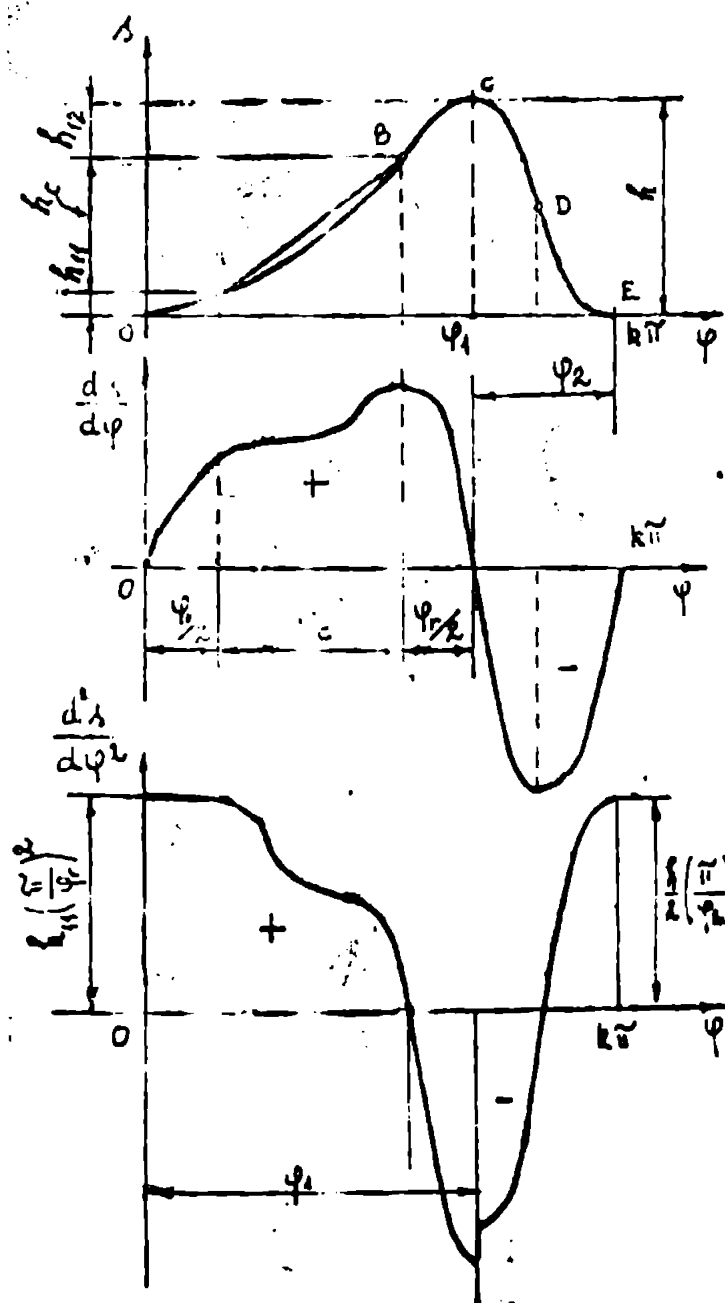
S-au făcut următoarele notații: s_0 - înălțimea inițială, h - cursa totală a tachetului, h_r - înălțimea de racordare, φ_r - unghiul de racordare, m - panta zonei de viteză constantă, φ_1 - unghiul fazei de ridicare, φ_2 - unghiul fazei de coborîre, h_r - înălțimea de racordare cum se vede și în fig. 5.1, o anumită situație optimă

realizează când cele două valori maxime ale accelerațiilor se realizează și astfel se evită producerea șocurilor noi în punctele absolină $\varphi = 0$ și $\varphi = \varphi_1$. Punând această condiție se poate afla o mărime optimă pentru unghiul fazoi de coborire;

$$\varphi_2 = \varphi_1 \cdot \sqrt{\frac{b}{h_r}} \quad (5.4)$$

5.2 Racordarea profilului corectat

5.2.1 Racordarea profilului corectat pentru sensul de rotire al camiei V - A



Din motive constructive se păstrează egalitatea între unghiurile de racordare ale zonelor de accelerare și decelerare. Se vor obține deci înălțimi de racordare diferite, funcție de pantele în punctele de racord. Pentru a diferenția cele două situații se fac notații cu un indice suplimentar și anume:

- m_{11} - panta în punctul de racord inițial,
- h_{11} - înălțimea de racordare la accelerare,
- m_{12} - panta în punctul de racord final,
- h_{12} - înălțimea de racordare la decelerare.

Pentru sensul de rotire a camiei V - A, corespunzător cu corecțiile stabilite la paragraful 4.34, din fig.

5.1 rezultă următoarele inegalități:

fig. 5.1 •

$$m_{11} < m, \quad m_{12} > m \quad \text{și evident} \quad m_{12} > m_{11}.$$

Ecuațiile generale ale mișcării sînt cele stabilite anterior, iar alura diagramelor se prezintă ca în fig. 5.4 ...

Pentru a stabili coordonatele punctului de racordare A se pune următoarea condiție :

$$\text{la } \varphi = \varphi_r / 2, \quad ds/d\varphi = m_{11}$$

și deci $\frac{\pi \cdot h_{11}}{\varphi_r} = m_{11}$ iar înălțimea de racordare rezultată este:

$$h_{11} = m_{11} \cdot \varphi_r / \pi < \frac{1}{2} h_r$$

Deci punctul A are coordonatele: $(\frac{1}{2} \cdot \varphi_r, \frac{m_{11} \cdot \varphi_r}{\pi})$.

Prin adunarea la aceste valori a unghiului și a înălțimii corespunzătoare zonei de perforare se obțin și coordonatele punctului de racordare B. Coordonatele acestui punct și panta m_{12} pentru legea de mișcare corectată în zona de perforare constituie condițiile inițiale pentru determinarea coeficienților ecuației de mișcare în zona de decelerare. Setul de ecuații pentru această zonă se obține direct prin înlocuirea coeficientului m cu m_{12} în ecuațiile obținute anterior (5.2).

Procedînd astfel presupunem implicit că înălțimea totală h se menține la aceeași valoare și deci înălțimea de racordare la decelerare se determină astfel :

$$h_{12} = h - (h_0 + h_{11})$$

În ipoteza menținerii aceluși valori pentru unghiul fazei de ridicare și al fazei de coborîre, ecuațiile de mișcare pentru faza de coborîre determinate la paragraful precedent sînt valabile și în cazul de față.

Pentru cazul profilului necorectat s-a determinat o condiție astfel ca accelerațiile maxime ale fazelor de ridicare și coborîre să fie egale, avînd la bază faptul că pentru $\omega = \text{ct.}$ la faza de ridicare accelerația maximă pozitivă este egală în valoare absolută cu accelerația maximă negativă.

Pentru profilul corectat valorile maxime ale accelerațiilor sînt:

$$\frac{d^2s}{d\varphi^2} = h_{11} \left(\frac{\pi}{\varphi_r} \right)^2 = m_{11} \frac{\pi}{\varphi_r} \quad \text{accelerație maximă pozitivă la faza de ridicare pt. } \varphi = 0,$$

$$\frac{d^2s}{d\varphi^2} = -m_{12} \frac{\pi}{\varphi_r} \quad \text{accelerație maximă negativă la faza de ridicare pt. } \varphi = \varphi_1,$$

$$\frac{d^2 \xi}{d\varphi^2} = \frac{h}{2} \left(\frac{\ddot{\varphi}}{\varphi_2} \right)^2$$

acceleerații maxime la faza de
coborîre pentru $\varphi = \varphi_1$
și respectiv $\varphi = \varphi_1 + \varphi_2$.

Deoarece $m_{12} > m_{11}$ valoarea maximă negativă este mai mare decît
valoarea maximă pozitivă a abceleerației și aceste valori au raportul
egal cu m_{12}/m_{11} .

Din punct de vedere a dinamicii mecanismului, este mai important
să asigurăm egalizarea valorilor maxime pozitive ale acceleerațiilor
celor două faze și să evităm șocul moale înainte de intrarea în ra-
cordul de acceleerație și apoi în palierul de viteză constantă.

Din acest considerent de propunem egalizarea acestor acceleerații:

din egalitatea
$$h_{11} \left(\frac{\ddot{\varphi}_r}{\varphi_r} \right)^2 = \frac{h}{2} \left(\frac{\ddot{\varphi}}{\varphi_2} \right)^2,$$

rezultă unghiul fazei de coborîre
$$\varphi_2 = \varphi_r \cdot \sqrt{\frac{b}{2 \cdot h_{11}}}$$

și înlocuind pe h_{11} obținem:
$$\varphi_2 = \sqrt{\frac{7 \cdot h}{2 \cdot m_{11}}} \cdot \varphi_r \quad (3.5)$$

La alegerea și determinarea unghiurilor caracteristice ciclului
de funcționare se are în vedere faptul că unghiul de viteză constan-
tă este impus tehnologic și permite modificări numai peste o anumită
valoare minimă necesară.

Acoste unghiuri trebuie să îndeplinească următoarea condiție:

$$\varphi_r + \varphi_c + \varphi_2 = K \cdot \pi$$

unde K este numărul de radiani pe ciclu. Pentru o camă simplă valoa-
rea lui K este 2, iar pentru o camă cvadruplă este 0,5.

3.2.2. Racordarea profilului corectat pentru sensul
de rotire a camii A - V.

Si în acest caz se păstrează egale cele două unghiuri de racord,
iar înălțimea zonelor de racordare va fi funcție de panta în puncte-
le de racord. Similar cazului precedent se fac următoarele notații:

m_{21} panta în punctul de racord inițial.

- h_{21} înălțimea de racordare pentru zona de accelerare,
- m_{22} panta în punctul de racord final,
- h_{22} înălțimea de racordare pentru zona de decelerare.

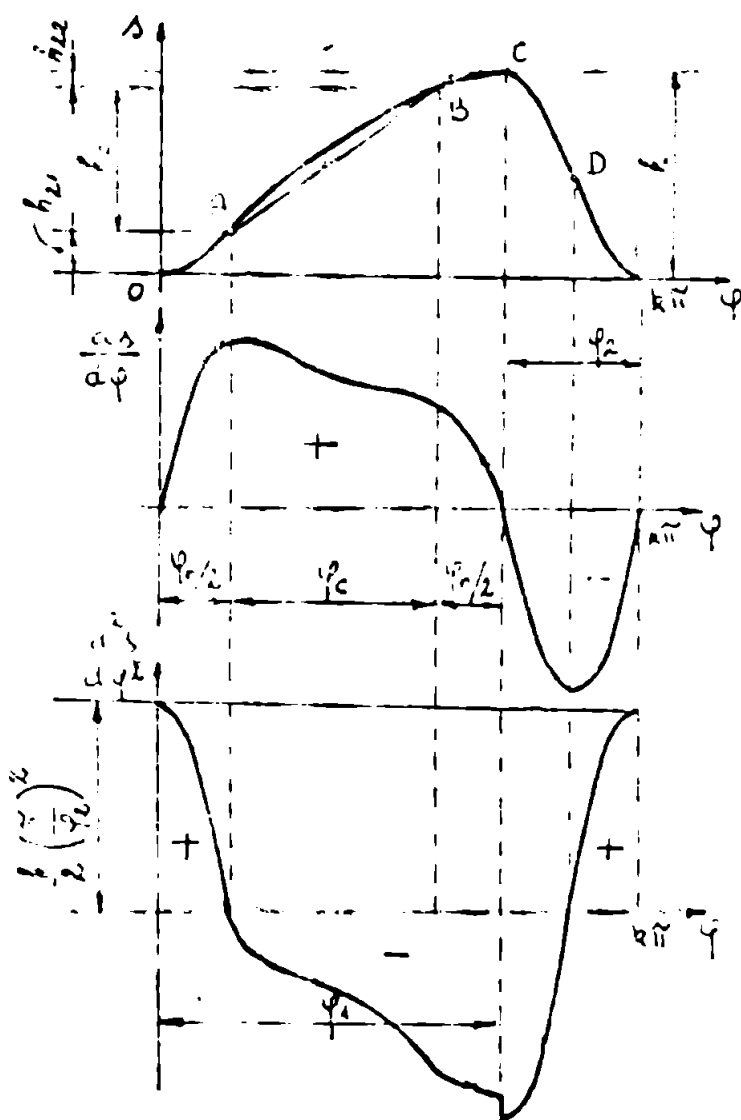


Fig. 5.2

valori absolute. Pentru zona de coborire diagrama accelerațiilor este simetrică iar unghiul decoborire φ_2 se va determina astfel încât accelerațiile maxime pozitive să fie egale pentru cele două zone. Se acceptă astfel un salt negativ de accelerație pentru $\varphi = \varphi_1$, așa cum se vede în fig. 5.2. Analizând aceste diagrame și comparându-le cu cele din cazul precedent fig. 5.1, se poate constata că zona accelerațiilor negative este mai mare, ea cuprinzând și o parte din zona de viteză constantă. Aceasta constituie un dezavan-

Pentru acest sens de rotire avem următoarele inegalități :

$$m_{21} > m, \quad m_{22} < m \quad \text{și}$$

$$m_{21} > m_{22}$$

Având stabilită înălțimea totală h , se pot calcula înălțimile zonelor de racordare :

$$h_{21} = \frac{m_{21} \cdot \varphi_r}{\pi}$$

$$h_{22} = h - (h_0 + h_{21})$$

Rezultă că înălțimea de racord pentru profilul astfel corectat, pe zona de accelerare este mai mare decât cea corespunzătoare profilului necorectat și deci :

$$h_{21} > h_r / 2$$

Coordonatele punctelor de racord sînt :

$$A \left(\frac{1}{2} \varphi_r, \frac{m_{21} \cdot \varphi_r}{\pi} \right)$$

$$B \left(\left(\frac{1}{2} \varphi_r + \varphi_c \right), \left(\frac{m_{21} \cdot \varphi_r}{\pi} + h_0 \right) \right)$$

Avînd inegalitatea $m_{21} > m_{22}$ se poate afirma că pentru faza de ridicare accelerația maximă pozitivă este mai mare decât accelerația maximă negativă în

tașii sunt, deoarece pe această porțiune se creează condiții favorabile amorsării unor oscilații care pot duce la desprinderea din tachetului de cană.

Pentru a îmbunătăți dinamica mecanismului se caută legi de mișcare astfel încât să obținem atât valori minime pentru accelerația negativă, precum și zone cu accelerație negativă cât mai înguste.

În concluzie se poate afirma că la utilizarea unei legi de intrare corectată se recomandă ca sensul de rotire a canei să fie de la vârful spre articulația tachetului ($V \rightarrow A$).

5.3 Stabilirea unei legi optime de racordare

5.3.1 Legea de racordare polinomială

Din cele prezentate anterior la cap. 3, precum și din rezultatele obținute în această lucrare și prezentate la paragraful 6.3.2, se constată că dintre legile uzuale de racordare, rezultatele cele mai bune se obțin cu ajutorul legilor de mișcare polinomiale.

Din multitudinea funcțiilor polinomiale cu care se pot realiza racordările, trebuie alese acele funcții care pe lângă îndeplinirea condițiilor de margine să prezinte o serie de avantaje inerente.

Se caută deci soluționarea problemei de sinteză a legii de mișcare utilizând legi de racordare polinomială sub forma:

$$s = a_n \psi^n + a_{n-1} \psi^{n-1} + \dots + a_2 \psi^2 + a_1 \psi + a_0 \quad (5.6)$$

Numărul termenilor, gradul polinomului și valoarea coeficienților se vor stabili pentru fiecare fază și zonă de mișcare.

Pentru a simplifica scrierea ecuațiilor polinomiale și rezolvarea lor, se adoptă pentru fiecare zonă de lucru un sistem de axe de coordonate care să fie cât mai favorabil.

5.3.2 Ecuațiile de mișcare pentru zona de accelerare

Condițiile inițiale pe care le punem pentru a determina valoarea coeficienților polinomului sînt următoarele :

$$\begin{aligned} \text{pentru } \varphi = 0, \quad s = s_0, \quad \dot{s} = 0 \quad \text{și} \quad \ddot{s} = 0 \\ \varphi = \varphi_{11}, \quad \dot{s} = m \quad \text{și} \quad \ddot{s} = 0 \end{aligned}$$

Se fac următoarele notații:

- $\varphi_{11} = \rho_r / 2$ unghiul zonei de accelerare ,
- b_1 - înălțimea zonei de accelerare ,
- \dot{s} - derivata de ordinul unu a spațiului funcție de φ ,
- \ddot{s} - derivata de ordinul doi a spațiului .

Din primele trei condiții rezultă valoarea a trei coeficienți :

$$s_0 = s_0, \quad a_1 = 0 \quad \text{și} \quad a_2 = 0$$

Următoarele două condiții ne permit să lucrăm cu polinoame de forma

$$s = a_k \varphi^k + a_q \varphi^q + s_0 \tag{5.7}$$

unde coeficienții k și q respectă relația $k > q > 2$.

Primul polinom pe care îl luăm în studiu și care îndeplinește condițiile impuse este de gradul patru și astfel obținem următorul set de ecuații :

$$\begin{cases} s = a\varphi^4 + b\varphi^3 + s_0 \\ \dot{s} = 4a\varphi^3 + 3b\varphi^2 \\ \ddot{s} = 12a\varphi^2 + 6b\varphi \end{cases} \tag{5.8}$$

Coeficienții a și b se determină punînd condițiile corespunzătoare unghiului zonei de accelerare. Rezultă astfel un sistem de două ecuații :

$$\begin{cases} 4a\varphi_{11}^3 + 3b\varphi_{11}^2 = m \\ 12a\varphi_{11}^2 + 6b\varphi_{11} = 0 \end{cases} \tag{5.9}$$

Se obțin astfel valorile $a = \frac{m}{2\varphi_{11}^3}$ și $b = \frac{m}{\varphi_{11}^2}$

Ecuațiile de mișcare rezultate sînt următoarele :

$$\begin{cases} \ddot{s} = -\frac{m}{2\varphi_{11}^2} \varphi^4 + \frac{m}{\varphi_{11}^2} \varphi^3 + s_0 \\ \ddot{s} = -\frac{2m}{\varphi_{11}^2} \varphi^3 + \frac{3m}{\varphi_{11}^2} \varphi^2 \\ \ddot{s} = -\frac{3m}{\varphi_{11}^2} \varphi^2 + \frac{6m}{\varphi_{11}^2} \varphi \end{cases} \quad (5.10)$$

Cu ajutorul acestor ecuații putem determina valoarea lui h_1 și accelerația rotului maximă.

Pentru $\varphi = \varphi_{11}$ deplasarea totală este :

$$s = s_0 + \frac{m}{2} \varphi_{11}$$

și deci înălțimea zonei de accelerare este $h_1 = \frac{m}{2} \varphi_{11}$

Se observă că această ecuație de mișcare asigură aceeași înălțime de racordare ca și legea sinusoidală.

Pentru a calcula accelerația maximă redăm anulăm derivata de ordin trei a deplasării și determinăm unghiul $\varphi = \frac{1}{2} \varphi_{11}$ pentru care accelerația este maximă:

$$\ddot{s}_{\max} = \frac{3m}{2 \cdot \varphi_{11}}$$

În cazul legii sinusoidale accelerația maximă are valoarea $\pi \cdot m / \varphi_r$ și dacă se ține cont că $2 \cdot \varphi_{11} = \varphi_r$ se constată că accelerația maximă pentru legea polinomială este mai mică cu aproximativ cinci procente.

Dacă în ecuațiile de mișcare se înlocuiește m cu m_{11} sau cu m_{21} se pot stabili condițiile de racordare ale profilului corectat pentru cele două sensuri de rotire a camei.

Dacă se ia în studiu un polinom de grad superior; de exemplu $s = a \cdot \varphi^5 + b \cdot \varphi^3 + s_0$, se constată că pentru scăderi nesemnificative a valorii maxime a accelerației reduse, racordarea se face pe înălțimi de peste două ori mai mari. Creșterea accentuată a înălțimii de racordare, duce la creșterea înălțimii totale și implicit la mărirea vitezei în faza de coborîre și constituie un dezavantaj care elimină din discuție aceste legi de mișcare.

Condițiile mișcării pentru zona de decelerare

Pe baza lui φ_{12} unghiul corespunzător acestei zone. Pentru determinarea coeficienților polinomialei punem următoarele condiții:

pentru $\varphi = \varphi_1 - \varphi_{12}$ $\dot{s} = m$

pentru $\varphi = \varphi_1$ $s = s_0 + h$, $\dot{s} = 0$, $\ddot{s} = 0$.

Prin urmare scriem patru ecuații iar polinomul mișcării este de gradul 3:

$$\begin{cases} s = a_3 \cdot \varphi^3 + a_2 \cdot \varphi^2 + a_1 \cdot \varphi + a_0 \\ \dot{s} = 3a_3 \cdot \varphi^2 + 2a_2 \cdot \varphi + a_1 \\ \ddot{s} = 6a_3 \cdot \varphi + 2a_2 \end{cases} \quad (5.11)$$

Pentru condițiile propuse inițial scriem sistemul de patru ecuații pentru necunoscutele coeficienților a_j :

$$\begin{cases} a_3 \cdot \varphi_1^3 + a_2 \cdot \varphi_1^2 + a_1 \cdot \varphi_1 + a_0 = s_0 + h \\ a_3(\varphi_1 - \varphi_{12})^2 + 2a_2(\varphi_1 - \varphi_{12}) + a_1 = m \\ a_3 \cdot \varphi_1^2 + 2a_2 \cdot \varphi_1 + a_1 = 0 \\ 6a_3 \cdot \varphi_1 + 2a_2 = 0 \end{cases} \quad (5.12)$$

Prin rezolvarea sistemului se găsesc pentru coeficienți următoarele valori:

$$a_3 = \frac{m \cdot \varphi_{12}^2}{\varphi_1^3}, \quad a_2 = -\frac{m \cdot \varphi_1}{\varphi_{12}^2}, \quad a_1 = \frac{m}{3 \cdot \varphi_{12}^2}$$

$$a_0 = s_0 + h - \frac{m \cdot \varphi_1^3}{3 \cdot \varphi_{12}^2}$$

Ecuațiile mișcării sînt :

$$\begin{cases} s = \frac{m}{3 \cdot \varphi_{12}^2} \cdot \varphi^3 - \frac{m \cdot \varphi_1}{\varphi_{12}^2} \cdot \varphi^2 + \frac{m \cdot \varphi_1}{\varphi_{12}^2} \cdot \varphi + s_0 + h - \frac{m \cdot \varphi_1^3}{3 \cdot \varphi_{12}^2} \\ \dot{s} = \frac{m}{\varphi_{12}^2} \cdot \varphi^2 - \frac{2m \cdot \varphi_1}{\varphi_{12}^2} \cdot \varphi + \frac{m \cdot \varphi_1}{\varphi_{12}^2} \\ \ddot{s} = -\frac{2m}{\varphi_{12}^2} \cdot \varphi - \frac{2m \cdot \varphi_1}{\varphi_{12}^2} \end{cases} \quad (5.13)$$

Prin urmare se verifică dacă se îndeplinesc condițiile inițiale impuse și se rezarcă faptul că valoarea maximă a accelerației se obține pentru $\varphi = \varphi_1 - \varphi_{12}$

cu ecuația :

$$\ddot{s}_{max} = -\frac{2m}{\varphi_{12}^2}$$

Pentru a micșora valoarea maximă a accelerației și pentru a ține această valoare undeva la mijlocul zonei de decelerare se pune o condiție suplimentară și anume : pentru $\varphi = \varphi_1 - \varphi_{12}$ $\ddot{s} = 0$. In acest caz polinomul mișcării este de grad patru :

$$s = a_4 \cdot \varphi^4 + a_3 \cdot \varphi^3 + a_2 \cdot \varphi^2 + a_1 \cdot \varphi + a_0 \quad (5.24)$$

Fuind condițiile de margine se scrie un sistem cu cinci ecuații:

$$\begin{cases} a_4 \cdot \varphi_1^4 + a_3 \cdot \varphi_1^3 + a_2 \cdot \varphi_1^2 + a_1 \cdot \varphi_1 + a_0 = n_0 + h \\ 4a_4 \cdot \varphi_1^3 + 3a_3 \cdot \varphi_1^2 + 2a_2 \cdot \varphi_1 + a_1 = 0 \\ 12a_4 \cdot \varphi_1^2 + 6a_3 \cdot \varphi_1 + 2a_2 = 0 \\ 4a_4 (\varphi_1 - \varphi_{12})^3 + 3a_3 (\varphi_1 - \varphi_{12})^2 + 2a_2 (\varphi_1 - \varphi_{12}) + a_1 = m \\ 12a_4 (\varphi_1 - \varphi_{12})^2 + 6a_3 (\varphi_1 - \varphi_{12}) + 2a_2 = 0 \end{cases} \quad (5.15)$$

Rezolvarea acestui sistem permite determinarea coeficienților a_0, \dots, a_4 și scrierea polinomului de mișcare.

Pentru a evidenția simetria zonei de decelerare față de zona de accelerare, executăm o translație a sistemului de axe de coordonate

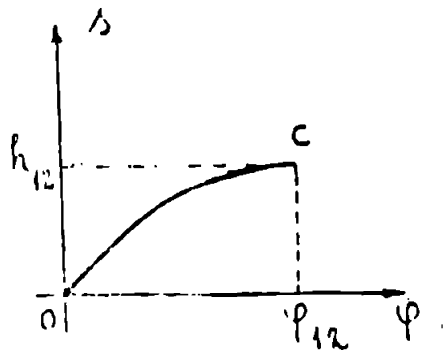


Fig. 5.3

astfel încît originea noului sistem să fie în punctul de racord B, ca în fig. 5.3. Presupunem ipoteza simplificatoare că unghiurile $\varphi_{12} = \varphi_1 = 1$ și punem următoarele condiții inițiale : la $\varphi = 0$ $s = 0$, $\dot{s} = m$, $\ddot{s} = 0$ și la $\varphi = \varphi_{12} = 1$ $\dot{s} = 0$ și $\ddot{s} = 0$. Din primele trei condiții rezultă că $a_0 = 0$, $a_1 = m$, $a_2 = 0$. Ultimile două condiții permit scrierea unui sistem de două ecuații :

$$\begin{cases} 4a_4 + 3a_3 + m = 0 \\ 12a_4 + 6a_3 = 0 \end{cases} \quad (5.16)$$

de unde se determină $a_3 = -m$ și $a_4 = m/2$

Rezultă ecuațiile polinomului și a derivatelor sale:

$$\begin{aligned} s &= \frac{m}{2} \cdot \varphi^4 - m \cdot \varphi^3 + m \cdot \varphi \\ \dot{s} &= 2m \cdot \varphi^3 - 3m \cdot \varphi^2 + m \end{aligned} \quad (5.17)$$

$$\ddot{s} = 6m \cdot \varphi^2 - 6m \cdot \varphi$$

Pentru valoarea $\varphi = 1$, $s = h_{12} = \pi/2$. Pentru a determina valoarea și poziția accelerației maxime se anulează derivata de ordin trei a polinomului mișcării și obținem :

pentru $\ddot{s} = 12m \cdot \varphi - 6m = 0$ rezultă $\varphi = 1/2$ iar accelerația maximă negativă are valoarea $\ddot{s}_{\min} = -3m/2$.

Deoarece unghiurile de accelerare și decelerare sînt egale, cele două legi de mișcare polinomială asigură următoarele egalități:

$$h_1 = h_2 = h_r/2 = \frac{\pi}{2} \frac{\varphi_r}{2}$$

pentru $\varphi_{11} = \varphi_{12} = \varphi_r/2$ și considerînd $\varphi_{11} = \varphi_{12} = 1$ rezultă accelerația maximă

$$|\ddot{s}_{\max}| = 3m/2 \quad (5.18)$$

Obs. În paragraful de mai sus s-a lucrat cu formulele reprezentînd viteze și accelerații relative.

5.3.4. Ecuațiile de mișcare pentru faza de coborîre

Pentru a ușura studiul legilor de mișcare în faza de coborîre se procedează la o nouă translație a sistemului de axe astfel încît axa verticală să treacă prin punctul de racordare C, așa cum se vede

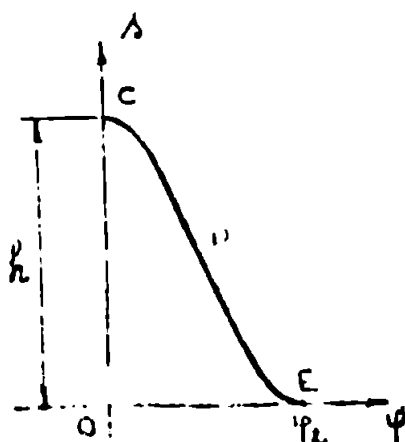


fig. 5.4

în fig. 5.4. O simplificare suplimentară se face prin considerarea înălțimii totale h și unghiului de coborîre φ_2 ca și valori unitare $h = 1$, $\varphi_2 = 1$. Condițiile limită care se pun în acest caz sînt : la $\varphi = 0$ $s = h = 1$, $\dot{s} = 0$, $\ddot{s} = 0$ și la $\varphi = 1$ $s = 0$, $\dot{s} = 0$ și $\ddot{s} = 0$.

Ecuația de mișcare se poate pune sub forma unui polinom de gradul cinci:

$$s = a_5 \cdot \varphi^5 + a_4 \cdot \varphi^4 + a_3 \cdot \varphi^3 + a_2 \cdot \varphi^2 + a_1 \cdot \varphi + a_0 \quad (5.19)$$

Deci ecuațiile de mișcare sînt :

$$s = a_5 \cdot \varphi^5 + a_4 \cdot \varphi^4 + a_3 \cdot \varphi^3 + 1$$

$$\begin{aligned} \ddot{s} &= 5a_5 \cdot \varphi^4 + 4a_4 \cdot \varphi^3 + 3a_3 \cdot \varphi^2 \\ \ddot{i} &= 20a_5 \cdot \varphi^3 + 12a_4 \cdot \varphi^2 + 6a_3 \cdot \varphi \end{aligned} \quad (5.20)$$

deoarece din condițiile inițiale a rezultat că $a_0 = 1$, $a_1 = 0$ și $a_2 = 0$.

Pentru $\varphi = 1$ sistemul se scrie sub forma :

$$\begin{cases} a_5 + a_4 + a_3 = -1 \\ 5a_5 + 4a_4 + 3a_3 = 0 \\ 20a_5 + 12a_4 + 6a_3 = 0 \end{cases} \quad (5.21)$$

Prin rezolvarea acestui sistem se obțin coeficienții $a_5 = -6$, $a_4 = 15$, $a_3 = -10$.

Cunoscând coeficienții ecuațiilor de mișcare, acestea se pot scrie astfel :

$$\begin{cases} s = 1 - 6 \cdot \varphi^5 + 15 \cdot \varphi^4 - 10 \cdot \varphi^3 \\ \dot{s} = -30 \cdot \varphi^4 + 60 \cdot \varphi^3 - 30 \cdot \varphi^2 \\ \ddot{s} = -120 \cdot \varphi^3 + 180 \cdot \varphi^2 - 60 \cdot \varphi \end{cases} \quad (5.22)$$

Anulând derivata a treia se determină poziția și valoarea maximă pentru accelerația maximă negativă și pozitivă :

$$\begin{aligned} \text{la } \varphi_1 &= 0,211 & \ddot{s}_{\min} &= -5,77 \\ \text{și la } \varphi_2 &= 0,789 & \ddot{s}_{\max} &= 5,77 \end{aligned}$$

Acaste valori raportate, obținute la condiția $h=1$, și $\varphi_2 = 1$, permit o comparare rapidă între diferite legi de mișcare.

Pentru a obține o mișcare cu un grad de netezire superior, se impune anularea supra-acelerației la capetele intervalului φ_2 ca și o condiție suplimentară.

În acest caz polinomul mișcării este de gradul șapte :

$$s = a_7 \cdot \varphi^7 + a_6 \cdot \varphi^6 + a_5 \cdot \varphi^5 + a_4 \cdot \varphi^4 + 1 \quad (5.23)$$

În continuare pentru condițiile puse la $\varphi = 1$ rezultă un sistem de ecuații cu ajutorul cărora se determină coeficienții :

$$a_7 = 20, \quad a_6 = -70, \quad a_5 = 84, \quad a_4 = -35$$

Se pot scrie în continuare ecuațiile de mișcare sub forma :

$$\begin{aligned} s &= 1 + 20 \cdot \varphi^7 - 70 \cdot \varphi^6 + 84 \cdot \varphi^5 - 35 \cdot \varphi^4 \\ \dot{s} &= 140 \cdot \varphi^6 - 420 \cdot \varphi^5 + 420 \cdot \varphi^4 - 140 \cdot \varphi^3 \end{aligned} \quad (5.24)$$

$$\ddot{s} = 240 \cdot \varphi^5 - 2100 \cdot \varphi^4 + 1680 \cdot \varphi^3 - 420 \cdot \varphi^2$$

$$\dot{s} = 420 \cdot \varphi^4 - 8400 \cdot \varphi^3 + 5040 \cdot \varphi^2 - 840 \cdot \varphi$$

Anulând ultima ecuație se obțin pozițiile maxime ale accelerației:

$$\varphi_1 = 0,275 \quad \text{și} \quad \varphi_2 = 0,725 \quad \text{pentru care valorile}$$

maxime relative ale accelerației sînt :

$$\ddot{s} = -7,51 \quad \text{și} \quad \ddot{s} = +7,51$$

Cele două legi de mișcare polinomială și derivatele lor sînt prezentate mai jos sub formă tabelară în valori relative:

$$s = 1 - 6 \cdot \varphi^5 + 15 \cdot \varphi^4 - 10 \cdot \varphi^3$$

Tabelul 5.1

φ	s	\dot{s}	\ddot{s}	$\ddot{\ddot{s}}$	obs.
0	1	0	0	-60	
0,05	-	-	-2,505	-	
0,1	0,99	-0,243	-4,32	-27,60	
0,2	0,942	-0,768	-5,70	-2,40	
0,211	-	-	-5,77	0	accel. min.
0,3	0,837	-1,323	-5,04	15,60	
0,4	0,683	-1,728	-2,88	26,40	
0,5	0,50	-1,875	0	30,00	viteză min.
0,6	0,317	-1,728	2,88	26,40	
0,7	0,163	-1,323	5,04	15,60	
0,789	-	-	5,77	0	accel. max.
0,8	0,058	-0,768	5,70	-2,40	
0,9	0,008	-0,243	4,32	-27,60	
0,95	-	-	2,57	-	
1,0	0	0	0	-60	

$$s = 1 + 20 \cdot \varphi^7 - 70 \cdot \varphi^6 + 84 \cdot \varphi^5 - 35 \cdot \varphi^4 \quad \text{Tabelul 5.2}$$

φ	s	\dot{s}	\ddot{s}	$\ddot{\ddot{s}}$	obs.
0	1	0	0	0	
0,1	0,997	-0,102	-2,720	-41,58	
0,2	0,966	-0,573	-6,451	-26,88	
0,275	-	-	-7,510	0	

0,3	0,374	-1,296	-7,408	6,62	
0,4	0,710	-1,935	-4,838	40,32	
0,5	0,5	-2,187	0	50,00	viteză min.
0,6	0,289	-1,935	4,838	40,32	
0,7	0,126	-1,296	7,408	6,62	
0,725	-	-	7,510	0	acceler. max.
0,8	0,033	-0,573	6,451	-20,08	
0,9	0,003	-0,102	2,720	-41,58	
1,0	0	0	0	0	

Analizând rezultatele obținute, rezultă că mărind gradul de nutezere a legii de mișcare, prin anularea derivatelor de ordin superior la capetele intervalului de mișcare, se ajunge și la mărirea valorilor maxime ale vitezei și a accelerației, situație ce este dezavantajousă din punct de vedere cinematic și dinamic.

Un mai avantajosă lege de mișcare este cea de tip 3-4-5, care are valori moderate pentru vitezele și accelerațiile maxime pozitive și negative, fără a prezenta șocuri.

5.4 Calculul analitic a razei cercului de bază

ca
pentru mecanismul de perforare

Calcularea razei cercului de bază se face pornind de la necesitatea respectării unor condiții geometrice și cinematice care să asigure mecanismul împotriva apariției unor forțe mari la nivelul cuplei cinematice superioare. Acest fenomen poate duce la apariția unor zgomote, vibrații, uzură puternică și în ultimă instanță la fenomenul de autoblocare.

Calculul analitic se face în baza celor expuse la paragraful 32, unde s-a prezentat o formulă pentru calcularea unghiului δ .

$$t_3 \delta = \frac{\frac{\sqrt{b}}{\omega_1} \pm (d \cos \psi - R_t)}{d \sin \psi_0}$$

In relație s-au făcut următoarele notații:

- δ unghiul de presiune
- v_b/ω_1 viteza redusă a punctului caracteristic al tachetului
- d distanța între axa tachetului și axa cunei
- R_t lungimea tachetului între ax și punctul caracteristic
- ψ unghiul de oscilație al tachetului
- ψ_0 unghiul tachetului corespunzător razei de bază

Rezultă că dacă se impune un anumit unghi de presiune $\delta / 53 /$ și

implicit un unghi de transmitere $\gamma = \pi/2 - \delta$, atunci pentru toate pozițiile mecanismului centru de rotire a cunei trebuie să se găsească sub dreapta care se duce prin vârful vectorului viteză redusă a tachetului și face cu acesta un unghi γ' , vectorul viteză fiind rabătut cu 90° (deci pe direcția tachetului), în sensul de rotire a cunei. Această observație stă și la baza determinării pe cale analitică a razei cercului de bază. In fig. 5.5 se prezintă graficul de lucru pentru acest scop. Tachetul AB de lungime l s-a introdus într-un sistem de axe coordonate xoy. Cursul h al tachetului se construiește între pozițiile extreme ale punctului caracteristic AB_1 și AB_2 . In capitolele precedente s-a ajuns la concluzia că sensul optim pentru rotația cunei este de la vir-

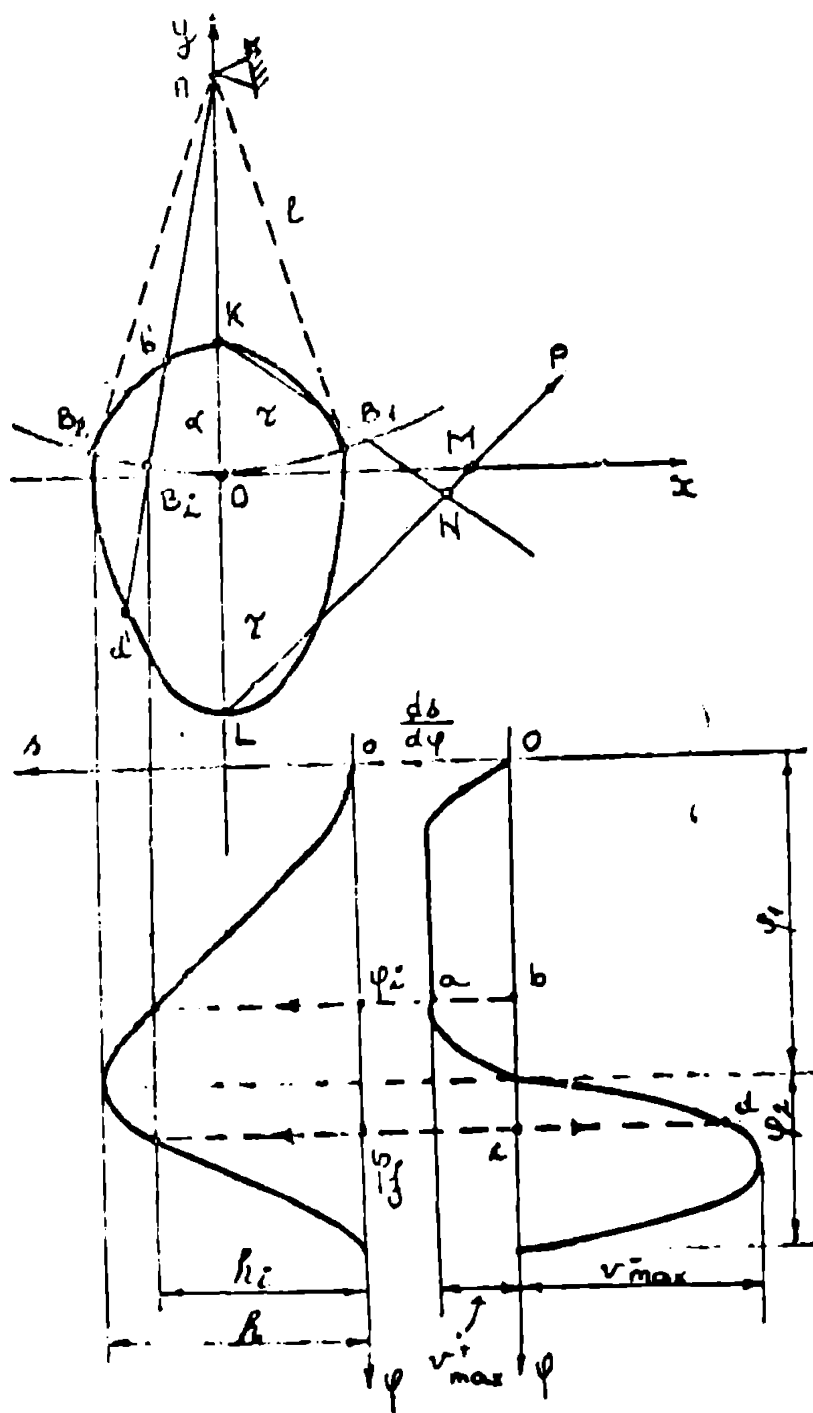


fig. 5.5

ful tacheului spre articulație. Prin urmare diagrama spațiului $s = s(\varphi)$ s-a prezentat corespunzător unei mișcări de jos în sus. Pentru un unghi curent φ_1 se stabilește înălțimea h_1 din ecuația de mișcare. Prin punctul de abscisă $h/2 - h_1$ se duce o dreaptă verticală care la intersecția cu cercul avînd raza egală cu ℓ și centrul de coordonate $A(0, \ell)$, ne dă coordonatele punctului B_1 și deci poziția punctului caracteristic. Se dau mai jos ecuația dreptei verticale prin punctul B_1 și a cercului avînd raza ℓ și centrul în punctul A :

$$\begin{cases} x = \frac{h}{2} - h_1 \\ x^2 + y^2 - 2\ell y = 0 \end{cases} \quad (5.24)$$

Coordonatele punctului curent B_1 aflate cu ajutorul ecuației sînt următoarele:

$$x_{B_1} = \frac{h}{2} - h_1 \quad \text{și} \quad y_{B_1} = \ell - \sqrt{\ell^2 - \left(\frac{h}{2} - h_1\right)^2} \quad (5.25)$$

În continuare se poate scrie ecuația dreptei care trece prin punctele A și B_1 :

$$y = \ell - \frac{\sqrt{\ell^2 - \left(\frac{h}{2} - h_1\right)^2}}{\left(\frac{h}{2} - h_1\right)} \cdot x \quad (5.26)$$

În următoarea etapă se stabilesc coordonatele punctului b' astfel ca pentru $\varphi = \varphi_1$ segmentul $ab = B_1b'$, iar pentru unghiul φ_j corespunzător fazei de coborîre se determină punctul d' astfel ca segmentul $cd = B_1d'$. Segmentele ab și cd reprezintă vitezele reduse rabătute, a căror mărime se determină pentru φ_1 și φ_j din ecuațiile sau graficele de mișcare. Cu mulțimea de puncte b' și d' se pot trasa curbele B_1KB_2 și B_1LB_2 .

În cazul construcției grafice prin fiecare punct b' și d' se duc drepte care fac cu direcția AB_1 unghiul γ . Se stabilește astfel în partea dreaptă o zonă în care poate fi poziționat centrul de rotație a camei. Pentru a determina această zonă pe cale analitică procedăm în felul următor:

a) se notează cu m_1 panta dreptei AB_1

$$m_1 = - \frac{\sqrt{\ell^2 - \left(\frac{h}{2} - h_1\right)^2}}{\frac{h}{2} - h_1} \quad (5.27)$$

b) pentru a determina coordonatele punctelor b' și d' se calculează lungimea segmentelor de dreaptă $\ell_{b'} = B_1b'$ și $\ell_{d'} = B_1d'$ cu ajutorul unei scări a lungimilor k_s .

c) din fig. 5.5 se deduc coordonatele punctelor b' și d'

$$\begin{cases} x_{b'} = x_{B1} - l_{b'} \cos \alpha \\ y_{b'} = y_{B1} + l_{b'} \sin \alpha \end{cases} \quad \begin{cases} x_{d'} = x_{B1} + l_{d'} \cos \alpha \\ y_{d'} = y_{B1} - l_{d'} \sin \alpha \end{cases} \quad (5.2)$$

unde $\alpha = \arctg m_1$.

Dreapta care trece prin punctul b' și face cu direcția AB_1 unghiul γ are față de orizontală unghiul $(\alpha + \gamma)$.

Ecuația ei este următoarea :

$$y = x \operatorname{tg}(\alpha + \gamma) + y_{b'} - x_{b'} \operatorname{tg}(\alpha + \gamma) \quad (5.20)$$

Dreapta similară care trece prin punctul d' are față de orizontală înclinarea $(\alpha - \gamma)$ și ecuația ei este următoarea :

$$y = x \operatorname{tg}(\alpha - \gamma) + y_{d'} - x_{d'} \operatorname{tg}(\alpha - \gamma) \quad (5.21)$$

Intersectând aceste drepte cu axa orizontală $y = 0$ se obțin abscisele a două puncte :

$$x_1 = x_{b'} - \frac{y_{b'}}{\operatorname{tg}(\alpha + \gamma)} \quad \text{și} \quad x_2 = x_{d'} - \frac{y_{d'}}{\operatorname{tg}(\alpha - \gamma)} \quad (5.31)$$

Pentru fiecare pereche de unghiuri φ_1 și φ_2 se obține o pereche de valori x_1 și x_2 . Din mulțimea acestor valori se aleg valorile maxime $x_{1\max}$ și $x_{2\max}$ identificându-se și ecuațiile din care rezultă. Dacă se plasează axa camei pe axa absciselor $y = 0$ și dacă $x_{2\max} > x_{1\max}$ atunci coordonatele axei camei sînt : $(x_{2\max}, 0)$

Intersectînd dreptele pentru care s-a obținut $x_{1\max}$ și $x_{2\max}$ rezultă coordonatele punctului N , unde prin plasarea axei camei se obține cercul de bază cu raza minimă.

Procedeu expus mai sus implică un volum mare de calcule și din acest motiv pentru unghiuri de oscilație mici ale tachetului se poate aplica un procedeu simplificat de calcul care permite o determinare mai rapidă și suficient de precisă a coordonatelor axei camei.

Se remarcă simetria mișcării tachetului față de axa y_0 cît și simetria funcției de viteză pentru o anumită zonă a mișcării față de aceeași axă. În această situație dreptele care sînt duse prin punctele K și L permit obținerea absciselor maxime, deoarece segmentele de dreaptă OK și OL sînt proporționale cu vitezele maxime corespunzătoare celor două faze. Notînd aceste viteze cu v_{\max}^+ și respectiv cu v_{\max}^- , coordonatele punctului K și ale punctului L sînt : $(0, v_{\max}^+)$ și respectiv $(0, v_{\max}^-)$.

Dreptele KN și LN au următoarele ecuații:

$$y = x \operatorname{tg}\left(\frac{\tilde{\pi}}{2} + \tau\right) + v_{\max}^+$$

și

$$y = x \operatorname{tg}\left(\frac{\tilde{\pi}}{2} - \tau\right) + v_{\max}^- \quad (5.32)$$

Coordonatele punctului N sînt următoarele :

$$x_N = \frac{v_{\max}^- - v_{\max}^+}{\operatorname{tg}\left(\frac{\tilde{\pi}}{2} + \tau\right) - \operatorname{tg}\left(\frac{\tilde{\pi}}{2} - \tau\right)} \quad (5.33)$$

și

$$y_N = \frac{(v_{\max}^- - v_{\max}^+) \cdot \operatorname{tg}\left(\frac{\tilde{\pi}}{2} + \tau\right)}{\operatorname{tg}\left(\frac{\tilde{\pi}}{2} + \tau\right) - \operatorname{tg}\left(\frac{\tilde{\pi}}{2} - \tau\right)} + v_{\max}^+$$

Pentru oama cu axa plasată pe axa orizontală se determină abscisa punctului M :

$$x_M = - \frac{v_{\max}^-}{\operatorname{tg}\left(\frac{\tilde{\pi}}{2} - \tau\right)} = - \frac{v_{\max}^-}{\operatorname{tg} \delta} \quad (5.34)$$

Pentru a determina poziția axei camei centrice $e = 0$, se caută punctul P de intersecție a cercului de rază ℓ cu centrul în A, cu dreapta LM. Dacă unghiul de presiune impus δ_{\max} este sub o anumită limită, dreapta LM nu intersecționează cercul și deci nu avem o soluție pentru acest caz.

În cazul mecanismelor de perforare alegem punctul M ca și poziție a axului camei.

Raza cercului de rază se determină cu formula de mai jos :

$$r_b = x_M - \frac{h}{2} \quad (5.35)$$

Exemplu Se calculează r_b pentru oama cu lege de mișcare cosinusoidală pentru care viteza maximă are valoarea $v_{\max}^- = \tilde{\pi} h / 2 \cdot \varphi_2$. Cu relațiile de mai sus se calculează:

$$x_M = \frac{\tilde{\pi} \cdot h}{2 \cdot \varphi_2 \operatorname{tg} \delta} \quad \text{și} \quad r_b = \frac{h}{2} \left(\frac{\tilde{\pi}}{\varphi_2 \operatorname{tg} \delta} - 1 \right) \quad (5.36)$$

Considerînd $\delta = 45^\circ$ ca și o valoare recomandată pentru calcule orientative și $\varphi_2 = \tilde{\pi}/12$ mărimea unghiului fazei de coborîre, unghi corespunzător unei came ovaduple, came frecvent utilizate în mecanismele de perforare, rezultă :

$$r_b = 5,5 h \quad (5.37)$$

unde h este înălțimea maximă de ridicare a tachetului în timpul funcționării mecanismului.

6 Sinteza dinamică a mecanismului de perforare

6.1 Introducere

Pentru sinteza mecanismelor care lucrează la viteze mari, nu este suficientă aplicarea principiilor de sinteză cinematică, deoarece în acest caz nu se ține cont de modificările care intervin în funcționare, modificări datorate parametrilor dinamici ai mecanismului. Deformările elastice ale elementelor care compun sistemul mecanic, vibrațiile și șocurile sînt principalele fenomene care afectează dinamica mecanismului și de influența cărora trebuie să ținem cont în acțiunea de proiectare. O sinteză dinamică corespunzătoare trebuie să fie precedată de un studiu bine orientat asupra particularităților cinematice și dinamice ale mecanismului. Nu se poate omite în cadrul acestui studiu problema structurii mecanismului precum și soluțiile constructive adoptate.

Un instrument de studiu foarte eficient în acest sens îl constituie modelarea matematică a sistemului mecanic de studiat.

În funcție de numărul parametrilor aleși pentru modelarea mecanismului, modelul matematic are o complexitate diferită. Un model mai elementar poate avea în același timp o valabilitate mai generală și prezintă avantajul unei tratări matematice mai accesibile.

În foarte multe cazuri aceste modele dau rezultate satisfăcătoare, pentru unele situații însă ele prezintă un coeficient de modelare specifică foarte scăzut, ele nepermițînd scaterarea în evidență a unor fenomene cu implicație în buna funcționare a sistemului.

Așa cum s-a arătat în capitolul 3, pentru analiza și sinteza mecanismelor cu came se utilizează o gamă largă de modele matematice începînd cu modele cu un singur grad de libertate pînă la modele cu 16 grade de libertate. Desigur că abordarea matematică a unui model cu cît mai mulți parametri și implicit cu mai multe grade de libertate, este un deziderat firesc care are drept finalitate o apropiere cît mai intimă de realitatea fenomenologică a sistemului studiat. Dificultățile întîmpinate la rezolvarea lor ne impun renunțarea la anumiți parametri, pătrîndu-ne latitudinea de a alege pe aceia pe care îi considerăm drept cei mai reprezentativi pentru o descriere cît mai corectă a funcționării sistemului.

Pentru mecanismul cu came, considerat ca un sistem care furnizează la ieșire o funcție dorită, parametrii funcționali se vor

alege în concordanță cu ponderea pe care o are în realizarea cât mai corectă a funcției de ieșire solicitată.

În literatura de specialitate se apreciază că în general, mecanismele de tip camă-tachet sînt suficient de bine modelate cu ajutorul modelului cu un singur grad de libertate, concluzie care a fost verificată parțial și în practică.

6.2 Stabilirea modelului matematic al mecanismului

6.2.1. Analiza modelului matematic cu un grad de libertate

În vederea stabilirii unui model matematic adecvat, se prezintă în fig. 6.1 trei variante care se vor analiza din punct de vedere dinamic.

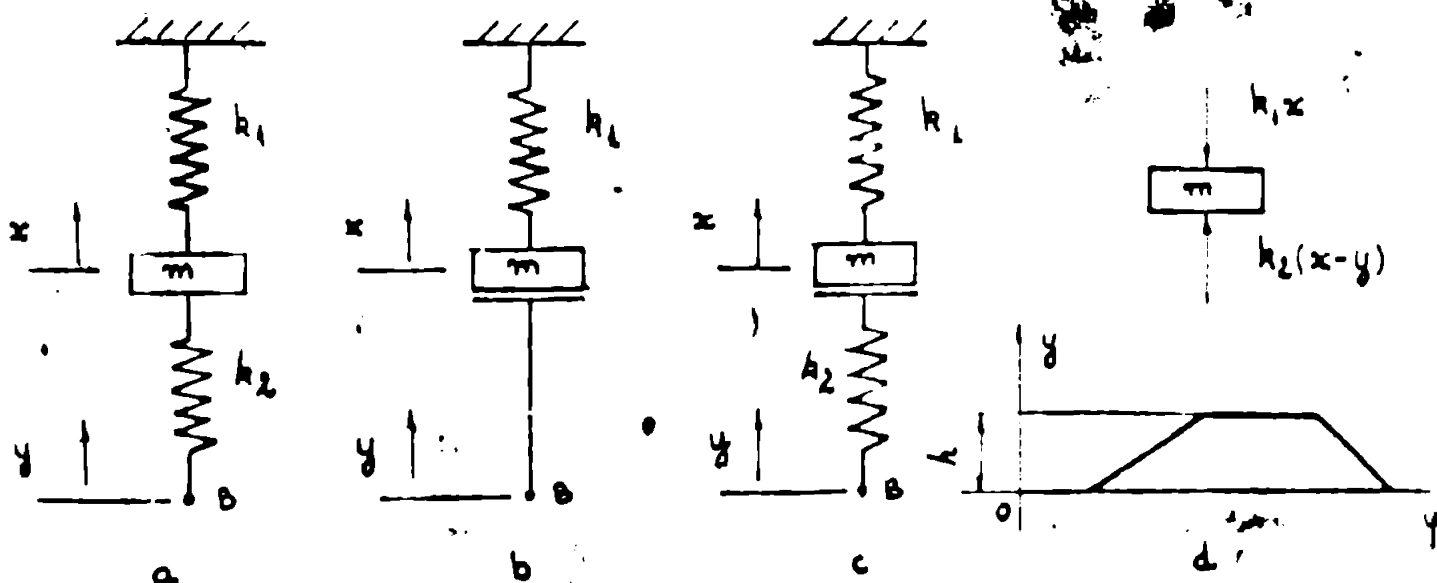


fig. 6.1

Se consideră că masa tachetului notată cu m , concentrează la nivelul acestuia masa întregului sistem. Constanta elastică a arcului care închide cupla superioară a mecanismului s-a notat cu k_1 . Punctul caracteristic B , este punctul de aplicare a funcției de intrare $y = y(\varphi)$, funcție materializată pe camă.

Pentru elaborarea modelelor din figură s-a pornit de la presupunerea că tachetul și cama au o rigiditate foarte mare iar k_2 reprezintă coeficientul de elasticitate al arborelui camei, așa cum se prezintă în fig. 6.2e. Deoarece forța care generează mișcarea

tachetului și implicit mișcarea oscilatorie, este o forță proporțională cu funcția de intrare $y = y(\varphi)$, ea se poate exprima sub forma $f = k \cdot y(t)$ unde k este factorul de proporționalitate.

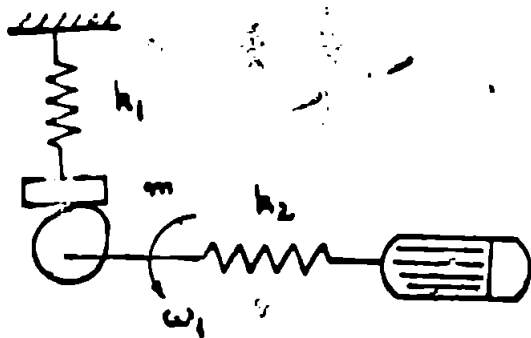


fig. 6.2

Această forță $f = f(t)$ este o forță periodică dar nearmonică și care îndeplinește condiția de a putea fi reprezentată prin serie Fourier, adică prin efectul simultan a unui număr teoretic infinit de armonice având frecvențe diferite. Dacă perioada funcției $f=f(t)$ are mărimea $T = 2\pi / \omega$, atunci forma generală a dezvoltării este următoarea:

$$x = a_0 + a_1 \sin(\omega t + \varphi_1) + a_2 \sin(2\omega t + \varphi_2) + \dots + a_k \sin(k\omega t + \varphi_k) + \dots = \sum_{k=0}^{\infty} a_k \sin(k\omega t + \varphi_k) \quad (6.1)$$

Această dezvoltare se poate pune și sub forma:

$$x = A_0 + A_1 \cos \omega t + A_2 \cos 2\omega t + \dots + A_k \cos k\omega t + \dots + B_1 \sin \omega t + B_2 \sin 2\omega t + \dots + B_k \sin k\omega t + \dots \quad (6.2)$$

și deci
$$x = \sum_{k=0}^{\infty} A_k \cos k\omega t + \sum_{k=1}^{\infty} B_k \sin k\omega t$$

unde
$$a_k = \sqrt{A_k^2 + B_k^2} \quad \text{și} \quad \operatorname{tg} \varphi_k = \frac{A_k}{B_k} \quad (6.3)$$

Deoarece în cazul mecanismelor cu came, funcția de intrare este cunoscută sub forma obținută în faza de sinteză cinematică, coeficienții A_k și B_k se pot determina pe cale analitică cu ajutorul formulelor:

$$A_k = \frac{2}{T} \int_0^T f(t) \cdot \cos k\omega t \, dt$$

$$B_k = \frac{2}{T} \int_0^T f(t) \cdot \sin k\omega t \, dt$$

$$A_0 = \frac{1}{T} \int_0^T f(t) \, dt$$

Dacă funcția de intrare este foarte apropiată de alura unei funcții armonice, se obține o aproximare corespunzătoare luându-se în considerare doar armonica fundamentală din seria Fourier.

Se poate deci aprecia că forța aplicată sistemului are o variație armonică de forma $F = F_0 \sin \omega t$ (6.5)

unde $F_0 = h \cdot k / 2$, iar deplasarea punctului caracteristic se face tot după o lege armonică de forma :

$$y = y_m \sin \omega t \quad (6.6)$$

Montarea mecanismului se face cu asigurarea unei forțe elastice de pretensionare notată cu F_0 .

În modelul din fig. 6.1ă, k_2 constanta elastică a arborelui camei este mult mai mare decât constanta k_1 a resortului.

Constanta elastică a celor două resorturi inseriate se calculează cu formula de mai jos :

$$k = (k_1 \cdot k_2) / (k_1 + k_2) \quad (6.7)$$

Deformarea totală la montare cu asigurarea forței de prestringere

F_0 se calculează cu următoarea relație : $f = F_0 / k$ (6.8)

Săgeata f se repartizează pe cele două astfel :

$$f = f_1 + f_2 \quad \text{unde} \quad f_1 = F_0 / k_1 \quad \text{și} \quad f_2 = F_0 / k_2$$

În aceeași proporție se repartizează și alte deplasări ale punctului caracteristic B sub acțiunea funcției de intrare $y = y(\varphi)$.

Presupunind că deplasarea y a punctului de intrare B este mai mare decât deplasarea x a tchetului, deci $y > x$ se poate scrie ecuația de mișcare sub forma :

$$m\ddot{x} = -k_1 x + k_2 (y - x)$$

$$\text{și} \quad \ddot{x} + \frac{k_1 + k_2}{m} x = \frac{k_2}{m} y \quad (6.9)$$

Dacă se notează pulsația proprie a sistemului cu $p^2 = (k_1 + k_2) / m$ atunci ecuația de mișcare devine :

$$\ddot{x} + p^2 x = \frac{k_2}{m} y \quad (6.10)$$

Ecuația de mai sus are o soluție generală de forma :

$$x' = A \cos pt + B \sin pt \quad (6.11)$$

Soluția generală a ecuației depinde de forma funcției de intrare. Pentru cazul în care funcția de intrare prezintă o zonă cu palier de viteză constantă și notăm cu φ_1 unghiul acestei zone și cu h înălțimea de ridicare corespunzătoare, atunci pentru această zonă se poate scrie relația :

$$y = \frac{h}{\varphi_1} \cdot \varphi = \frac{h}{\varphi_1} \omega t \quad \text{și în acest caz co-$$

soluția particulară

este :

$$x = \frac{k_2 y}{m p^2}$$

și deci soluția generală a ecuației

(6.10) este :

$$\ddot{x} = A \cos pt + B \sin pt + \frac{k_2 y}{mp^2} \quad (6.12)$$

Coefficientii A și B se calculează cu ajutorul condițiilor inițiale : pentru $t = 0$ $x = 0$ $\dot{x} = 0$

și pentru același moment $\dot{x} = 0$ și $B = -\frac{k_2 y}{mp^2}$

În acest caz soluția ecuației are forma de mai jos :

$$x = \frac{k_2}{mp^2} \left(y - \frac{\dot{y}}{p} \sin pt \right) \quad (6.13)$$

Dacă se neglijează frecarea cu aerul și frecarea în cuplele cinematice, ecuația de mișcare se poate scrie sub formă :

$$m \ddot{x} + k x = F_0 \sin \omega t$$

sau $\ddot{x} + p^2 x = q \sin \omega t \quad (6.14)$

unde am notat $q = F_0/m$

Soluția ecuației diferențiale are două componente :

$$x = x_1 + x_2$$

unde $x_1 = C_1 \sin pt + C_2 \cos pt$

și $x_2 = C \sin \omega t$

Dacă cama este simplă atunci pulsația funcției de intrare este egală cu viteza unghiulară a camii. Dacă cama este multiplă atunci

$\omega = \omega_c \cdot n$ unde ω_c este viteza unghiulară a camii iar n este factorul de multiplicare al camii.

Punând condiția ca x_2 să verifice ecuația 6.14 se determină valoarea constantei C și soluția devine :

$$x = C_1 \sin pt + C_2 \cos pt + \frac{q}{p^2 - \omega^2} \sin \omega t \quad (6.15)$$

În continuare prin derivarea soluției x și punind condițiile limită : $t = 0$, $x = 0$, $\dot{x} = 0$ se obține și valoarea constantelor

$$C_1 \text{ și } C_2 : C_1 = \frac{\omega}{p} \cdot \frac{q}{p^2 - \omega^2} \text{ iar } C_2 = 0$$

Ecuația mișcării rezultante este deci următoarea :

$$x = \frac{q}{p^2 - \omega^2} \left(\sin \omega t - \frac{\omega}{p} \sin pt \right) \quad (6.16)$$

Dacă ținem cont de semnificația lui q , ecuația de mai sus se poate scrie și sub forma :

$$x = \frac{F_0}{k} \cdot |A_0| \cdot \left(\sin \omega t - \frac{\omega}{p} \sin pt \right) \quad (6.17)$$

mişcarea rezultantă fiind o compunere a două mișcări armonice cu pulsații diferite $\omega \neq p$, este o mișcare periodică nearmonică. Ținând cont de faptul că ω este mic față de pulsația proprie p , această mișcare apare ca și o mișcare sinusoidală cu perioadă mare, periodică în corespunzătoare funcției de intrare, pe care este modulată o mișcare sinusoidală cu o perioadă mică corespunzătoare pulsației p .

Se dă mai jos valoarea factorului de amplificare $|A_0|$ ca și o funcție :

$$|A_0| = \frac{1}{1 - (\frac{\omega}{p})^2} \quad (6.18)$$

La carei variație se dă în literatura de specialitate / 10, 12, 51 / Analizând formula factorului de amplificare A_0 rezultă că valoarea lui în modul este cu atât mai mică cu cât raportul ω/p este mai mare. Considerând constantă valoarea vitezei unghiulare la arborii cunei, rezultă că o cale pentru mărirea acestui raport este micșorarea pulsației proprii a sistemului. Această micșorare se poate realiza pe două căi :

- prin micșorarea constantei elastice k ,
- prin mărirea masei tachetului.

Trebuie evidențiat faptul că din zona pulsațiilor care prezintă pericol de rezonanță se poate ieși și prin micșorarea raportului

ω/p , astfel încât la limită factorul de amplificare devine egal cu unitatea. Pentru $\omega = 0$, această scădere se obține prin mărirea pulsației proprii p . Din formula (6.16) a soluției generale a cărei grafic se prezintă

în fig. 6.3 rezultă următoarele valori pentru soluțiile parțiale:

$$x_1 = \frac{\omega}{p} \cdot \frac{q}{p^2 - \omega^2} \sin pt \quad (6.19)$$

$$x_2 = \frac{q}{p^2 - \omega^2} \sin \omega t$$

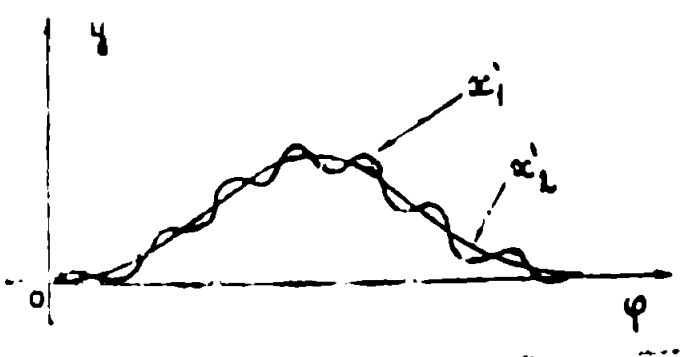
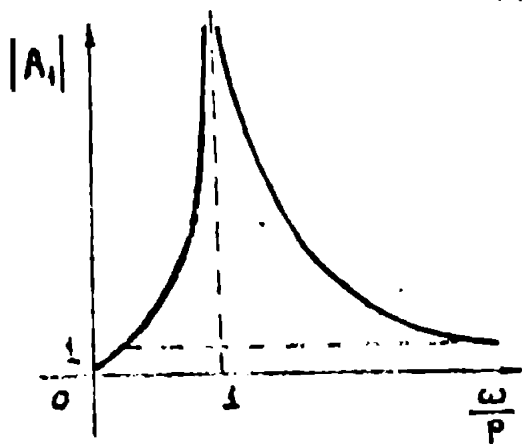


fig. 6.3

Se remarcă că dacă aproximăm funcția de intrare prin funcția sinusoidală x_2 , atunci funcția de

mişcare x se abate de la valorile impuse de x_2 tocmai prin pulsațiile sinusoidale reprezentate de soluția parțială

Pentru a micșora aceste erori este necesară micșorarea amplitudinii soluției x_1' . Dacă înlocuim pe $q = F_0/m$ și ținem cont de faptul că $p^2 = k/m$, obținem următoarea relație :



$$x_1' = \frac{F_0}{k} \frac{\frac{\omega}{p}}{1 - (\frac{\omega}{p})^2} \sin pt \quad (6.20)$$

unde notăm factorul de amplificare :

$$|A_1| = \frac{\frac{\omega}{p}}{1 - (\frac{\omega}{p})^2}$$

și deci $x_1' = \frac{F_0}{k} |A_1| \sin pt \quad (6.21)$

fig. 6.4

In fig. 6.4 s-a prezentat variația factorului de amplificare $|A_1|$ funcție de raportul pulsațiilor ω/p .

- Se remarcă că : $|A_1| = 0$ pentru $\omega = 0$
- $|A_1| \rightarrow \infty$ pentru $\omega = p$
- $|A_1| \rightarrow 1$ pentru $\omega/p \rightarrow \infty$

Deci pentru a micșora valoarea absolută a factorului $|A_1|$ care amplifică deformația statică $x_{st} = F_0/k$, trebuie să procedăm ca și în cazul soluției generale x .

Modalitatea cea mai adecvată în acest scop este mărirea rigidității sistemului, deci mărirea valorii pulsației p .

Tot în acest sens trebuie procedat și în vederea reducerii erorii statice care apare ca și o diferență între funcțiile y și x ca urmare a deformării **arcului** 2.

Eroarea este datorată atât forței elastice de prețințare F_0 , prin componenta f_2 a săgeții f determinată cu formula 6.3, cât și datorită deplasării punctului caracteristic B ca urmare a aplicării funcției de intrare y .

In fig. 6.5 se pune în evidență eroarea statică de poziție ξ notată cu ξ :

$$\xi = y - x \quad \text{și} \quad y = F/k \quad \text{unde} \quad k = \frac{k_1 \cdot k_2}{k_1 + k_2}$$

dar $x = F/k_1$ și $\xi = F/k - F/k_1 = y - \frac{k_1}{k_1 + k_2} y$

Este evident că pentru a micșora eroarea de poziție este necesar ca

în primul rând să se mărească rigiditatea arcului 2. Mărind valoarea constantei elastice k_2 mărim într-o oarecare măsură și rigiditatea totală a sistemului și deci obținem o reducere corespunzătoare a factorilor de amplificare A_0 și A_1 .

În conformitate cu modelul matematic din fig. 6.1a rezultă că îmbunătățirea dinamică a mecanismului

se obține prin mărirea generală a rigidității elementelor componente și în special a rigidității camii și a arborelui camii. Aplicând aceste concluzii se ajunge la un model rigid de tipul celui prezentat în fig. 6.1b.

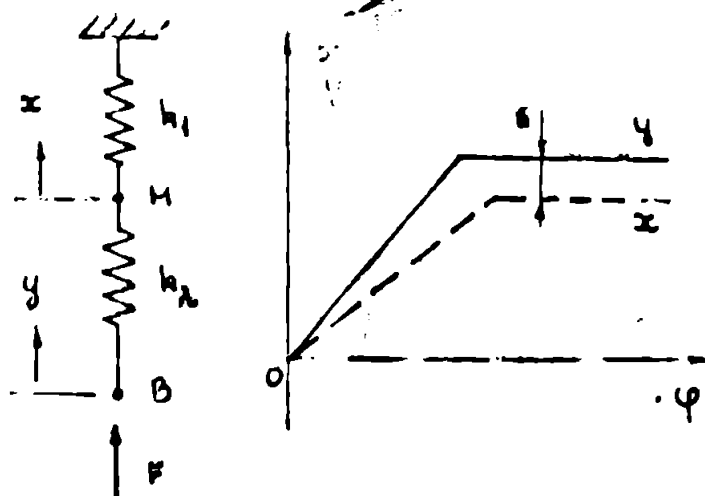


fig. 6.5

6.2.2 Modelul matematic rigid

Rigidizarea sistemului mecanic și în special a părților pe care le reprezintă arcul k_2 are o serie de efecte favorabile asupra caracteristicilor dinamice atunci când nu se ține cont de posibilitatea desprinderii contactului cuplei cinematice superioare camă-tachet. Acest fenomen este cu atât mai evident și deci trebuie luat în considerare, cu atât constanta elastică k_2 are valoarea mai mare. La montarea mecanismului cu asigurarea unei forțe de preținere corespunzătoare se realizează poziții de echilibru care se pot considera ca și poziții de echilibru static pentru palierul inferior și palierul superior al funcției de intrare.

Pentru zonele de racord a palierelor, pozițiile de echilibru static și forțele elastice corespunzătoare lor se obțin ușor ca funcție de intrare y .

Oscilațiile punctului M (fig. 6.5) în jurul acestei poziții de echilibru, după legea sinusoidală dată de formula 6.19 presupun asigurarea unui contact permanent între tachet și camă.

Deoarece cele două arcuri au constante elastice diferite și

$$k_2 \gg k_1, \text{ săgețile statice diferă iar } dx_1 \gg dx_2.$$

Deci pentru a realiza linia de echilibru $O\varphi$, așa cum se vede în fig. 6.6, arcul k_2 se deformează în jos cu dx_2 iar

arcul k_1 se deformează prin strângere în sus cu săgeata dx_1 . Înalt săgeata deformației totale la momentul respectiv se determină prin însumarea celor două deformații :

$$f = dx_1 + dx_2 \quad (6.23)$$

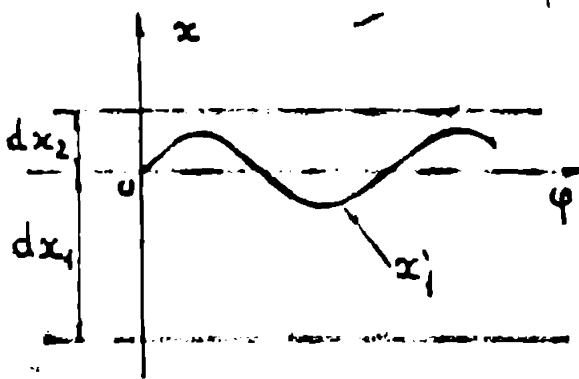


fig. 6.6

Pe de altă parte această deformație este realizată prin însumarea a două deplasări distincte :

- a) săgeata de pretensionare la montarea mecanismului ,
- b) săgeata rezultată prin modificarea poziției punctului B ,

Pentru a evita apariția desprinderilor contactului camă - tachimot este necesar ca amplitudinea oscilațiilor

soluției x_1 să fie mai mică decât cea mai mică deformare dx , în cazul nostru mai mică decât dx_2 .

Dacă notăm cu y_0 săgeata de pretensionare la montare și cu y înălțimea curentă a funcției de intrare, atunci deformația arcului 2 se poate calcula cu formula :

$$dx_2 = \frac{k_1}{k_1 + k_2} (y_0 + y) \quad (6.24)$$

Combinând amplitudinea oscilațiilor soluției x_1 din formula 6.19 putem stabili condițiile care se impun pentru evitarea desprinderilor :

$$\frac{F_0}{k} |A_1| \leq \frac{k_1}{k_1 + k_2} (-y_0 + y) \quad (6.25)$$

și rezultă că :

$$|A_1| \leq \frac{k_1^2 k_2}{(k_1 + k_2)^2} \cdot \frac{y_0 + y}{F_0} \quad (6.26)$$

Condiția cea mai defavorabilă este pentru valoarea $y = 0$ și :

$$|A_1| \leq \frac{2k_1}{k_1 + k_2} \cdot \frac{y_0}{h} \quad (6.27)$$

deoarece $F_0 = hk/2$.

Cu ajutorul relației 6.27 s-a impus deci condiția necesară pentru evitarea desprinderilor cuplei superioare a mecanismului, desprinderi care ar putea apărea datorită oscilațiilor induse în sistem în timpul funcționării.

Menționăm că această condiție completează condiția cinematică impusă.

la sinteza funcției de intrare, de minimizare a zonei de funcționare cu accelerații negative și a amplitudinilor acestor accelerații. La sinteza mecanismelor se va asigura în prima fază eliminarea desprinderilor datorate acestor accelerații. În continuare, cunoscând parametrii caracteristici $m, k_1, k_2, \omega, p, y_0$ și h se verifică cu relația 6.27 dacă amplitudinea oscilațiilor se încadrează în limitele stabilite.

Având precizate aceste elemente se poate analiza modelul matematic rigid din fig. 6.1b.

Pentru a ilustra mărirea constantei elastice k_2 , arcuț a fost înlocuit cu o bară, care este în contact cu masa concentrată a tachetului, fără a fi însă legată de acesta și astfel se modelează posibilitatea desprinderii tachetului de camă, desprindere care nu se putea pune în evidență la modelul din fig. 6.1 a.

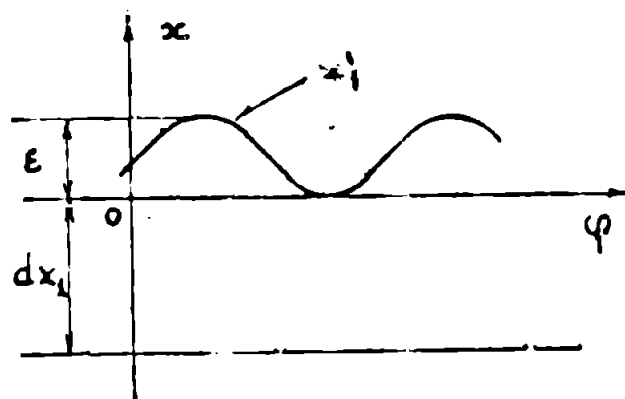


fig. 6.7

Este evident că rigidizarea camei și a arborelui camei peste anumite limite duce la micșorarea deformărilor statice dx_2 și în ultimă instanță la anularea ei, situație în care oscilațiile x_1' se desfășoară în exclusivitate în partea superioară a liniei $O\varphi$ așa cum se vede și în fig. 6.7. Aceasta înseamnă că funcția de ieșire are față de funcția de intrare o abatere maximă egală cu dublul amplitudinii oscilației x_1'

și deci eroarea este :

$$\varepsilon = 2 \frac{y_0}{k} |A_1| \quad (6.28)$$

În această situație extremă toate oscilațiile tachetului se traduc în abateri ale funcției de ieșire.

Este evident deci că rigidizarea sistemului și implicit a modelului în partea inferioară este dezavantajoasă din punct de vedere al oscilațiilor, deoarece acestea nu se mai pot desfășura în jurul poziției de echilibru static și se produc inevitabil discontinuități în lanțul cinematic al sistemului.

Această concluzie impune ca sistemul să fie prevăzut cu o constantă elastică k_2 a cărei valoare să fie limitată superior, astfel încât să se asigure un ecart corespunzător desfășurării oscilațiilor x_1' , așa cum se arată în fig. 6.6.

Acest deziderat se impune a fi realizat deoarece deformările elastice pot fi cunoscute, compensate și deci controlate,

în timp de abaterile funcției de ieșire ca urmare a unor desprinderi, sînt mai greu de cunoscut și de controlat.

Aceste concluzii elimină din discuție modelul matematic parțial rigid și soluția constructivă corespunzătoare lui și impun un model dublu elastic cu rigiditatea proiectată corespunzător.

6.2.3 Modelul matematic necoroborant, cu elasticitatea echilibrată

Din cele expuse în paragraful precedent rezultă că mecanismul cu arc - tachet și implicit modelul matematic care îl descrie, trebuie realizat în condițiile respectării anumitor proporții între elementele elastice dispuse de o parte și alta a masei concentrate la nivelul tachetului. Caracteristicile elastice ale sistemului trebuie luate corelate și cu viteza de lucru impusă.

În cazul unei proiectări elastice necorespunzătoare pot apărea următoarele situații :

a) rigidizarea puternică a sistemului și în acest caz scade randamentul mecanismului prin apariția unor forțe mari în cuple, forțe care duc la uzura rapidă a elementelor constructive și la creșterea greutateii și a gabariturii mecanismului;

b) o rigidizare parțială excesivă duce, așa cum s-a arătat anterior, la manifestarea puternică a oscilațiilor în sistem și cu desprinderi care afectează precizia funcției de ieșire;

c) o elasticitate mare a sistemului este o situație în care apar abateri de deformare mari, abateri ce sînt însoțite de defazaje între funcțiile de intrare și ieșire.

Modelul matematic cu elasticitatea echilibrată, secționat între arcul 2 și masa concentrată m , așa cum se prezintă în fig. 6.1 c, este un model care ne permite urmărirea fenomenelor prezentate anterior.

Secțiunea efectuată în model simulează cupla superioară la nivelul căreia se pot produce abateri ale funcției de ieșire, abateri care nu pot fi controlate și corectate în mod corespunzător.

În măsura în care forțele de inerție din sistem nu depășesc a-

numite limite, acest model se comporta identic cu modelul din fig. 6.1 a. La depășirea unor parametri cinematici sau dinamici, parametrii care trebuiesc cunoscuți și impuși, apar desprinderile dintre masa m și partea superioară a arcului k_2 .

În capitolul II al lucrării, referitor la sinteza mecanismului cu cama se prezintă un procedeu de sinteză elastică a mecanismului, cu compensarea erorilor datorate deformărilor elastice, după ce în prealabil s-a verificat dacă la viteza de lucru proiectată nu apar desprinderi ale cuplei superioare, desprinderi datorate atât forțelor centrifuge cât și oscilațiilor din sistem.

Verificarea pentru desprinderea cuplei sub influența oscilațiilor se face introducând datele necesare pentru a verifica inegalitatea din formula 6.27, deci:

$$\left| \frac{\frac{\omega}{p}}{1 - \left(\frac{\omega}{p}\right)^2} \right| \leq \frac{pk_1}{k_1 + k_p} \cdot \frac{y_0}{h} \quad (6.29)$$

Dacă relația nu se verifică se impune modificarea constantelor elastice k_1 și k_2 . Cu aceste modificări, sau modificând masa concentrată la nivelul tchetului se modifică și pulsația proprie p .

Pentru a nu fi obligați să reproiectăm mecanismul din această cauză, este mai indicat ca verificarea la desprinderi datorate oscilațiilor să se facă în prealabil prin evaluarea parametrilor k_1 , k_2 și m ai modelului elastic, viteza unghiulară ω fiind cunoscută din datele inițiale de proiectare.

Dacă în etapele ulterioare de sinteză rezultă necesitatea unei prestrângeri mai mari decât valoarea inițială y_0 , această mărire va avea un efect benefic față de situația precedentă.

Se remarcă că prin condiția impusă și descrisă de formula 6.29 se acceptă posibilități largi de ajustare a mecanismului în vederea optimizării funcționării lui. În continuare se ridică problema găsirii unor procedee matematice de investigare a sistemului care să permită obținerea rapidă a unor rezultate corecte și edificatoare. Rezultatele studiului mecanismului vor permite luarea măsurilor celor mai corespunzătoare astfel încât amplitudinea oscilațiilor să se încadreze în niște limite acceptabile prestabilite.

Remarcăm din acest punct de vedere metoda planului fazelor, metodă care se pretează la studierea în general a funcției de răspuns a unui sistem care are la o funcție de intrare. În continuare se face o prezentare sumară a metodei și se elaborează un procedeu analitic de utilizare.

6.3 Analiza dinamică a mecanismului cu ajutorul unui procedeu analitic a metodei planului fazelor

6.3.1 Prezentarea metodei

În cele mai multe cazuri întâlnite în tehnică, funcția de intrare nu poate fi aproximată în mod corespunzător cu ajutorul primei armonice din seria dezvoltării Fourier, deci integrarea ecuației de mișcare (6.2) prin procedeul prezentat la paragraful precedent, nu mai este posibilă.

O variantă convenabilă de integrare în acest caz este metoda planului fazelor, care în lucrările de specialitate / 97 / este prezentată sub o formă grafică - analitică. Metoda are la bază două elemente :

- a) funcția de răspuns a unui sistem mecanic oscilant la semnale de tip treaptă,
- b) segmentarea funcției de intrare reală într-o succesiune de semnale treaptă care să o aproximeze cât mai convenabil.

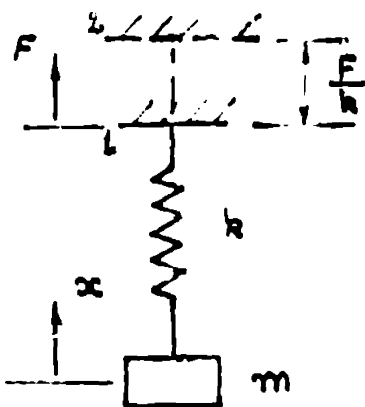


fig. 6.3

Dacă unui sistem mecanic oscilant cu un singur grad de libertate i se aplică o forță constantă F , care modifică instantaneu poziția suportului sistemului de la 1 la 2 așa cum se vede în fig. 6.3 și provoacă o deformație statică egală cu $a = F/k$, atunci ecuația de mișcare a sistemului, când se neglijează pierderile de energie prin frecare, are forma de mai jos :

$$m \ddot{x} + k x = F \quad (6.30)$$

Soluția ecuației are următoarea formă :

$$x = A \cos pt + B \sin pt + \frac{F}{k} \quad (6.31)$$

Mișcarea denumită de această ecuație este o mișcare armonică care se desfășoară în jurul unei poziții de echilibru O_1 , fig. 6.3, poziție deplasată față de poziția inițială cu deformație statică $a = F/k$, deformație care este egală cu jumătate din amplitudinea

maximă a amplitudinii de oscilație. Această mișcare se poate reprezenta prin proiecția pe axa verticală a unui vector rotitor $O_1A = F/k$, vector care se rotește cu viteza unghiulară p . Pentru o poziție dată, amplitudinea x_A a mișcării se determină cu formula :

$$x_A = \frac{F}{k} (1 - \cos pt_A)$$

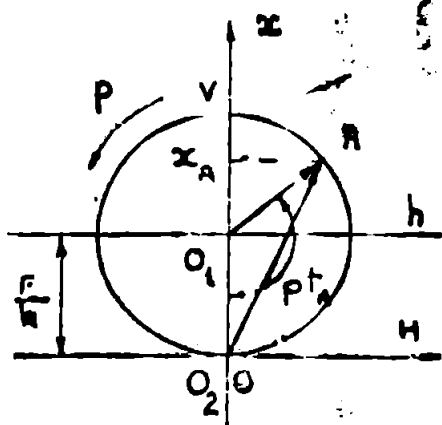


fig. 6.9

După consumarea timpului aferent acestei prime faze a mișcării, în faza următoare intervine o nouă modificare instantanee a valorii forței F . În acest moment de debut a fazei doi se pot distinge următoarele situații, care au o influență directă asupra modului de calcul a noilor constante din soluția ecuației de mișcare 6.31 :

- a) - forța F înregistrează un salt carecaredare pozitiv,
- forța F înregistrează un salt carecaredare negativ,
- forța F se anulează
- b) - vectorul rotitor se găsește în poziția O_1O
- vectorul rotitor are poziția O_1V ,
- vectorul rotitor are o poziție carecaredare O_1A

Prin combinarea variantelor a și b rezultă 9 situații distincte care duc la tot atâtea posibilități de continuare a mișcării.

Pentru cazul cînd forța se anulează într-o poziție carecaredare a vectorului rotitor, ecuația de mișcare devine :

$$m\ddot{x} + kx = 0$$

iar soluția sa este: $x = A \cos pt' + B \sin pt'$ (6.32)

Dacă se consideră momentul $t = t'$ ca și moment de sfîrșit a fazei unu și în același timp de debut a fazei doi, atunci $t' = t - t_1$. Deplasarea și viteza finală a fazei unu sînt condițiile inițiale pentru faza doi și deci pentru: $t' = 0$, $x = x_1$ și $\dot{x} = \dot{x}_1$,

unde: $x_1 = \frac{F}{k} (1 - \cos pt_1)$ și $\dot{x}_1 = \frac{F}{k} p \sin pt_1$.

Pentru aceste condiții inițiale constantele A și B au următoarele valori: $A = x_1$ și $B = \frac{\dot{x}_1}{p}$, iar ecuația de mișcare are

următoarea formă :

$$x = x_1 \cos pt' + \frac{\dot{x}_1}{p} \sin pt' \quad (6.33)$$

Această mișcare este compusă din două mișcări armonice care au aceeași pulsație și deci și ea este tot o mișcare armonică care se poate prezenta în următoarea formă trigonometrică:

$$x = \sqrt{x_1^2 + \left(\frac{\dot{x}_1}{p}\right)^2} \cdot \cos (pt' - \theta) \quad (6.34)$$

Unghiul de fază pentru noua mișcare este dat de formula :

$$\theta = \arctg \frac{\dot{x}_1}{p \cdot x_1} \quad (6.35)$$

Se presupune că prima fază de mișcare se încheie în poziția O_1A atunci din formula 6.34 rezultă că noua amplitudine a mișcării de oscilație care se va desfășura în faza doua este egală cu segmentul O_2A . Oscilațiile fazei a doua au loc în jurul poziției inițiale de echilibru O_2 .

Pentru alte valori ale forței F , poziția de echilibru static se mută corespunzător noului raport F/k , dar ecuația de mișcare 6.34 rămâne valabilă.

Vectorul O_2A își continuă mișcarea cu viteza unghiulară p până la consumarea intervalului de timp corespunzător acestei faze.

La o nouă modificare a forței F poziția de echilibru se mută și ea și se recalculează noile condiții inițiale.

În cazul rezolvării grafice a problemei se elimină necesitatea calculării condițiilor inițiale a valorilor amplitudinii și a unghiului de fază, deoarece este de remarcat că noul vector rotitor se găsește unind noua poziție de echilibru static cu ultima poziție a vîrfului vectorului rotitor precedent.

Desfășurate în timp, rotirile acestei succesiuni de vectori ne permit trasarea funcției de răspuns a sistemului oscilant la o funcție de intrare oarecare.

Aplicarea metodei la determinarea funcției de ieșire a unui mecanism camă - tachet, presupune următoarele operațiuni:

- 1) construirea grafică a diagramei de intrare,
- 2) calcularea pulsațiilor proprii a sistemului,
- 3) determinarea mărimei pasului de integrare folosit, pentru care se calculează raportul $b = p/\omega$, unde ω este viteza unghiulară la arborele camii.

Deci pentru o rotire a camii cu unghiul $\Delta\varphi$, vectorul vibrației proprii se va roti cu unghiul $\Delta\theta = b \Delta\varphi$

- 4) se împarte diagrama funcției de intrare într-o succesiune de funcții de intrare de tip treaptă,
- 5) se trasează diagrama funcției de ieșire, așa numita diagramă a planului fazelor.

În mod inerent, datorită procedurii grafic de lucru, diagrama funcției de ieșire va fi afectată de erorile caracteristice metodei.

În cele ce urmează se elaborează un procedeu analitic al acestei metode, care prin găsirea unor formule de recurență generale, permite rezolvarea problemei cu ajutorul calculatorului numeric și îmbunătățește astfel precizia metodei.

Scopul final al trasării diagramei de ieșire este, ca și în paragraful precedent, stabilirea unor parametri constructivi sau funcționali astfel încât în regim dinamic să se asigure continuitatea mecanică a sistemului.

0.3.2 Aplicarea procedurii analitice al metodei planului fazelor

Se lucrează în continuare cu modelul matematic al mecanismului prezentat în fig. 0.1.0. Acest model se încadrează în două sisteme de axe de coordonate (fig. 0.10): sistemul box în care reprezentăm mișcarea punctului caracteristic M de pe masa concentrată a tachetului și sistemul boy în care reprezentăm mișcarea punctului caracteristic B. În fig. 0.10b s-a trasat la o scară convenabilă funcția de intrare $y = y(\varphi)$, funcție care comandă mișcarea pe verticală a punctului B. Această funcție s-a împărțit într-o serie de funcții treaptă având valorile y_1, y_2, \dots, y_n , care au durată în timp dată de intervalele $\Delta t_1, \Delta t_2, \dots, \Delta t_n$. Mărimea intervalelor de timp Δt_1 și a valorilor y_1 se aleg astfel încât funcțiile treaptă să aproximeze cât mai fidel funcția de intrare

Montarea mecanismului se face cu asigurarea unei forțe de presiune care produce o săgeată notată cu y_n . Considerăm că la un moment t_0 punctul caracteristic B este deplasat instantaneu în poziția B_1 ca urmare a aplicării treptei de mișcare $y = y_1$ din prima fază a succesiunii acestora.

Așa cum s-a arătat anterior, deplasarea totală a punctului B este egală cu;

$$y_1' = y_B + y_1$$

iar forța necesară pentru a produce această deplasare este egală cu $F_1 = y_1' k$.

Ca urmare a acestui salt punctul M își modifică și el poziția și se deplasează față de poziția inițială la cota x_1 :

$$x_1 = \frac{F_1}{k_1} = \frac{y_1' \cdot k}{k_1} = y_1' \frac{k_2}{k_1 + k_2} = y_1' K_1 \quad (6.36)$$

unde cu K_1 s-a notat raportul: $K_1 = k_2 / (k_1 + k_2)$

Poziția x_1 este deci noua poziție de echilibru față de care începe să se desfășoare o mișcare pulsatorie cu amplitudinea $x_1 O$, amplitudine notată cu a_1 . Segmentul $x_1 O$ s-a reprezentat la o scară convenabilă în planul fazelor din fig. 6.10.0 prin segmentul de dreaptă OO_1 și deci $OO_1 = O x_1 = a_1$.

Oscilațiile în jurul poziției O_1 au loc după legea de mișcare descrisă de următoarea ecuație:

$$x = a_1 (1 - \cos pt) \quad 0 \leq t \leq t_1$$

Până la sfârșitul primei faze de mișcare, vectorul rotitor $OO_1 = O_1 M$ parcurge arcul OM_1 cu deschiderea $\Delta \theta_1 = pt_1$. La terminarea fazei, poziția punctului M este următoarea:

$$OE_1 = x_1 = a_1 (1 - \cos \Delta \theta_1) \quad (6.37)$$

Acest moment constituie și momentul de debut pentru faza a doua a mișcării când se aplică o nouă deplasare $y = y_2$ și punctul de echilibru ocupă o nouă poziție statică astfel încît:

$$y_2' = y_B + y_2 \quad \text{și} \quad x_2 = OO_2 = y_2' K_1$$

După cum s-a arătat și în paragraful precedent, din acest moment legea de mișcare se schimbă deoarece se schimbă atât amplitudinea cât și faza mișcării de oscilație.

Pentru a afla amplitudinea mișcării apelăm la triunghiul $O_2 M_1 E_1$, de unde determinăm:

$$a_2 = O_2 M_1 = (E_1 M_1^2 + E_1 O_2^2)^{0,5}$$

$$\text{și} \quad E_1 M_1 = O_1 M_1 \sin \Delta \theta_1 = a_1 \sin \Delta \theta_1$$

$$E_1 O_2 = OO_2 - OE_1$$

$$E_1 O_2 = y_2' K_1 - x_1 \quad \text{și deci amplitudinea oscilației este:}$$

$$a_2 = ((a_1 \sin \Delta \theta_1)^2 + (y_2' K_1 - x_1)^2)^{0,5} \quad (6.38)$$

Defazajul mișcării se calculează cu formula de mai jos:

$$\theta_2 = \operatorname{arctg} \frac{E_1 M_1}{E_1 O_2} = \operatorname{arctg} \frac{a_1 \sin \Delta \theta_1}{y_2' k_1 - x_1} \quad (6.39)$$

Legea după care mișcarea se desfășoară în faza a doua este descrisă de următoarea ecuație:

$$x = y_2' k_1 + a_2 \cos (pt + \theta_2) \quad 0 < t \leq t_2$$

Cu această formulă putem calcula poziția punctului M la sfârșitul fazei a doua când $t = t_2$:

$$x_2 = OE_2 = y_2' k_1 + a_2 \cos (pt_2 + \theta_2) \quad (6.40)$$

Din acest moment începe faza a treia a mișcării când funcția de intrare devine egală cu $y = y_3$ și deci: $y_3' = y_2 + y_3$. Punctul M ia o nouă poziție de echilibru static și oscilațiile acestei faze se desfășoară în jurul poziției O_3 . Amplitudinea mișcării se notează cu $a_3 = O_3 M_2$. Deplasarea centrului de rotație al vectorului mișcării are mărimea:

$OO_3 = y_3' k_1$ și din triunghiul $O_3 E_2 M_2$ determinăm:

$$a_3 = (E_2 M_2^2 + E_2 O_3^2)^{0,5}$$

unde $E_2 M_2 = a_2 \sin (\theta_2 + \Delta \theta_2)$

$$\Delta \theta_2 = pt_2$$

$$E_2 O_3 = y_3' k_1 - x_2$$

$$a_3 = ((a_2 \sin (\theta_2 + \Delta \theta_2))^2 + (y_3' k_1 - x_2)^2)^{0,5} \quad (6.41)$$

Unghiul pentru faza acestei mișcări se calculează cu formula:

$$\theta_3 = \operatorname{arctg} \frac{E_2 M_2}{E_2 O_3} = \operatorname{arctg} \frac{a_2 \sin (\theta_2 + \Delta \theta_2)}{y_3' k_1 - x_2} \quad (6.42)$$

Ecuația de mișcare în această fază este următoarea:

$$x = y_3' k_1 + a_3 \cos (pt + \theta_3) \quad (6.43)$$

Mișcarea după această lege se desfășoară pe intervalul de timp $0 < t \leq t_3$:

La sfârșitul acestui interval când $t = t_3$ amplitudinea mișcării este următoarea:

$$x_3 = OE_3 = y_3' k_1 + a_3 \cos (\Delta \theta_3 + \theta_3) \quad (6.44)$$

unde $\Delta \theta_3 = \dots pt_3$. Se determină astfel condițiile inițiale pentru următoarea fază a mișcării.

Cu ajutorul formulelor stabilite pentru primele trei faze ale mișcării se pot determina în continuare formulele de recurență pentru studiarea analitică a mișcării în planul fazelor.

Datele necesare pentru inițierea calculelor sînt următoarele:

- m masa concentrată a sistemului
- k_1, k_2 constantele elastice ale elementelor
- y_s săgeata de prestrîngere
- y_1 valorile pentru divizarea funcției de intrare
- t_1 intervalul de timp pentru fiecare valoare
- $\Delta \theta_1 = pt_1$ unghiul de rotire al vectorului oscilației pentru fiecare interval
- $\theta_0 = \theta_1 = 0$ defazajele inițiale nule.

Pentru fiecare interval de timp t_1 se calculează :

- deplasarea totală a punctului caracteristic

$$y_1^i = y_s + y_1 \quad (6.45)$$

- amplitudinea oscilației

$$a_1 = ((a_{1-1} \sin(\Delta \theta_{1-1} + \theta_{1-1}))^2 + (y_1^i k_1 - x_{1-1})^2)^{0,5} \quad (6.46)$$

- unghiul de defazaj al mișcării

$$\theta_1 = \text{arctg} \frac{a_{1-1} \sin(\Delta \theta_{1-1} + \theta_{1-1})}{y_1^i k_1 - x_{1-1}} \quad (6.47)$$

- funcția de mișcare pentru faza respectivă

$$x = y_1^i k_1 + a_1 \cos(pt + \theta_1) \quad \text{pt. } 0 < t \leq t_1 \quad (6.48)$$

- amplitudinea mișcării la sfîrșitul fiecărei faze

$$x_1 = y_1^i k_1 + a_1 \cos(pt_1 + \theta_1) \quad (6.49)$$

Cu ajutorul formulei 6.48 se pot calcula și alte valori pentru poziția punctului M de pe traseul $OM_1M_2M_3 \dots$ din planul fazelor fig. 6.10c. Pentru fiecare din valorile x_1 calculate se determină, din funcția de intrare, valoarea y_1 corespunzătoare, și se calculează eroarea:

$$e_1 = x_1 - y_1 \quad (6.50)$$

În continuare pentru valorile pozitive ale acestor erori, se determină dacă acestea sînt mai mici decît săgeata f_1 a arcului 1 . Am stabilit că pentru fiecare moment al mișcării, forța de închidere statică este :

$$F_1 = y_1' \cdot k$$

și deci săgeata arcului doi se calculează cu formula :

$$f_1 = \frac{F_1}{k_2} = \frac{y_1' \cdot k}{k_2} = y_1' \cdot \frac{k_1}{k_1 + k_2} = y_1' \cdot K_2 \quad (6.51)$$

unde s-a notat
$$K_2 = \frac{k_1}{k_1 + k_2}$$

Pentru a evita desprinderea cuplei superioare în timpul funcționării mecanismului este deci necesar să se îndeplinească următoarea condiție :

$$e_1 \leq y_1' \cdot K_2 \quad (6.52)$$

Relația de mai sus se va verifica pentru cît mai multe poziții de mișcare și în special pentru zonele de mișcare cu accelerații negative ale funcției de intrare, unde acest fenomen se manifestă cu o probabilitate crescută.

Dacă prin verificarea relației se relevă posibilitatea apariției unor desprinderi, atunci se vor lua măsuri de reluarea sintezei mecanismului, inclusiv modificarea funcției de intrare, dacă acest lucru se dovedește a fi necesar.

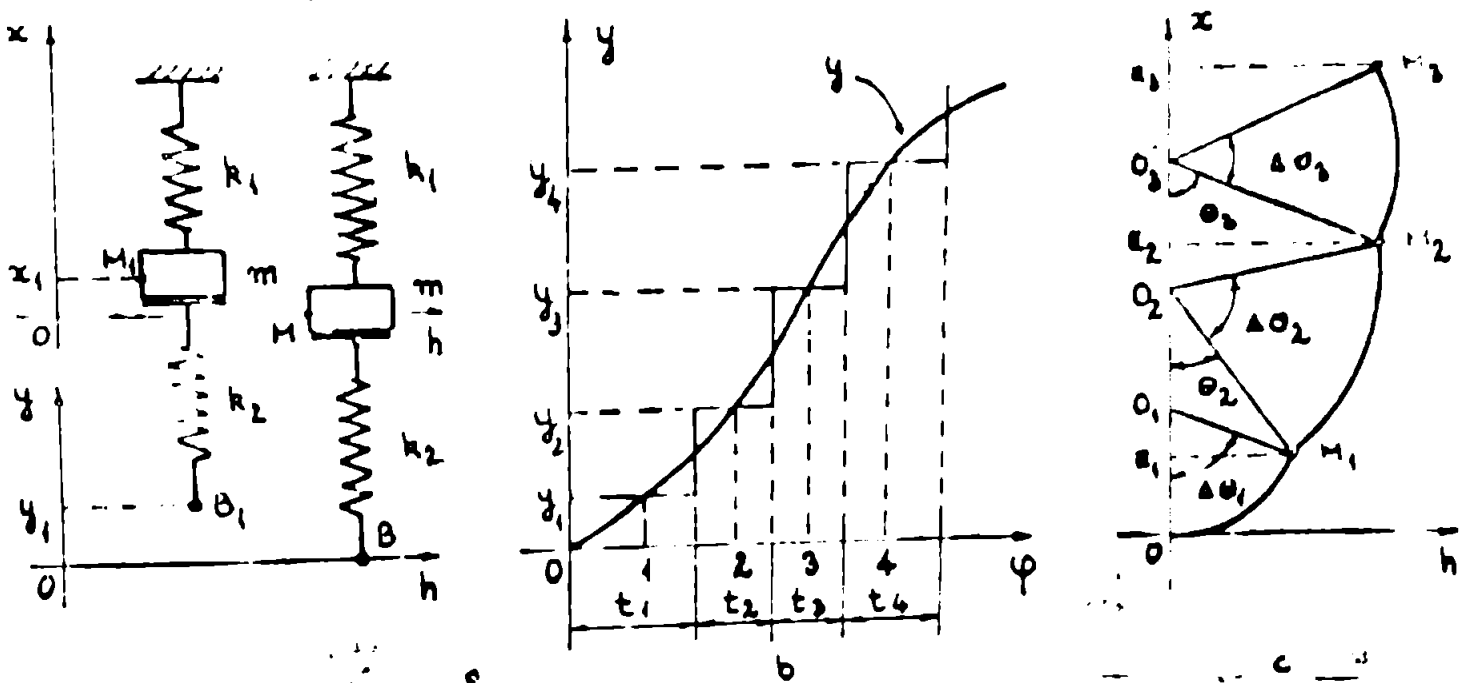


fig. 6.10

6.4 Sinteza dinamică a mișcării prin metoda
diferențelor finite

6.4.1 Integrarea numerică a ecuației diferențiale a mișcării

Ecuația de mișcare a unui sistem mecanic oscilant care are o forță perturbatoare elastică de forma $F = k y$, se poate scrie sub forma de mai jos :

$$m \ddot{x} + k x = k y \quad (6.53)$$

de unde prin regrouparea termenilor se obține :

$$m \ddot{x} = k (y - x) \quad (6.54)$$

Pentru integrarea acestei ecuații se poate apela la metoda diferențelor finite, metodă care în literatura de specialitate [97] se întâlnește și sub denumirea de metoda lui Johnson.

Integrarea ecuației se poate face în două scopuri :

- a) integrarea în vederea obținerii legii de mișcare de la intrare, deci sinteza profilului campei ,
- b) integrarea pentru a afla funcția de răspuns a sistemului pentru o funcție de intrare oarecare.

Pentru integrare se consideră trei puncte succesive 0, 1, și 2 din diagrama funcției $y = y(t)$, puncte egal distanțate pe axa orizontală Ot, așa cum se vede în fig. 6.11. Pe curba $y(t)$ se iau punctele a și b la mijlocul intervalelor 0 - 1 și 1 - 2.

Dacă intervalele de timp dt sunt suficiente de mici, atunci derivata funcției y în punctul 1 se poate exprima sub forma :

$$\dot{y}_1 = \frac{y_2 - y_0}{2dt} \quad (6.55)$$

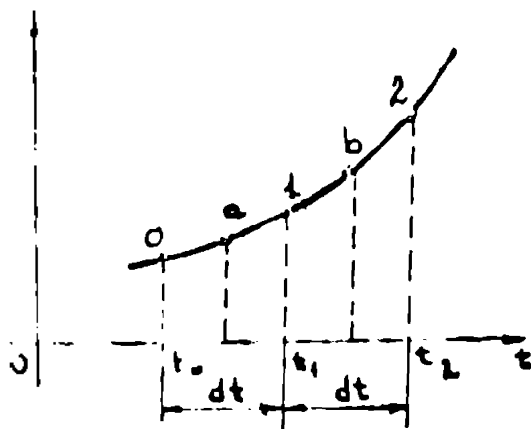


fig. 6.11

Dacă funcția y ne dă sub forma $y = y(\theta)$ și se cunoaște viteza unghiulară ω atunci ecuația 6.55 se poate scrie astfel :

$$\dot{y}_1 = \frac{\omega}{2 \cdot d\theta} (y_2 - y_0) \quad (6.56)$$

Pentru a calcula derivata de ordinul doi se determină mai întâi prima derivată a funcției în punctele a și b :

$$\dot{y}_a = \frac{y_1 - y_0}{dt} \quad \text{și} \quad \dot{y}_b = \frac{y_2 - y_1}{dt}$$

Deci accelerația în punctul 1 se poate determina cu următoarea formulă :

$$\ddot{y}_1 = \frac{\dot{y}_b - \dot{y}_a}{dt} = \frac{(y_2 - y_1)/dt - (y_1 - y_0)/dt}{dt}$$

și deci :

$$\ddot{y}_1 = \frac{1}{dt^2} (y_0 + y_2 - 2y_1)$$

$$\text{sau} \quad \ddot{y}_1 = \frac{\omega^2}{d^2} (y_0 + y_2 - 2y_1) \quad (6.57)$$

Ecuatiile de mai sus se pot scrie și pentru funcția de ieșire $x = x(\theta)$, astfel că :

$$\ddot{x}_1 = \omega (x_2 - x_0) / 2d\theta$$

$$\text{și} \quad \ddot{x}_1 = (\omega / d\theta)^2 (x_0 + x_2 - 2x_1) \quad (6.58)$$

Pentru sinteza profilului camelor putem apela la formulele 6.57 și 6.58. Având funcția de ieșire dorită $x = x(\theta)$, împărțim graficul acestei funcții în intervale $d\theta$ convenabile și calculăm derivata a doua în fiecare punct. Funcția de intrare care generează funcția de ieșire dorită se determină din ecuația 6.54 de unde scotem valoarea lui y :

$$y = x + \frac{m}{k} \ddot{x} \quad (6.59)$$

și înlocuind

$$\text{rezultă :} \quad y_1 = x_1 + \frac{m}{k} \frac{\omega^2}{d\theta^2} (x_0 + x_2 - 2x_1) \quad (6.60)$$

Avem deci posibilitatea de a scrie o formulă de recurență care să se poată aplica la un procedeu de integrare numerică a ecuației :

$$y_1 = x_1 + \frac{m}{k} \frac{\omega^2}{d\theta^2} (x_{1-1} + x_{1+1} - 2x_1) \quad (6.61)$$

Trasarea diagramei funcției $y = y(\theta)$ ne permite obținerea funcției care se poate materializa pe camă.

Desigur cu această funcție răspunde pretențiilor noastre în măsura în care modelul matematic adoptat simulează cât mai corect funcționarea reală a mecanismului. Având în vedere că modelul matematic cu un singur grad de libertate fără amortizare viscoasă și fără frecare uscată are toată masa concentrată la nivelul tachetului, iar masa arcurilor se neglijează, acest model poate exprima foarte bine unele fenomene dinamice ale sistemului, fenomene cum sînt oscilațiile și desprinderile, dar el se îndepărtează, în cele mai multe cazuri

foarte mult de aspectele reale ale cinematicii mecanismului. Din aceste motive, se poate considera că acest procedeu de integrare are o valoare mai mult teoretică, generală și informativă.

Procedura cea mai adecvată pentru sinteza profilului camii este trasarea funcției de intrare după o lege matematică optimă, urmată de rectificarea acesteia atât din punct de vedere cinematic, așa cum se indică în cap. 3, cât și din punct de vedere dinamic așa cum se procedează în partea de sinteză a mecanismului (cap. 9).



6.4.2 Integrarea ecuației de mișcare pentru a afla funcția de răspuns a sistemului la diferite funcții de intrare

Dacă integrarea prin metoda diferențelor finite se dovedește a fi mai puțin adecvată scopului de sinteză a profilului camii, se poate folosi o metodă rapidă și eficientă pentru studierea funcției de răspuns a mecanismului la diferite legi de mișcare la intrare.

În acest scop s-a elaborat o metodă și un program corespunzător pentru studierea comparativă a unor funcții de intrare cunoscute. Studiul comparativ se execută tot pe un model matematic cu un singur grad de libertate, cu neglijarea forțelor de frecare.

Pentru a afla valorile funcției de ieșire, înlocuim derivata a doua a acesteia din formula 6.58 în ecuația de mișcare 6.54 și obținem :

$$m \left(\omega / d\theta \right)^2 (x_0 + x_2 - 2x_1) = k (y_1 - x_1) \quad (6.62)$$

și din această formulă scoatem valoarea lui x_2 :

$$x_2 = \frac{k (y_1 - x_1)}{m \left(\omega / d\theta \right)^2} + 2x_1 - x_0 \quad (6.63)$$

În continuare se poate stabili ușor o formulă generală de calcul :

$$\text{și } x_1 = \frac{k (y_{1-1} - x_{1-1})}{m \left(\omega / d\theta \right)^2} + 2x_{1-1} - x_{1-2} \quad (6.64)$$

Pentru a putea aplica formula de recurență de mai sus este necesar să cunoaștem primele două valori x_0 și x_1 ale funcției de răspuns. În cele mai multe cazuri aceste valori se consideră nule și astfel se poate amona ciclul de calcule.

Cu ajutorul programului de calcul elaborat în acest scop s-au studiat trei legi de mișcare de forma :

1) profil sinusoidal

$$s = h \left(\frac{t}{\theta_1} - \frac{1}{2\pi} \sin \frac{2\pi}{\theta_1} \theta \right)$$

2) profil cosinusoidal

$$s = \frac{h}{2} \left(1 - \cos \frac{\pi}{\theta_1} \theta \right)$$

3) profil polinomial (parabolic)

$$s = \frac{2h}{\theta_1^2} \theta^2 \quad \text{pt. } \theta \in (0, \theta_1/2)$$

$$s = h - \frac{2h}{\theta_1^2} (\theta_1 - \theta)^2$$

$$\text{pt. } \theta \in (\theta_1/2, \theta_1)$$

Pentru legile de mișcare date s-a considerat $\theta_1 = 120^\circ$. Programul de calcul s-a executat în conformitate cu ordinoograma din fig. 6.12. Datele obținute în urma calculului sînt prezentate sub formă tabelară împreună cu datele de intrare utilizate. Pentru a avea o imagine mai clară a diferențelor dintre funcția de intrare $y = y(\theta)$ și cea de ieșire $x = x(\theta)$, un subprogram de înregistrare trecează pe listinșul calculatorului aceste diagrame. Înregistrarea se poate face la scări diferite, astfel încît pe anumite porțiuni ale diagramei, zona oscilațiilor este extinsă pe toată lățimea hirtiei și se scoț în evidență anumite detalii care prezintă un interes aparte.

Din tabelul de date prezentat de calculator, s-au scos și se prezintă mai jos cîteva date semnifi-

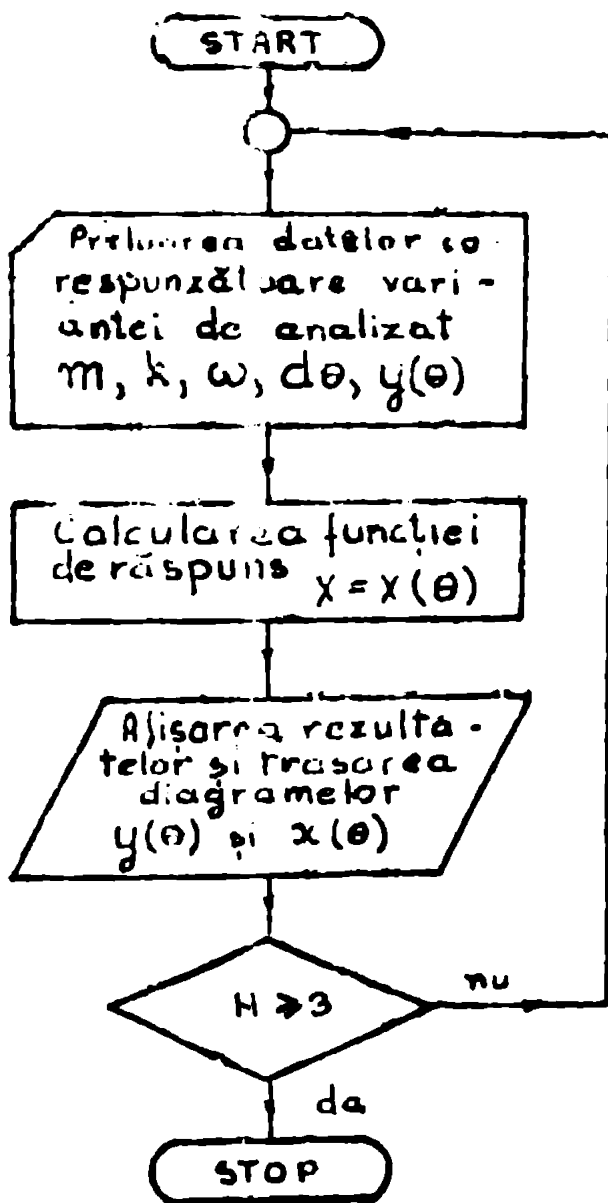


fig. 6.12

dicative pentru cele trei legi de mișcare. Se dau mai jos în Tabelul 6.1 valorile maxime și minime ale funcției de ieșire și abaterile față de funcția de intrare $y = 1$.

Tabelul 6.1

funcția de intrare $y = 1$	x_{max}	x_{min}	Δx
sinusoidală	1,000987	0,999013	0,001974
cosinusoidală	1,019390	0,984622	0,020768
parabolică	1,000296	0,999704	0,000592

Prin compararea rezultatelor se vede că funcția polinomială de tip parabolică prezintă abaterile cele mai mici. Deci pentru această lege de mișcare există cele mai mari șanse ca amplitudinea oscilațiilor să nu ducă la apariția fenomenului de desprindere. Din acest punct de vedere cel mai defavorabil se prezintă legea de mișcare cosinusoidală. Această constatare este încă un argument pentru alegerea unor funcții de acord de tip polinomial la sinteza profilului camii.

utilizate

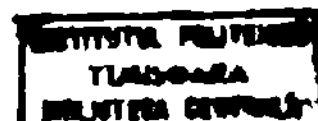
6.2 Procedee pentru evitarea fenomenului de rupere a contactului camă - tachet

6.2.1 În reducerea

Procedeele prezentate în paragrafele anterioare rezultă din faptul că pentru evitarea fenomenului de desprindere, este necesar să se verifice ca una dintre inegalitățile 6.49 sau 6.52. Analizând aceste condiții se constată că evitarea fenomenului se realizează în următoarele condiții:

- a) mărire rigidității sistemului în ansamblu;
- b) scăderea forței de pretenționare la ansamblu;
- c) micșorarea amplitudinii oscilațiilor.

Principalele variante sînt soluții cunoscute și aplicate în general. Dar se nu cu și efecte secundare afectarea mecanismului din punct de vedere al randamentului și a fiabilității.



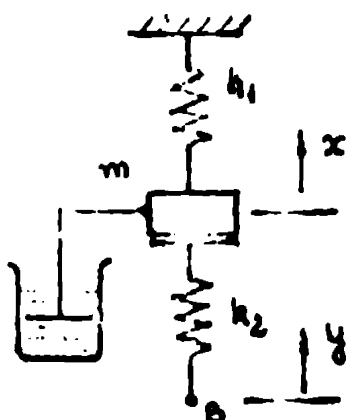
6.5.2. Micșorarea amplitudinii oscilațiilor tachetului prin intermediul unor forțe viscoase

Indiferent de forma sa constructivă, tachetul mecanismului este supus în timpul funcționării la acțiunea forței de frecare cu aerul. Rezultă forță este proporțională cu viteza tachetului și deci nu este suficientă mai activ în domeniul vitezelor de lucru mari.

În cazul când este necesară mărirea amortizării pe această cale se poate recurge la o serie de soluții constructive cum ar fi :

- a) mărirea suprafeței tachetului și astfel mărirea coeficientului de pierderi prin frecare viscoasă,
- b) montarea pe tachet a unei palete cufundată într-o baie de ulei și mărirea în acest fel a forțelor de amortizare,
- c) fixarea pe axul tachetului a unui disc de aluminiu care se rotește în întreținerea unui magnet permanent sau a unui electromagnet. Curentul Foucault care se induce în disc în timpul oscilațiilor, interacționează cu câmpul magnetic și se opune mișcării, diminuând amplitudinea oscilațiilor.

Dintre aceste variante posibile, cea mai convenabilă din punct de vedere al eficacității și a realizării constructive pare a fi varianta b. În acest caz modelul matematic al mecanismului amortizat



are componenta din fig. 6.13. Forța de rezistență viscoasă are expresia : $R = h \dot{x}$, unde h este coeficientul de amortizare. Dacă presupunem că forța perturbatoare este de tip sinusoidal, atunci ecuația diferențială a mișcării este următoarea:

$$m\ddot{x} + h\dot{x} + kx = F \sin \omega t \quad \text{sau}$$

$$\ddot{x} + 2n\dot{x} + p^2x = q \sin \omega t \quad (6.6)$$

unde s-au făcut următoarele notații:
 $2n = h/m$, $p^2 = k/m$ și $q = F/m$.

fig. 6.13

Soluția acestei ecuații și în același timp

ecuația generală a mișcării este următoarea:

$$x = e^{-nt} [A \sin(p_1 t + \varphi) + B \sin(\omega t - \alpha)] \quad (6.6)$$

Prima parte a soluției o constituie vibrația amortizată a sistemului cu pulsația proprie \hat{p} .

Datorită amortizării această pulsație este mai mică față de cazul când sistemul este neamortizat și $p_1^2 = p^2 - n^2$.
 În funcție de condițiile inițiale considerate se pot calcula valoarea amplitudinii și a defazajului. Astfel pentru $t = 0$, $x = x_0$ și $\dot{x} = \dot{x}_0$ se obține /31/ :

$$a = \sqrt{x_0^2 + \left(\frac{\dot{x}_0 + nx_0}{p_1}\right)^2} \quad \text{și} \quad \text{ctg } \varphi = \frac{\dot{x}_0 + nx_0}{p_1 x_0} \quad (6.67)$$

Partea a doua a soluției este oscilația armonică întreținută de forța perturbatoare.

În literatura de specialitate, referitor la oscilațiile întreținute cu amortizare viscoasă se fac următoarele aprecieri generale / 10, 12, 31, 90, 99, 100 / :

- amplitudinea mișcării la rezonanță este înveș proporțională cu coeficientul de amortizare,
- coeficientul de amortizare are efect remarcabil doar în zona de rezonanță unde $0,5 < \omega/p < 2$. Pentru restul intervalului efectul de amortizare se poate neglija,
- amortizarea produce un defazaj între vibrația forțată și forța periodică perturbatoare:

pentru $\omega/p < 1$	unghi de defazaj	$\varphi < \pi/2$
pentru $\omega/p > 1$	"	$\varphi > \pi/2$

Efectul de defazare al amortizării viscoase este principalul ei dezavantaj. Tendința de retardare a funcției de ieșire față de funcția de intrare are urmări defavorabile în special în zonele în care funcția de intrare prezintă valori negative pentru accelerație.

Deci pe zona de coborîre și pe cea de decelerare, datorită tendinței de întârziere a tachetului față de profilul camii, există posibilitatea de rupere a contactului acestora. Apariția desprinderi or pu aceste porțiuni are efecte negative asupra întregului ciclu de funcționare a mecanismului.

Astfel o măsură avantajoasă din punct de vedere a diminuării efectului amplitudinii oscilațiilor nu poate fi aplicată practic datorită unghiului de defazaj α între funcțiile de ieșire respectiv intrare. Unghiul de defazaj α este dat de următoarea relație :

$$\text{tg } \alpha = \frac{2n\omega}{p^2 - \omega^2} \quad (6.68)$$

Se trage concluzia firească că și efectul amortizării oscilațiilor mecanismului datorat frecării cu aerul trebuie diminuat prin măsuri constructive adecvate. Din formula de mai sus rezultă că pen-

tru a micșora unghiul de defazăj α este necesară micșorarea parametrului n și deci a coeficientului de amortizare h în primul rând.

6.5.3 Amortizarea oscilațiilor tacheului prin aplicarea unei forțe de frecare uscată intermitentă

Si forța de frecare uscată aplicată pe parcursul întregului ciclu de funcționare a mecanismului are efect de întârziere a mișcării tacheului față de legea de mișcare comandată de camă.

Dacă în faza de ridicare această forță tinde să distorsioneze funcția de ieșire prin deformarea elastică suplimentară a mecanismului, în faza de coborâre efectul de întârziere se manifestă prin creșterea posibilităților de apariție a desprinderilor tacheului de camă. Pentru a evita abaterea funcției de ieșire prin defazăre este

necesar ca forța de amortizare să se aplice numai atunci când funcția de intrare are valoare constantă sau nulă. Această situație favorabilă ne-o oferă palierul inferior sau superior al funcției de intrare. Aplicarea forței de amortizare numai în intervalele de timp corespunzătoare acestor paliere ne permite să evităm distorsionarea funcției de ieșire prin defazăre. În fig. 6.14 se ilustrează acest efect. O forță de rezistență constantă R aplicată în scopul stenuării vibrațiilor, participă alături de celelalte fenomene la deformarea

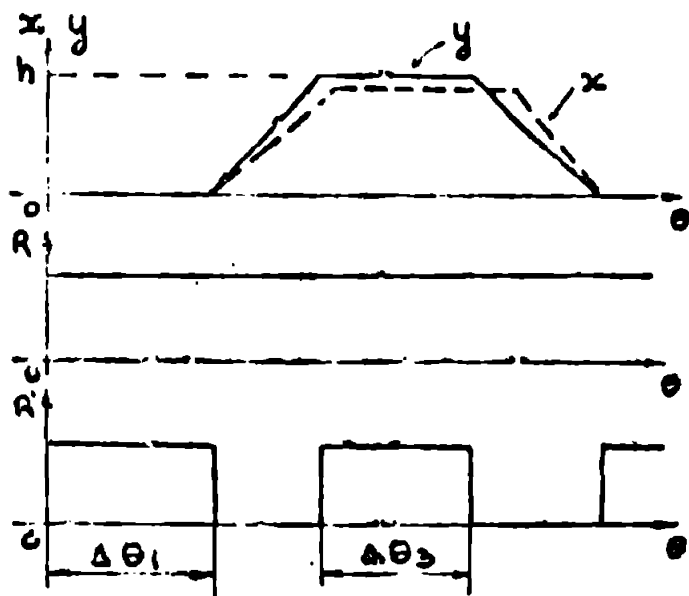


Fig. 6.14

și defazarea suplimentară a funcției de ieșire x , trasată cu linie întreruptă.

Aplicând forța de amortizare R' doar pe zona palierelor funcției y , această forță nu participă la defazarea funcției x .

Avantajul forței de frecare uscată ca și forței de amortizare constantă tocmai în posibilitatea de a o aplica numai pentru anumite inter-

vale de timp și cu intensitatea dorită. Din punct de vedere funcțional și constructiv, este optim ca forța de frecare R să se aplice pe zona ambelor paliere. Prima etapă de amortizare aplicată pe intervalul $\Delta \theta_1$ ne poate asigura abordarea fazei de ridicare fără oscilații ale tchetului și deci în condiții inițiale repetabile după fiecare ciclu, situație foarte avantajoasă pentru buna funcționare a mecanismului. Atenuarea oscilațiilor tchetului pe această porțiune ne permite să afirmăm că este suficientă studiarea din punct de vedere dinamic a sistemului doar pentru un ciclu de funcționare, următoarele cicluri fiind identice.

Dacă funcția de intrare prezintă un palier superior, amortizarea pe această porțiune a oscilațiilor tchetului, amorate în faza de ridicare, îmbunătățește dinamica zonei de acoperire, micșorând abaterile funcției de ieșire pe această zonă.

Amortizarea oscilațiilor cu ajutorul forței de frecare uscată se face prin aplicarea unei forțe de frinare la tchet. Modelul matematic al sistemului este prezentat în fig. 6.15.

Ecuația diferențială de mișcare este următoarea:

$$m \ddot{x} + k x + k \operatorname{sign} \dot{x} = 0 \quad (6.69)$$

Forța R este de sens contrar mișcării, lucru evidentiat de faptul că la mărimea ei se atașează semnul vitezei ($\operatorname{sign} \dot{x}$).

Deci pentru un sens de mișcare ecuația are forma următoare:

$$m \ddot{x} + kx + R = 0$$

unde $R = \mu N$, μ fiind coeficientul

de frecare dintre sabotul de frinare și tchet.

Pentru sensul invers ecuația diferențială a mișcării este următoarea:

$$m \ddot{x} + kx - R = 0$$

Pentru primul caz soluția ecuației este data de formula de mai jos:

$$x = A \cos pt + B \sin pt + \frac{R}{k} \quad (6.70)$$

iar derivata ei: $\dot{x} = -pA \sin pt + pB \cos pt$

Dacă notăm $x_T = R/k$ și admitem condițiile inițiale $\dot{x} = 0$, $x = x_0$, și $\dot{x} = \dot{x}_0$ atunci rezultă: $A_1 = x_0 - x_T$ și $B_1 = 0$. Ecuația oscilației pentru prima semiperioadă de mișcare este următoarea:

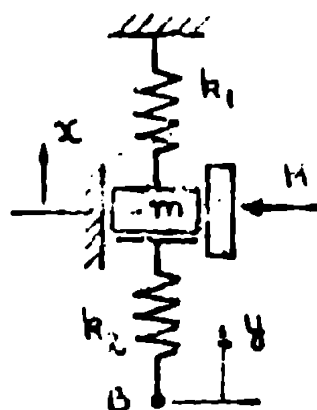


fig. 6.15

$$x = (x_0 - x_r) \cos pt + x_r \quad (6.71)$$

La sfârșitul primei semiperioade când $pt = \pi$ calculăm amplitudinea oscilației și rezultă:

$$x_1 = -x_0 + 2x_r \quad (6.72)$$

iar $\dot{x}_1 = 0$ deoarece ne situăm la capăt de cursă.

Valorile x_1 și \dot{x}_1 constituie condiții inițiale pentru a stabili ecuația de mișcare a oscilațiilor în a doua semiperioadă.

Se constată că și în continuare la fiecare semiperioadă amplitudinea mișcării scade cu $2x_r$. Atenuarea datorită forței de frecare această nu are efect asupra pulsației proprii iar graficul mișcării se compune dintr-o succesiune de mișcări cosinusoidale racordate, a căror amplitudine scade în progresie aritmetică așa cum se vede

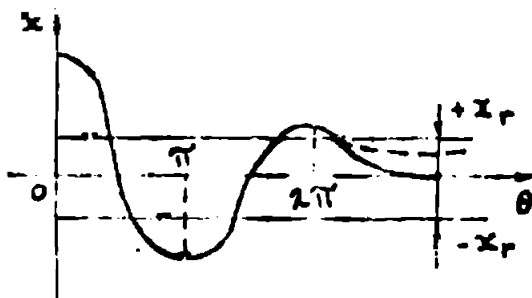


Fig. 6.10

în fig. 6.10. Pentru un sistem oscilant care nu are o forță de strângere la montare, mișcarea de oscilație începează într-o poziție care poate fi în interiorul cotei $\pm x_r$, unde x_r este săgeata statică a sistemului sub efectul forței de frecare.

Finalizarea mișcării într-o anumită poziție s-a prezentat cu linie întreruptă în fig. 6.10. A admite o asemenea situație în cazul mecanismului câmb - tchet, înseamnă a accepta o for-

ță de strângere care după amortizarea oscilațiilor să poată reține tchetul într-o poziție diferită de poziția de echilibru static, deci chiar desprins de câmb.

Forța de pretenționare a sistemului trebuie să fie mai mare decât forța de frecare, astfel încât să fie capabilă cu după stingerea oscilațiilor să readucă tchetul în contact cu câmbul și să nu se stabilească o poziție de echilibru indiferentă în domeniul $\pm x_r$.

Este deci necesar ca de la început să menționăm limitele superioare ale forței de frecare astfel încât:

$$R = \mu N < F_s \quad (6.73)$$

unde F_s este forța de prestrângere la montare, iar cu y_s s-a notat săgeata corespunzătoare acestei forțe. Din inegalitatea de mai sus rezultă următoarea condiție de amortizare:

$$y_s > x_r \quad (6.74)$$

Pe de altă parte, forța de amortizare R o calculăm în funcție de

numărul de perioade ale oscilației în intervalul cărora trebuie să amortizăm oscilația.

Presupunem că acțiunea de amortizare trebuie să se desfășoare pe intervalul unghiular $\Delta \theta$, deci în intervalul de timp egal cu:

$\Delta t = \Delta \theta / \omega$. Cunoșcând pulsația proprie a oscilațiilor rezultă perioada acestora $T = 2\pi/p$. Deci numărul de perioade pe parcursul cărora trebuie să diminuăm amplitudinea acestora este:

$$j = \frac{\Delta t}{T} = \frac{F \cdot \Delta \theta}{\omega \cdot 2\pi} \quad (6.75)$$

Dacă pe anumite porțiuni ale ciclului de funcționare a rezultat că ecuația 6.52 nu se verifică și deci abaterea funcției de ieșire față de funcția de intrare este mai mare decât adgeata arcului 2, atunci este necesară o diminuare a amplitudinii oscilațiilor egală cu:

$$d = e_1 - y_1 K_2 \quad (6.76)$$

Diminuarea d trebuie realizată pe parcursul celor j perioade ale oscilației și deci la fiecare semiperioadă va trebui asigurată o diminuare egală cu:

$$d' = \frac{d}{2j} = \frac{\omega}{p} \cdot \frac{d \cdot \pi}{\Delta \theta} \quad (6.77)$$

Forța de frecare pentru amortizare rezultă prin egalizarea diminuării d' cu atenuarea amplitudinii pentru fiecare semiperioadă și deci:

$$2x_F = d' \quad (6.78)$$

Cunoșcând că $x_F = R/k$ putem calcula valoarea forței de frecare necesară cu formula de mai jos:

$$R = k \cdot \frac{\omega}{p} \cdot \frac{\pi \cdot d}{2 \Delta \theta} \quad (6.79)$$

După dimensionarea forței de frecare R se va verifica relația 6.73. Dacă această inegalitate nu se verifică, se va mări în mod corespunzător forța de pretensionare F_B .

Îmbinarea rezultatelor obținute cu o serie de soluții constructive adecvate scopului propus ar permite continuarea acțiunilor de limitare a amplitudinii oscilațiilor din sistem atunci când celelalte procedee aplicate nu au dat rezultate corespunzătoare.

Trebuie menționat că acest procedeu de amortizare nu se poate recomanda pentru aplicare decât în ultima instanță, deoarece se ajunge la o solicitare considerabilă a mecanismului. În plus introducerea în construcția lui a unor elemente suplimentare duce și la micșorarea fiabilității ansamblului.

6.5.4 Mecanismul camă - tchet cu amortizor.

Având în vedere cele expuse anterior, ne propunem în continuare găsirea unor soluții constructive adecvate pentru amortizarea oscilațiilor tchetului mecanismului în vederea limitării abaterilor funcției de ieșire a sistemului. După cum s-a arătat, forța de frecare trebuie să fie de tipul "frecare uscată" și să se aplice numai pe anumite intervale ale ciclului de funcționare. Modul de realizare și de aplicare a forței de amortizare depinde de structura mecanismului și de tipul camii.

Între mai multe variante constructive cu comandarea și aplicarea pe cale mecanică sau electromecanică a forței, distingem soluția la care mecanismul principal camă - tchet este asistat de un mecanism auxiliar pentru amortizare.

Pentru mecanismul camă cu tchetul în mișcare de rotație, este convenabil ca forța de frecare să se aplice sub forma unui moment de frinare la axul tchetului. Dimensionând și poziționând convenabil mecanismul de frinare,

forța de frinare se poate aplica pentru zona palierului superior sau inferior, având mărimea și faza corespunzătoare gradului de amortizare propus.

În fig. 6.17 se prezintă două soluții constructive, unde camă mecanismului comandă un tchet secundar, care prin intermediul unui sabot de frinare sau a unui excentric, aplică forța de frinare la axul tchetului principal. În figură s-au făcut următoarele notații:

1. suportul mecanismului;
2. camă
3. tchetul principal
4. tchetul secundar
5. role

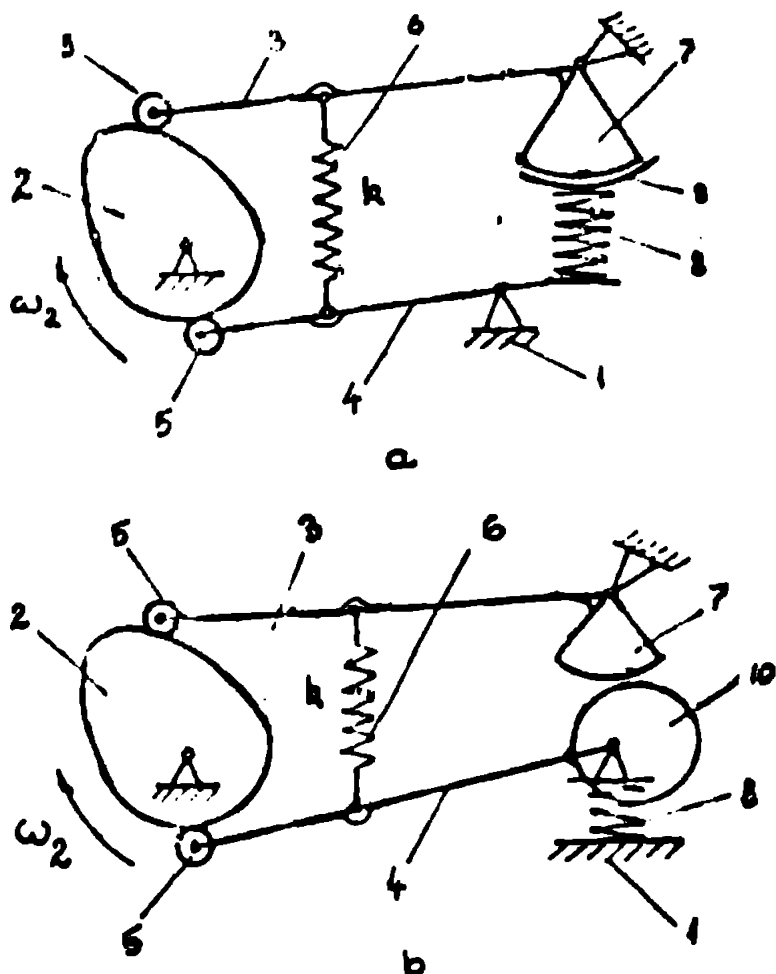


fig. 6.17

- | | |
|----------------------|---------------------|
| 6. arc de strângere | 8. arcul frinei |
| 7. sector de frinare | 9. sabot de frinare |
| 10. excentric | |

În ambele variante forța de frinare se aplică numai pentru zona cercului de bază, deci pe periferul inferior al funcției de intrare. Când cama în mișcarea ei de rotație ajunge cu zona de rază constantă în dreptul rolei tachetului principal 3, tachetul secundar 4 își desfășoară cursa de rotație și acționează asupra sabotului 9. Frin uscul 8 s-a reprezentat elasticitatea elementelor mecanismului de frinare.

În varianta b, tachetul 4 fiind legat solidar cu excentricul 10, prin rotație acesta apasă asupra sectorului de frinare 7.

La începutul fazei de ridicare a tachetului 3, acțiunea de frinare încetează prin revenirea rolei tachetului 4 pe cercul de bază.

Funcționarea celor două mecanisme, principal și de frinare, în tandem, cu montarea în "clește" a arcului 6, îmbunătățește dinamica mecanismului în ansamblu prin uniformizarea mișcării și solici-tarea aproape constantă a arcului 6.

La realizarea practică a variantei a, excentricul 10 poate acționa asupra unei bușe elastice care strânge intermitent axa tachetului 3.

Forța de frinare N necesară la nivelul cuplei suprapunere a mecanismului, apare la U_{ca} tachetului sub forma unui moment de frinare. Dacă notăm cu l lungimea tachetului și cu r raza sectorului de frinare, atunci forța normală N de apăsare la frână rezultă din relația :

$$N = \frac{R \cdot l}{\mu \cdot r} \quad (6.80)$$

Mărimea forței normale N se ajustează prin poziționarea corespun-zătoare a suportului articulației tachetului 4.

Corelând lungimea acestui tachet cu poziția sa, se poate ajusta poziția intervalului de frinare astfel încât acesta să nu se supra-pună cu zonele de coborîre și ridicare ale tachetului 3.

Aplicarea concretă a unei soluții adecvate pentru amortizarea oscilațiilor ce se amortizează și sînt întretinute în sistemul meca-nic format de ansamblul mecanismului de periorare se va face doar după ce pe cale experimentală ne constatăm că aceste osci-lații depășesc valorile impuse cînd toate celelalte procedee au fost epuizate.

7. Analiza și sinteza mecanismului camă - tachet ca și un sistem oscilant autoexcitat

7.1. Considerațiuni generale

În lucrările de specialitate / 28, 50, 47, 52, 73, 88, 97 / mecanismele cu came sînt tratate ca niște sisteme oscilante în care nu produc vibrații întreținute prin acțiunea unor forțe exterioare. În acest sens came, fiind considerată sursa forței exterioare periodice care induce vibrația forțată în sistem, este separată de restul elementelor mecanismului, elemente care se asimilează cu un sistem oscilant cu unul, două sau mai multe grade de libertate.

Oscilațiile fiind armonice, funcția excitatoare materializată pe camă se consideră descompusă într-o serie de funcții armonice. Din spectrul acestor armonici se aleg acelea care se consideră cele mai reprezentative pentru aspectele studiate.

Acute ipoteze simplificatoare corespund foarte bine unor lucrări de analiză și sinteză dinamică cînd ne propunem diminuarea influenței acestor vibrații asupra funcției de ieșire a mecanismului și cînd se studiază nivelul de zgomote și vibrații generate de mecanism.

Pe de altă parte mecanismele cu came prezintă toate caracteristicile care definesc un sistem oscilant autoexcitat.

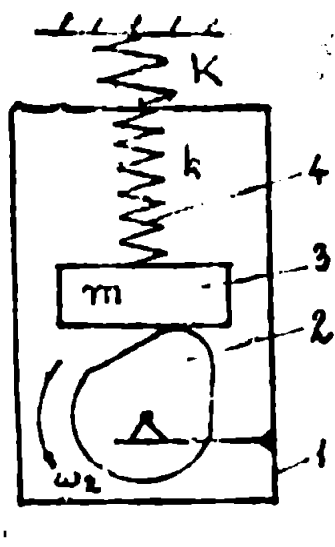


fig. 7.1

Dacă ansamblul tuturor elementelor componente ale mecanismului se consideră ca un sistem unitar, atunci sursa de excitație a vibrațiilor este intrinsecă sistemului, iar forța de excitație există doar atunci cînd sistemul este în mișcare și dispare atunci cînd mișcarea încetează.

Modelul sistemului prezentat în fig. 7.1 este format din următoarele elemente:

1. suportul mecanismului
2. camă
3. tachet
4. arc de readucere

Acest model se pretează în special pentru mecanismele la care tachetul nu acționează asupra unor elemente de ieșire, elemente ce prelungesc lanțul cinematic.

această cerință este îndeplinită de mecanismul cană - tchet din componența dispozitivului de perforare, deoarece pe tchetul acestui mecanism se montează ca și element de ieșire doar setul cușitelor de perforare. Cursa de perforare a cușitelor este foarte scurtă în comparație cu lungimea tchetului, se realizează pe direcție longitudinală față de axa tchetului și influențată puțin caracteristicile dinamice ale acestuia, deoarece reacțiunea forței de perforare este preluată tot pe direcție longitudinală de către articulația tchetului.

În aceste condiții se neglijează forța tehnologică exterioară care poate provoca vibrații forțate în sistem.

O variantă constructivă de sistem oscilant autoexcitat este un mecanism cu cană formată dintr-un disc excentric, deci un sistem arboresc care în ciclul de funcționare prezintă o "rezistență negativă".

Simbolizând parametrul de mișcare printr-o coordonată generalizată notată cu q , coeficientul de dizipare viscoasă cu h și cu p_0 pulsația proprie, ecuația care descrie mișcarea are forma [31]:

$$\ddot{q} - 2h\dot{q} + p_0^2 q = 0 \quad (7.1)$$

Soluția ecuației este următoarea:

$$q = e^{ht} (a \cos pt + b \sin pt) \quad (7.2)$$

Iar pulsația mișcării de oscilație este dată de relația:

$$p^2 = p_0^2 - h^2 \quad (7.3)$$

Rezultă că pulsația unui asemenea sistem diferă de pulsația proprie și diferă cu atât mai mult cu cât "rezistența negativă" este mai mare. Rezistența negativă a sistemului implică existența unei surse de energie care întreține oscilațiile, acoperind pierderile mecanice ale sistemului pe anumite perioade.

La epuizarea sursei de energie oscilațiile autoexcitate încetează, iar sistemul trece în regimul de vibrație după frecvența proprie până la atingerea situației de echilibru.

Pentru modelul din figură sursa de energie o constituie dispozitivul mecanic de antrenare cuplat la arborele canei.

În cazul general al mecanismelor cu cană, funcția $f(q)$ materializată pe cană are rolul de funcție excitatoare și ecuația generală a mișcării are forma de mai jos:

$$\ddot{q} + 2h\dot{q} + p_0^2 q + f(q) = 0 \quad (7.4)$$

funcția $f(q)$ fiind neliniară, influențează amortizarea sistemului și regimul de oscilație este dat de o serie de condiții constructive și inițiale.

Mecanismul cu camă este un sistem oscilant care pe o anumită porțiune a ciclului de funcționare acumulează energie iar în restul perioadei descarcă această energie în sistem. Acumularea și descărcarea energiei se face prin intermediul arcului 4 care acumulează energie la cursa de ridicare a tchetului 3 și eliberează această energie la cursa de coborire.

Această caracteristică ne permite să considerăm mecanismul camă-tchet ca și un sistem oscilant autexcitat cu vibrații de relaxare.

În această ipoteză tchetul de masă m este supus la solicitarea următoarelor forțe:

- $m\ddot{q}$ forța de inerție
- $2h_0\dot{q}$ forța de rezistență viscoasă
- $2h_1\text{sign}\dot{q}$ forța de rezistență datorată frecărilor uscate
- $kq \text{sign}q$ forța de readucere a arcului

Ecuația care descrie în modul cel mai general mișcarea sistemului este următoarea:

$$m\ddot{q} + 2h_0\dot{q} + 2h_1\text{sign}\dot{q} + kq \text{sign}q = 0 \quad (7.5)$$

Pentru forța de readucere a arcului semnul se alege în felul următor:

- a) pentru faza de ridicare când arcuul se opune sensului de mișcare $\text{sign}q = -$
- b) pentru faza de coborire $\text{sign}q = +$

În continuare mișcarea sistemului se analizează pentru diferite situații care se întâlnesc în practică, presupunând în același timp o serie de simplificări care permit abordarea matematică a problemei.

7.2 Mișcarea de oscilație a mecanismului considerat ca un sistem fără pierderi

În acest caz ecuația mișcării are forma următoare:

$$m\ddot{q} + kq \text{sign}q = 0$$

Pentru faza de ridicare formula mișcării este:

$$m\ddot{q} - kq = 0 \quad \text{sau} \quad \ddot{q} - \frac{k}{m} q = 0 \quad (7.7)$$

Soluțiile ecuației caracteristice sînt următoarele:

$$r_{1,2} = \pm \sqrt{\frac{k}{m}} = \pm p_0$$

Deci pentru fază de ridicare mișcarea de oscilație a sistemului se desfășoară după legea dată de soluția ecuației (7.7) bazată pe exponentul p_0 :

$$q = e^{p_0 t} \quad (7.8)$$

Pentru faza de coborîre formula mișcării este următoarea:

$$\ddot{q} + \frac{k}{m} q = 0 \quad (7.9)$$

care are următoarele soluții pentru ecuația caracteristică:

$$r_{1,2} = \pm i \sqrt{\frac{k}{m}} = \pm i \cdot p_0 \quad \text{și rezultă ecuația}$$

$$\text{de mișcare} \quad q = C_1 \sin p_0 t + C_2 \cos p_0 t \quad (7.10)$$

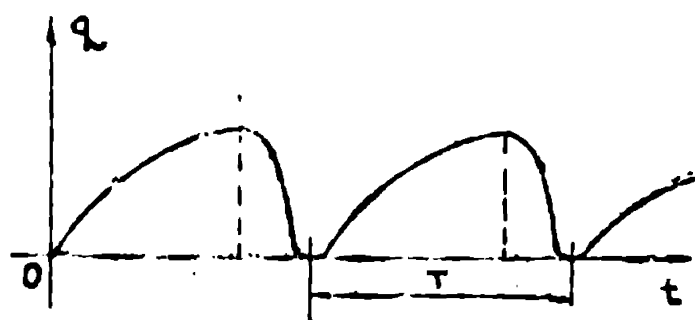


Fig. 7.2

Deci mișcarea de oscilație se desfășoară alternativ după o lege exponențială urmată de o lege armonică.

În fig. 7.2 se prezintă modul de variație al parametrului de mișcare în timp.

Funcția $q = q(t)$ reprezentată se apropie de forma numită "în dinți de ferestru" și este caracteristică și oscilațiilor de relaxare întâlnite la sistemele electrice.

În literatura de specialitate [31] sistemele oscilante nedisipative cu vibrații de relaxare se studiază cu ajutorul unei ecuații de mișcare în care forța de readucere se consideră constantă în modul. Acest mod de tratare permite o reprezentare comodă a mișcării în planul fazelor.

Dacă curba de ridicare a tachetului este nică, față de săgeata de pretensionare a resortului de readucere și de lungimea totală a acestuia, ipoteza se poate aplica și în cazul mecanismelor cu came.

Ecuația mișcării are următoarea formă [31]:

$$m\ddot{q} + k \operatorname{sign} q = 0 \quad (7.11)$$

Dacă se stabilește un sens pozitiv pentru coordonata generalizată q , atunci ecuațiile celor două faze sînt:

$$\begin{aligned} m\ddot{q} + k &= 0 & \text{pentru } q > 0 \\ m\ddot{q} - k &= 0 & \text{pentru } q < 0 \end{aligned} \quad (7.12)$$

Prin integrare se găsesc soluțiile celor două ecuații:

$$q_1 = -\frac{k}{2m} \cdot t^2 + a_1 \cdot t + b_1 \quad \text{și} \quad q_2 = \frac{k}{2m} \cdot t^2 + a_2 t + b_2$$

Condiția de continuitate a mișcării impune următoarele condiții:

$$a_1 = a_2 = a \quad \text{și} \quad b_1 = b_2 = b$$

Pentru condițiile inițiale de mișcare $a = v_0$ și $b = 0$.

Ecuația mișcării este următoarea:

$$q = \pm \frac{k}{2m} \cdot t^2 + v_0 t \quad (7.13)$$

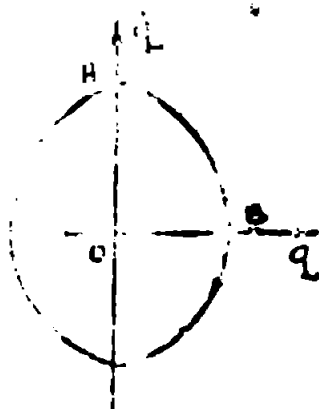
$$\dot{q} = \pm \frac{k}{m} \cdot t + v_0 \quad \text{de unde rezultă} \quad t = \pm \frac{m}{k} (\dot{q} - v_0)$$

Înlocuind în ecuația 7.13 se obține:

$$q = \pm \left(\frac{m}{2k} (\dot{q} - v_0)^2 + \frac{mv_0}{k} (\dot{q} - v_0) \right) \quad (7.14)$$

Amplitudinea maximă a mișcării se determină pentru situația cînd viteza sîfînșează, deci $\dot{q} = 0$ și deci

$$q_m = \frac{m}{2k} v_0^2$$

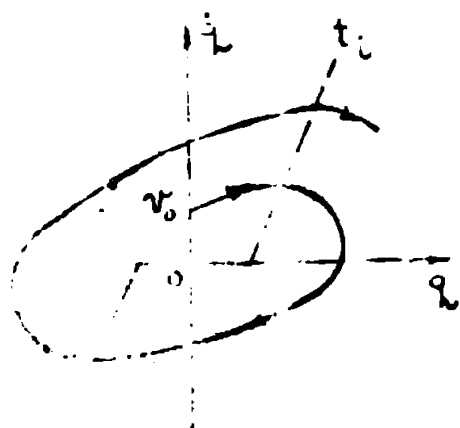


Mișcarea de oscilație se poate reprezenta în planul fazelor, fig. 7.3, ca și două arce de parabolă racordate pe axa $\dot{q} = 0$. Pe parcursul ciclului de mișcare se remarcă punctul A cînd sistemul trece prin poziția de echilibru și viteza are valoarea $\dot{q} = v_0$ și punctul B de elongație maximă $q = q_m$.

7.3 Mecanismul camă - tchet ca un sistem oscilant cu vibrații de relaxare având forța de readucere întârziată

Datorită forțelor de inerție și a forțelor de amortizare care se manifestă pe parcursul ciclului de funcționare, legea de mișcare a tchetului prezintă o întârziere față de funcția excitatoare a camii. Întârzierea se manifestă cu efecte importante pentru viteze de lucru la care apare o desprindere a tchetului de camă.

Micșorarea sau anularea vitezei tchetului, corelată cu valori negative ale accelerației, favorizează apariția demeritelor la începutul fazei de coborîre. În această situație, forța de readucere a resortului nu se mai manifestă instantaneu ci cu o întârziere,



care pentru unele sisteme poate fi constantă, întârziere pe care o notăm cu t_1 . Presupunem că această forță de readucere întârziată se manifestă într-un sistem oscilant autoexcitat fără pierderi, ca și cel din paragraful 7.2. Ecuația generală a mișcării are forma de mai jos:

$m\ddot{q} + k \cdot \text{sign} \dot{q} = 0$, iar valoarea vitezei se determină cu relația:

$$\dot{q} = v_0 + \frac{k}{m} \cdot t, \text{ dacă mișcarea}$$

are loc cu $q = 0$ cu viteza inițială v_0 după cum s-a văzut în fig. 7.2. Întârzierea forței de readucere se manifestă în cele trei cazuri din planul fazelor. La trecerea din cel de al doilea în cel de al treilea, mișcarea continuă cu aceeași viteză și anume

$$\dot{q} = v_0 + \frac{k}{m} \cdot t \text{ pentru } 0 < t < t_1$$

În momentul de întârziere t_1 viteza atinge următoarea valoare:

$$\dot{q}_t = v_0 + \frac{k}{m} \cdot v_1$$

De la momentul inițial pînă la sfîrșitul mișcării în momentul t_1 viteza crește de la v_0 la v_1 .

$$q_t = v_0 t_1 + \frac{1}{2} \cdot \frac{k}{m} \cdot t_1^2 \quad (7.15)$$

După consumarea intervalului de întârziere se schimbă semnul accelerației. Mișcarea de oscilație manifestă același întârziere t_1 și în cadranul 3. Viteza și elongația sînt într-o continuă creștere, mișcarea fiind instabilă.

Pe parcursul fiecărei perioade se introduce în sistem o energie suplimentară egală cu $dE = k dq$, unde k este forța de reținere a arcului, forță considerată constantă. Această energie este proporțională cu viteza de mișcare a sistemului și deci și cu viteza inițială v_0 . Și în cazul mecanismului camă - tchet, care s manifestă ca și un sistem oscilant cu pierderi, aceste pierderi sînt proporționale cu viteza.

Într-o anumită viteză limită energia cedată sistemului egalează energia pierdută prin frecare și în această situație sistemul este echivalent cu un oscilator mecanic armonic. În planul fazelor mișcarea va descrie o traiectorie închisă stabilă.

Această traiectorie corespunde unui ciclu limită Poincaré.

Dacă viteza de mișcare este mai mare decît viteza corespunzătoare ciclului limită, atunci pierderile prin frecare fiind mari, viteza se reduce progresiv pînă la atingerea ciclului limită.

În cazul cînd viteza este mai mică decît viteza limită, energia suplimentară introdusă în sistem provoacă mărirea vitezei de oscilație pînă la intrarea în regimul de oscilație corespunzător ciclului limită.

Ciclu limită este constituit de o stare stabilă de funcționare corespunzătoare mecanismului.

7.2.3. Funcționarea marelui mecanismului camă - tchet considerat ca un sistem autooscilant cu vibrații de relaxare

În cazul unui sistem autooscilant cu vibrații de relaxare se poate stabili viteza limită dacă se cunosc următoarele elemente [31]:

- a) masa sistemului
- b) forța de încidare elastică
- c) coeficient de amortizare

t_1 timp de întârziere

În acest caz viteza limită este dată de formula:

$$v_g = \frac{k^2 - 4h^2}{4hm} \left(1 + \sqrt{1 + \frac{4h}{k + 2h}} \right) \cdot \pi_1 \quad (7.16)$$

Dacă perturbările prin frecare uscată și cele prin frecare viscoasă nu depășesc anumite limite, atunci sistemul se poate menține în regimul de autooscilații de relaxare.

Considerând masa sistemului concentrată la nivelul tachetului, se poate determina valoarea ei astfel încât sistemul să lucreze în zona ciclului limită.

Funcția de viteză de rotație a arborelui ω și de legea de mișcare a tachetului se determină o viteză medie de mișcare a acestuia și amplitudinea sistemului. În continuare se pune condiția ca această viteză de lucru să fie egală cu viteza limită din formula 7.16 :
deci $v_{ec} = v_g$ și avînd cunoscute celelalte elemente putem determina masa tachetului :

$$m = \frac{k^2 - 4h^2}{4h v_{ec}} \left(1 + \sqrt{1 + \frac{4h}{k + 2h}} \right) \cdot \pi_1 \quad (7.17)$$

Dacă în procesul de sinteză a mecanismului se ajustează masa tachetului în jurul valorii date de formula de mai sus, atunci se asigură o funcționare stabilă pe un ciclu limită, situație care conferă mișcării caracteristicii evasiharmonice.

Prin schimbarea vitezei de lucru a mecanismului, mișcarea de oscilație se îndepărtează de ciclul limită stabilit anterior și este necesară o redimensionare a masei tachetului.

Determinări experimentale efectuate și prezentate la Capitolul pun în evidență existența unui ciclu limită la funcționarea mecanismului când - tachet, ciclul de funcționare evasiharmonic pe care abaterile funcției de ieșire a mecanismului prezintă valori minime.

Aducerea mecanismului de perforare pe un asemenea ciclu limită de funcționare ar permite optimizarea funcționării lui și implicit reducerea substanțială a abaterilor funcției de ieșire față de funcția de comandă de la intrare, atât datorate deformărilor elastice cât și deoprinderilor cuplet superioare. În baza acestor rezultate teoretice s-a realizat un stand experimental care permite optimizarea funcționării mecanismului de perforare din componenta perforatoarelor rapide de cartelo.

8. Sinteza analitică a mecanismului de perforare

8.1 Determinarea pe cale analitică a unor parametrii geometrii ai mecanismului

În prima etapă a sintezei mecanismului s-au stabilit o serie de elemente care definesc mecanismul din punct de vedere cinematic. Cunoaştem funcţia de intrare care urmează a fi realizată pe camă, lungimea tachtului, raza cercului de bază şi distanţa dintre axele camei şi a tachtului.

Pentru rezolvarea în continuare a problemelor legate de sinteza dinamică a mecanismului, este necesară cunoaşterea următoarelor elemente geometrice pentru fiecare poziţie de calcul :

- direcţia tangentei la profilul camei în punctul caracteristic
- direcţia normalei la profilul camei în acest punct
- direcţia de mişcare a punctului caracteristic
- unghiul de presiune δ ,
- unghiul de transmitere γ ,
- raza de curbură a profilului camei în punctul caracteristic ρ

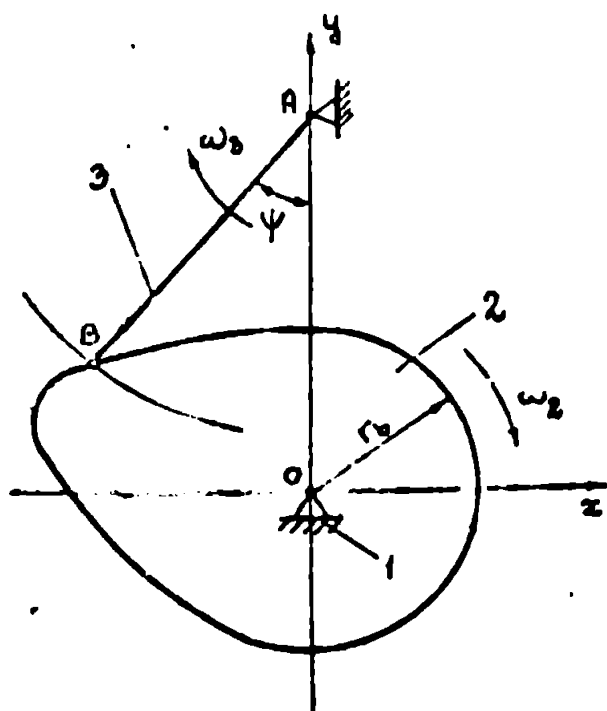


fig. 8.1

Pentru aflarea acestor elemente încadrăm mecanismul într-un sistem de axe xoy aşa cum se vede în fig. 8.1 unde $AB = \ell$ este lungimea tachtului şi $AO = d$ distanţa între axe. Pentru a asigura o precizie corespunzătoare de calcul, funcţia de intrare se împarte într-un număr finit de intervale $d\varphi$. Din diagrama acestei funcţii $s = s(\varphi)$ se aleg trei poziţii succesive carecari pentru care notăm :

$$1 \quad \varphi = \varphi_{j-1}, \quad s = s_{j-1}$$

$$2 \quad \varphi = \varphi_j, \quad s = s_j$$

$$3 \quad \varphi = \varphi_{j+1}, \quad s = s_{j+1}$$

Pentru stabilirea algoritmului de calcul în fig. 8.2 s-au reprezentat cele

trei puncte notate cu M, B, P, care aparţin profilului camei pentru a afla viteza de mişcare a mecanismului. Bazele lor vectoriale au dimensiunile date

mai jos: $OM = s_{j-1}$, $OB = s_j$ și $OP = s_{j+1}$

Dacă se alege un pas de divizare $d\varphi$ suficient de mic atunci se pot face următoarele afirmații :

- segmentul de dreaptă PM este paralel cu tangenta la profilul camii în punctul caracteristic B ,
- Direcția NT \perp AB pe care se deplasează punctul caracteristic formează cu direcția dreptei PM un unghi egal cu unghiul de transmitere γ ,
- mediatoarele segmentelor PB și BM se intersectează în punctul R și $BR = \rho$ este raza de curbură a profilului camii

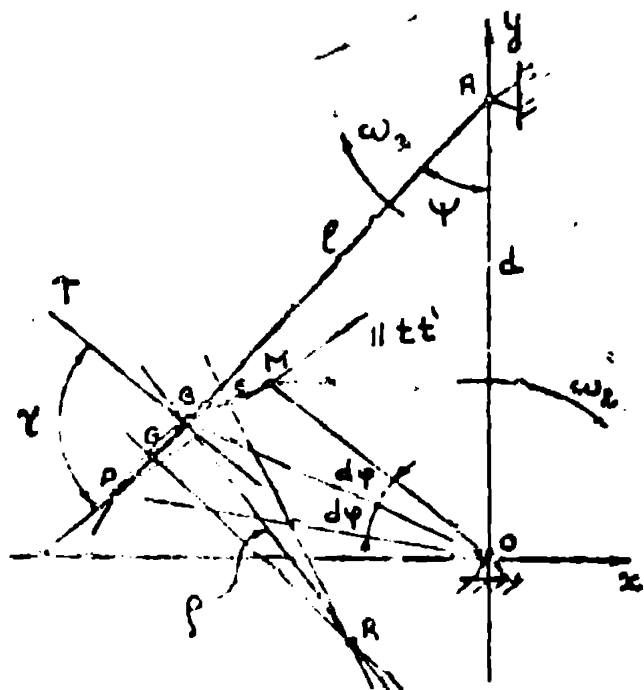


Fig. 3.2

Pentru determinarea elementelor geometrice enumerate anterior este necesară calcularea coordonatelor punctelor P, B și M pentru fiecare poziție a mecanismului.

Coordonatele cautate rezultă în urma

executării unei succesiuni de operații prezentată în cele ce urmează:

1) se intersectează cercul λ de rază ℓ cu cercul O de rază s_j și rezultă coordonatele punctului B:

$$x_B = -\sqrt{s_j^2 - \left(\frac{d^2 - \ell^2 + s_j^2}{2d}\right)^2} \quad \text{și} \quad y_B = \frac{d^2 - \ell^2 + s_j^2}{2d} \quad (8.1)$$

2) prin punctul O se dau dreptele OP și OM, rotite stînga, respectiv dreapta cu unghiul $d\varphi$ față de direcția OB,

3) se intersectează cercul de rază s_{j-1} cu centrul în O cu direcția OM și rezultă coordonatele punctului M:

$$x_M = -\frac{s_{j-1}}{(1 + \operatorname{tg}^2 \alpha_M)^{0,5}} \quad \text{și} \quad y_M = \frac{s_{j-1} \cdot \operatorname{tg} \alpha_M}{(1 + \operatorname{tg}^2 \alpha_M)^{0,5}} \quad (8.2)$$

unde α_M este unghiul de înclinare al dreptei OM,

4) se intersectează cercul de rază s_{j+1} cu centrul în O cu direcția OP și rezultă coordonatele punctului

$$x_P = - \frac{s_{i+1}}{(1 + \operatorname{tg}^2 \alpha_p)^{0,5}} \quad \text{și} \quad y_P = - \frac{s_{i+1} \operatorname{tg} \alpha_p}{(1 + \operatorname{tg}^2 \alpha_p)^{0,5}}$$

unde α_p este unghiul de înclinare al dreptei OP ,

5) prin punctul B se duce o dreaptă paralelă la dreapta MP , dreaptă care este paralelă cu tangenta la profil și are coeficientul unghiular

$$\operatorname{tg} \alpha_t = (y_M - y_P) / (x_M - x_P),$$

6) rotită cu 90° față de această direcție se duce normala la profilul camii în punctul B ,

7) cunoscînd coordonatele punctelor B și A se calculează mărimea unghiului ψ ,

8) prin punctul B se duce dreapta $BT \perp AB$, deci avînd față de axa ox o înclinare de $180^\circ - \psi$,

9) unghiul de presiune δ este egal cu unghiul format de direcțiile BT și normala nn' ,

10) se face media aritmetică a coordonatelor perechilor de puncte $M - B$ și $B - P$ rezultînd astfel coordonatele punctelor E și G ,

11) prin punctele E și G se duc mediatoarele segmentelor BM și BP , la intersecția cărora se află punctul R . Coordonatele acestui punct sînt următoarele:

$$x_R = \frac{(\operatorname{tg} \alpha_E \cdot x_E - \operatorname{tg} \alpha_G \cdot x_G) - (y_E - y_G)}{\operatorname{tg} \alpha_E - \operatorname{tg} \alpha_G} \quad (8.4)$$

$$y_R = \frac{(x_E - x_G) \operatorname{tg} \alpha_E \operatorname{tg} \alpha_G + (y_E \operatorname{tg} \alpha_G - y_G \operatorname{tg} \alpha_E)}{\operatorname{tg} \alpha_E - \operatorname{tg} \alpha_G}$$

12) avîm raza de curbură a profilului camii determinată pe baza coordonatelor punctelor B și R , $\rho = BR$

$$\rho = ((x_B - x_R)^2 + (y_B - y_R)^2)^{0,5} \quad (8.5)$$

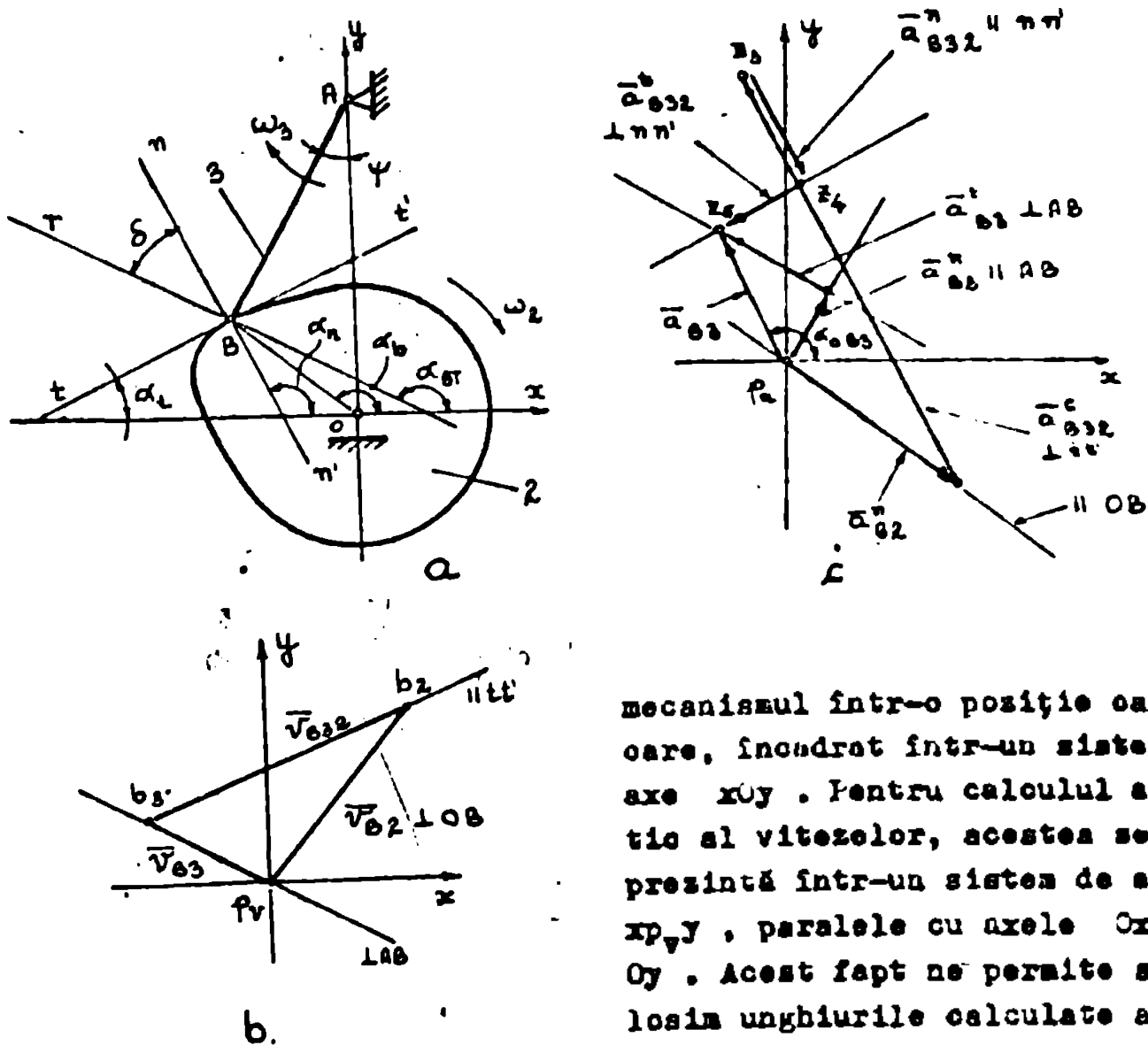
În baza algoritmului de calcul prezentat mai sus s-a elaborat un program de calcul, care permite utilizarea calculatorului electronic la rezolvarea acestei probleme ce implică multe calcule de mare precizie.

Metoda permite determinarea punctelor care formează profilul ~~teoretic~~ al camii, coordonatele acestora putînd fi utilizate la executarea camii pe o mașină de frezat cu comandă numerică. Precizia

Calcululelor efectuate la calculatorul electronic sînt acoperitoare pentru precizia de $1\mu\text{m}$ cu care lucrează în general aceste mașini unelte.

8.2 Analiza cinematică a mecanismului de perforare

Avînd determinate elementele geometrice ale mecanismului, $AB = \ell$ lungimea tachetului, $AO = d$ distanța dintre axe, r_1 raza cercului de bază și $s = s(\varphi)$ funcția de intrare, precum și mărimile $\psi, \alpha_B, \alpha_{B1}, \alpha_n, \alpha_t, \delta, \varphi$ pentru fiecare poziție studiată, se poate trece la calculul analitic al vitezelor și accelerațiilor elementelor. În continuare se vor determina forțele care solicită aceste elemente și reacțiunile în cuple. În fig. 8.3 s-a prezentat



mechanismul într-o poziție care-oare, încadrat într-un sistem de axe xOy . Pentru calculul analitic al vitezelor, acestea se reprezintă într-un sistem de axe $x_p y_p$, paralele cu axele Ox și Oy . Acest fapt ne permite să folosim unghiurile calculate anterior la determinarea coordonate-

fig. 8.3

er punctelor b_2 și b_3 din fig. 8.3b . Mărimea vitezei \bar{v}_{B2} este cunoscută iar pentru vitezele \bar{v}_{B3} și \bar{v}_{B32} cunoaștem direcțiile. Aceste viteze satisfac relația următoare: $\bar{v}_{B3} = \bar{v}_{B2} + \bar{v}_{B32}$, unde $v_{B2} = \omega_2 \cdot \rho(OB)$ și $OB = s_j$, scos din funcția de intrare.

Se calculează coordonatele punctului b_2 din poligonul vitezelor:

$$x_{b2} = v_{B2} \cos(\alpha_B - 90^\circ) \quad \text{și} \quad y_{b2} = v_{B2} \sin(\alpha_B - 90^\circ)$$

Putem scrie în continuare ecuația dreptelor suport ale vitezelor relative \bar{v}_{B32} și a vitezei \bar{v}_{B3} , la intersecția cărora se vor găsi coordonatele punctului b_3 :

$$\begin{cases} y = \operatorname{tg} \alpha_t \cdot x + y_{b2} - \operatorname{tg} \alpha_t \cdot x_{b2} \\ y = \operatorname{tg} \alpha_{BT} \cdot x \end{cases} \quad (8.6)$$

și rezultă:
$$x_{b3} = \frac{y_{b2} - \operatorname{tg} \alpha_t \cdot x_{b2}}{\operatorname{tg} \alpha_{BT} - \operatorname{tg} \alpha_t} \quad \text{și} \quad y_{b3} = \frac{\operatorname{tg} \alpha_{BT} (y_{b2} - x_{b2} \cdot \operatorname{tg} \alpha_t)}{\operatorname{tg} \alpha_{BT} - \operatorname{tg} \alpha_t}$$

Cunoscînd coordonatele acestui punct putem calcula imediat valoarea vitezelor \bar{v}_{B3} și \bar{v}_{B32} :

$$v_{B3} = (x_{b3}^2 + y_{b3}^2)^{0,5} \quad (8.7)$$

$$v_{B32} = ((x_{b2} - x_{b3})^2 + (y_{b2} - y_{b3})^2)^{0,5}$$

Pentru calculul analitic al accelerațiilor recurgem la figura 8.3a unde planul accelerațiilor pentru poziția dată s-a reprezentat într-un sistem de axe x_p, y , paralele și acustea cu axele Ox și Oy . Accelerația punctului B_3 rezultă prin închiderea a două poligoane a accelerațiilor:

$$\begin{cases} \bar{a}_{B3} = \bar{a}_{B3}^n + \bar{a}_{B3}^t \\ \bar{a}_{B32} = \bar{a}_{B2}^n + \bar{a}_{B32}^c + \bar{a}_{B32}^n + \bar{a}_{B32}^t \end{cases} \quad (8.8)$$

unde:

$$\begin{aligned} a_{B3}^n &= \frac{v_{B3}^2}{\rho(AB)} & // \text{ cu } AB & \quad a_{B32}^c = 2\omega_2 \cdot v_{B32} & \perp \text{ st} \\ a_{B3}^t &= \perp AB & \quad a_{B32}^n &= \frac{v_{B32}^2}{\rho} & // \text{ cu } AB \\ a_{B2}^n &= \omega_2^2 \cdot \rho(OB) & // \text{ cu } OB & \quad a_{B32}^t &= \perp AB \end{aligned}$$

Virfurile vectorilor care reprezintă aceste accelerații în planul x_p, y s-au notat cu literele $z_1 \dots z_5$.

Sistemul, format din cele două ecuații are două necunoscute și anume valoarea accelerațiilor a_{B3}^n și a_{B32}^t . Determinând coordonatele punctului z_5 din planul accelerațiilor putem calcula aceste necunoscute și implicit valoarea și direcția accelerației a_3 .

În acest sens procedăm în felul următor:

- cunoscând valorile și direcțiile accelerațiilor se vor determina coordonatele punctelor z_1 și apoi z_2, z_3 și z_4 .
- scriem ecuațiile dreptelor care trec prin punctele z_1 și z_4 după direcțiile $\perp AB$ și respectiv $\perp mn'$.

Coordonatele punctului z_1 :

$$x_{z1} = a_{B3}^n \cos \psi_1 \quad y_{z1} = a_{B3}^n \sin \psi_1$$

Ecuația dreptei suport pentru accelerația \bar{a}_{B3}^t este următoarea:

$$y = \operatorname{tg} \alpha_M \cdot x + y_{z1} - \operatorname{tg} \alpha_M \cdot x_{z1} \quad (8.9)$$

Se dau în continuare coordonatele punctelor z_2, z_3 și z_4 :

$$z_2: \quad x_{z2} = a_{B2}^n \cos(180^\circ + \alpha_1), \quad y_{z2} = a_{B2}^n \sin(180^\circ + \alpha_1)$$

$$z_3: \quad x_{z3} = x_{z2} - a_{B32}^c \cos(180^\circ - \alpha_n), \quad y_{z3} = y_{z2} + a_{B32}^c \sin(180^\circ - \alpha_n)$$

$$z_4: \quad x_{z4} = x_{z3} + a_{B32}^n \cos(180^\circ - \alpha_1), \quad y_{z4} = y_{z3} - a_{B32}^n \sin(180^\circ - \alpha_1)$$

Ecuația dreptei suport pentru accelerația \bar{a}_{B32}^t este:

$$y = \operatorname{tg} \alpha_t \cdot x + y_{z4} - \operatorname{tg} \alpha_t \cdot x_{z4} \quad (8.10)$$

Coordonatele punctului z_5 rezultă la intersecția dreptelor suport date în formulele de mai sus:

$$z_{z5} = \frac{(y_{z1} - y_{z4}) + (\operatorname{tg} \alpha_t \cdot x_{z4} - \operatorname{tg} \alpha_M \cdot x_{z1})}{\operatorname{tg} \alpha_t - \operatorname{tg} \alpha_M} \quad (8.11)$$

$$y_{z5} = \operatorname{tg} \alpha_t \cdot x_{z5} + y_{z4} - \operatorname{tg} \alpha_t \cdot x_{z4} \quad (8.12)$$

Se calculează în continuare mărimea și direcția lui \bar{a}_{B3} cu formulele:

$$a_{B3} = (x_{z5}^2 + y_{z5}^2)^{0,5} \quad (8.13)$$

$$\alpha_{a_{B3}} = \operatorname{arctg} \frac{y_{z5}}{x_{z5}} \quad (8.14)$$

Aceleași rezultate se pot obține și printr-un procedeu de proiectare a vectorilor viteză și accelerație pe direcțiile axelor de coordonate.

Pentru poligonul vitezelor, proiecțiile pe cele două axe duc la următoarele ecuații:

$$\begin{cases} v_{B2} \cos(\alpha_B - 90^\circ) - v_{B32} \cos \alpha_t = v_{B3} \cos \psi \\ v_{B2} \sin(\alpha_B - 90^\circ) - v_{B32} \sin \alpha_t = v_{B3} \sin \psi \end{cases} \quad (8.15)$$

și rezultă:

$$v_{B3} = \frac{v_{B2} \cos(\alpha_B - 90^\circ) - v_{B32} \cos \alpha_t}{\cos \psi} \quad (8.16)$$

$$v_{B32} = \frac{v_{B2} (\sin(\alpha_B - 90^\circ) - \cos(\alpha_B - 90^\circ) \operatorname{tg} \psi)}{\sin \alpha_t - \cos \alpha_t \operatorname{tg} \psi} \quad (8.17)$$

Același metodă se poate aplica și în cazul accelerațiilor, făcând proiecția celor două contururi poligonale pe axele p_{B2} și p_{B3} de unde rezultă următoarele ecuații:

$$\begin{cases} a_{B2}^n \cos(180^\circ + \alpha_B) - a_{B32}^c \cos(180^\circ - \alpha_n) + a_{B32}^n \cos(180^\circ - \alpha_n) - \\ - a_{B32}^t \cos \alpha_t = a_{B3}^n \sin \psi - a_{B3}^t \cos \psi \\ - a_{B2}^n \sin(180^\circ + \alpha_B) + a_{B32}^c \sin(180^\circ - \alpha_n) - a_{B32}^n \sin(180^\circ - \alpha_n) - \\ - a_{B32}^t \sin \alpha_t = a_{B3}^n \cos \psi + a_{B3}^t \sin \psi \end{cases} \quad (8.18)$$

Din sistemul de mai sus rezultă valorile accelerațiilor a_{B32}^t și a_{B3}^t . Accelerația punctului B_3 se calculează cu formula:

$$a_{B3} = ((a_{B3}^n)^2 + (a_{B3}^t)^2)^{0,5} \quad (8.19)$$

și direcția ei: $\alpha_{aB3} = 90^\circ - \psi + \operatorname{arctg} \frac{a_{B3}^t}{a_{B3}^n}$ (8.20)

8.5. Calculul forțelor și al reacțiunilor care solicită elementele constructive ale mecanismului.

Pentru a calcula reacțiunile din cuplurile mecanismului, executăm diagrama de echilibru a tacheului, care având o mișcare de oscilație în jurul articulației A cu o viteză variabilă, este supus la

la solicitarea forței de inerție. În fig. 8.4 se prezintă diagrama forțelor care solicită tacketul într-o poziție carucare. Greutatea tacketului acționează în centrul de greutate G după o direcție verticală $G = mg$ unde m este masa tacketului. Forța de inerție acționează în punctul K și este paralelă cu direcția accelerației \bar{a}_{B3} având mărimea:

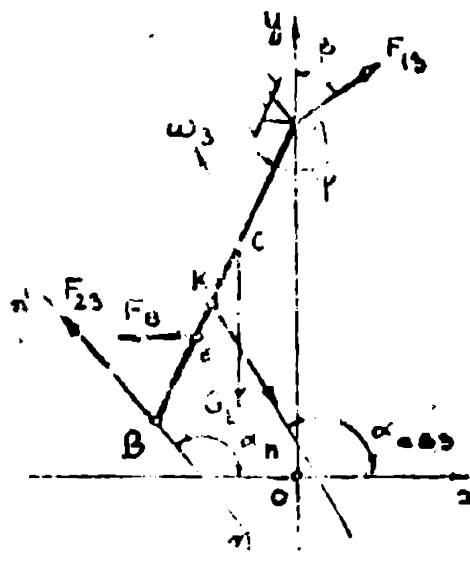


fig. 8.4

$$F_i = -m \cdot a_0$$

unde a_0 este accelerația centrului de greutate:

$$a_0 = \frac{a_B \cdot AK}{AB} \quad (8.21)$$

Lungimea segmentului AK se calculează conform teoremei lui Steiner [55]:

$$AK = \frac{I_G}{m \cdot r_G} + r_G \quad (8.22)$$

unde I_G momentul de inerție al tacketului față de axa care trece prin centrul de greutate G și este perpendiculară pe planul de mișcare, iar $r_G = AG$.

În punctul B se aplică forța elastică a unui arc F_e care asigură închiderea cuplei superioare camă - tacket.

Această forță are două componente: $F_e = F_{e1} + F_{e2}$ (8.23)

unde F_{e1} este forța elastică de pretenționare realizată la montare

F_{e2} este forța elastică suplimentară datorată mișcării de oscilație a tacketului și are valoarea calculată cu următoarea formulă:

$$F_{e2} = k s_1 \frac{AB}{AB} \quad (8.24)$$

unde k constanta elastică a resortului

s_1 deplasarea punctului caracteristic B față de poziția inițială.

Reacțiunea F_{21} între camă și tacket are o mărime necunoscută, cunoștința ei să este orientată după direcția normalei n_1 .

Reacțiunea F_{12} a batiului față de tacket este o forță care are punctul de aplicare în articulația A și este necunoscută atât mărime cât și direcție.

Pentru a calcula reacțiunea F_{23} scriem bilanșul momentelor față de

față de articulația A și rezultă:

$$F_{23} = \frac{F_1 \cdot AK \cdot \cos(180^\circ - \alpha_{AB3} - \psi) + F_0 \cdot AE \cos \psi + G \cdot AC \cdot \sin \psi}{AB \cdot \cos(180^\circ - \alpha_n - \psi)} \quad (8.25)$$

Componentele reacțiunii F_{13} rezultă prin rezolvarea sistemului de două ecuații care se obțin prin însumarea proiecțiilor forțelor în direcțiile Ox și Oy . Cele două ecuații sînt:

$$\begin{cases} F_{23} \cdot \cos(\alpha_n - 90^\circ) - F_1 \cdot \cos(\alpha_{AB3} - 90^\circ) - G + F_{13} \cdot \sin \beta = 0 \\ - F_{23} \cdot \sin(\alpha_n - 90^\circ) + F_0 + F_1 \cdot \sin(\alpha_{AB3} - 90^\circ) + F_{13} \cdot \cos \beta = 0 \end{cases} \quad (8.26)$$

Rezolvînd acest sistem rezultă modulul și direcția reacțiunii. Cînd F_0 și F_1 sînt de semn contrar (faza de revenire) atunci se va analiza raportul momentelor $F_1 \cdot AK \cdot \cos(180^\circ - \alpha_{AB3} - \psi)$ și $F_0 \cdot AE \cdot \cos \psi$ pentru a constata dacă se asigură contactul la nivelul cuplei superioare din acest punct de vedere.

8.4 Abaterile funcției de ieșire a mecanismului datorate deformărilor elastice ale elementelor

8.4.1 Introducere

Sub acțiunea forțelor calculate anterior, elementele constitutive ale mecanismului suferă deformații elastice care modifică funcția de ieșire. Avînd în vedere modelul matematic ales pentru analiza și sinteza dinamică a mecanismului, precum și soluția constructivă adoptată, se poate aprecia că deformațiile elastice apar la nivelul a două elemente componente:

- a) deformarea prin încovoire a taceiului mecanismului,
- b) deformarea prin răsucire a arborelui camii.

Se presupune deci că batiul mecanismului precum și cama sînt elemente care prezintă o rigiditate infinită.

Pentru simplificarea calculului se consideră taceiul ca și bară avînd o secțiune dreptunghiulară constantă pe toată lungimea lui.

8.4.2 Calcularea deformărilor taceiului

Pentru determinarea abaterii funcției de ieșire, datorate defor-

mării elastice a tachelului, acesta se consideră ca și o grindă articulată în punctul A și rezemată în punctul B. Reazemul din punctul B permite și deplasarea longitudinală a acestui punct așa cum se vede și în fig. 8.5. Calculele se fac cu neglijarea greutății tachelului în comparație cu forța elastică F_0 și forța de inerție F_1 .

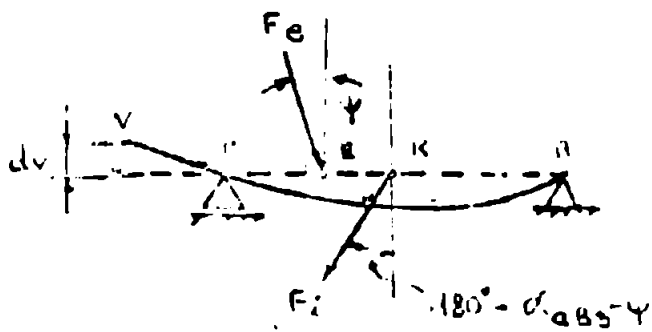


fig. 8.5

Abateră care are loc la vârful V al tachelului se notează cu d_v^i și se calculează prin super-

punerea efectelor componentelor verticale (transversale) ale celor două forțe:

$$F_{0v} = F_0 \cdot \cos \psi \quad (8.27)$$

$$\text{și } F_{1v} = F_1 \cdot \cos(180 - \alpha - \psi)$$

Dacă implicit considerăm că arborul de rotire al grinzii în punctul B are două componente:

$$\varphi_B = \varphi_{B0} + \varphi_{B1} \quad (8.28)$$

unde:

$$\varphi_{B0} = \frac{F_{0v} \cdot AK \cdot BK \cdot (AK + BK)}{G \cdot E \cdot I_2 \cdot AB} \quad (8.29)$$

Dacă notăm cu b și h lățimea și grosimea tachelului, atunci:

$$I_2 = b \cdot h^3 / 12 \quad \text{iar} \quad E = 2,1 \cdot 10^6 \text{ daN cm}^{-2}$$

Altfel se calculează și componenta φ_{B1} :

$$\varphi_{B1} = \frac{F_{1v} \cdot AK \cdot BK \cdot (AK + BK)}{G \cdot E \cdot I_2 \cdot AB} \quad (8.30)$$

Abateră d_v^i se determină cu formula: $d_v^i = EY \cdot \text{tg } \varphi_B \quad (8.31)$

Deoarece forțele F_0 și F_1 își modifică mărimea și direcția în timpul ciclului de funcționare, se poate spune că și abateră d_v^i își modifică valoarea și sensul față de poziția neutră reprezentată în figura de la început. Deformarea grinzii așa cum se prezintă în figură, corespunde la faza de ridicare a tachelului.

8.2. Calcularea deformărilor arborelui camei

Deformarea prin torsiune a arborelui camei se produce sub efectul

sul momentului de torsiune dat de forța de reacțiune F_{32} și se calculează cu formula

$M_t = F_{32} \cdot d$. In fig. 8.5 se vede că brațul forței este dat de relația: $d = OB \cdot \sin(\alpha_b - \alpha_n)$

unde $OB = s_1$ și deci

$$d = s_1 \cdot \sin(\alpha_b - \alpha_n) \quad (8.32)$$

Unghiul de torsiune a arborelui cimei se calculează cu formula

$$\theta = \frac{M_t \cdot l}{G \cdot I_p} \quad (8.33)$$

unde cu l s-a notat lungimea arborelui cimei, $G = 0,85 \cdot 10^6$ cm^{-2} modulul de elasticitate transversal și $I_p = d^4/32$ este momentul de inerție polar al arborelui, unde d este diametrul acestuia.

Cunoscând valorile forței F_{32} la diverse poziții ale ciclului de

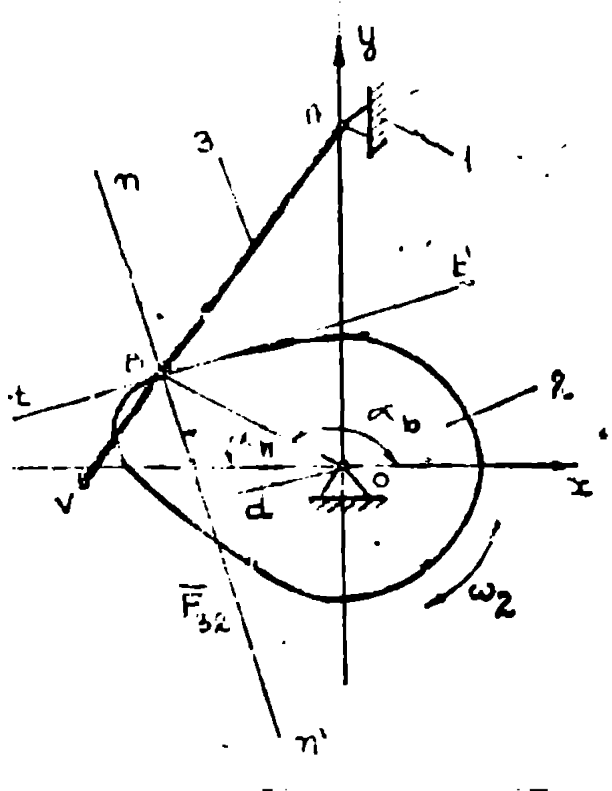


fig. 8.6

funcționare, se pot determina unghiurile de torsiune θ_1 corecte punzătoare.

Pentru faza de ridicare a tchetului sensul de torsiune este opus față de sensul de rotire a cimei. Prin urmare pentru o poziție oarecare a cimei, funcția de ieșire va fi deplasată în urmă cu unghiul θ_1 și punctul B se va deplasa spre dreapta cu mărimea:

$$d_B = s(\varphi_1) - s(\varphi_1 - \theta_1) \quad (8.34)$$

În nivelul virfului V al tchetului arborelui se notează cu d_V'' și se calculează cu formula

$$d_V'' = d_B \frac{AV}{AB} \quad (8.35)$$

8.4.4 Măsurarea deformărilor elastice ale elementelor mecanismului

După cum se observă, pentru faza de ridicare, fază în care se realizează și funcția de ieșire dorită, erorile introduse prin deformarea tchetului și a arborelui cimei sînt de sensu contrar. De-

rindu-noi la fig. 3.5 putem afirma că dacă încovoierea tachtetului lungește punctul caracteristic în avans și deci abaterea d'_v poate fi considerată cu semnul plus, atunci torsionarea arborelui camei o plasează rezemul B în jos și abaterea d''_v este negativă.

Accastă situație ne oferă posibilitatea de a compensa cele două abateri. Operațiunea de compensare se va realiza prin egalizarea abaterii d'_v cu abaterea maximă d''_v . Pentru această din mulțimea de valori ale d'_v se alege valoarea maximă și se egalizează această valoare cu abaterea d''_v corespunzătoare aceleiași poziții. Chiar dacă

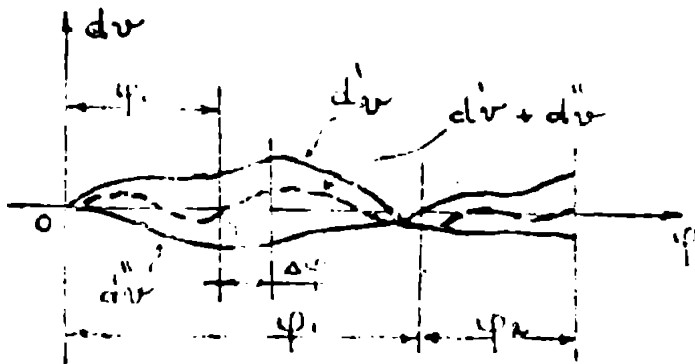


Fig. 3.7

maximale celor două funcții $d'_v = d'_v(\psi)$ și $d''_v = d''_v(\psi)$ prezintă un deplasaj $\Delta\psi$, eroarea totală a funcției de ieșire se va micșora și va prezenta o valoare nulă întru poziția aliniată în vederea compensării, așa cum se vede și în fig. 3.7, unde suma celor două abateri este prezentată cu linie întreruptă.

Deci pentru $\psi = \psi_0$ când $d''_v = |d''_v|_{\max}$ se va asigura că:

$$|d'_v| = |d''_v|_{\max} = 0 \quad (3.30)$$

Compensarea abaterilor pentru $\psi = \psi_0$ se poate executa pe două moduri distincte sau combinate și anume:

- modificarea rigidității tachtetului și a arborelui prin schimbarea mărimilor geometrice b , n și d ,
- modificarea lungimii elementelor.

Dacă adoptăm cea de a doua metodă și considerăm lungimea tachtetului fixă deci $l_{AB} = ct.$, compensarea se poate face prin dilatarea corespunzătoare a capătului liber al tachtetului BV, deci se egalizează

valoarea $|d'_v| = |d''_v|_{\max}$, iar pentru $|d''_v|_{\max}$ corespunde deplasarea $|d_B|_{\max}$ și egalitatea de mai sus devine:

$$BV \cdot \text{tg } \varphi_B = |d_B|_{\max} \frac{AV}{AB} \quad (3.31)$$

în formula de mai sus înlocuim $AV = AB + BV$ și rezultă:

$$BV = \frac{|d_B|_{\max}}{\text{tg } \varphi_B - |d_B|_{\max}/AB} \quad (3.32)$$

Din cele expuse mai sus se poate trage concluzia că printr-o ajustare corespunzătoare a dimensiunilor elementelor din componența mecanismului, abaterile funcției de ieșire datorate deformărilor elastice se pot compensa pînă la nivelul unei precizii dorite. Acest procedeu de compensare înlătură necesitatea mării rigidității elementelor în vederea micșorării deformațiilor elastice, mărire care duce inevitabil la mărirea greutății elementelor și decîtăii a forțelor de inerție, ceea ce implică dezavantaje din punct de vedere dinamic.

Compensarea deformațiilor elastice prin recalcularea lungimii tachmentului este varianta cea mai simplă și rapidă și se poate utiliza atunci cînd modificarea vitezei punctului V nu are efect asupra funcției de ieșire.

În cazul mecanismului pentru perforarea cartelelor, parametrul funcției de ieșire este tocmai proiecția vitezei punctului V pe direcția de transport a cartelei. Modificarea lungimii tachmentului impune reluarea sintezei mecanismului. De aceea în acest caz se va procedea la compensarea deformațiilor elastice prin modificarea rigidității tachmentului sau a arborelui camii.

Dacă egalînd cele două componente ale abaterii se va impune unghiul de rotire φ_B și va rezulta deplasarea punctului B , deplasare care va impune la rîndul ei un anumit unghi de torsionare și deci un diametru corespunzător pentru arborele camii. Din formula (8.37) rezultă:

$$|d_B|_{\max} = \frac{AB \cdot BY \cdot \tan \varphi}{AV} \quad (8.37)$$

și se calculează deplasarea corespunzătoare:

$$s(\varphi_1 - \theta_1) = s(\varphi_1) - |d_B|_{\max} \quad (8.40)$$

Din diagrama funcției de intrare $s = s(\varphi)$ rezultă unghiul φ_1 pentru care se realizează deplasarea $s(\varphi_1 - \theta_1)$ și se determină unghiul de torsionare necesar:

$$\theta_1 = \varphi_1 - \varphi_2 \quad (8.41)$$

Cu ajutorul formulei pentru calcularea momentului de torsionare al arborelui se determină momentul de inerție pe care trebuie să-l aibă arborele:

$$I_p = \frac{\theta_1 \cdot G}{M_T \cdot l} \quad (8.42)$$

și în final rezultă diametrul arborelui: $d = \left(\frac{32 \cdot I_p}{\pi} \right)^{0,25} \quad (8.43)$

La proiectarea mecanismului se pot lua în considerare și alte variante de compensare cum ar fi:

- a) compensarea valorilor maxime ale abaterilor, chiar dacă aceste maxime se găsesc la unghiuri diferite în cadrul ciclului:

$$|d'_v|_{\max} = |d''_v|_{\max}$$

- b) compensarea abaterii maxime dată de deformarea tachtetului:

$$|d'_v|_{\max} = |d''_v|_{\max},$$

unde valoarea lui d''_v rezultă din diagramă, corespunzătoare unghiului pentru care d'_v are valoarea maximă.

8.5 Utilizarea programului pentru sinteza mecanismului de perforare

8.5.1 Prezentarea programului

Programul elaborat pentru sinteza cu ajutorul calculatorului a mecanismelor cu came, este un program specializat pentru rezolvarea unor probleme specifice legate de sinteza mecanismelor cu tachtet oscilant, care prezintă pentru funcția de ieșire un palier de viteză constantă.

Utilizarea calculatorului permite rezolvarea într-un timp relativ scurt a calculelor legate de:

- determinarea funcției de intrare,
- corectarea funcției de intrare,
- calcularea coordonatelor profilului caracteristic a camii,
- calcularea unghiului de presiune și indicarea pozițiilor pentru care se depășește valoarea maximă admisă,
- verificarea existenței posibilității de desprindere contactului camă-tachtet și recalcularea vitezei pentru care nu mai au loc desprinderi,
- calcularea deplasărilor vârfului tachtetului, deplasări datorate deformărilor elastice în vederea compensării acestora

Pentru calcularea coeficienților polinoamelor care reprezintă zone ale funcției de intrare, se apelează la programul RESOL din biblioteca matematică a calculatorului. Actualizarea datelor de calcul, respectiv matricea coeficienților ecuației precum și vectorul coloană a termenilor liberi se face prin intermediul variabilelor in-

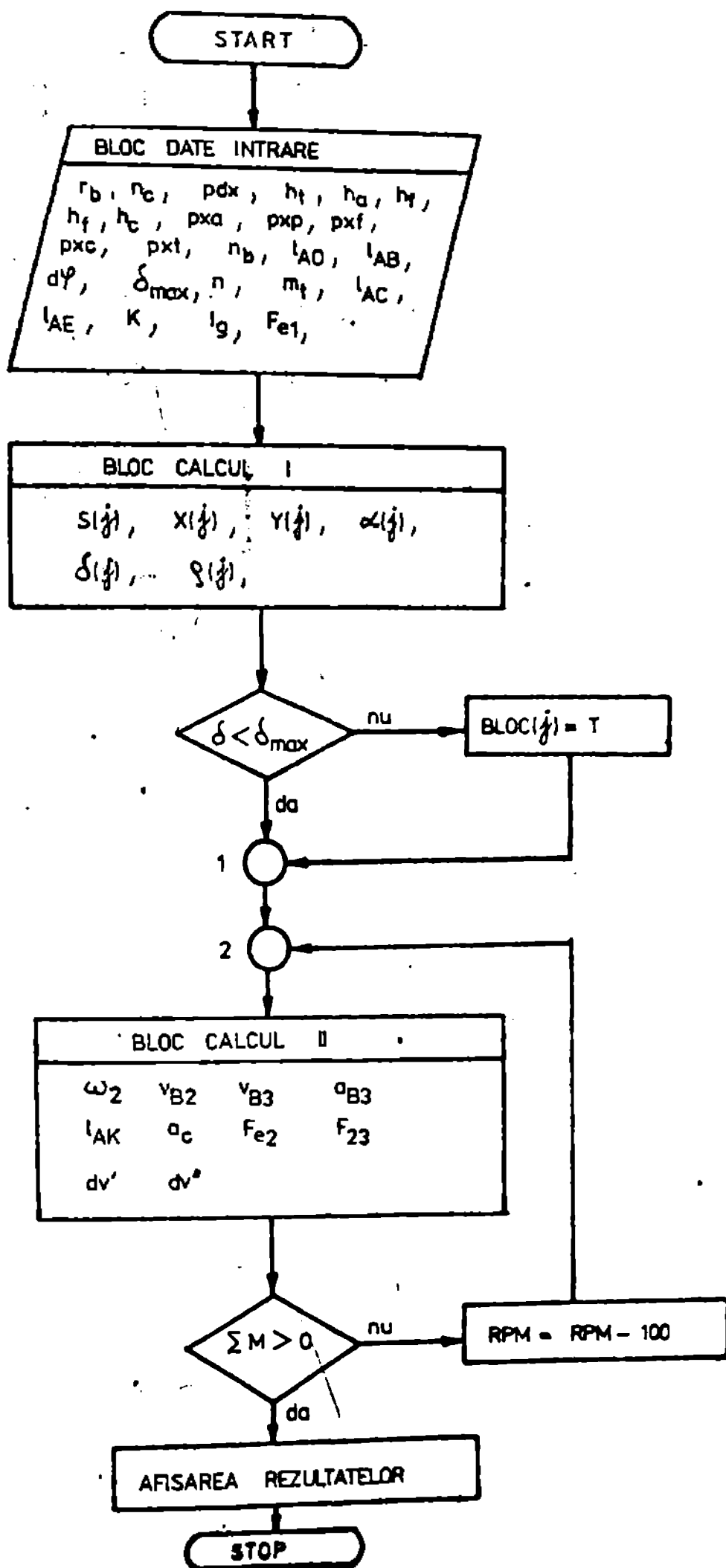


fig. 8.8

datele MATRI și RIGHT. Datele inițiale necesare desfășurării secvențelor de calcul sînt furnizate prin intermediul unor liste de date inițializate cu ajutorul unei instrucțiuni de tip DATA. Dacă la viteza de rotație pentru care a fost proiectat mecanismul nu constată apariția unor desprinderi se recalculează o viteză de lucru pentru care nu mai există acest fenomen. Diferența între cele două viteze permite proiectantului să aprecieze ce măsuri să impună. Măsurile ce ar putea fi luate sînt:

- analizarea și dacă este cazul, adoptarea altor funcții de intrare,
- modificarea masei și a dimen-

siunilor tachetului,

- mărirea forței de închidere a cuplei superioare,
- micșorarea performanțelor mecanismului prin micșorarea vitezei de rotire a axului camei.

Datele obținute în urma calculelor sînt redată într-un tabel cu rezultate. În acest tabel sînt cuprinse și coordonatele profilului caracteristic al camei.

În fig. 8.9 se dă ordinograma după care a fost realizat programul de calcul.

Pentru a avea o confirmare sigură a concluziilor obținute pe cale teoretică, concluzii care se aplică la sinteza și proiectarea mecanismelor, este evidentă necesitatea studierii și pe cale experimentală a acestora.

Realizarea practică și punerea la punct a mecanismului studiat și proiectat este un proces care nu poate fi considerat încheiat fără această confirmare experimentală.

Un loc important în cadrul programului pentru sinteza mecanismului de perforare îl ocupă partea referitoare la generarea funcției de intrare, parte ce cuprinde și varianta de generare a zonei de perforare cu profil corectat. Avînd în vedere necesitatea de a executa un profil de mace precizie pentru funcția de intrare, în cele ce urmează se acordă o importanță mai mare acestei zone.

În cadrul operațiunilor preliminare ale sintezei mecanismului se stabilesc o serie de mărimi geometrice corelate cu datele inițiale privind viteza de transport a cartelei, distanța între perforații, frecvența de perforare etc. Elementele geometrice care se stabilesc în prealabil sînt : lungimea tachetului , distanța între axe, înălțimea de ridicare a tachetului, raza cercului de bază, tîrul camei, viteza de rotație , etc. Sinteza mecanismului se desfășoară pe etape, așa cum se arată în continuare.

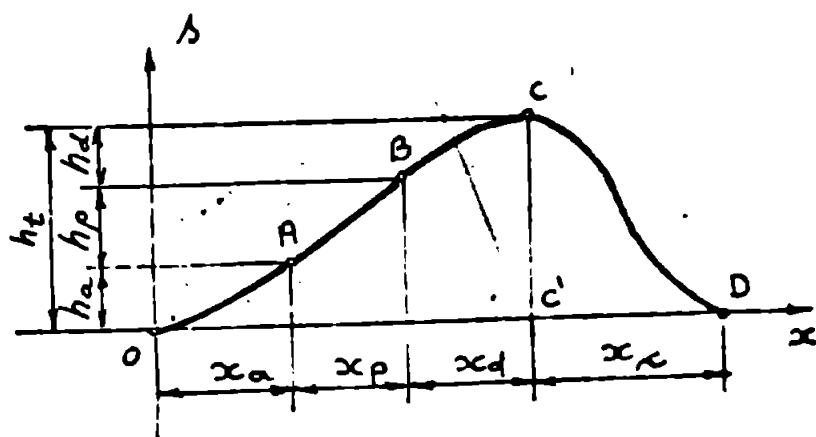


fig. 8.9

8.5.2 Generarea funcției de intrare

Prin program funcția de intrare se generează punct cu punct pentru toate fazele ciclului.

lui de funcționare. In fig. 8.9 este prezentată funcția de intrare $s = s(x)$ cu punctele A, B, C, D care marchează sfârșitul fazelor de lucru. Pe axa absciselor durata unui ciclu de perforare se poate diviza în procente, în milimetri sau în grade. In figură s-au făcut următoarele notații:

- x_a lungimea zonei de accelerare
- x_p lungimea zonei de perforare
- x_d lungimea zonei de decelerare
- x_c lungimea zonei de coborire
- h_a înălțimea de accelerare
- h_p înălțimea de perforare
- h_d înălțimea de decelerare

a) Zona de accelerare

Polinomul mișcării în zona de accelerare are forma :

$$s = Ax^4 + Bx^3 \quad (8.44)$$

unde coeficienții A și B se calculează din sistemul de ecuații dat mai jos:

$$\begin{cases} x_a^4 A + x_a^3 B = h_a \\ 4x_a^3 A + 3x_a^2 B = m \end{cases} \quad (8.45)$$

b) Zona de perforare cu profil necorectat

In acest caz mișcarea se desfășoară după o funcție liniară avind ecuația:

$$s = mx + h_a \quad (8.46)$$

c) Zona de perforare cu profil corectat

La determinarea profilului corectat a camii se va ține cont de sensul de rotire relativă camă-tachet, precum și de poziția articulațiilor A și O față de sistemul de axe. Formulele de corecție stabilite la capitolul 3 presupuneau că axa Ox' are direcția de mișcare a caretelei iar axa Oy' este paralelă cu poziția tachetului când punctul caracteristic B se află la mijlocul zonei de perforare, așa cum se vede și în fig. 8.10. Față de acest sistem, articulația tachetului se află la distanța $e = x_b + h_a + h_p/2$.

Decarece pentru determinarea analitică a unor parametrii geome-

trici, precum și la calculul cinematic și dinamic al mecanismului, acesta a fost încadrat într-un sistem de axe xOy rotit cu unghiul β față de sistemul de axe precedent, astfel încât: $\tan \beta = e/AB$.

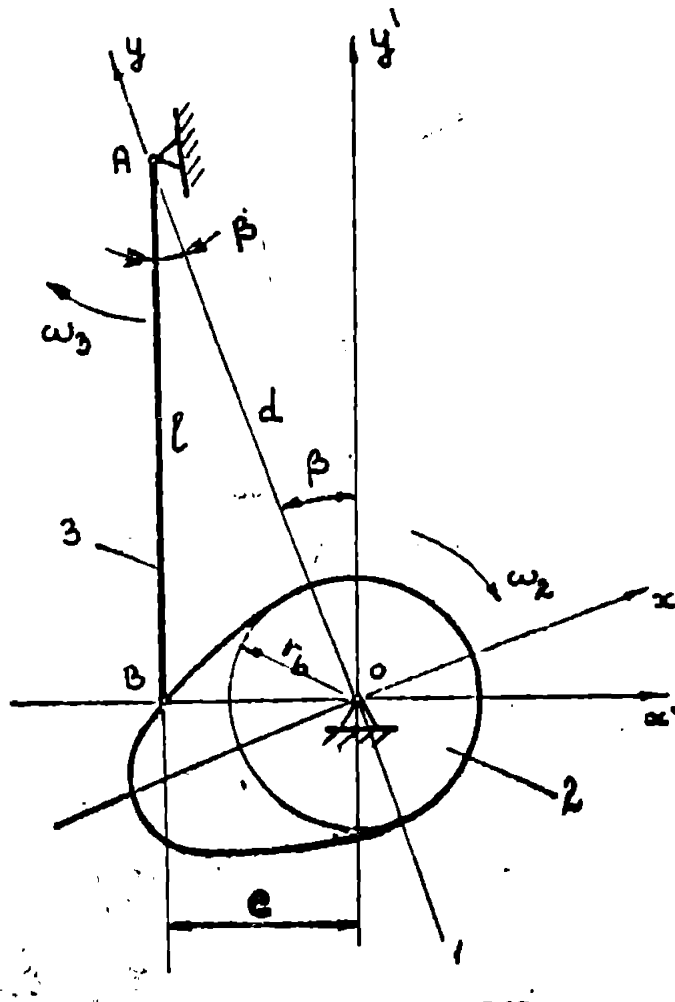


fig. 8.10

La corectarea funcției de intrare și deci a profilului camii trebuie să se țină cont de acest lucru.

În fig. 8.11 se prezintă elementele geometrice necesare calculării funcției corectate în această situație.

Presupunând că încercăm să realizăm cu ajutorul planului înclinat OM și a tachetului AB o funcție de mișcare a tachetului astfel încât proiecția vitezei punctului caracteristic B să fie constantă pe direcția OP. Această mișcare implică egalitatea segmentelor $P_1P_2 = P_2P_3 = \dots = P_7P_8$. În acest scop punctul B trebuie să parcurgă arce de cerc inegale în intervale de timp egale și să ocupe succesiv pozițiile $B_0, B_1, B_2, \dots, B_8$ care se găsesc la intersecția dreptelor

orizontale $P_1s_1, P_2s_2, \dots, P_8s_8$ cu arcul de cerc OB_5P_8 . Pentru a găsi curba reală care trebuie să comande mișcarea punctului caracteristic B, vom considera situația în care mișcarea este inversată și deplasăm punctul A pe direcția Ox succesiv în pozițiile A_1, A_2, \dots, A_8 egal distanțate. Punctele C_1 care se găsesc pe curba căutată se determină la intersecția cercurilor de rază $l = AB$ și centru A_1 cu dreptele orizontale P_1s_1 .

Din fig. 8.11 se vede că în cazul sensului de mișcare $V - A$, profilul corectat se obține prin deplasarea spre stînga a punctelor M_1 de pe profilul necorectat cu distanțe egale cu segmentele de dreaptă B_1s_1 și deci $C_1M_1 = B_1s_1$.

Avînd stabilite aceste elemente putem scrie ecuația funcției de intrare corectată.

Ordonata și abscisa punctului curent C_1 sînt următoarele:

$$y = l \cdot \sin \psi \quad \text{și} \quad x = \frac{y}{m} - l(1 - \cos \psi) \quad (8.47)$$

Pe baza relațiilor parametrice (8.47) din ecuația curburii și rezultată pentru funcția căutate sub forma :

$$y^2 \left(1 + \frac{1}{m^2} \right) + x^2 - \frac{2}{m} xy - \frac{2l}{m} y + 2lx = 0 \quad (8.48)$$

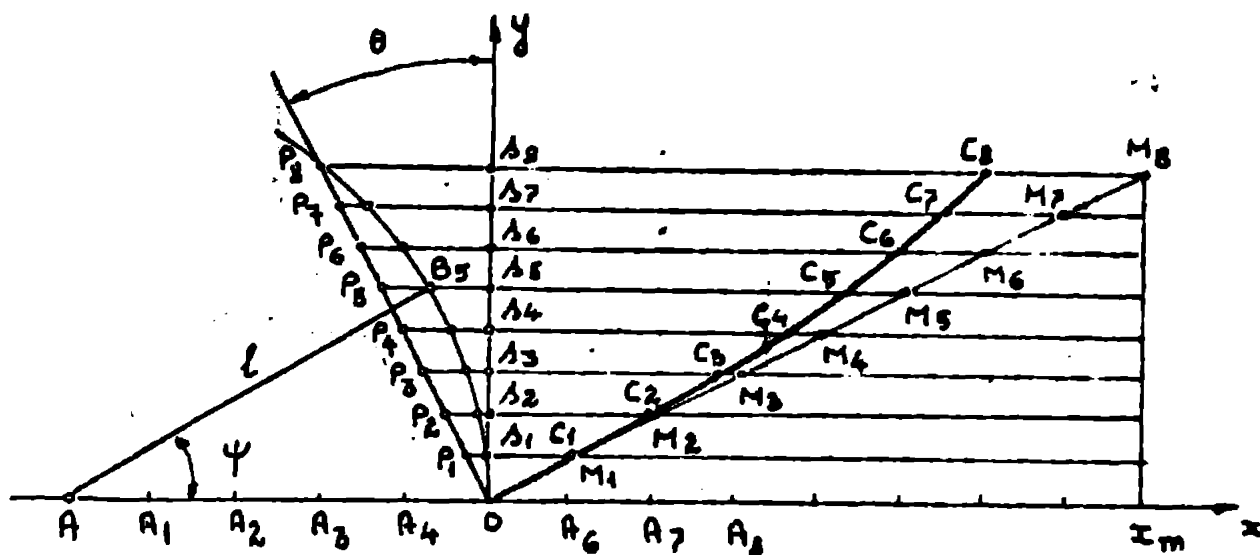


fig. 8.11

Din formulă cită și din figură rezultă că funcția de intrare care asigură o viteză constantă pentru proiecția punctului B pe dreapta OP, nu depinde de înclinarea θ , care influențează doar mărimea acesteia nu și modul de variație.

Pentru zona de perforare se va utiliza doar o porțiune din funcția de intrare, porțiune ce se racordează la zona de accelerare și la zona de decelerare.

În acest scop procedăm astfel :

- se intersectează curba OC_8 cu orizontala $y = r_b + h_a$ și se determină abscisa punctului C de racordare cu zona de accelerare. Dacă presupunem că $r_b + h_a = Os_3$ atunci punctul de racordare este C_3 iar x_3 abscisa lui;
- prin derivarea numerică a funcției de intrare în jurul punctului U_3 se determină panta de racord corectă m_1 cu care se va recalcula coeficienții A și B ai polinomului de racordare pentru zona de accelerare ;

- se calculează cu pasul dx , deci pentru valori $x = x_3 + jdx$, valorile funcției de intrare S_j pentru zona de perforare;
- presupunând că înălțimea zonei de perforare $h_p = s_3 s_7$, atunci punctul final al funcției pentru zona de perforare este C_7 ;
- prin derivarea funcției în jurul punctului C_7 se determină panta m_2 cu care se lucrează în continuare la racordarea polinomului de decelerare și la calcularea coeficienților lui.

Obținând cu $a = r_b + h_a$, abscisa punctului de racord se află rezolvând ecuația de mai jos:

$$x^2 + 2\left(\ell - \frac{a}{m}\right)x + a^2\left(1 + \frac{1}{m^2}\right) - 2\frac{\ell \cdot a}{m} = 0 \quad (8.49)$$

În această ecuație facem următoarele notații:

$$g = \ell - \frac{a}{m} \quad \text{și} \quad p = a^2\left(1 + \frac{1}{m^2}\right) - \frac{2\ell a}{m}$$

Ecuația devine $x^2 + 2gx + p = 0$ (8.50)

Soluția corespunzătoare este următoarea:

$$x = -g + \sqrt{g^2 - p} \quad (8.51)$$

Pentru determinarea pantei în punctul de racord se calculează valoarea funcției de intrare pentru două poziții din imediata vecinătate a punctului x și rezultă: pentru $x - dx$ $y = s'$ și pentru $x + dx$ $y = s''$, iar $m_1 = \frac{s'' - s'}{2 \cdot dx}$ (8.52)

Se procedează similar și pentru celălalt capăt al zonei și se determină valoarea lui m_2 .

c) Zona de decelerare

Ecuația polinomului se dă față de un sistem de axe paralele cu sistemul sOx dar deplasat cu originea în punctul B :

$$s = Ax^4 + Bx^3 + Cx^2 + mx = 0 \quad (8.53)$$

Coeficienții polinomului rezultă din sistemul de mai jos:

$$\begin{cases} x_1^4 + A + x_1^3 \cdot B + x_1^2 \cdot C + x_1 \cdot D + E = h_t \\ 4 \cdot x_1^3 \cdot A + 3 \cdot x_1^2 \cdot B + 2 \cdot x_1 \cdot C + D = 0 \\ 12 \cdot x_1^2 \cdot A + 6 \cdot x_1 \cdot B + 2 \cdot C = 0 \end{cases}$$

e) Zona de coborire

Sistemul axelor de referință se deplasează din nou cu originea în punctul C'. Ecuația polinomului de mișcare este:

$$s = Ax^4 + Bx^3 + h_t \quad (8.55)$$

Coefficienții A și B se determină rezolvând sistemul de mai jos:

$$\begin{cases} x_c^4 \cdot A + x_c^3 \cdot B = -h_t \\ 4 \cdot x_c^3 \cdot A + 3 \cdot x_c^2 \cdot B = 0 \end{cases} \quad (8.56)$$

8.5.3 Datele obținute în urma gîntezei mecanismului de perforare

Perforatorul central de cartele se poate cupla cu un număr de 12 terminale atunci cînd se realizează următoarele performanțe:

- viteza de perforare 100 coloane / sec.
- viteza de transport a cartelei $v_t = 0,22$ m/sec.
- timp de tratare a unei coloane 0,01 sec.

Viteza de perforare impusă corespunde la un număr de 6000 cicluri pe minut.

Se adoptă un mecanism cu camă cvadruplă astfel încît viteza de rotație a axei camei este $n = 1500$ rot/min.

Dimensiunile constructive ale mecanismului, a cărui schemă structurală se prezintă în fig. 8.12, sînt următoarele:

- | | | |
|-------------------|------------------|----------------------|
| $l_{AB} = 110$ mm | $r_b = 20$ mm | valoare preliminară |
| $l_{AB} = 65$ mm | $l_{AO} = 62$ mm | |
| $l_{AO} = 55$ mm | $G_1 = 0,25$ daN | greutatea țecelului. |

Se determină panta zonei de perforare $m = v_t / v_p$ unde

$v_t = 0,22$ m/sec viteza de transport a cartelei

$v_t = \omega_c \cdot r_c$ viteza periferică a cunei conice

situat la distanța $r_c = r_b + h_c/2$

$r_c = 20,7$ mm și $\omega_c = 2\pi n/60 = 157$ sec⁻¹

și rezultă $v_p = 3,2499$ m/sec., iar $m = 0,0677$

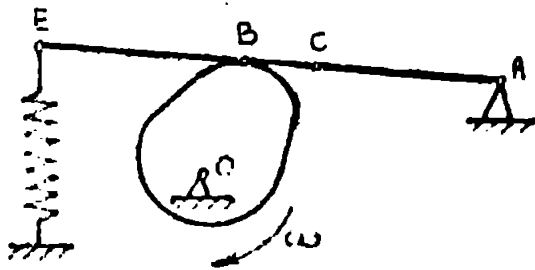


fig. 8.12

Se distribuie înălțimea totală h_t pe zone astfel:

- $h_a = 0,45$ mm zona de accelerare
- $h_p = 0,50$ mm zona de perforare
- $h_d = 0,45$ mm zona de decelerare

Se calculează următoarele măriri:

$$L_{CB} = 2\pi r_b = 125,664 \text{ mm} \text{ lungi-}$$

mea cercului de bază

$$L'_{CB} = L_{CB}/4 = 31,416 \text{ mm} \text{ lungi-}$$

mea cercului de bază pe cicl

din care $L_r = 20,944$ mm lungimea fazei de ridicare (aproxima-
tiv $2/3$ din L'_{CB})

și $L_d = 10,472$ mm lungimea fazei de coborâre (aproxima-
tiv $1/3$ din L'_{CB})

Se determină lungimea zonei de perforare:

$$x_p = h_p/m = 7,385 \text{ mm}$$

și lungimile zonelor de accelerare și decelerare:

$$x_a = x_d = \frac{L_r - x_p}{2} = 6,779 \text{ mm}$$

Pentru calcule se stabilește un pas de divizare unghiular

$d\varphi = 2^\circ$ pentru care corespunde pe cercul de bază un
pas de divizare $dx = 0,698$ mm.

Avînd determinate aceste elemente, cu ajutorul ecuațiilor date
se calculează coeficienții polinoamelor, care se dau astfel:

1) zona de accelerare $s_a = -0,421 \cdot 10^{-5} \cdot x^4 + 4,2954 \cdot 10^{-3} \cdot x^3$

2) zona de perforare necorectată $s_p = 0,0677 \cdot x + 0,45$

3) zona de decelerare

$$s_d = 0,422 \cdot 10^{-3} \cdot x^4 - 7,136 \cdot 10^{-3} \cdot x^3 + 28,79 \cdot 10^{-3} \cdot x^2 + 0,0677 \cdot x + 0,95$$

4) zona de coborire $s_c = 0,3492 \cdot 10^{-3} \cdot x^4 - 4,876 \cdot 10^{-3} \cdot x^3 + 1,4$:

Cu ajutorul acestor polinoame s-au calculat valorile funcției de mișcare s_j pentru $i = 1 \div 45$.
 În tabelul 8.1 se prezintă profilul camei în coordonate polare pentru un sector de 90° :

Tabelul 8.1

nr. crt.	φ°	s_j (mm)	nr. crt.	φ°	s_j (mm)	nr. crt.	φ°	s_j (mm)
1	2	20,0014	16	32	20,7335	31	62	21,3380
2	4	20,0100	17	34	20,7808	32	64	21,3880
3	6	20,0313	18	36	20,8280	33	66	21,3620
4	8	20,0679	19	38	20,8753	34	68	21,3150
5	10	20,1202	20	40	20,9225	35	70	21,2450
6	12	20,1861	21	42	21,0090	36	72	21,1590
7	14	20,2612	22	44	21,0828	37	74	21,0300
8	16	20,3387	23	46	21,1605	38	76	20,8910
9	18	20,4095	24	48	21,2337	39	78	20,7380
10	20	20,4500	25	50	21,2961	40	80	20,5690
11	22	20,4972	26	52	21,3440	41	82	20,4050
12	24	20,5440	27	54	21,3762	42	84	20,2510
13	26	20,5910	28	56	21,3935	43	86	20,1220
14	28	20,6390	29	58	21,3995	44	88	20,0300
15	30	20,6862	30	60	21,4000	45	90	20,0000

Valorile pentru cele 45 de poziții din tabel se repartizează astfel:

- pozițiile 1 ÷ 30 faza de ridicare
- pozițiile 31 ÷ 45 faza de coborire

Zonele fazei de ridicare se întind de-a lungul următoarelor poziții:

- 1) zona de accelerare poz. 1 ÷ 9
- 2) zona de perforare poz. 10 ÷ 20
- 3) zona de decelerare poz. 21 ÷ 30

Pentru corectarea profilului camei de-a lungul zonei de perforare

se pleacă de la ecuația (8.48). Cunoșcând valorile r_b și n_a se pot calcula coeficienții polinomului. Pentru cazul dat polinomul de corecție are următoarea formă:

$$0,19,103 \cdot y^2 + x^2 = 20,542017 \cdot x \cdot y - 11,90,2301 \cdot y + 11,90,2301$$

Intersectând acest polinom cu dreapta $y = r_b + n_a$ deci cu $y = 20,45$ se obțin soluțiile :

$$x' = 175,36573 \quad \text{și} \quad x'' = 298,77015$$

Soluția corespunzătoare se găsește pe ramura cu panta crescătoare a polinomului, având valoarea cea mai mare. Deci punctul

coordonate $x = 298,77015$, $y = 20,45$ este punctul din partea stângă a profilului corectat care se racordează la zona de perforare.

Argumentând abscisa x cu valori $j \cdot dx$ unde $j \in (1 \div 10)$ se obțin următoarele coordonate ale profilului corectat, coordonate care se prezintă mai jos în tabelul 8.2 alăturat față de coordonatele profilului necorectat:

Tabelul 8.2

punct curent	zona de perforare		diferența $s_j^0 - s_j$
	profil necorectat s_j (mm)	profil corectat s_j (mm)	
10	20,4500	20,4500	0
11	20,4972	20,4983	0,0011
12	20,5440	20,5467	0,0027
13	20,5910	20,5950	0,0040
14	20,6390	20,6434	0,0044
15	20,6862	20,6917	0,0055
16	20,7335	20,7400	0,0065
17	20,7808	20,7885	0,0077
18	20,8280	20,8368	0,0088
19	20,8753	20,8852	0,0099
20	20,9225	20,9336	0,0111

Pentru a stabili panta de racordare inițială și finală a profilului corectat s-au mai calculat ordonatele punctelor curente 1 și 21 și a rezultat $m_{11} = 0,0688237$ și $m_{12} = 0,0692922$.

En tabelul 8.3 sint prezentate o serie de date obținute la mecanismul de perforare-

Tabelul 8.3

nr. crt.	φ	coordonatele profilului caracteristic		ρ	v_{B3}	a_{B3}	F'_{23}	F''_{23}
		X_j [mm]	Y_j [mm]	[mm]	[m/s]	[m/s ²]	[daN]	[daN]
1	2	19,989	0,698	45,339	-	-	-	-
2	4	19,961	1,396	44,617	0,09	202,52	46,288	17,188
3	6	19,921	2,094	47,796	0,13	180,02	39,547	16,447
4	8	19,872	2,793	40,061	0,21	360,04	44,995	21,805
5	10	19,814	3,494	36,741	0,27	270,03	42,271	19,171
6	12	19,745	4,197	33,304	0,32	225,02	40,909	17,809
7	14	19,659	4,901	30,068	0,35	135,01	38,185	16,085
8	16	19,551	5,606	27,403	0,34	-45,00	32,738	9,638
9	18	19,410	6,307	25,321	0,26	-360,04	23,205	1,050
10	20	19,217	6,994	24,774	0,20	-270,03	25,929	2,829
11	22	19,004	7,678	23,203	0,22	90,01	36,824	13,724
12	24	18,768	8,356	22,200	0,22	0,74	3,410	1,123
13	26	18,507	9,026	21,304	0,22	0,74	3,410	1,123
14	28	18,223	9,689	20,448	0,22	0,74	3,410	1,123
15	30	17,915	10,343	19,709	0,22	0,74	3,410	1,123
16	32	17,583	10,987	18,997	0,22	0,74	3,410	1,123
17	34	17,228	11,620	18,351	0,22	0,74	3,410	1,123
18	36	16,850	12,242	17,752	0,22	0,74	3,410	1,123
19	38	16,450	12,852	17,196	0,22	0,74	3,410	1,123
20	40	16,027	13,448	16,662	0,31	40,50	4,635	2,385
21	42	15,612	14,037	15,789	0,37	270,03	42,271	19,171
22	44	15,165	14,645	15,125	0,35	-90,01	31,370	8,770
23	46	14,699	15,221	14,486	0,34	-45,00	32,738	9,638
24	48	14,208	15,779	13,929	0,31	-135,01	30,614	8,314
25	50	13,689	16,819	13,907	0,25	-270,13	25,929	2,829
26	52	13,141	16,819	13,187	0,19	-180,32	22,055	2,355
27	54	12,564	17,293	12,991	0,12	-315,23	24,547	1,247
28	56	11,963	17,736	12,487	0,05	-315,03	24,223	1,223
29	58	11,340	18,147	12,849	0,02	-135,01	30,114	8,314
30	60	10,700	18,5333	12,850	0,00	-90,01	21,370	4,770
31	62	10,046	18,893	12,861	-0,03	135,01	30,205	10,005
32	64	9,376	19,223	13,922	-0,09	270,03	42,271	19,171
33	66	8,688	19,515	13,077	-0,17	360,04	44,995	21,805
34	68	7,685	19,763	13,386	-0,28	495,05	49,001	24,501
35	70	7,266	19,963	13,847	-0,38	450,39	47,718	24,218
36	72	6,538	20,123	14,496	-0,53	675,11	54,525	31,225
37	74	5,796	20,215	15,596	-0,67	631,16	53,155	29,155
38	76	5,054	20,270	16,904	-0,74	585,06	51,204	28,204
39	78	4,311	20,283	18,961	-0,82	361,14	44,105	21,205
40	80	3,572	20,256	21,724	-0,84	90,11	38,824	19,724
41	82	2,840	20,206	25,445	-0,81	-135,01	30,114	8,314
42	84	2,118	20,140	30,487	-0,71	-450,04	24,482	-2,618
43	86	1,403	20,073	36,621	-0,55	-720,07	12,311	-10,789
44	88	0,699	20,017	42,964	-0,30	-1125,1	0,054	-23,046
45	90	0,0	20,000	-	-	-675,07	13,672	-9,425

Pe dea în tabel coordonatele punctelor profilului caracteristic pentru cama mecanismului de perforare, coordonate care așa cum a fost precizat anterior, permit executarea cu precizie a acestui profil pe o mașină de prelucrări mecanice în coordonate.

Pentru aceleași puncte se dau raza de curbură a profilului, viteza și accelerația tchetului v_{B3} și respectiv a_{B3} precum și valoarea și sensul forței P_{23} în două situații diferite.

În primul caz reacțiunea P'_{23} este calculată pentru o forță de închidere a cuplei care nu permite apariția desprinderilor tchetului pentru nici o poziție de funcționare a mecanismului. În al doilea caz forța de închidere îndeplinește condiția doar pentru zona de ridicare a tchetului și reacțiunea este mult diminuată.

Încercările experimentale a căror rezultate și metodologie de execuție se prezintă în cadrul capitolului 9, s-au făcut pe un mecanism ca și cel prezentat în fig. 8.12 avînd o camă armonică simplă și tchetul de tip oscilant tangențial.

Efectuarea încercărilor experimentale pe acest tip de mecanism a permis eliminarea unor erori inerente de execuție și de măsurare. Pentru a putea face o comparație între rezultatele obținute pe această cale și rezultatele obținute pe cale analitică, s-au făcut o serie de calcule și pentru dimensionarea acestui mecanism.

Datele de calcul referitoare la fig. 8.12 sînt următoarele:

- lungimea $l_{AE} = 110$ mm ,
- lungimea $l_{AC} = 50$ mm ,
- lungimea $l_{AK} = 70$ mm ,
- raza discului $r = 20$ mm ,
- excentricitatea $e = 3$ mm ,
- viteza de rotație $n = 3600$ rot/min ,
- greutatea tchetului $G_t = 0,5$ N ,
- lungimea segmentului AB s-a notat cu l .

Mecanismul s-a încadrat într-un sistem de axe cu originea în zona de rotire a camei O, avînd segmentul OA pe axa ordonatelor.

În funcție de unghiul α de rotire a camei s-au calculat o serie de elemente, dintre care unele se prezintă în tabelul 8.4 :

- ψ unghiul de oscilație al tchetului față de axa Oy ,
- v_B viteza punctului de contact B ,
- accelerația punctului B ,

- F_e variația forței elastice aplicate în punct
 a scizurii la limita încluziunii cuplei
 F_{p0} valoarea reacțiunii în punctul 0 atunci
 forța elastică minimă necesară pentru
 cuplei de-a lungul întregului ciclu de

n. rt.	α°	$\sin \psi$	$\cos \psi$	ρ [mm]	v_s [m/s]	a [m/s ²]	\dots
1	0	0,32169	0,94684	68,19	0,354	-374,2	
2	15	0,3239	0,94609	67,36	0,477	-421,2	
3	30	0,3271	0,94635	66,61	0,601	-470,2	
4	45	0,33207	0,94763	65,98	0,725	-521,2	
5	60	0,33829	0,94935	65,43	0,850	-574,2	
6	75	0,3442	0,95253	65,16	0,975	-629,2	
7	90	0,23412	0,95577	64,93	-1,082	-686,2	
8	105	0,2830	0,95912	65,04	-1,132	-745,2	
9	120	0,2714	0,96246	65,43	-1,096	-806,2	
0	135	0,26077	0,96540	65,91	-0,979	-869,2	
1	150	0,25159	0,96783	66,61	-0,793	-934,2	
2	165	0,24475	0,96958	67,39	-0,551	-1001,2	
3	180	0,24068	0,9706	68,19	-0,272	-1070,2	
4	195	0,23947	0,9709	68,96	0,023	-1141,2	
5	210	0,24108	0,9705	69,73	0,312	-1214,2	
6	225	0,24544	0,96941	70,35	0,578	-1289,2	
7	240	0,25195	0,96774	70,84	0,803	-1366,2	
8	255	0,26033	0,96552	71,19	0,980	-1445,2	
9	270	0,27027	0,96278	71,24	1,089	-1526,2	
0	285	0,28091	0,95973	71,09	1,131	-1609,2	
1	300	0,29132	0,95662	70,84	1,102	-1694,2	
2	315	0,30113	0,95358	70,38	1,003	-142,57	0,463
3	330	0,30993	0,95076	69,73	0,840	-234,73	0,763
4	345	0,31689	0,94846	69,00	0,624	-311,06	1,011

În conformitate cu rezultatele obținute rezultă că aplicația de
 ță elastică de 1,34 daN în poziția 4 a mecanismului, se asig-
 ă încluziunea cuplei cinematice superioare cară-tachet pe parcurs-
 întregului ciclu de rotire a camii.

9 Studiu pentru studiul dinamic și optimizarea funcționării mecanismului de perforare

9.1 Considerațiuni generale

Studierea experimentală a mecanismelor cu came are în vedere trei aspecte principale și anume:

- a) măsurarea abaterilor funcției de ieșire față de funcția de intrare,
- b) măsurarea și analizarea vibrațiilor generate de mecanism,
- c) evidențierea desprinderilor ^{elementelor} cuplei superioare a mecanismului.

a) Pentru a stabili abaterile funcției de ieșire față de funcția de intrare se procedează, în general la compararea legii de mișcare materializată pe camă cu diagrama înregistrată a mișcării tachetului. Legea de mișcare impusă de camă se cunoaște sau se ridică experimental /40/.

În vederea tradării diagramei funcției de ieșire, deplasarea tachetului este preluată de un traductor de deplasare, care transmite un semnal electric corespunzător la aparatura de înregistrare.

Traductorul poate fi de diverse tipuri constructive cum sînt:

- traductor inductiv de deplasare cu contact
- traductor inductiv de deplasare fără contact
- traductor de viteză (vitezometru)
- traductor de accelerație (accelerometru)

În fig. 9.1 se prezintă în principiu componența lanțului de măsurare și înregistrare care cuprinde:

- 1 traductor
- 2 amplificator de semnal
- 3 dispozitiv electronic de *integrare*
- 4 aparat de măsurare
- 5 aparat de înregistrare

Între cele patru tipuri de traductoare enumerate, cele mai avantajoase par a fi traductoarele de deplasare care furnizează un semnal electric proporțional cu deplasarea tachetului. Acest semnal nu se mai integrează în dispozitivul 3 și se transmite direct la apa-

- F_c variația forței elastice aplicată în punctul B
- F_{32} valoarea reacțiunii în punctul B atunci când forța elastică minimă necesară pentru a asigura cuplul de-a lungul întregului ciclu de rotație.

nr. crt.	α°	$\sin \psi$	$\cos \psi$	l [mm]	v_B [m/s]	a_B [m/s ²]	F_c [daN]	F_{32} [daN]
1	0	0,32169	0,94684	68,19	0,364	-374,42	0,77	1,34
2	15	0,3239	0,94609	67,36	0,677	-413,31	1,36	1,34
3	30	0,32719	0,94535	66,61	1,017	-452,39	1,97	1,34
4	45	0,33137	0,94463	65,98	1,383	-491,66	2,60	1,34
5	60	0,33629	0,94395	65,43	1,775	-531,10	3,25	1,34
6	75	0,34182	0,94330	64,98	2,193	-570,70	3,92	1,34
7	90	0,29412	0,95577	64,99	1,081	-238,33	0,76	1,34
8	105	0,2830	0,95912	65,04	-1,131	-72,00	0,23	1,34
9	120	0,2714	0,96246	65,43	-1,096	50,40	-0,24	1,34
10	135	0,26077	0,96540	65,91	-0,979	168,49	-0,78	1,34
11	150	0,25159	0,96783	66,61	-0,793	267,80	-0,97	1,34
12	165	0,24475	0,96958	67,39	-0,551	348,50	-1,13	1,34
13	180	0,24068	0,9706	68,19	-0,272	401,79	-1,30	1,34
14	195	0,23947	0,9709	68,98	0,023	424,83	-1,38	1,34
15	210	0,24108	0,9705	69,73	0,312	416,19	-1,38	1,34
16	225	0,24544	0,96941	70,35	0,578	393,66	-1,24	1,34
17	240	0,25195	0,96774	70,84	0,803	324,62	-0,93	1,34
18	255	0,26033	0,96552	71,19	0,980	254,89	-0,62	1,34
19	270	0,27027	0,96278	71,24	1,089	156,97	-0,31	1,34
20	285	0,28091	0,95973	71,09	1,131	60,43	-0,19	1,34
21	300	0,29132	0,95662	70,84	1,102	-41,76	0,13	1,34
22	315	0,30113	0,95358	70,38	1,003	-142,57	0,46	1,34
23	330	0,30993	0,95076	69,73	0,840	-234,73	0,76	1,34
24	345	0,31689	0,94846	69,00	0,624	-311,06	1,01	1,34

În conformitate cu rezultatele obținute rezultă că aplicând o forță elastică de 1,34 daN în poziția 4 a mecanismului, se asigură închiderea cuplei cinematice superioare cană-tachet pe parcursul întregului ciclu de rotație a camei.

9 Stand pentru studiul dinamic și optimizarea funcționării mecanismului de perforare

9.1 Considerațiuni generale

Studierea experimentală a mecanismelor cu came are în vedere trei aspecte principale și anume:

- a) măsurarea abaterilor funcției de ieșire față de funcția de intrare,
- b) măsurarea și analizarea vibrațiilor generate de mecanism,
- c) evidențierea desprinderilor ^{elementelor} cuplei superioare a mecanismului.

a) Pentru a stabili abaterile funcției de ieșire față de funcția de intrare se procedează, în general la compararea legii de mișcare materializată pe camă cu diagrama înregistrată a mișcării tachetului. Legea de mișcare impusă de camă se cunoaște sau se ridică experimental /40/.

În vederea trasării diagramei funcției de ieșire, deplasarea tachetului este preluată de un traductor de deplasare, care transmite un semnal electric corespunzător la aparatura de înregistrare.

Traductorul poate fi de diverse tipuri constructive cum sînt:

- traductor inductiv de deplasare cu contact
- traductor inductiv de deplasare fără contact
- traductor de viteză (vitezometru)
- traductor de accelerație (accelerometru)

În fig. 9.1 se prezintă în principiu componența lanțului de măsurare și înregistrare care cuprinde:

- 1 traductor
- 2 amplificator de semnal
- 3 dispozitiv electronic de integrare
- 4 aparat de măsurare
- 5 aparat de înregistrare

Între cele patru tipuri de traductoare enumerate, cele mai avantajoase par a fi traductoarele de deplasare care furnizează un semnal electric proporțional cu deplasarea tachetului. Acest semnal nu se mai integrează în dispozitivul 3 și se transmite direct la apa-

ratura de măsurare și înregistrare pe trasoul marcat cu linii întrerupte. Dezavantajele lor principale sînt următoarele:

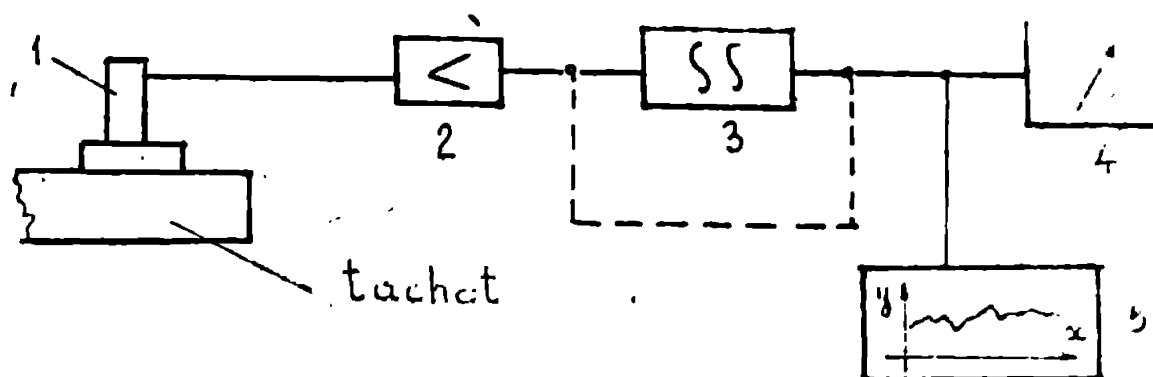


fig. 9.1

- traductorul cu contact are miezul magnetic legat la tchet prin intermediul unei tije și astfel masa acestor piese se adaugă la masa tchetului și modifică un parametru important al mecanismului;
- traductorul fără contact are dezavantajul unei caracteristici liniare într-un domeniu foarte mic față de cursa uzuală a tchetului ;
- semnalul preluat de la traductoarele de viteză sau accelerație este proporțional cu acestea, dar pentru a obține un semnal proporțional cu deplasarea el trebuie să fie integrat într-o treaptă sau două de integrare; În cursul acestei operațiuni semnalul electric suferă o serie de distorsiuni inerente prelucrării sale în dispozitivele electronice de integrare și astfel diagrama funcției de ieșire se abate în anumite limite de la funcția de ieșire reală.

Rezultă deci că măsurarea abaterilor funcției de ieșire a mecanismului față de funcția de intrare este un proces care în mod inevitabil prezintă erori care pot depăși în mărime chiar abaterile pe care vrem să le punem în evidență.

Pentru mecanismul camă cu tchetul în mișcare de rotație se poate realiza un dispozitiv optic de înregistrare a funcției de ieșire așa cum se prezintă în fig. 9.2 . Ansamblul instalației de înregistrare se compune din următoarele piese principale:

- 1 suportul instalației
- 2 camă

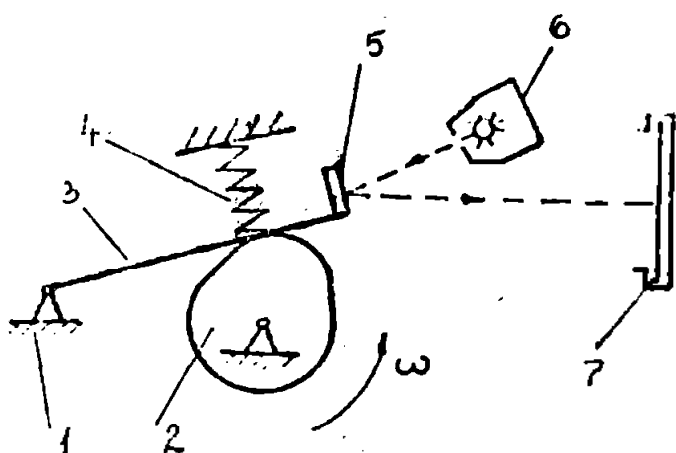


fig. 9.2

- 3 tachet
- 4 arc
- 5 oglindă
- 6 sursă de lumină
- 7 caseta de fotografiere

Suprafața oglinzii care se reflectează pe capătul tubului tubului tubului corelate cu oscilațiilor unghiurii de lumină reflectată pe filmul din caseta.

Acest procedeu de măsurare este utilizat cu succes în laborato-

ri experimentale, înbină și în acest caz avantajul unei măsurări neglijabile a fenomenului de studiat cu amplificarea și a brațului optic. Suprafața oglinzii poate fi obținută fie prin aplicarea unei plăci lucioase pe tachet sau prin prelucrarea corectă a capătului tachetului. Încercările experimentale pot fi făcute în condiții de obscuritate. Dispozitivul de măsurare este prevăzut cu posibilitatea de a deplasa pelicula fotografică cu o viteză constantă astfel încât mișcarea tachetului să fie redată corespunzător.

Dezavantajele pe care le prezintă acest procedeu clasic sînt acelea că se consumă o cantitate mare de peliculă sau hîrtie fotografică, timp relativ mare între momentul experimentării și relevarea rezultatelor, construcție mecanică pretențioasă etc.

b) Măsurarea și analizarea vibrațiilor produse de mecanisme se realizează cu o aparatură specializată în acest scop. Legătura de măsurare se aseamănă în principiu cu cel prezentat în fig. 9.2 și se compune din următoarele elemente:

- traductor de accelerație
- amplificator al semnalului furnizat de traductor
- aparat pentru măsurarea nivelului general al vibrațiilor
- aparate pentru analiza spectrală a vibrațiilor
- aparate pentru înregistrarea nivelului vibrațiilor

Atît măsurarea nivelului general al vibrațiilor cît și înregistrarea analizei spectrale a acestora, furnizează cercetătorului informații

abile în legătură cu buna funcționare a mecanismului, cu evidență și neregularitățile de execuție ale conturului camii. Aceste informații sînt însă de natură generală și nu pot să înlocuiească asupra calității funcției de ieșire a mecanismului.

c) Din cele prezentate anterior rezultă că un aspect important al comportării dinamice a mecanismului este păstrarea continuității sale funcționale. Această continuitate este periclitată la nivelul cuplei superioare, unde din cauza unor factori geometrici, cinematiici sau dinamici pot apărea desprinderi.

Condițiile favorabile apariției acestora sînt depistate în analiza mecanismului, cînd se și iau măsuri corespunzătoare pentru evitarea lor.

Prin proiectare nu se pot lua în considerare toți factorii care intervin în dinamica mecanismului și în special nu se pot prevedea efectele pe care le are tehnologia de execuție a mecanismului în general și a profilului camii în special asupra dinamicii acestuia.

Pentru a verifica dacă în timpul funcționării la parametrii proiectați, mecanismul nu prezintă discontinuități, se apelează la diferite procedee experimentale.

În literatura de specialitate se menționează utilizarea în acest scop a două metode:

- 1) punerea în evidență și vizualizarea desprinderilor prin iluminarea mecanismului cu o lampă stroboscopică;
- 2) studierea fenomenului de desprindere prin filmarea rapidă a mecanismului în timpul funcționării.

Ambele procedee prezintă dezavantajul de a furniza informații care au în general un aspect calitativ și mai puțin cantitativ și nu permit punerea în evidență a desprinderilor de foarte mică durată.

O parte din dezavantajele acestor metode se înlătură prin utilizarea unei instalații și a unei metode care să permită obținerea unor informații mai complete și mai precise, instalație prezentată în continuare.

Completarea procedeeilor experimentale în această direcție este de dorit și pentru a putea evidenția fenomenul de funcționare al mecanismului de perforare, considerat ca un sistem mecanic auto-excitat, pe un ciclu limită de tip Poincaré. Existența acestor cicluri ar permite optimizarea funcționării acestora.

9.2 Metodă și instalație pentru analiza dinamică experimentală a mecanismelor cu came

9.2.1 Prezentarea metodei și a instalației

La baza metodei și a instalației pentru studiul comportării mecanismului camă-tachet în regim dinamic, în scopul evidențierii, măsurării și a înregistrării desprinderilor cuplei superioare, stă idea de a considera această cuplă ca și un contact electric introdus într-o schemă adecvată pentru măsurarea și înregistrarea desprinderilor tachetului de camă.

În acest scop studiarea mecanismului trebuie făcută în condițiile asigurării izolării din punct de vedere electric a suportului tachetului de batul cu arborile camei, fără a afecta rigiditatea ansamblului. Având această izolare asigurată se poate trece la reali-

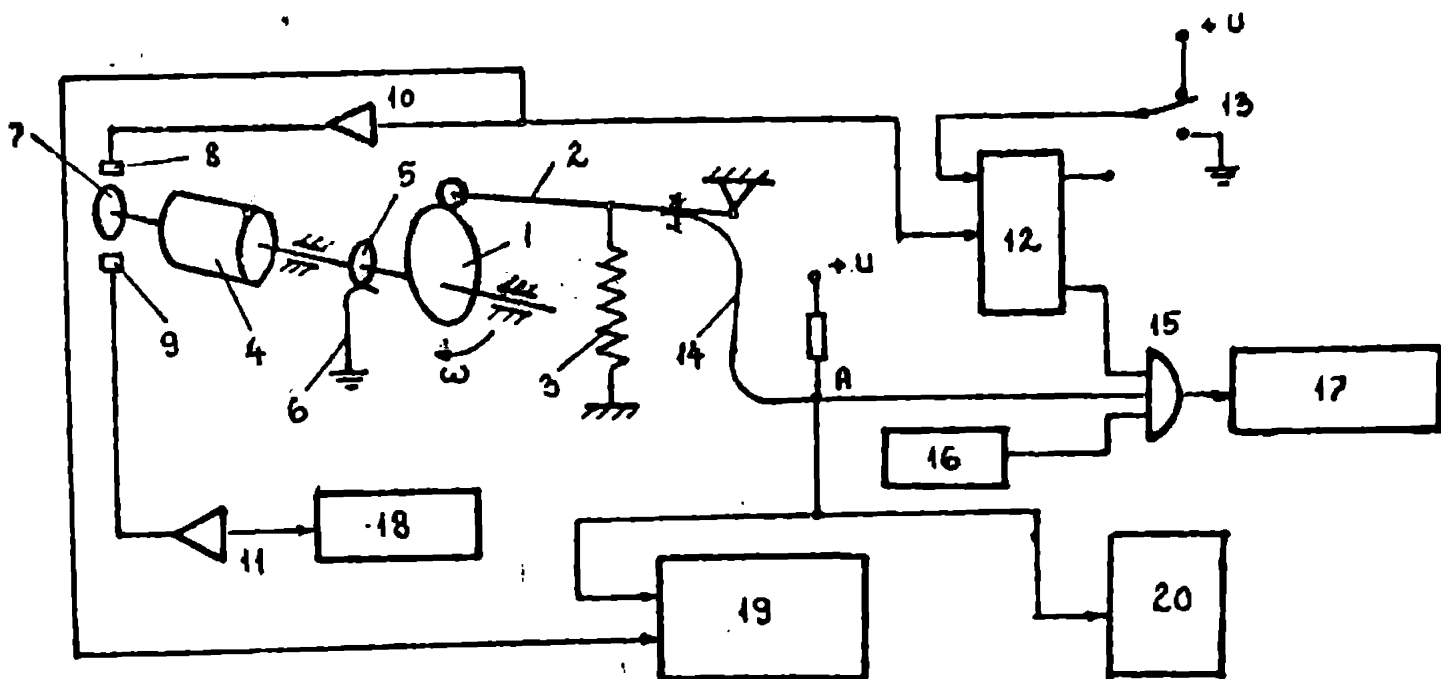


fig. 9.3

sarea schemei electrice de măsurare. Acționarea mecanismului se asigură de la un motor electric de putere adecvată prin intermediul unui variator de turație sau direct de la un motor electric cu turație variabilă.

Ansamblul instalației se prezintă în fig. 9.3 și are ca elemente următoarele componente principale:

1	camă	12	circuit basculant
2	tachet	13	buton de inițializare
3	arc	14	legătură electrică flexibilă
4	motor de antrenare	15	circuit logic ȘI
5	inel de contact	16	generator de impulsuri
6	peria colectoare	17	numărător de impulsuri
7	disc perforat	18	frecvențmetru
8, 9	fotodiodă	19	înregistrator
10, 11	amplificator	20	osciloscop

Pentru a avea un contact sigur între camă și masă, pe arborele camei se montează inelul de contact 5 care prin peria colectoare 6 este pus în legătură electrică directă cu masa instalației. Discul 7 este montat pe arbore și este prevăzut cu o perforație pe un diametru și cu 6 sau 60 de perforații pe un alt diametru. În dreptul acestor perforații se montează fotodiodele 8 și 9.

Cu ajutorul instalației se pot executa următoarele operațiuni:

1. măsurarea timpului de rupere a contactului camă-tachet pentru unul sau mai multe cicluri de funcționare,
2. măsurarea vitezei unghiulare la arborele camei,
3. înregistrarea desprinderilor simultan cu înregistrarea unui semnal martor pentru fiecare ciclu de rotație,
4. vizualizarea la osciloscop a semnalelor înregistrate.

Măsurarea timpului de rupere a contactului camă-tachet se realizează prin intermediul porții logice ȘI, poz. 15 la care sînt aduse trei semnale electrice și anume:

- la prima intrare a porții 15 este adus semnalul de la ieșirea unui circuit basculant bistabil 12 care poate fi basculat de semnalul transmis de fotodiodă 8 și readus în poziția inițială de la comutatorul 13. Acest circuit basculant ne asigură ca înscoperirăsurărilor să se facă pentru un număr întreg de cicluri de funcționare a mecanismului. Cu ajutorul unui dispozitiv electronic suplimentar se pot realiza măsurări pentru un anumit număr de cicluri prestabilit,

- la intrarea a doua a porții se aduce semnalul electric comandat de mecanism prin desprindere. Atita timp cît tachetul este la contact

a camă, punctul A din schemă este legat la masă și deci are potențial zero. Pentru perioadele de timp când pe parcursul ciclului de funcționare tchetul se desprinde de camă, punctul A primește potențialul sursei.

- la intrarea a treia în poarta logică se aplică în mod continuu un tren de impulsuri de la generatorul 16. Perioada T a acestor impulsuri este cunoscută cu precizie.

Pentru perioada de timp cât circuitul de comandă validează efectuarea măsurărilor și potențialul punctului A este ridicat, deci tchetul este desprins de camă, impulsurile de la generatorul 16 trec prin poarta 15 la numărătorul de impulsuri 17.

La încheierea perioadei de măsurare numărătorul afișază o cifră care o notăm cu N. Timpul total de desprindere se calculează cu formula de mai jos:

$$\Delta t = N \cdot T \quad (\text{sec.})$$

Viteza de rotație a camii se determină cu ajutorul frecvențetrului 8, care atunci când pe diametrul fotodiodei 9 sînt practicate 60 de orificii, măsoară și afișază o frecvență care numeric este egală cu viteza de rotație a arborelui în rot/min.

Pentru mecanismul camă-tchet care în instalația experimentală se montează în condiții de funcționare cât mai apropiate de cele reale, se pot face următoarele determinări:

a) de la motorul de antrenare 4 se crește în mod continuu viteza unghiulară de rotire a camii și se urmărește în acest timp numărătorul de impulsuri. Când pe ecranul numărătorului 17 apare o cifră oarecare, atunci se citește și indicația frecvențetrului 8 și se stabilește turația minimă la care apar desprinderile.

b) în continuare pentru anumite viteze unghiulare se măsoară timpul de desprindere a contactului.

Precizia de măsurare depinde de frecvența impulsurilor date de generatorul de impulsuri 16. Pentru o frecvență uzuală de 1 MHz precizia de măsurare a timpului este de 1 μ s.

Cu această instalație se pot studia efectele pe care le are asupra mecanismului diferiți parametri cinematici și din care cum sînt:

- legea funcției de intrare
- masa tchetului
- forța de închidere a arcului
- gradul de amortizare a vibrațiilor

- precizia de execuție
- rigiditatea sistemului

Modificarea acestor parametrii duce implicit și la modificarea vitezei unghiulare la care apar desprinderi, iar îmbunătățirea dinamicii mecanismului prin modificarea lor trebuie să se reflecte în mărirea vitezei la care apar aceste desprinderi.

Pentru a evidenția distribuția timpului de desprindere pe parcursul unui ciclu de funcționare se apelează la înregistrarea semnalului electric preluat de la punctul A din schemă. Înregistrarea se face cu ajutorul unui oscilograf cu bule pe hârtie fotosensibilă. În un canal al înregistratorului se aduce semnalul de la punctul A iar la un alt canal se aduce semnalul de la fotodioda B pentru a marca fiecare ciclu de rotație. Poziția impulsurilor din A față de semnalele martor, precum și lățimea lor ne oferă posibilitatea de a localiza cu precizie desprinderile de-a lungul ciclului și de a repartiza timpul total de desprindere pe zonele funcției de intrare.

Înainte de a efectua înregistrările, se urmărește evoluția fenomenului pe osciloscopul 20 pentru a face o pregătire prealabilă corespunzătoare, evitându-se astfel un consum inutil de material fotosensibil.

9.2.2 Realizarea instalației și prezentarea rezultatelor experimentale

La realizarea practică a instalației experimentale s-a folosit ca și suport o placă masivă de textolit. Pe această placă s-a fixat motorul electric de acționare cu ajutorul unor bride metalice. Pentru a putea modifica ușor viteza unghiulară la arborele camii s-a utilizat un motor electric de curent alternativ cu colector alimentat de la un autotransformator. Pentru a stabili viteza de rotire a camii pe arborele acesteia s-a montat un volant iar legarea la arborele motorului se face printr-o transmisie demultiplicatoare cu curca.

Pe aceeași placă s-a montat suportul tachetului precum și dispozitivul de prindere și pretensionare a resortului, piese care nu au contact electric cu motorul și cu piesele de fixare a lagărelor arborelui camii, îndeplinind astfel condiția de a izola electric cama

de tachet.

Partea electrică a instalației s-a montat într-o cutie de comandă la care s-au prevăzut mufe de legătură cu aparatura de măsurare și

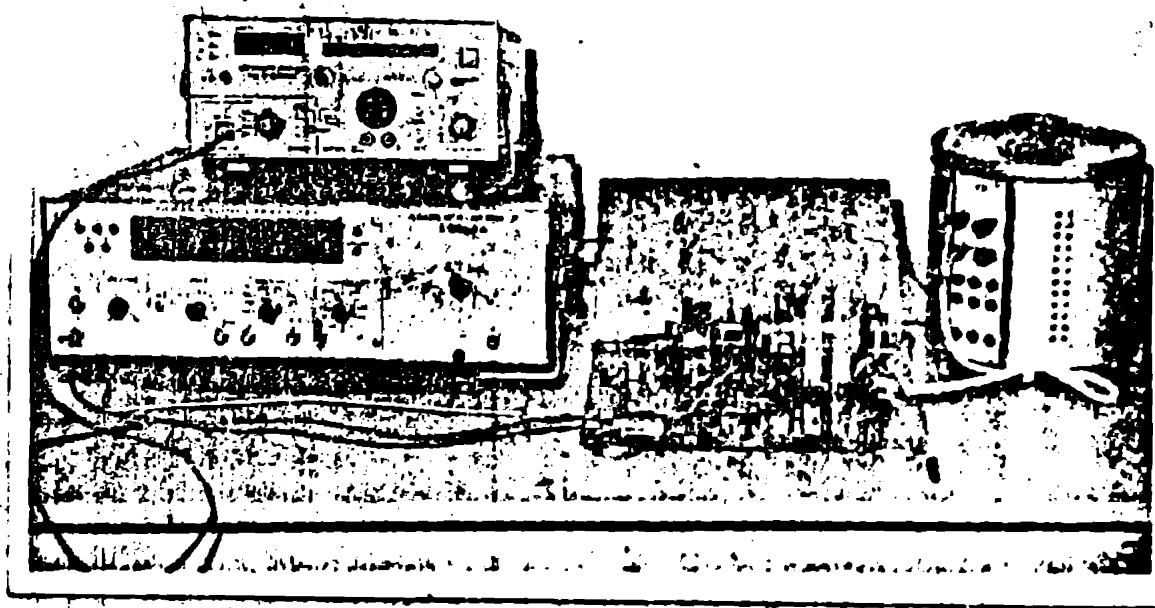


fig. 9.4

Determinări experimentale

Cu ajutorul instalației experimentale descrisă anterior s-au efectuat determinări asupra unui mecanism camă cu tachetul în mișcare de oscilație. Pentru a elimina efectul abaterilor geometrice, abateri care apar în principal pe zonele de racordare ale diferitelor legi de mișcare, s-a ales pentru experimentare o camă armonică simplă. Prin prelucrarea pe strung a profilului camei s-a obținut o suprafață de contact bine finisată.

Tachetul oscilant al mecanismului are o greutate de 0,5 N și următoarele dimensiuni: 110 · 12 · 4 mm. Pe tachet s-au prevăzut orificii pentru fixarea unor greutăți suplimentare și a unor plăci pentru mărirea suprafeței de frecare cu aerul.

Parametrii care au fost modificați în timpul experimentărilor sunt următorii:

- forța de închidere a arcului
- greutatea tachetului
- suprafața în plan orizontal a tachetului

Odată cu modificarea acestor parametri s-au modificat și intervalele de timp de desprindere notate cu t_d .

Stabilind anumite valori pentru parametrii menționați și antrenând mecanismul cu diferite viteze unghiulare, se pot trasa diagrame care reprezintă variația timpului de desprindere în funcție de viteza unghiulară.

Pentru a ușura interpretarea rezultatelor, timpul de desprindere t_d s-a reprezentat sub formă de procente din durata totală a unui ciclu de rotație,

Pentru a avea o posibilitate de apreciere mai directă a valorii și a ponderii forței de închidere a arcului, s-a introdus un coeficient M care reprezintă raportul dintre momentul forței arcului.

și momentul dat de greutatea tachetului față de articulația lui.

Modificarea suprafeței ~~existente~~ a tachetului este indicată de raportul dintre suprafața majorată și suprafața inițială prin coeficientul notat cu litera S .

Coeficienții M și S sînt indicați la fiecare diagramă.

Din mulțimea datelor obținute experimental s-a ales un număr de 8 diagrame notate 1a, 1b, pînă la 4a, 4b.

Datele care au servit la trasarea acestor diagrame sînt prezentate în tabelele de mai jos.

Forța de pretensionare a arcurilor de închidere a cuplei a avut următoarele valori:

$F = 0,50$	daN	pentru diagramele	1a și 1b
$F = 0,85$	daN	" "	2a și 2b
$F = 1,20$	daN	" "	3a și 3b
$F = 1,85$	daN	" "	4a și 4b

În tabelele de date care urmează s-a notat cu n [rot/min], viteza de rotație a camii și cu t_d în procente timpul de desprindere.

Diagrama 1a M = 14,6 S = 1,0

n	325	333	383	566	583	586	846	908	926	1025
t _d	1,27	1,41	5,12	2,77	7,01	6,33	14,68	42,1	41,26	44,04
n	1027	1400	1625	1966	2258	2516	2567	2742	2883	3033
t _d	49,23	61,18	57,95	52,42	50,08	59,17	71,17	73,21	83,16	87,95

Diagrama 1b M = 13,0 S = 2,5

n	585	683	883	950	992	1016	1041	1183	1216	1266
t _d	58,33	53,3	56,62	39,19	23,15	34,38	47,66	14,7	17,75	25,46
n	1316	1341	1716	1758	1933	1975	2291	2316	2503	2833
t _d	24,02	22,76	38,81	76,01	61,51	59,66	90,15	81,07	81,05	70,54

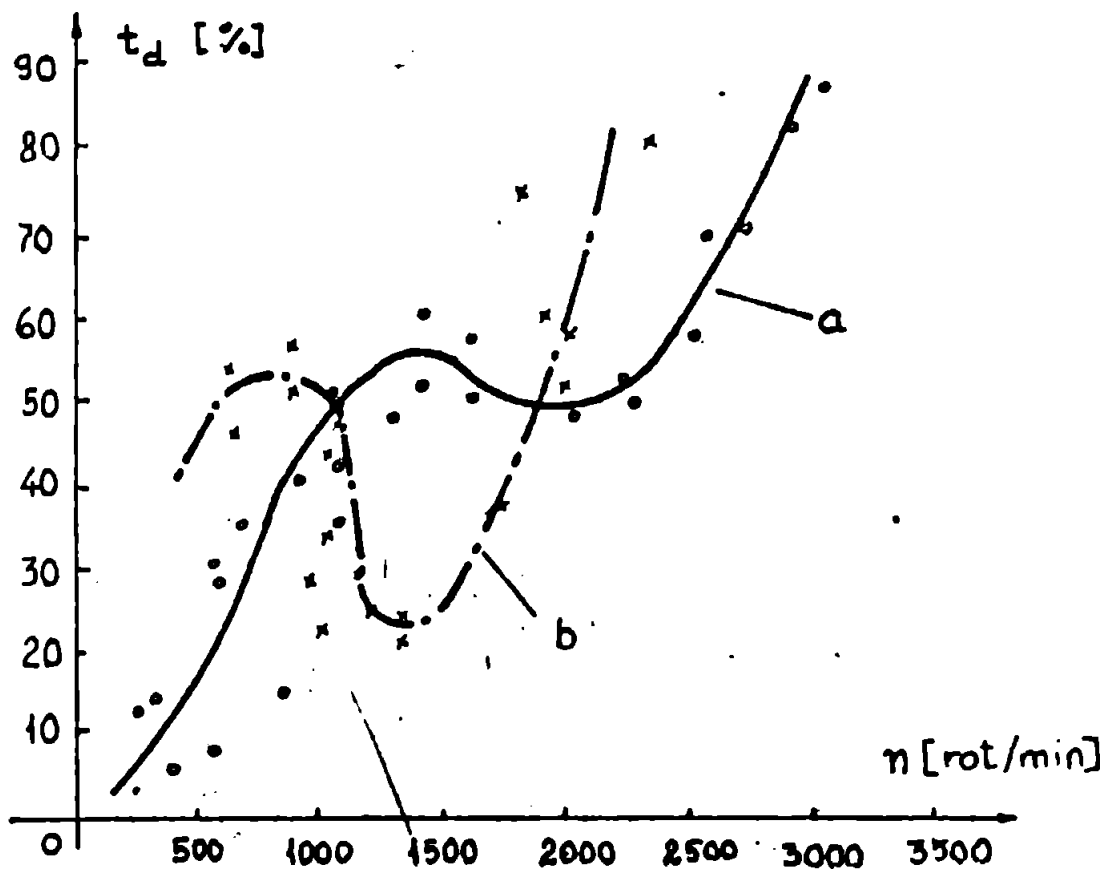


fig. 9.5

Diagrama 2a M = 22,1 S = 2,5

n	342	443	508	600	917	962	1017	1183	1242	1350
t _d	24,57	37,51	37,54	42,80	60,59	51,95	51,2	69,59	57,3	60,43
n	1517	1583	1750	1816	2250	2350	2685	2713	2867	2917
t _d	53,6	60,5	58,9	58,3	65,23	62,27	58,24	50,34	45,69	47,51
n	2933	3083	3100	3108	3125	3267	3408	3667	3900	4015
t _d	43,67	40,57	21,91	25,06	16,46	13,56	17,96	41,2	20,69	66,01

Diagrama 2b M = 22,1 S = 2,5

n	500	667	750	1033	1050	1266	1350	1367	1437	1433
t _d	5,4	19,45	33,16	50,67	50,44	60,57	59,11	57,80	66,65	65,77
n	1483	1583	1667	1800	2050	2150	2250	2517	287	2900
t _d	64,7	91,7	83,6	84,28	68,06	75,82	69,83	49,00	21,4	40,40
n	2600	2867	2908	2983	3050	3067	3150			
t _d	56,86	69,15	70,38	73,64	75,85	63,33	74,05			

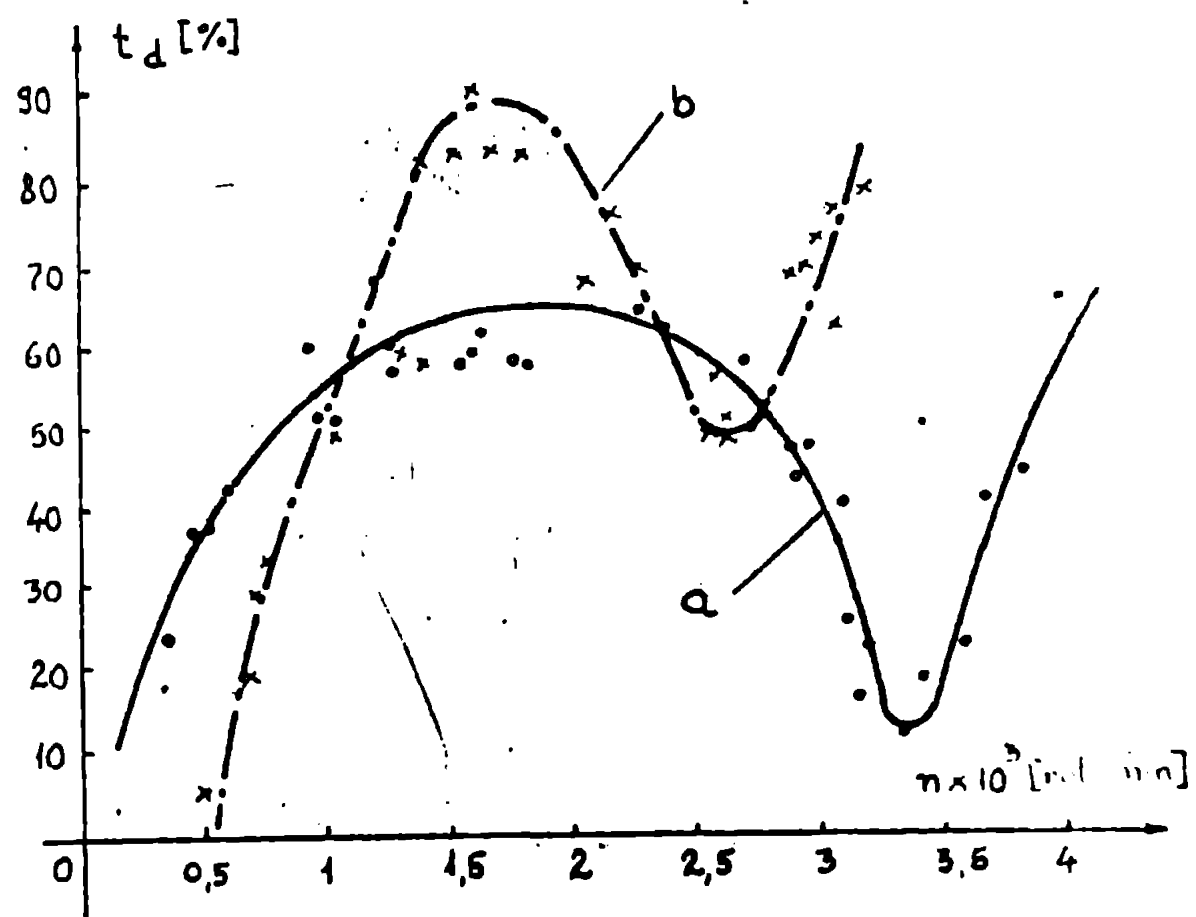


fig. 9.6

Diagrama 3a M = 40,6 S = 1,0

n	400	508	750	792	817	1083	1140	1150	1235	1342
t_d	3,84	7,28	24,13	24,71	26,94	32,27	36,09	35,24	37,13	44,01
n	1375	1555	1615	1708	1750	2117	2167	2192	2280	2336
t_d	40,19	43,71	43,5	49,83	45,31	57,58	60,23	57,39	38,5	39,42
n	2527	2657	2676	3018	3067	3083				
t_d	46,31	43,88	45,15	49,46	50,15	53,93				

Diagrama 3b M = 31,2 S = 2,5

n	217	233	383	425	550	567	716	742	755	785
t_d	7,93	5,02	22,4	24,47	35,15	31,94	37,22	40,43	42,25	45,3
n	1075	1083	1367	1561	1659	1667	1887	1900	2075	2107
t_d	40,78	45,6	45,48	42,67	45,57	46,23	45,39	46,05	47,76	47,07
n	2396	2466	2583	2617	2750	2766	3000	3050	3100	3125
t_d	32,03	33,07	30,61	28,39	30,36	30,1	47,01	43,91	47,7	47,00

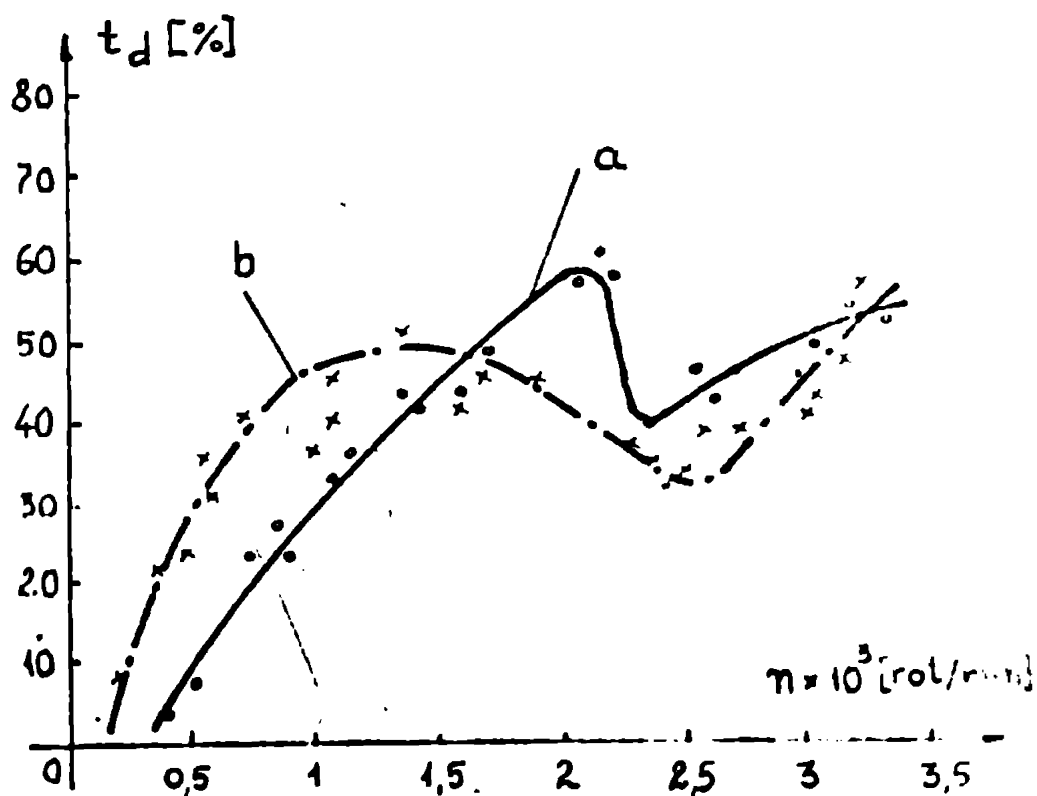


Fig. 2.7

Diagrama 4a $M = 62,6$ $S = 1,0$

n	583	611	1317	1383	1806	1833	1850	2150	2200	2200
t_d	0,74	0,71	4,05	2,31	1,68	1,75	1,73	2,81	2,93	3,51
n	2320	2575	2583	2917	2983	3016	3583	3750	3700	3800
t_d	3,26	3,04	2,95	0,33	0,17	0,12	0,073	0,083	0,09	0,11
n	3916	4007	4033							
t_d	2,54	0,097	5,3							

Diagrama 4b $M = 48,16$ $S = 2,5$

n	583	602	683	850	967	1012	1667	1833	1983	2011
t_d	0,3	0,93	0,69	3,45	4,29	4,72	5,13	3,68	4,11	5,70
n	2016	2500	2583	2650	3017	3041	3051	3231	3267	3667
t_d	5,16	1,88	2,78	2,92	0,37	0,61	0,29	0,28	0,34	0,82
n	3683	3716	3917	4021						
t_d	0,32	0,51	0,65	0,85						

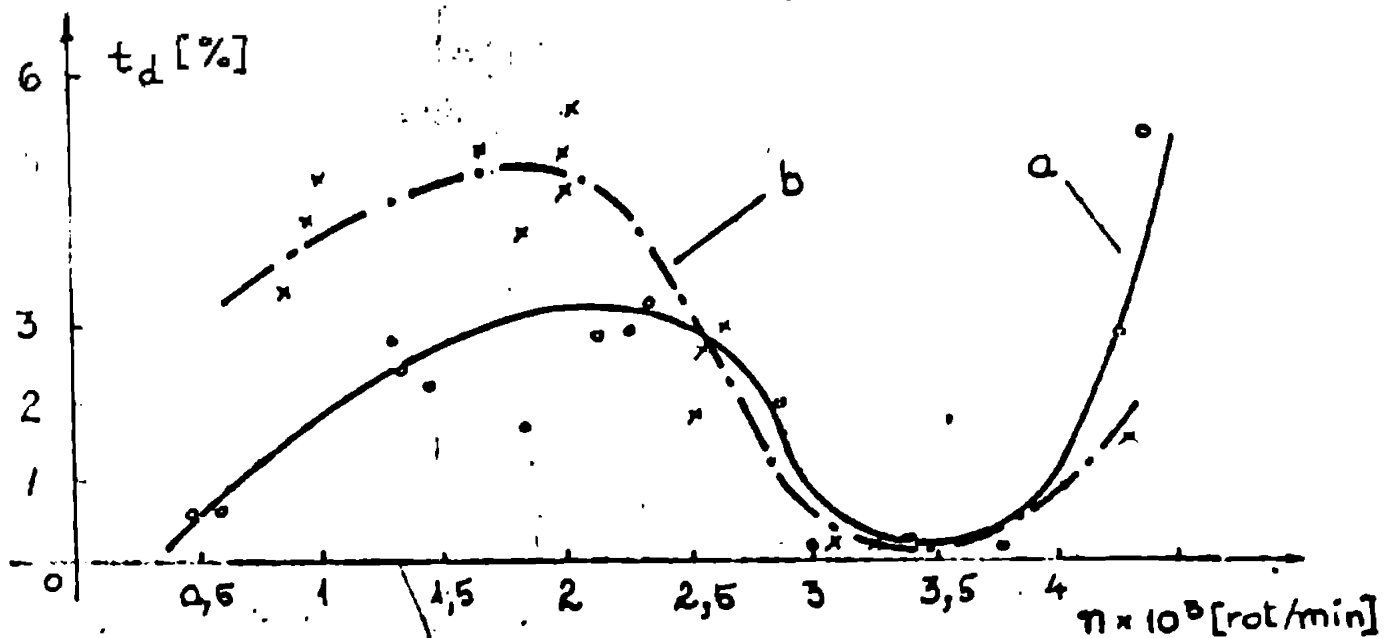


fig. 9.8

Analizând diagramele trasate rezultă evident rolul forței de comprimere a arcului în acțiunea de limitare a timpului de desprindere a tchetului de camă.

Astfel din diagramele 1 și 2 rezultă că pentru forțe mici de închidere, când coeficientul M are valori cuprinse în domeniul $13 \div 15$, timpul de desprindere crește rapid cu creșterea vitezei de rotație, astfel încît pentru valori ale acesteia în jur de 3000 rot/min, t_d ajunge la valori ce reprezintă 80 ÷ 85 % din durata totală a ciclului de rotație.

Creșterea forței de pretensionare a arcului astfel încît coeficientul M să ajungă la valori cuprinse în domeniul $48 \div 63$, duce la diminuarea timpului de desprindere la cîteva procente, respectiv 5 % pentru $n = 1750$ rot/min pe diagrama 4b.

Pentru valori intermediare ale coeficientului M în domeniul $22 \div 41$, timpul de desprindere a cuplei superioare camă-tchet ajunge la 50 ÷ 60 % din timpul total al ciclului de rotație

În cursul experimentărilor s-a constatat că se înregistrează fenomenul de desprindere chiar și la valori mici ale turației și că aceasta se datorează în special următorilor factori geometrici:

- rugozitatea suprafețelor ^{de contact ale} dublei superioare,
- abateri de paralelism între axa de rotație a camii și axa de oscilație a tchetului,
- abateri de la paralelism dintre axa camii și axa arborelui pe care este fixată cama,

După un anumit număr de ore de funcționare, timp în care s-a realizat rodarea cuplei superioare, efectul acestor abateri s-a diminuat simțitor.

Toate diagramele supranotate cu litera b se referă la încercări făcute cu suprafața tchetului mărită de 2,5 ori, combinată cu o mărire de 25 % a greutateii acestuia.

Efectul acestor modificări este evident pentru unele porțiuni ale diagramei trasate, unde procentul desprinderilor a crescut datorită mării coeficientului de frecare cu aerul și a modificării pulsației proprii a sistemului.

O caracteristică importantă a tuturor diagramei este faptul că pentru o anumită viteză unghiulară se înregistrează un număr minim de desprinderilor. Acest minim corespunde deci unei viteze optime de funcționare a mecanismului. Nota convenabilă cu viteza unghiulară de exploatare să fie cât mai apropiată de viteza unghiulară optimă, și să se

modificarea atâtel parametrilor mecanismului încât să se deplaseze punctul optim de funcționare în spre viteza unghiulară de exploatare.

Se poate face această recomandare deoarece examinând diagramele trasate rezultă că prin modificarea suprafeței și a geometriei tache-
tului, poziția valorii minime precum și valoarea minimă t_d se mo-
difică în limite destul de largi.

Aceasta dovedește că procedeul experimental poate fi utilizat cu succes la corelarea vitezei unghiulare de funcționare cu viteza optimă, prin ajustări succesive ale parametrilor mecanismului până la apropierea corespunzătoare a celor două viteze.

Rezultatele experimentale confirmă realitatea diagramelor de răspuns tranzitoriu *determinate pe cale analitică* în lucră-
rile / 60, 106 / lui Tesar D; diagrame în care se prezintă aba-
terile funcției de ieșire față de funcția de intrare în funcție de
raportul între vitezele unghiulare de funcționare și respectiv de
sinteză, funcții care prezintă valori minime pentru anumite valori
ale acestui raport așa cum se vede și în fig. 3.6 .

Diagramele de abateri trasate experimental sînt în concordanță și cu rezultatele obținute prin tratarea mecanismului camă-tachet ca un sistem oscilant autoexcitat de relaxare, sistem pentru care funcționarea optimă se asigură pe un ciclu limită unde regimul de funcționare este cvasiarmonic astfel încît transferul energetic între diferitele părți componente ale sistemului în mișcare se realizează în cadrul unei funcționări stabile. Acest ciclu corespunde zonei op-
time de funcționare a mecanismului, zonă pentru care timpul de des-
prindere și implicit abaterile de mișcare sînt minime.

Cea mai evidentă modificare a poziției ciclului optim de funcțio-
nare se obține prin modificarea forței arcului de închidere a me-
clemei cinematice superioare. Așa cum se vede în figurile 9.5, 9.6,
9.7 și 9.8 poziția punctului de funcționare optim este ușor ajus-
tabil în limite largi. Modificarea acestei forțe precum și a masei
tacetului sînt operațiuni care permit optimizarea funcționării me-

canismului de distribuție, ceea ce înseamnă că se poate realiza
optimizarea acestui stand.

10. Concluzii generale. Prezentarea contribuțiilor personale ale autorului

La încheierea prezentei lucrări se poate evidenția în primul rând, o concluzie general valabilă privind sinteza mecanismelor cu care care realizează anumite funcțiuni la viteze ridicate și anume că această sinteză presupune operațiuni de mare complexitate, care implică corelarea unei mulțimi de parametri funcționali, tehnologici, cinematici, geometrici și dinamici.

Rozultate bune se pot obține doar în condițiile în care fiecare tip constructiv de mecanism este analizat sub toate aspectele enumerate mai sus pentru a găsi soluții adecvate, aceasta realizându-se în special prin rezolvarea problemelor specifice respectivului mecanism.

Analiza - sinteza - experimentul se constituie ca și un triunghi al procesului de sinteză, iar pentru a obține mecanisme cu performanțe funcționale ridicate este necesară executarea acestor operațiuni în unul sau mai multe cicluri.

În ce privește mecanismul camă cu tchetul în mișcare de oscilație, mecanism ce a constituit obiectul principal al prezentei lucrări, se pot enumera câteva concluzii care se constituie în același timp și ca o procedură ce poate fi urmată în operațiunea de sinteză:

a) presupunând implicit că funcția de realizat la ieșirea mecanismului este o funcție care se desfășoară între palierul inferior și cel superior al mișcării, se poate afirma cu certitudine că recordarea funcției propriuzise la cele două paliere trebuie să se facă cu ajutorul unor legi de mișcare polinomială care asigură nivele de accelerație mai mici decât funcțiile de racordare armonice;

b) un avantaj deosebit de important al funcțiilor polinomiale este acela că amplitudinea oscilațiilor pe care le provoacă și întrețin în sistem este cu mult mai mică decât amplitudinea aceluiași oscilații produse de legile de mișcare sinusoidală sau cosinusoidală;

c) la stabilirea parametrilor funcționali ai mecanismului se recomandă alegerea pentru camă a unui sens de rotire de la virful spre articulația tchetului, sens care prezintă unele avantaje în special pentru cazul când funcția de ieșire a mecanismului prezintă un palier de viteză constantă;

d) dacă funcția de ieșire cu palier de viteză constantă se realizează cu un mecanism cu tachet oscilant, atunci pentru a realiza corect această funcție profilul camii trebuie corectat față de spirala Arhimedică, spirală care asigură realizarea precisă a funcției doar pentru mecanismul cu tachetul în mișcare de translație. Corectarea profilului camii se face în funcție de sensul de rotație relativă camă-tachet;

a) pentru sinteza mecanismului se procedează la calcularea razei cercului de bază și a razei rolei tachetului, la impunerea unei unghi de presiune maximă și a unei raze de curbură minimă pentru profilul camii, cu respectarea și utilizarea indicațiilor care se dau în literatura de specialitate. La calcularea acestor parametrii geometrici se recomandă utilizarea unor procedee analitice asistate de calculator, așa cum se prezintă și în lucrare;

f) la sinteza mecanismului se va urmări în mod deosebit ca pe parcursul ciclului de funcționare să nu se depășească valea maximă impusă a unghiului de presiune;

g) pentru a evita desprinderea tachetului de camă în zonele cu vîrfuri pozitive sau negative ale accelerației funcției de intrare, se asigură prestringerea corespunzătoare a arcului de închidere a cuplei superioare;

h) se va evita desprinderea tachetului de camă datorită oscilațiilor sistemului prin așa numita " proiectare elastică " a mecanismului, proiectare prin care distribuția elementelor elastice în cadrul sistemului se face în așa fel încît oscilațiile proprii ale tachetului, oscilații induse și întreținute de însăși funcția de intrare materializată pe camă, să se poată desfășura astfel încît să nu fie afectată continuitatea cinematică a mecanismului;

i) dacă amplitudinea oscilațiilor este mare și efectele acestora nu pot fi înlăturate prin proiectarea elastică a mecanismului, atunci se vor lua măsuri de reducere a acestor amplitudini prin amortizarea oscilațiilor. Așa cum s-a arătat în lucrare, este de preferat ca amortizarea să se execute cu ajutorul unei corțe de frecare uscată, aplicată în așa fel încît să nu producă defasări între funcțiile de intrare și ieșire;

j) dacă prin procesul de sinteză și proiectare s-a înlăturat pericolul apariției desprinderilor tachetului de camă, desprinderi ce se traduc prin abateri necontrolate ale funcției de ieșire, se poate

trece la faza de sinteză în care se compensează abaterile elastice ale funcției de ieșire pînă la încadrarea lor în niște limite acceptate din punct de vedere funcțional și tehnologic;

k) dată noțiunea de compunere executată la punctul j a implicat modificări elastice și geometrice se revine la verificarea parametrilor g, h, i și j ;

l) mecanismul proiectat se execută și se supune la un set de încercări experimentale urmărind prin aceasta verificarea globală a principiilor de sinteză și a tehnologiei de execuție.

În lucrare se prezintă metode analitice, criterii funcționale, procedee de calcul și experimentare care acoperă toate etapele de sinteză-proiectare enumerate mai sus.

Contribuția personală a autorului în această direcție constă în următoarele:

1) stabilirea funcției de ieșire pe care trebuie să o realizeze mecanismul de perforare din construcția unui perforator rapid de cartele;

2) alegerea tipului constructiv a mecanismului camă-tachot care execută această funcție în condiții cinematice și dinamice optime;

3) studiul comparativ al legilor de mișcare pentru racordarea funcției de viteză constantă la palierele inferior și superior ale funcției de intrare și stabilirea unei legi optime;

4) se stabilește influența pe care o are sensul relativ de rotire camă-tachot asupra geometriei și cinematicii mișcării și se indică pentru cazul studiat sensul de rotire optim;

5) se rolovă și se analizează abaterile pe care le înregistrează funcția de ieșire de la legea de mișcare necesară, abateri datorate structurii mecanismului ales și se indică metode analitice pentru corectarea profilului camoi în vederea obținerii unei funcții corespunzătoare;

6) pentru determinarea razei cercului de bază se dă o metodă analitică care poate fi aplicată și într-o variantă simplificată la calcularea orientativă a acestei raze;

7) în vederea sintezei dinamice a mecanismului camă-tachot s-a elaborat un model matematic adecvat care permite punerea în evidență și studierea fenomenului de rupere a contactului cuplei superioare, fenomen care produce discontinuități în cinematica mecanismului cu

repercursiunii și asupra dinamicii acestuia și care produce abateri necontrolabile ale funcției de ieșire;

8) în baza acestui model matematic se stabilește un criteriu pentru funcționarea fără desprinderi a mecanismului. Acest criteriu având un suport fizic și o prezentare matematică poate fi aplicat la sinteza și proiectarea analitică a mecanismelor;

9) analizând cu ajutorul modelului matematic propus comportarea dinamică a mecanismului se relevă necesitatea unei sintese elastice a acestuia ca și unică modalitate de evitare a fenomenului de desprindere datorat oscilațiilor sistemului, oscilații care se suprapun pe legea de mișcare comandată de comandă;

10) deoarece cele mai multe funcții de intrare nu pot fi aproximate în mod corespunzător cu ajutorul funcțiilor armonice rezultate prin dezvoltarea lor în serii Fourier, analiza fenomenului de desprindere se face apelând la metoda planului fazelor, metodă pentru care s-a elaborat un procedeu analitic. Aplicarea acestui procedeu a permis enunțarea matematică a unui criteriu adecvat pentru evidențierea desprinderilor cuplei superioare;

11) pentru a compara din punct de vedere al posibilității de apariție a desprinderilor mai multe variante de legi de mișcare, s-a apelat la metoda diferențelor finite pentru rezolvarea numerică a ecuației diferențiale a mișcării în scopul de a obține o funcție de timpului a sistemului cât mai apropiată de realitate. Pentru aceasta s-a elaborat un program de calcul cu ajutorul căruia s-a făcut un studiu comparativ. În urma acestui studiu s-au relevat calitățile superioare ale legilor de mișcare polinomială care induc în sistem oscilații cu amplitudini minime;

12) dacă amplitudinea oscilațiilor tachetului nu se poate reduce corespunzător prin procedeu de amortizare, se impune amortizarea acestora. Analizând fenomenul de amortizare viscoasă se scoate în evidență dezavantajul acestui procedeu care provoacă defazarea funcțiilor de intrare - ieșire și se studiază posibilitatea de a executa acțiunea de amortizare printr-un procedeu de frecare uscată intermitentă. Se dă o metodă de calcul a forței de frecare necesară pentru o amortizare corespunzătoare a oscilațiilor pe parcursul perioadei de frinare pe care o avem la dispoziție;

13) se dă o soluție practică de amortizare a oscilațiilor tachetului în două variante constructive, prin frinarea tachetului pe pali-

erul inferior a funcției de intrare;

14) studiind mecanismul camă-tachet ca și un sistem oscilant auto-excitat și făcând o serie de analogii și simplificări ajutătoare, se indică un procedeu de dimensionare a masei tachetului astfel încât să se asigure sistemului o mișcare cât mai stabilă cu caracteristici quasiharmonice pe un ciclu limită de tip Poincaré;

15) pentru sinteza dinamică a mecanismului s-a elaborat un procedeu analitic de calcul în vederea determinării unor parametrii geometrici necesari la calculul cinematic, cinetostatic și dinamic al mecanismului, procedeu pentru care s-a pus la punct un program adecvat pentru prelucrarea datelor pe un calculator electronic;

16) în vederea studierii experimentale a fenomenului de desprindere a tachetului de camă, fenomen care reflectă proprietățile dinamice ale mecanismului, s-a conceput o metodă experimentală și în baza ei s-a realizat o instalație pentru studierea dinamică a mecanismelor cu came. Metoda și instalația au fost brevetate la OSIM;

17) rezultatele acestei cercetări au fost utilizate pentru sinteza mecanismului de perforare din componența unui sistem pentru perforarea centralizată a cartelilor. O prezentare succintă a unui asemenea sistem și a avantajelor sale economice și funcționale s-a făcut în capitolul 2 al prezentei lucrări.

Procedeu de perforare centralizată și sistemul propus au format de asemenea obiectul unui brevet acordat de OSIM. Sinteza mecanismului de perforare s-a realizat cu corectarea funcției de intrare care se materializează pe camă, alegându-se un sens optim de rotire relativă între camă și tachet. Forța de protejționare a cuplei cinematice superioare s-a calculat cu ajutorul programului specializat de sinteză iar verificarea și optimizarea funcționării mecanismului s-a realizat cu ajutorul standului special realizat în acest scop. Prin ajustări succesive a forței arcului de închidere a cuplei și prin modificarea masei tachetului s-a obținut o situație optimă astfel încât la viteza de funcționare a mecanismului de perforare se realizează un timp minim de desprindere a tachetului de camă. În această situație funcția de ieșire câștigă mult în precizie, diferențele între ea și funcția de intrare fiind *anulate*.

Bibliografie

- 1 Adams D. Influența supraaccelerațiilor în funcți-
Peleoudi Chr. onarea mecanismelor cu came
SCMA 1970, tom 2, p.361
- 2 Artobolewskj I.I. Mecanisms in modern engineering
designing Moscow Mir 1977
- 3 Avramescu A. Echipamentele periferice ale calculato-
rilor numerice
Ed. Tehnică București 1971
- 4 Artobolewskj I.I. Teoria mecanismelor și a mașinilor
Ed. Tehnică București 1955
- 5 Artobolewskj I.I. Théorie des mecanismes et de ma-
chines Mir Moscow 1977
- 6 Antonescu P. Calculul structural și cinematic. Meca-
nisme I.P. București 1979
- 7 Antonescu P. Cinetostatica și dinamica mecanismelor
I.P. București 1980
- 8 Bogdan R.C. Analiza armonică complexă și mecano-olec-
Larionescu D. trică a mecanismelor plane
Ed. Academiei R.S.R. 1968
- 9 Buzdugan Gh. Rezistența materialelor
Ed. Tehnică București 1970
- 10 Buzdugan Gh. Măsurarea vibrațiilor
Mihăilescu E. Ed. Academiei R.S.R. 1979
- 11 Bona C. Computer aided automatic design
Galletti C. Mechanism and Machine Theory 1973
Lucifredi A. vol. 8, p. 437-456
- 12 Buzdugan Gh. Vibrații mecanice
Petou L. E.D.P. București 1982
Radeș M.
- 13 Chen F. Y. Kinematic synthesis of cam profiles of
prescribed acceleration by finite inte-
gration method
Journal of engineering for industry ASME Trans
519-524 May 1973
- 14 Cionca O. Corectarea funcției de intrare la
Kovács Fr. mecanismele cu came generatoare de
funcțiuni cu palier de viteză con-
stantă
Al IV-lea Simpozion de robotizare în industrie,
și M.F.M. Timișoara 1984

- 15 Cionca O. Model matematic pentru studierea mecanismelor
Kovács Fr. cu came în regim dinamic
Al IV-lea Simpozion de Robotizare în industrie și
M.T.M. Timișoara 1984
- 16 Cionca O. Dimensionarea masei mecanismului camă-tachet
Kovács Fr. considerat ca un sistem oscilant cu vibrații
de relaxare
Al IV-lea Simpozion de Robotizare în industrie și M.T.M.
- 17 Cionca O. Mecanismele de perforare ale perforatoarelor
rapide de cartele
Simpozionul de Mecanisme și Transmisii Mecanice
Reșița 1976
- 18 Cionca O. Metodă și program de calcul pentru studiul di-
namic al mecanismelor cu came
Sesiunea de comunicări a I.P.T.V. Timișoara 1977
- 19 Cionca O. Metodă și instalație pentru studiul dinamic al
mecanismelor cu came
Simpozionul de Mecanisme și Transmisii Mecanice
Timișoara 1980
- 20 Cionca O. Sistem pentru perforarea centralizată a carte-
lelor
Simpozionul de Mecanisme și Transmisii Mecanice
Timișoara 1980
- 21 Dorn W. S. Metode numerice cu programare în FORTRAN IV
Mc Cracken D. Ed. Tehnică București 1976
- 22 Dimofte F. Echipamentele de culegere a datelor OFF-line
și ON-line
Ed. Tehnică București 1973
- 23 Deutsch I. Rezistența materialelor
E.D.P. București 1979
- 24 Demian T. Mecanisme de mecanică fină
Tudor D. E.D.P. București 1982
Greou E.
- 25 Demian T. Mecanisme și elemente constructive de meca-
nică fină
E.D.P. București 1970
- 26 Dixioglu B. Getriebelehre. Ein Lehrbuch für Studierende
und Ingenieure Band 2 1967
- 27 Freudenstein F. Kinematics: Past, Present, and Future
Mechanism and Machine Theory 1973, vol. 8, p. 151-160
- 28 Gorskiĭ B. E. Modernizarea mecanismelor cu came (l. rusă)
Cerneavskii I. L. Moscova 1964

29. Geronimus L. Aparatul geometric al teoriei sintezei mecanismelor plane (l. rusă)
Moscou 1963
30. Golinski J. An adaptive optimization system applied to machine synthesis
Mechanism and Machine Theory 1973, vol. 8, p. 419-436
31. Hamburger L. Teoria vibrațiilor și aplicațiile ei în
Buzdugan Gh. construcția mașinilor
Ed. Tehnică București 1958
32. Ham C. W. Mechanics of machinery
Crane E.J.
Hogema W.L.
33. Hartenberg R.S. Kinematic synthesis of Linkages
Donavit J. Mc Graw-Hill New - York 1964
34. Imdad I. A general method of Kineto - Elastodynamic
Sandor G. Design of high speed mechanisms
Mechanism and Machine Theory 1973, vol.8, p.497-516
35. Ifrim V. Ein Diskretisierungsverfahren zur numerischen
Bögelsack G. Berechnung von Federantrieb für Mechanismen
Mechanism and Machine Theory vol.9, nr. 3/4, 1974
36. Kovács Fr. Contribuții la elaborarea unei metode unitare
de sinteză a mecanismelor
Teză de Doctorat Timișoara 1969
37. Kovács Fr. Mecanisme. Analiza mecanismelor
Perju D. I.P. Timișoara 1978
Crușu M.
38. Kovács Fr. Mecanisme. Sinteza mecanismelor
Perju D. I.P.T.V. Timișoara 1977
39. Kovács Fr. Curs de teoria mecanismelor și dinamica mașinilor
Oprea I. lor
Perju D. I.P. Timișoara 1969
40. Kovács Fr. Teoria mecanismelor. Lucrări de laborator
G.A. I.P. Timișoara 1966
41. Kovács Fr. Metode noi în sinteza mecanismelor
Perju D. Ed. Facla Timișoara 1976
Savii G.
42. Kovács Fr. Influența structurii mecanismului cu oamă ul
Morina M. distribuției motoarelor cu ardere internă asupra
cipematicii și cinetostaticii acestora
Sesiunea de comunicări a I.P.T.V. Timișoara 1977
43. Kaufman R.E. Kynsyn Phase II. A human engineered computer

- system for kinematic design and a new least-squares synthesis operator
Mechanism and Machine Theory 1973, vol. 8, p. 469-478
- 44 Kostităn V. Despre gabaritele minimale ale mecanismelor cu came (l. rusă)
Academia de științe Moscova 1949
- 45 Kraus R. Getribelehre Band 3 Messbestimmung
Berlin 1956
- 46 Kovács Fr. Manipulatoare, roboți și aplicațiile lor industriale
Cojocaru Gh. Editura Facla Timișoara 1982
- 47 Levitschi N.I. Mecanisme cu came (l. rusă)
Moscova 1964
- 48 Laricov E. Calculul și proiectarea mecanismelor și aparatelor cu came (l. rusă)
Moscova 1968
- 49 Labouroux M. Cours de calcul mathématique moderne.
Chossat M.
Cardot C.
- 50 Lakshminaraya K. On the analysis of the effect of tolerances in linkages
Journal of mechanisms 1971, vol. 6, nr. 1, p. 59-67
- 51 Munteanu O. Teoria mecanismelor și dinamica mașinilor.
Mecanisme cu came
I.P. Iași 1972
- 52 Marina M. Contribuții la studiul distribuției optimizate a motoarelor cu ardere internă în patru timpi
Teză de Doctorat I.P.T.V. Timișoara 1978
- 53 Manolescu N.I. Teoria mecanismelor și a mașinilor
Kovács Fr. E.D.P. București 1972
Orănescu A.
- 54 Mangeron D. Curs de mecanică cu aplicații în inginerie
Irimiciuc N. vol. 2 Mecanica sistemelor de solide rigide
Cinematica și dinamica sistemelor mecanice
I. P. Iași 1974
- 55 Mangeron D. Mecanica rigidelor cu aplicații în inginerie
Irimiciuc N. vol.2 Mecanica sistemelor rigide
Ed. T. București 1980
- 56 Mangeron D. Mecanica rigidelor cu aplicații în inginerie
Irimiciuc N. vol.3. Mecanica vibrațiilor
Ed. T. București 1981
- 57 Manolescu N.I. Teoria mecanismelor și a mașinilor. Cinematica statică și dinamica Ed. T. București 1958

- 58 Maroş D. Curs de teoria mecanismelor și a mașinilor
Orlandea N. I.P. Cluj 1966
- 59 Mabie H.H. Mechanisms and dynamics of machinery
Okvirk F.W. 1963
- 60 Matthew G.K. Cam system design. The dynamic synthesis and
Teoar D. analysis of one degree of freedom
Mechanism and Machine Theory vol.11, nr.4, 1976
- 61 Manolescu N.I. Structura, cinematica, cinetostatica și
Popovici M. dinamica mecanismelor
E.D.P. București 1981
- 62 McGovern J. Kinematic synthesis of adjustable mechanisms
Sandor G. Path generation
Journal of engineering for industry Mai 1973
- 63 Mănescu M. Mașini de calcul pentru mecanizarea și auto-
Bița V. matizarea lucrărilor economice și administra-
Grams G. tive
Pescaru V. Ed. Tehnică București 1966
- 64 Maroş D. Mecanisme vol 1
I.P. Cluj-Napoca 1980
- 65 Nolle H. Linkage coupler curve synthesis. A historical
review.
Mechanism and Machine Theory 1974, vol.9
- 66 Obat P. Konstruktion und Fertigung von Kurvenmecha-
Heydt W. nismen
Verlag Technik Berlin 1964
- 67 Orănescu A. Culegere de probleme de cinematica mecanisme-
lor plane
M.E.I. București 1957
- 68 Orănescu A. Metode numerice în analiza configurației, cine-
Crudu I. maticii și cinetostaticii mecanismelor
Universitatea Galați 1977
- 69 Orănescu A. Teoria mecanismelor și a mașinilor
E.D.P. București 1963
- 70 Pelecudi Chr. Optimizări în sinteza numerică a mișcării
Sava I. mecanismelor cu came
Studii și cercetări de mecanică aplicată
SCMA tom 30, nr. 5, 1971, p. 1149
- 71 Pelecudi Chr. Comportarea mecanismelor cu came la viteze
Sava I. ridicate I
Conovici B. SCMA tom 30, nr.2, 1971, p. 305

- 72 Pelecudi Chr. Comportarea mecanismelor cu came la viteze
Sava I. ridicate II
Conovici S. SCMA tom 30, nr. 3, p. 611, 1971
- 73 Pelecudi Chr. Analiza armonică a legilor de mișcare a
Matheescu A. mecanismelor cu came
SCMA tom 28, nr. 1, p. 195, 1969
- 74 Pelecudi Chr. Precizia mecanismelor
Ed. Academiei R.S.R. 1975
- 75 Pelecudi Chr. Bazele analizei mecanismelor
Ed. Academiei R.S.R. 1967
- 76 Pelecudi Chr. Legile generale ale mecanismelor cu came
Sava I. SCMA tom 22, nr. 4, 1966
- 77 Pelecudi Chr. Optimizarea legilor de mișcare ale mecanisme-
lor de distribuție
SCMA nr. 3, 1968
- 78 Pelecudi Chr. O nouă metodă de optimizare a legilor de miș-
care ale mecanismelor cu came
Conferința de motoare cu ardere internă
București 1967
- 79 Pelecudi Chr. Dinamica mașinilor
Dragna M. I.P. București 1980
- 80 Pelecudi Chr. Algoritmi și programe pentru analiza mecanis-
milor
Drăgănoiu Gh. Ed. Tehnică București 1972
Simionescu I.
- 81 Popov N.N. Calculul și proiectarea mecanismelor cu
came (l. rusă) Moscova 1965
- 82 Perju D. Contribuții la sinteza mecanismelor plane
pentru conducerea unui punct pe o curbă dată
Teză de Doctorat I.P. Timișoara 1971
- 83 Perju D. Mecanisme de mecanică fină
I.P.T.V. Timișoara 1980
- 84 Paximo Gh. Metode și procedee de studiu pentru îmbunătățirea
RĂdăcină N. funcționării mașinilor și mecanisme-
lor CNST 1972 ICDT
- 85 Popescu I. Proiectarea mecanismelor plane
Ed. Scrisul Românesc Craiova 1977
- 86 Păvăloiu I. Rezolvarea ecuațiilor prin interpolare
Ed. Dacia Cluj-Napoca 1981

- 87 Poulain P. Elements fondamentaux de l'informatique.
Les ordinateurs
Dunod Paris 1967
- 88 Raicu A. Proiectarea mecanismelor cu came. Sinteză
documentară
INID București 1973
- 89 Rešetov L. Mecanisme cu came (1. rusă)
Moscova 1953
- 90 Robart T.A. Mecanisme cu came. Proiectare dinamică și
și probleme de precizia prelucrării
(1. rusă) Leningrad 1960
- 91 Rückert H. Numerische Methoden zur Bestimmung der Lauf-
eigenschaften ebener Kurvengetriebe und Be-
sonderer Berücksichtigung der Einflüsse
der Rast in Rast Bewegungsgesetze
Dissertation Darmstadt 1974
- 92 Rădoi M. Mecanica
Dociu E. E.D.P. București 1981
- 93 Sava I. Asupra vibrațiilor de încovdiero ale tache-
tului în funcționarea mecanismelor cu came
Conovici S. SCMA tom 30, nr. 4, 1971, p. 869
- 94 Sava I. Stadiul actual în dinamica mecanismelor cu
came
SCMA tom 28, nr. 6, p.1513, 1969
- 95 Silaș Gh. Mecanică. Vibrații mecanice
E.D.P. București 1968
- 96 Strugaru C. Echipamente periferice
Jurca I. I.P.T.V. Timișoara 1973
- 97 Shigley J.E. Cam dynamics. Kinematic synthesis of
Hartenberg R. linkages
McGraw-Hill Book 1961
- 98 Denavit J. Kinematic Analysis of Mechanisms
Shigley J.E. McGraw-Hill Book 1959
- 99 Shigley J.E. Dynamic analysis of machines
McGraw-Hill Book 1961
- 100 Shigley J.E. Theory of machines Part 1
McGraw-Hill Book 1961
- 101 Suh C.E. Optimal design of mechanisms with the use
Mecklenburg A. of matrices and least squares

- Mechanism and Machine Theory 1974
- 102 Sandor G. A general method of kineto-elastodynamic design for high speed mechanisms
Mechanism and Machine Theory 1973, vol. 6
- 103 Sarikaya Y.L. Kinematic geometry associated with least square approximation of a given motion
Supta V.C. Journal of engineering for industry May 1973
- 104 Szekely I. Teoria mecanismelor și organe de mașini
E.D.P. București 1968
- 105 Szekely I. Mecanisme
I.P. Cluj-Napoca 1974
- 106 Tesar D. The dynamic synthesis, analysis, and design of modeled cam systems
Matthew G.K. Lexington Books 1976
- 107 Tutunaru D. Mecanisme cu came
Ed. Tehnică București 1959
- 108 Townsend A. A one-step non-iterative solution algorithm for mechanisms. Part 1
Mechanism and Machine Theory 1974, vol. 9
- 109 Townsend A. A one-step non-iterative solution algorithm for mechanisms. Part 2
Mechanism and Machine Theory 1974, vol. 9
- 110 Tempea I. Mecanisme plane articulate
Popa Gh. I.P. București 1976
- 111 Wunderlich W. Contributions to the Geometry of Cam Mechanisms with oscillating Followers
Journal of Mechanisms 6, nr. 1, 1971
- 112 Woskresenski M. J. Proiectarea mecanismelor cu came la mașini
cifrice de calcul (1. mază)
Moscova 1967
- 113 Voinea R. Metode analitice noi în teoria mecanismelor
Atanasiu M.
- 114 Vasu A. Definirea profilului camei de rotație în coordonate polare mobile funcție de legea de mișcare și profilul tachețului
Vișa I. Simpozionul MTM Reșița 1976 p. 387
- 115 Vrâncănu Gh. Geometrie analitică
Mărgulescu G. E.D.P. București
- 116 Zamfir V. Mecanisme. Sinteză analitică a mecanismelor
I.M. Iași 1972
- 117 Zamfir V. Mecanisme. Metodele mecanismelor geometrice

- de funcțiuni I.M. Petroșani 1977
- 118 - Sperry Rand Univac. Field engineering
Verifying, interpreting, punch typ 1701 and 1710
- 119 - Perforatorul de cartele Univac 1701 și 1710.
Manual de funcționare și utilizare (traducere)
- 120 - I.B.M. 'Field engineering
Card punch 170
- 121 - Juki 1300/2300 Series
Card punch / verifier. Specification
- 122 - Soemtron. Lochkartenmaschinen
Soemtron 425
- 123 - Périphérique - Compagnie Internationale pour
l'Informatique
Perforateur de cartes 72.105
Manuel de fonctionnement et d'utilisation
- 124 - Singer Frieden Division
4300 Magnetic data recorder System
- 125 - Teletype corporation
Technical manual. Teletype writer model
Model 35